

MINISTERUL EDUCATIEI SI INVATAMINTULUI
INSTITUTUL POLITEHNIC "TRAIAN VUIA" TIMISOARA
FACULTATEA DE ELECTROTEHNICA

Ing.Viorel Trifa

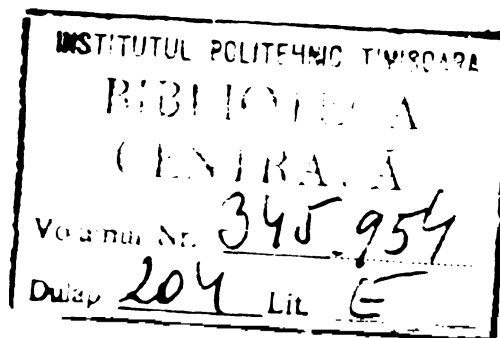
SISTEME DE REGLARE A POZITIEI
CU MOTOARE ELECTRICE PAS CU PAS

Teză de doctorat

CONDUCATOR STIINTIFIC
Prof.dr.ing.Eugen Seracin

BIBLIOTECA CENTRALĂ
UNIVERSITATEA "POLITEHNICA"
TIMIȘOARA

Timișoara
-1978-



C U P R I N S

	<u>Page</u>
1. INTRODUCERE	3
2. STRUCTURA ELECTROMAGNETICA A MPP	8
2.1. Clasificarea funcțională a MPP	8
2.2. Cuplul static sincronizant al MPP	15
2.3. Sistemul de comutație al MPP	17
2.4. Calculul inductivităților MPP.....	21
3. METODE DE ANALIZA A SISTEMELOR DE ACTIONARE CU MPP	32
3.1. Modelul liniar m-fazat al SAMPP	32
3.2. Efectul saturației magnetice	35
3.3. Modelul transformat al SAMPP	37
3.3.1. Modelul $\alpha\beta$	38
3.3.2. Modelul dq	42
3.3.3. Normarea ecuațiilor modelelor matematice	45
3.3.4. Aplicație pentru MPP inductor cu autoexcitație.	47
3.4. Modelul liniar operațional al SAMPP	56
3.5. Analiza SAMPP în planul fazelor	62
3.5.1. Aplicație pentru MPP cu 4 faze	65
4. SISTEME DE POZITIONARE CU MPP IN CIRCUIT DESCHIS	70
4.1. Stabilitatea în regim staționar	72
4.2. Stabilitatea în regim dinamic	73
4.2.1. Stabilitatea în regimul de pornire	75
4.2.2. Calculul caracteristicilor limită de pornire... ..	78
4.2.3. Stabilitatea în regimul de oprire	83
4.2.4. Calculul caracteristicilor limită de oprire... ..	85
4.2.5. Stabilitatea în regimul de reversare	88
4.2.6. Calculul caracteristicilor limită de reversare.	91
4.3. Regimul cvazistaționar al SAMPP	93
4.3.1. Stabilitatea în regim cvazistaționar	95
4.3.2. Calculul caracteristicilor limită de mers.....	101
5. SISTEME DE POZITIONARE CU MPP IN CIRCUIT INCHIS DE TIP HIBRID	104
5.1. Identificarea SPMPP în CIH	105
5.2. Analiza răspunsului SPMPP în CIH	107
5.3. Stabilitatea SPMPP în CIH	113
5.3.1. Deducerea funcției de descriere discretă.....	115
5.3.2. Deducerea funcției de transfer în z a părții liniare	123
5.3.3. Determinarea stabilității sistemului.....	124

	<u>Pag.</u>
6. SISTEME DE POZITIONARE CU MPP IN BUCLA MINORA	131
6.1. Sisteme de acționare cu MPP în buclă minoră	132
6.1.1. Funcționarea SAMPP în BM	132
6.1.2. Identificarea SAMPP în BM	136
6.1.3. Analiza SAMPP în BM	141
6.1.4. Caracteristici limită ale SAMPP în BM	143
6.2. Automatizarea SAMPP în BM	144
6.2.1. Comanda prin microprocesor a SAMPP în BM	145
6.2.2. Comanda prin regulator a SAMPP în BM	149
6.3. Analiza sistemului automat de reglare a vitezei MPP în BM	151
6.3.1. Graficul sistemului automat	153
6.3.2. Analiza sistemului automat cu microprocesor ...	158
6.3.3. Sinteza sistemului automat cu regulator liniar.	160
6.4. Schema sistemului de poziționare cu MPP în BM	165
7. SISTEME DE POZITIONARE CU MPP IN REGIM DE MICROPASIRE	168
7.1. Principiul funcționării MPP în regim de micropășire...	169
7.2. Schema SPMPP în μ P	173
7.3. Calculul schemei de alimentare	175
7.4. Simularea numerică a funcționării MPP în μ P	177
8. CONSIDERATII ASUPRA PROIECTARII SPMPP. INCERCARI EXPERIMEN- TALE SI APLICATII INDUSTRIALE	182
8.1. Considerații asupra proiectării SPMPP	182
8.2. Incercări experimentale	187
8.3. Aplicații industriale	195
9. INCHEIERE	198
BIBLIOGRAFIA	201

LISTA ABREVIERILOR

MPP	- motor electric pas cu pas;
SAMPP	- sistem de acționare cu motor electric pas cu pas;
SPMPP	- sistem de poziționare (sistem de reglare a poziției) cu motor electric pas cu pas;
CD	- circuit deschis;
CI	- circuit închis;
CIH	- circuit închis, tip hibrid;
BM	- buclă minoră;
μ P	- micropășire;
CNA	- convertor numeric-analog.

1. INTRODUCERE

În ultimul deceniu utilizarea motoarelor pas cu pas (MPP) ca mijloace de acționare în sisteme de reglare a poziției, a luat o mare amploare. Argumentul esențial care încurajează extinderea aplicării acestor motoare îl prezintă însăși proprietatea lor definitorie - aceea de convertor impuls/deplasare - proprietate care se poate exploata din plin în sistemele de reglare a poziției. Printre performanțele lor, care le departajează de alte tipuri de motoare electrice, se pot aminti [4,52]:

- transpunerea directă în practică în modul cel mai simplu a principiului de poziționare numerică, conform căruia, mărimea unei deplasări impuse se poate realiza prin comanda motorului cu un număr de impulsuri predeterminat;
- convertirea frecvenței impulsurilor de comandă în număr de deplasări incrementale (pași) pe unitatea de timp, constituie o rezolvare extrem de simplă a problemei vitezei de poziționare;
- schimbarea sensului de distribuție a impulsurilor aplicate fazelor motorului dă posibilitatea inversării sensului de rotație al motorului la oricare pas al acestuia;
- particularitatea MPP de a executa pași mici oferă cel puțin două mari avantaje: posibilitatea obținerii unei rezoluții ridicate a mișcării de poziționare și simplificarea considerabilă a lanțului cinematic al transmisiei mecanice;
- regimul de pornire/oprire/reversare fără pierderi de pași, simplifică caracteristica de viteză a poziționării, eliminând de multe ori necesitatea frînării înainte poziției finale, sau "căutarea" acesteia;
- memorarea poziției prin blocarea electromecanică a rotorului la ultimul impuls de comandă aplicat, elimină dispozitivele auxiliare de blocare;
- caracterul univoc al conversiei impuls/deplasare oferă avantajul excepțional al realizării de sisteme de poziționare în circuit deschis, foarte simple și ieftine, în multe aplicații, de neconceput cu alte tipuri de motoare electrice;
- motorul pas cu pas fiind el însuși un element de execuție numeric, dă posibilitatea realizării de dispozitive pur numerice, foarte ușor de integrat în sisteme numerice de comandă, de cele mai multe ori fără să implice elemente de cuplare (convertoare).

Prin deceniile 6 și 7, țări foarte avansate, ca SUA, Japonia, URSS, începeau aplicarea la scară industrială a motoarelor pas cu pas în sisteme de poziționare, creîndu-și școli proprii de cercetare și tehnologie. Beneficiind de progresele spectaculoase în tehnica numerică, aceste motoare au început să fie rapid asimilate de majoritatea țărilor industrializate, fie prin cercetări proprii, fie pe bază de licență.

Printre fabricanții mai importanți de motoare pas cu pas se pot enumera: Superior Electric (motoarele SLO-SYN), IMC Magnetics Co (motoarele TORMAX), Warner Electric - în SUA; Philips, Siemens, Durham și Berger - în Europa occidentală; ENIMS - în URSS; Fujitsu - în Japonia.

Aplicații foarte variate au solicitat motoare pas cu pas [8, 52,96,97,98]: mașinile unelte cu comandă numerică, echipamentele periferice ale calculatoarelor, servoreglări în industriile metalurgică, chimică și textilă, tehnica filmării, aeronautică și strategii militare. Anvergura acestor aplicații a deschis și o serioasă dispută pe tărîmul cercetării științifice, care a început să fie deja cunoscută pe plan internațional prin simpozioane cu tematică adecvată. Dintre acestea "Annual Symposium on Incremental Motion Control Systems and Devices" de la Univ. Urbana - SUA, sub conducerea prof. B.C.Kuo, "International Conference on Stepping Motors and Systems" de la Univ. Leeds - Anglia, și "Trudî Moskovskovo Ordena Lenina Energeticeskii Institut" - URSS, sub conducerea prof.M.G.Cilikin, reprezintă manifestații științifice care atrag cel mai mulți specialiști în domeniul motoarelor pas cu pas și aplicațiile acestora.

În țara noastră, aflată încă în faza asimilării motoarelor pas cu pas, această nouă direcție a reținut atenția unor specialiști care, printr-o serie de rezultate teoretice și practice [11 ... 16, 38...52,89,92] au arătat că asimilarea motoarelor pas cu pas în industrie pe bază de cercetări proprii este posibilă și oportună. În acest cadru și în aceeași idee a apărut și lucrarea de față, autorul încercînd să prezinte un tablou al posibilităților de utilizare a motoarelor pas cu pas pentru reglarea poziției. Beneficiind de o premiză favorabilă, tematica lucrării se înscrie pe o coordonată majoră a dezvoltării industriei românești, în spiritul de emulație creatoare care caracterizează o etapă revoluționară din punct de vedere tehnico-științific.

Performanțele care recomandă motorul pas cu pas în dispozitive de poziționare, limitele acestora, sistemele de reglare a poziției care pot fi concepute cu acest motor, metodologia de studiere

a acestora precum și criteriile de proiectare și realizare de echipamente de poziționare cu motoare pas cu pas, sînt problemele principale care alcătuiesc cadrul lucrării de doctorat.

În capitolul 2 este cuprins un material sintetizat de autor din literatura existentă asupra MPP ca mașini electrice, analizate în spiritul clasificării funcționale a acestora, adică după modul cu care loc excităția. Această modalitate de prezentare este favorabilă includerii MPP în modele matematice unitare, care îmbină fenomene specifice mașinii electrice cu acelea ale dispozitivului de comandă și alimentare cu impulsuri. Este definit cuplul static sincronizant, sînt arătate posibilitățile de alimentare a fazelor și se prezintă calculul succint al inductivităților MPP pornind de la schemele echivalente ale circuitelor magnetice.

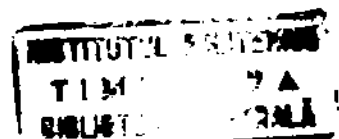
Capitolul 3 preia caracterizările făcute anterior asupra structurii electromagnetice a MPP, definind sistemele de acționare cu MPI (SAMPP) și mijloacele adecvate de analiză a acestora. Este dedus modelul matematic m-fazat al SAMPP cu indicații referitoare la includerea efectului saturației. Din acest model se deduc modelele transformate exprimate în coordonate rectangulare $\alpha\beta$ și dq, concluzionînd că aceste transformări nu sînt eficiente pentru orice tip de MPP și doar în cazul unor tensiuni de alimentare particulare. Modelul dq este aplicat pe un caz concret de MPP-inductor cu autoexcitație, cu 4 faze și verificat apoi prin simulare numerică pe calculator.

O metodă de analiză adecvată interpretării MPP ca element automat în sisteme de reglare a poziției este bazată pe folosirea transformatei Laplace, domeniu în care autorul propune un model operațional generalizat al MPP, din care se scoate o funcție de transfer unghi/impuls, simplă și comodă.

Metoda planului fazelor, care are ca obiect studiul dinamicii mișcării rotorului MPP, este extinsă pentru cercetarea influenței caracterului cuplului rezistent asupra mișcării [41].

Modelele matematice, dezvoltate și aplicate pe cazuri concrete de MPP de construcție proprie, sînt exprimate în valori raportate, indicîndu-se și relațiile între mărimile de bază.

Capitolul 4 acordă un spațiu important sistemelor de poziționare cu MPP în circuit deschis (SPMPP în CD), avînd în vedere că acestea domină în prezent tehnica poziționării punct cu punct. Sînt generalizate expresiile cuplului electromagnetic dependent de unghi și constanta de timp electrică a MPP și se cercetează stabilitatea mișcării în regimul dinamic și cvazistaționar, arătîndu-se metode numerice originale pentru determinarea limitelor funcționării MPP



în circuit deschis fără pierderi de pași [41]. La regimul cvazistaționar, interpretat într-o manieră nouă, bazată pe studiul echilibrului energetic al acționării [44], se definește pentru prima dată unghiul de comutație pentru funcționarea în circuit deschis, parametru autoreglat, dependent de principalii factori ai acționării.

Capitolul 5 tratează sistemele de poziționare în care MPP, privit ca element automat discret, este inclus într-o buclă analogică de reglare a poziției, rezultând SPMPP în circuit închis de tip hibrid. Aproape în întregime original, capitolul oferă metodele avansate de abordare în spiritul teoriei reglării automate [43]. Este făcută identificarea ca sistem automat neliniar cu eșantionare, la care perioada de eșantionare este inversa frecvenței de comandă a MPP. Analiza răspunsului sistemului automat se face aplicând metoda grafurilor, iar cercetarea stabilității se face grafo-analitic, utilizând planul atenuare-fază, transformata z și funcția de descriere discretă. Din studierea stabilității rezultă alegerea unei perioade de eșantionare care să satisfacă un compromis între eroarea de poziționare și stabilitatea sistemului.

Capitolul 6 este dedicat sistemului de poziționare cu MPP în buclă minoră (SPMPP în BM), sistem perfecționat de comandă în funcție de unghi a MPP, preferat în concepția multor specialiști, dar insuficient tratat ca sistem automat. După o prezentare generală, definitorie, se face remarcă performanțelor acestui nou mod de funcționare a MPP, prin simulare numerică, pe un model matematic dat în capitolul 3. Se face o generalizare a tehnicilor cunoscute de injectare/suprimare de impulsuri din bucla minoră, după care se propune un model matematic original pentru funcționarea MPP în BM, acesta fiind definit ca element automat neliniar cu acțiune continuă în care variabilele au înțelesul de valori medii subordonate în timpul mișcării rotorului. Se definește întârzierea impulsurilor în bucla minoră ca mărime de intrare și se trece la analiza funcționării SAMPP în BM pe modelul propus, găsindu-se comportări statice și dinamice similare funcționării motorului de c.c. serie. Se dă o metodă originală de calcul al caracteristicilor statice cuplu/frecvență ale MPP în BM.

Se expun principiile de automatizare a SAMPP în BM având ca mărime de intrare întârzierea impulsurilor pe bucla minoră, efectuând aici și convertirea unor algoritmi de procesare discretă cu microprocesor a vitezei, în caracteristici de transfer neliniare continue. Se propune un nou mod de automatizare a SAMPP în BM printr-o buclă analogică de reglare a vitezei conținând un regulator liniar continuu.

Analiza sistemului automat cu MPP în BM identificat ca sinte noliniar cu acțiune continuă este făcută cu ajutorul algebrei grafurilor, exprimând caracteristicile de transfer ale elementelor componente prin ecuații algebrice liniare, valabile la un moment de timp dat. Metoda de analiză este extinsă pentru sinteza sistemului automat, găsindu-se că un regulator PI este cel mai adecvat.

Capitolul 7 se ocupă cu sistemele bazate pe micropășirea MPP - una din cele mai noi tehnici de comandă a MPP, de mare perspectivă prin performanțele sale și aflată deocamdată în stadiu de elaborare. Avînd ca punct de plecare un dispozitiv original, autorul exprimă principiile de funcționare a MPP în regim de micropășire, deducînd legile de procesare a curenților în fazele motorului. Se propune o schemă de poziționare cu compensarea deviației MPP - pentru mărirea preciziei de poziționare - și se prezintă calculul convertoarelor numeric/analogice ale schemei de alimentare. În final se verifică performanțele micropășirii prin simulare numerică pe un model matematic dedus anume pentru acest regim de funcționare.

Partea practică - experimentală a lucrării este cuprinsă în capitolul 8, în care autorul propune criteriile proiectării SFMPP - ca rezultat aplicativ al capitolelor anterioare. Sînt arătate încercările experimentale efectuate pentru diferite sisteme de poziționare la faza de laborator sau prototip pe echipamente și dispozitive de concepție proprie. Sînt marcate prin fotografii cîteva din realizările la faza industrială ale autorului, reflectînd aplicarea unor invenții [46,47,48,49,50,51] și care au fost produsul unor contracte de cercetare [100] în domenii ca: mașini unelte, echipamente periferice ale calculatoarelor, industria minieră. Aceste aplicații constituie, de altfel, rezultatul eforturilor depuse de autor în îndeplinirea dezideratului major al integrării cercetărilor în sfera productivă.

Doresc să exprim pe această cale mulțumiri alese conducătorului științific, tovarășului profesor doctor inginer Seracin Eugen, care m-a îndrumat cu competență și bunăvoință, atît pe parcursul pregătirii ca doctorand, cît și la elaborarea prezentei lucrări, oferindu-mi șansa unor colaborări onorante.

Mulțumesc de asemenea colegilor de la laboratorul de Acțiune electrice din I.P.Cluj-Napoca care au contribuit la menținerea unui climat propice cercetărilor și realizărilor obținute și în mod special tovarășului profesor doctor inginer Kelemen Arpad, căruia îi datorez în primul rînd orientarea mea profesională.

2. STRUCTURA ELECTROMAGNETICA A MPP

2.1. Clasificarea funcțională a MPP

Dacă din punct de vedere constructiv există o mare varietate de MPP, din punctul de vedere al transformărilor electromagnetice specifice, MPP se pot clasifica într-un număr mai restrâns de grupe funcționale. Această nouă clasificare este preferată în studierea SAMPP întrucât se bazează pe modul de legare a bobinelor MPP și pe tipul comenzii, conducând la o tratare unitară a proceselor sale electromagnetice.

Criteriul care stă la baza clasificării funcționale a MPP este modul cum are loc excitația. Existența unui sistem separat de excitație (cu magneti permanenți sau bobine de excitație separate) sau lipsa lui, a determinat nomenclatura frecvent utilizată de MPP active sau reactive. Această împărțire s-a impus numai pe considerentul existenței fizice a unei excitații a MPP, neținându-se seama că în anumite condiții un MPP, aparent fără excitație separată, poate avea o excitație proprie provenită din modul de legare a înfășurărilor sale de comandă.

Prezentarea noii clasificări a MPP, susținută de unii autori [8,89], se va face în continuare atât cu scop de sinteză, cât și pentru abordarea mai ușoară a modelelor matematice ce vor face obiectul capitolului următor.

În funcție de modul de legare a înfășurărilor și de tipul comenzii prin impulsuri, MPP se împart în trei categorii: inductoare, reactive și inductor-reactive.

MPP inductoare pot fi cu autoexcitație sau cu excitație independentă prin bobine sau magneti permanenți (MPP inductoare electromagnetice). MPP inductoare cu autoexcitație sînt MPP cu rotor pasiv, la care se poate separa un circuit fictiv de excitație generat de existența componentei homopolare directe a curentului în faze. În figura 2.1 se prezintă un exemplu de MPP inductor cu autoexcitație, care are $m=4$ faze, $\ell=8$ proeminente polare [55]. Fiecare fază este constituită din legarea a două înfășurări dia-

metral opuse, rezultând $q=2$ poli pe o fază. Polii statorici au o polaritate alternantă, asigurând autoexcitarea motorului, dacă este comandat cu impulsuri de aceeași polaritate. Dacă s-ar alimenta

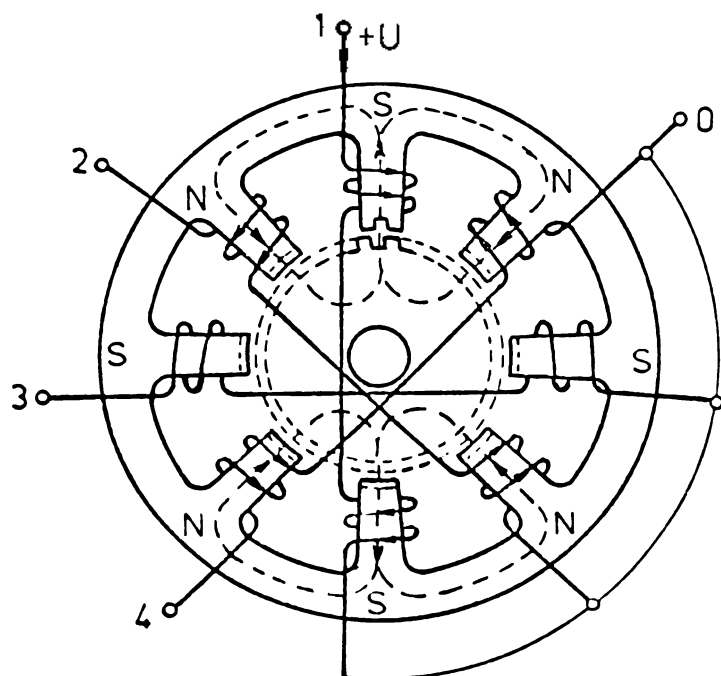


Fig.2.1. MPP inductor cu autoexcitație: $m=4$, $\ell=8$, $q=2$.

Intrucât polii de excitație sînt întotdeauna perechi, rezultă că la acest tip de MPP numărul de faze este totdeauna par.

Fiind un motor des utilizat, se vor arăta în continuare câteva date constructive.

Rotorul MPP inductoare cu autoexcitație este pasiv, avînd z_r dinți. Pe fiecare pol statoric sînt z_s dinți egali cu cei rotorici și cu același pas dentar. Legătura între z_r , ℓ , m este [8]:

$$z_r = \frac{\ell}{m} (km \pm a) = q(km \pm a) \quad (2.1)$$

unde $k=0,1,2,\dots$ este un număr întreg oarecare, iar $0 < a < \frac{m}{2}$, astfel ca m și a să fie prime între ele. Valorile posibile pentru numărul a , ca și pentru z_r sînt date în tabelul 2.1, pentru $m=3\dots 9$.

Tabelul 2.1

m	3	4	5	6	7	8	9
a	1	1	1 2	1	1 2 3	1 3	1 2
z_r	$q(3k \pm 1)$	$q(4k \pm 1)$	$q(5k \pm 1)$ $q(5k \pm 2)$	$q(6k \pm 1)$	$q(7k \pm 1)$ $q(7k \pm 2)$ $q(7k \pm 3)$	$q(8k \pm 1)$ $q(8k \pm 3)$	$q(9k \pm 1)$ $q(9k \pm 2)$ $q(9k \pm 4)$

Semnul din fața lui a determină sensul de rotație a rotorului MPP față de sensul câmpului învîrtitor statoric. Sensurile de rotație coincid pentru n pozitiv impar sau negativ par și sînt inverse în cazurile celelalte.

Pentru a evita apariția forțelor de atracție unilaterale a rotorului în timpul funcționării, pentru $m > 4$ se ia a maxim. În acest fel numărul a se poate interpreta ca fiind numărul de zone de fază aflate în câmp pe durata dintre două tacturi de comandă.

La exemplul din figura 2.1, pentru $\ell = 8$, $m=4$, $q=2$ rezultă $z_r = 8k \pm 2$.

MPP inductoare cu excitație independentă sînt MPP la care circuitul de excitație este separat fizic și alimentat de la o sursă proprie de tensiune continuă. Fluxul constant de excitație nu mai este creat de componenta homopolară directă a curentului de fază, ca în cazul MPP inductoare cu autoexcitație și prin urmare, motorul se va alimenta cu impulsuri de polaritate alternativă. Alimen-

tarea cu impulsuri de aceeași polaritate ar satura inutil motorul, prin existența componentei homopolare directă a curentului.

În figura 2.2 este prezentată schița unui MPP inductor cu excitație independentă, obținut din tipul cu autoexcitație din figura 2.1 [89].

Pentru a bloca apariția fluxului de autoexcitație, trebuie evitat cuplajul magnetic între faze. Aceasta se face prin legarea a două înfășurări pe o fază, corespunzătoare la permeanțe magnetice decalate cu $\pm \pi$ radiani electrici. În acest fel, după ce

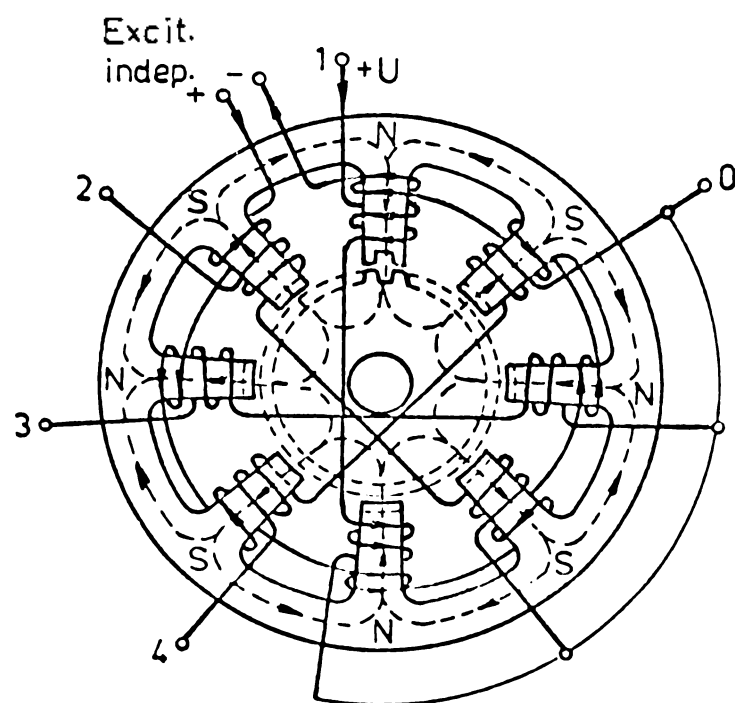


Fig.2.2. MPP inductor cu excitație independentă: $m=4$, $\ell=8$, $q=2$.

se va vedea ulterior, inductanțele mutuale sînt neglijabile.

În ceea ce privește considerațiile constructive, configurația dentară este similară celei de la tipul cu autoexcitație. Construcția statorului este mai complicată prin existența fizică a bobinelor de excitație. Cîştigul constă în aceea că energia de excitație nu se transmite motorului prin blocurile de alimentare cu impulsuri, ceea ce permite micșorarea puterii elementelor de comu-

tație. În afară de aceasta, controlabilitatea independentă a curentului de excitație poate influența amortizarea mișcării rotorului și prin aceasta, caracteristicile de lucru ale MPP [89].

MPP inductoare cu excitație independentă de la magneți permanenți (de tip electromagnetic) se obțin prin înlocuirea bobinelor înfășurării de excitație cu magneți permanenți. În figura 2.3 este dat un exemplu de acest tip de MPP [8].

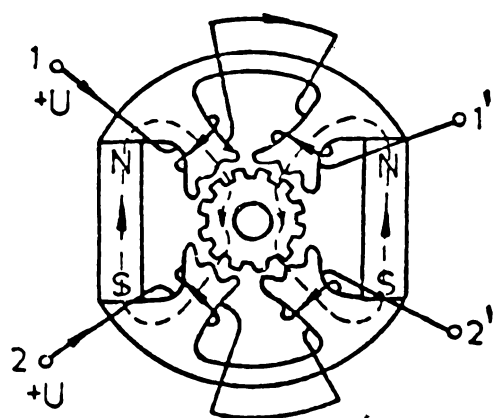


Fig.2.3. MPP inductor cu excitație de la magneți permanenți; $m=2$, $q=2$.

Fluxul de excitație constant al magneților permanenți nu depinde de poziția rotorului, datorită decalajului de $\pm\pi$ a permeanței magnetice corespunzătoare la doi poli vecini, care formează o fază. Decalajul zonelor dințate a doi poli separați de magnet este $\pm\pi/2$. Caracteristic pentru MPP cu magneți permanenți și înfășurări de comandă montate pe stator este faptul că zonele dințate sînt saturate de fluxul total (magnet, componenta homopolară directă și componenta variabilă a curentului în fază), ceea ce duce la micșorarea coeficientului de utilizare a magneților.

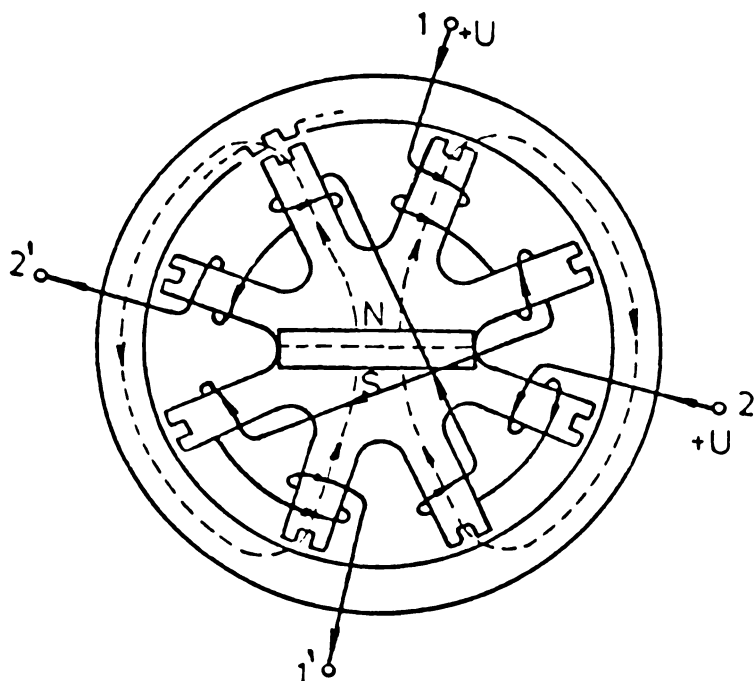


Fig.2.4. MPP inductor cu magnet în rotor; $m=2$, $q=4$.

O variantă inversată a tipului prezentat este cea din figura 2.4 [8] la care magnetul permanent și înfășurările fazelor sînt pe rotor. Deși rotorul are moment de inerție ridicat, acest tip de MPP este avantajos prin posibilitatea efectuării unor pași mici. La ambele variante prezentate alimentarea se face cu impulsuri de polaritate alternantă. Se poate observa că plasarea magnetului duce la stricarea simetriei circuitului magnetic și implică greutăți tehnologice. Din acest motiv s-a recurs la variante de motoare cu două statoare separate de magnet permanent și rotor comun [2]. În exemplul din figura 2.5 câmpul are o distribuție radial-axială, datorită plaserii axiale a magnetului permanent. Pasul este dat de deca-

lajul $1/4$ din pasul dentar, existent între cele două statoare.

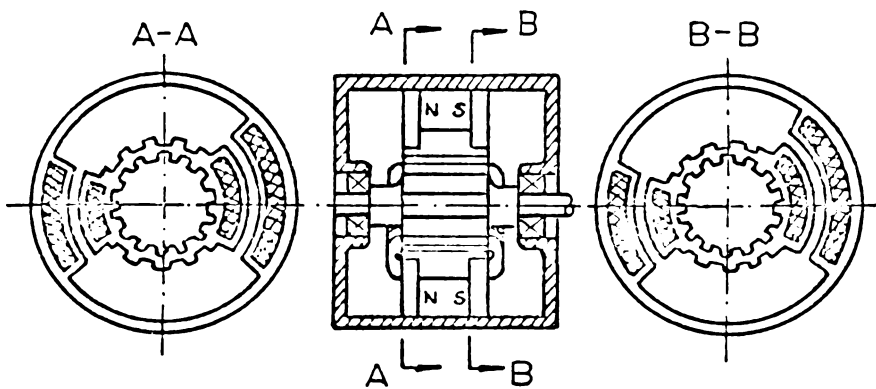


Fig.2.5. MPP inductor cu magnet permanent și 2 statoare.

torului nu conține componenta continuă, ceea ce este o deosebire față de MPP inductoare dințate. Motorul este mai rațional sub aspectul distribuției energiei magnetice, fapt care determină un randament superior față de alte tipuri de MPP. Aceste motoare sînt similare motoarelor sincrone cu poli aparenti și înfășurări de alimentare concentrate.

Există și tipuri combinate de MPP inductoare la care rotorul dințat este asociat cu un magnet permanent cilindric, așa cum se arată în exemplul din figura 2.6 [59]. Este o construcție mai bună sub aspectul distribuției energiei magnetice decît la MPP inductoare cu magneti pe stator. In literatură este cunoscut ca MPP hibrid și a fost elaborat de firma SUPERIOR ELECTRIC sub denumirea: SLO-SYN [32,35,98].

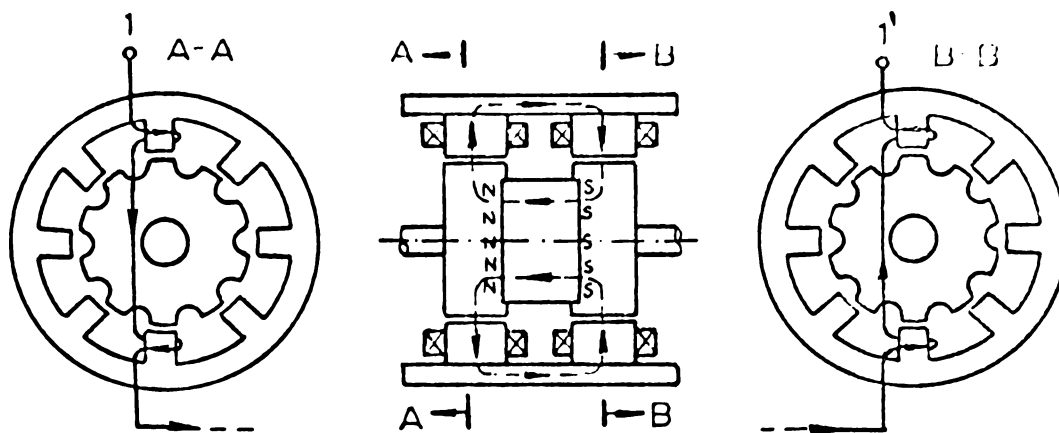


Fig.2.6. MPP inductor cu magnet permanent în rotor.

MPP reactive sînt MPP cu rotor pasiv dințat, și stator cu $m = \ell$ faze ($q=1$) dispuse pe poli cu tălpi dințate. Bobinele stato-

rice sînt astfel legate încît să nu apară componenta homopolară directă a curentului (fluxului); altfel spus, nu există practic flux de excitație constant, deci motorul nu dezvoltă cuplu activ. În figura 2.7, a este dată schița unui MPP reactiv, obținut prin transformarea legăturilor înfășurărilor MPP din figura 2.1 [40], iar în figura 2.7, b un alt tip cu $m=3$ faze [17]. Cuplul se datorește principiului reluctanței minime, deci are un caracter pur reactiv, ca în cazul motoarelor sincrone fără excitație. Nefiind necesară componenta homopolară directă a curentului în faze, se preferă alimentarea cu impulsuri de polaritate alternantă, iar nulul fazelor este suprimate. Alimentarea cu impulsuri de aceeași polaritate este posibilă, dar dă un randament mai slab prin prezența componentei continue a curentului - inutilizabilă.

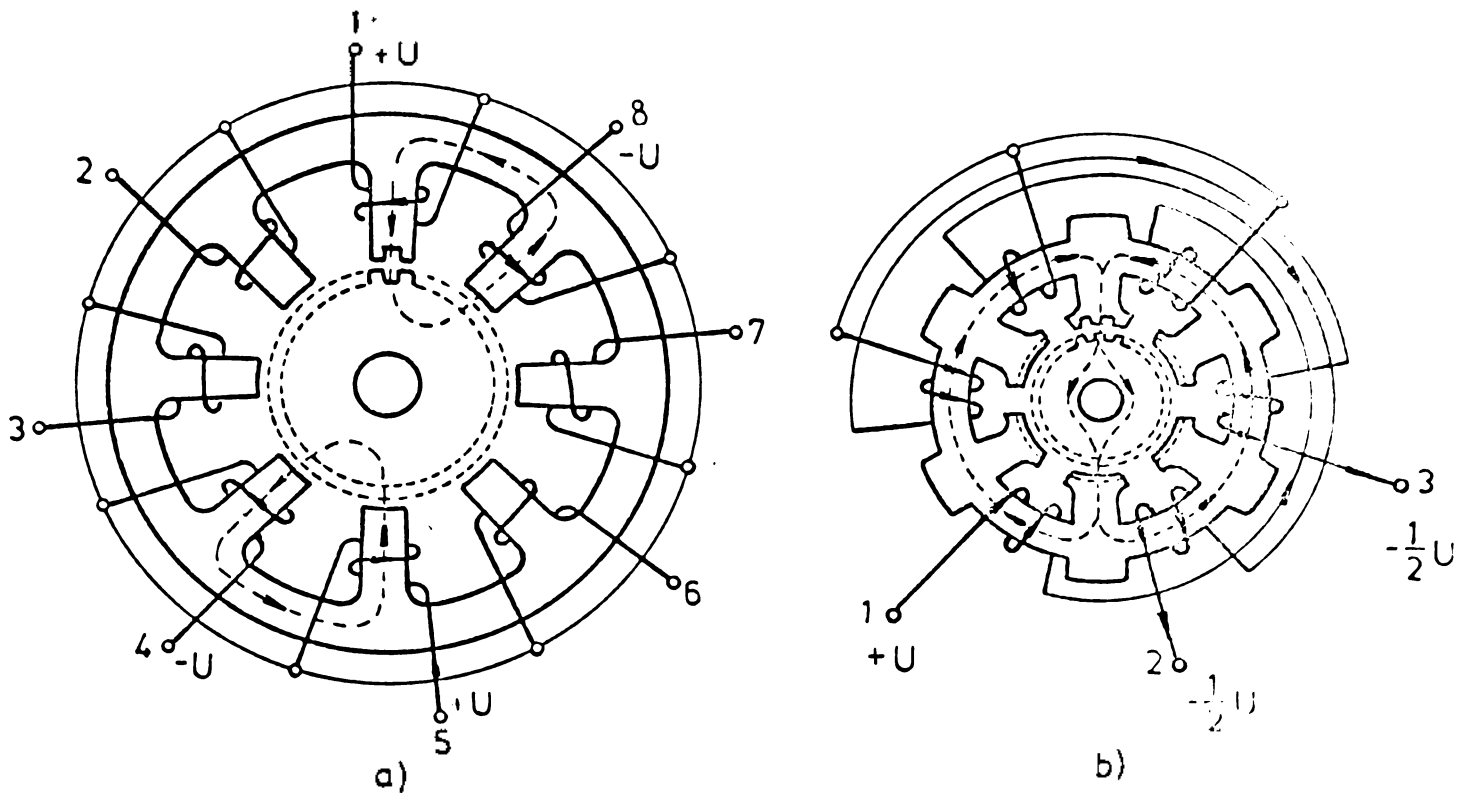
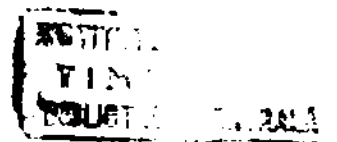


Fig.2.7. MPP reactive: a) $m=8$ faze; b) $m=3$ faze.

Cele mai frecvente construcții sînt acelea cu 3 sau 6 faze legate în stea fără nul scos. Ele se mai numesc și MPP reductoare [76].

MPP inductor-reactive sînt MPP cu rotor pasiv dințat la care înfășurările fazelor statorice sînt astfel legate încît să se elimine cuplajul magnetic între faze. La construcțiile monontato-rică aceasta se realizează prin legarea a două bobine corespunzătoare la doi poli diametrali opuși, cu permeanțe egale și aceeași orientare magnetică. Un exemplu de MPP inductor-reactiv monontato-



este dat în figura 2.8 [100]. În cazul unei alimentări a fazelor cu impulsuri de aceeași polaritate, apare atât componenta homopolară

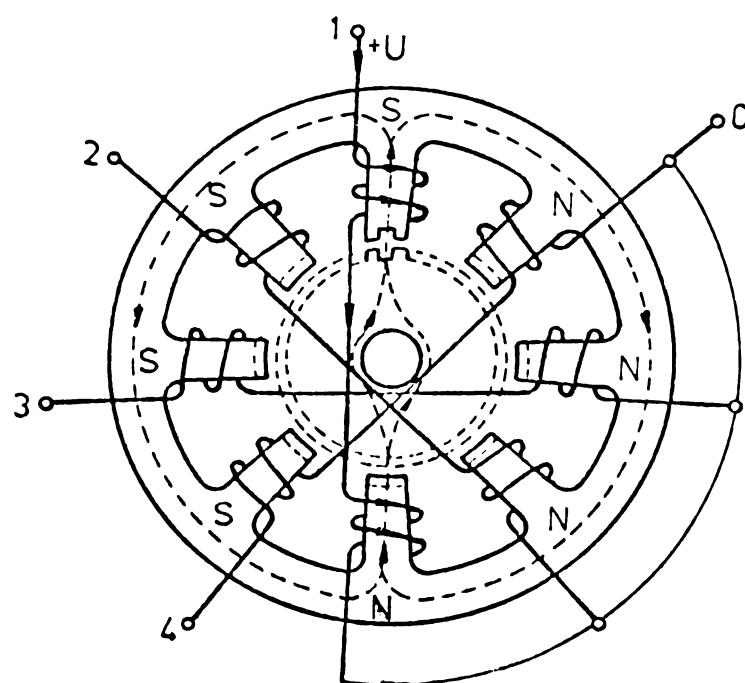


Fig.2.8. MPP inductor-reactiv:
 $m=4$, $l=8$, $q=2$.

ră directă cât și cea inversă, ceea ce face ca motorul să dezvolte atât cuplu activ cât și reactiv. În mod normal cele două cupluri acționează contradictoriu, cel reactiv fiind mai mic. Pentru a mări mai mult cuplul activ se recomandă o secvență de alimentare monopolară cu mai multe faze alimentate simultan. Pentru $m=4$ faze se preferă alimentarea a 2 faze simultan cu impulsuri de aceeași polaritate. Se arată că în acest caz cuplul reactiv reprezintă 20% din cel activ [8].

La alimentarea cu impulsuri de polaritate alternantă, dispărând componenta homopolară directă, dispare și cuplul activ, motorul dezvoltând numai cuplu reactiv, de valoare mai mică.

Din punct de vedere constructiv aceste MPP pot fi monostatorice sau polistatorice. La construcțiile monostatorice se ia $l=2p$ iar configurația dentară similară celei expuse la MPP inductoare. Lipsa cuplajului între faze le situează în aceeași clasă cu tipurile polistatorice. Un exemplu de MPP inductor-reactiv cu $m=3$ faze fiecare dispusă în întregime pe un stator, este dat în fig.2.9 [79].

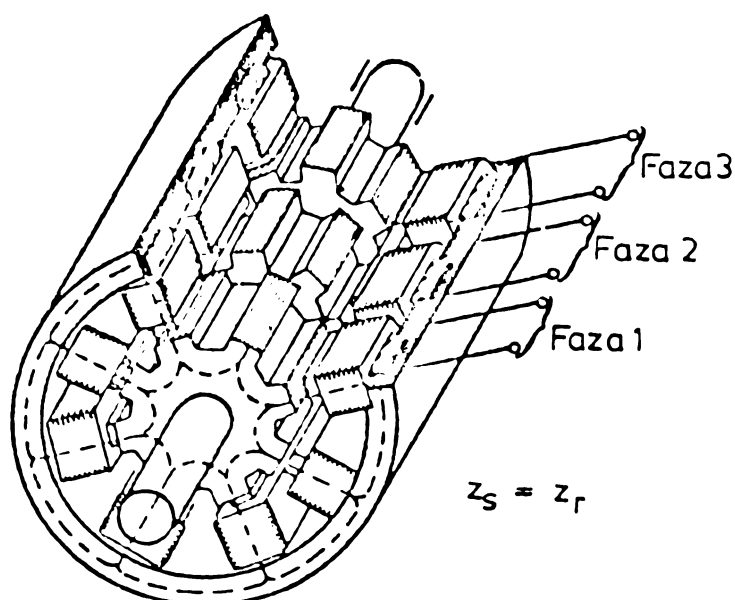


Fig.2.9. MPP inductor-reactiv
cu trei statoare.

La acest tip numărul de dinți rotorici este egal cu numărul de dinți statorici. Pasul motorului este dat de decalajul dentar între pachetele rotorice, de $1/3$ din pasul dentar, dinții statorici nefiind decalajați între statoare. Există și situația inversă, la care pachetele rotorice sînt nedecalate, iar cele statorice decalate cu $1/3$ din pasul dentar.

MPP polistatorice de acest tip au un cuplu mare comparativ cu celelalte MPP și se utilizează în acționarea mecanismelor de poziționare ale mașinilor unelte. Firma FUJITSU Ltd-Japonia a asimilat MPP inductor-reactive cu 5 statoare, de tipurile EPM 109...110, pentru acționarea mașinilor sale unelte cu comandă numerică [97].

2.2. Cuplul static sincronizant al MPP [8]

Cuplul static sincronizant reprezintă dependența cuplului de unghiul de rotație, la curent constant prin înfășurările MPP. Forma lui depinde atât de geometria circuitului magnetic cât și de plasarea înfășurărilor de excitație (sau a magnetilor permanenți).

Cîmpul magnetic rezultat din întrefier, în ipoteza unui curent constant în înfășurări, se poate considera ca fiind produs de o singură înfășurare echivalentă (în cazul MPP fără excitație) plasată pe rotor sau pe stator, sau două înfășurări (în cazul MPP cu excitație), una pe stator, alta pe rotor.

Neglijînd saturația circuitului magnetic, cuplul rezultat se poate exprima ca sumă de trei componente:

$$M(\theta) = \frac{dW}{d\theta_m} = \frac{1}{2} p I_s^2 \frac{dL_s(\theta)}{d\theta} + \frac{1}{2} p I_r^2 \frac{dL_r(\theta)}{d\theta} + p I_s I_r \frac{dL_{sr}(\theta)}{d\theta} \quad (2.2)$$

în care:

I_s, I_r - valorile constante ale curenților din înfășurările echivalente de pe stator sau rotor;

W - energia magnetică;

θ_m, θ - unghiul instantaneu mecanic, respectiv electric;

$L_s(\theta), L_r(\theta), L_{sr}(\theta)$ - inductivități proprii și mutuale ale înfășurărilor echivalente.

În cazul plasării înfășurării echivalente numai de o parte a circuitului magnetic (stator sau rotor), cîmpul magnetic în întrefier se modulcăază cu unghiul de rotație fără a-și schimba sensul, ceea ce înseamnă că energia magnetică are pulsații în jurul unei valori medii (fig.2.10,a). Valorile extreme ale energiei magnetice corespund valorilor extreme ale permeanței magnetice, adică energia este maximă în pozițiile "dinte pe dinte" și minimă în pozițiile "dinte pe creastătură". Aceste poziții corespund pe curba cuplului punctelor stabile S, respectiv instabile NS, expresia cuplului fiind determinată de unul din primii doi termeni ai definiției (2.2).

Perioada modificării cîmpului în întrefier este egală cu pasul dentar, deci dintele și creștătura sînt echivalente unei perechi de poli, adică $p = z_r$. De aici rezultă relația între unghiul electric și mecanic:

$$\theta = z_r \theta_m \quad (2.3)$$

Relația este valabilă pentru construcțiile obișnuite de MP. în care pasul dentar pe circumferința rotorului și statorului este

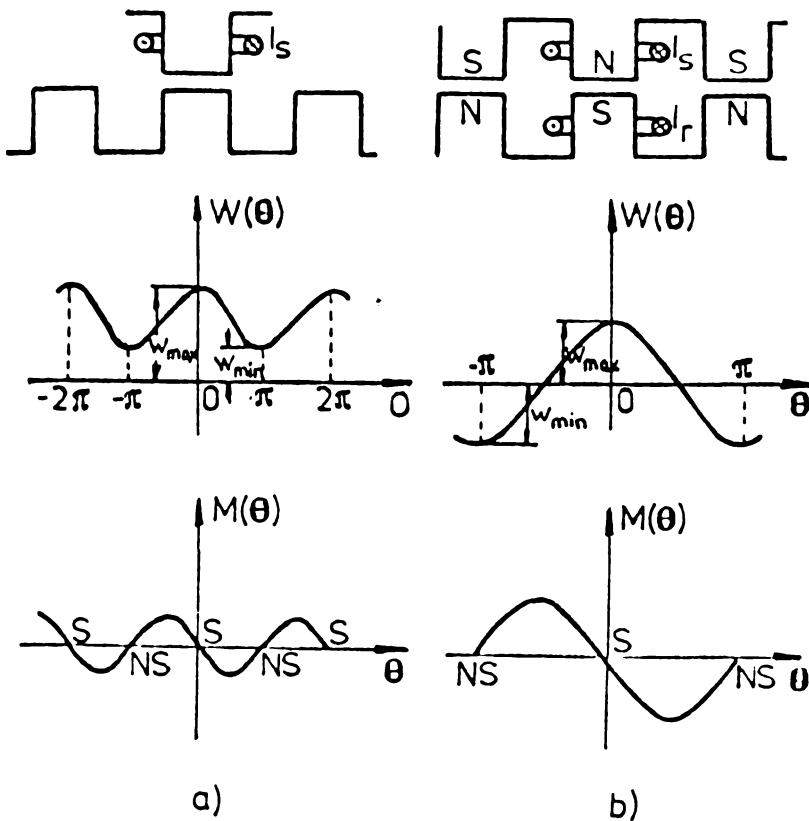


Fig.2.10. Cuplul static sincronizant la MPP: a) excitate pe o singură parte; b) excitate pe ambele părți.

acolași. În cazul cînd numerele z_r și z_s nu se divid între ele, se ia p egal cu cel mai mic multiplu comun al acestora, iar dacă sînt prime între ele atunci $p = z_r z_s$. Pentru majoritatea cazurilor este valabilă însă relația (2.3).

Pentru sistemul cu înfășurări echivalente plasate atît pe stator cît și pe rotor, energia magnetică variază ca mărime și sens datorită cuplajului între cele două înfășurări. Pentru aceeași configurație dentară, perioada de variație a energiei este dublă față de cazul siste-

mului cu o singură înfășurare, iar valoarea medie a energiei este nulă (fig.2.10,b). Dacă dinții au polaritate alternantă atunci numărul de perechi de poli este $p = z_r / 2$ iar pasului polar îi corespund π radiani electrici. În caz general $p = z_r / 2y$, în care y este numărul de pași dentari cuprinși într-un pas polar. Cuplul are o perioadă dublă și corespunde termenului al treilea din definiția (2.2).

În realitate cuplurile de forma termenului al treilea din expresia (2.2) nu apar singure, din cauza configurației întrefierului. Cuplul real este creat din suprapunerea celor două sau trei componente, caz în care componenta a treia este unda fundamentală, iar prima și a doua dau armonici de ordin par multiplu.

2.3. Sistemul de comutație al MPP

Sistemul de comutație al MPP reprezintă posibilitățile de alimentare a înfășurărilor sale cu tensiuni de diferite secvențe și polarități. De acest sistem depinde nu numai clasa motorului în cele trei tipuri amintite, ci și mărimea pasului și numărul etajelor stabile ale sistemului.

Principial există trei variante de comenzi ale înfășurărilor MPP [8] :

- comandă potențială sau prin impulsuri;
- comandă monopolară sau bipolară;
- comandă simetrică sau nesimetrică.

Comanda potențială se referă la durata alimentării unei faze în raport cu durata între două tacturi de comandă, $1/f$, unde f este frecvența de comandă a MPP. Dacă durata alimentării unei faze este cel puțin egală cu $1/f$, atunci este vorba de comandă potențială. În acest caz durata aplicării tensiunii pe o fază variază invers proporțional cu frecvența. Dacă durata alimentării este constantă și întotdeauna mai mică decât $1/f$, atunci este vorba de o comandă prin impulsuri. Cele două comenzi se deosebesc și prin aceea că după efectuarea unui pas rotorul este fixat, în cazul comenzii potențiale și nefixat, în cazul comenzii prin impulsuri. Deși marea majoritate a schemelor de comutație ale MPP sînt cu comandă potențială, s-a consacrat denumirea de comandă prin impulsuri înțelegînd prin aceasta de fapt comanda cu tensiuni de durată $1/f$.

Trebuie amintit că schemele de comutație bazate pe forțarea prin tensiune a pantei curentului în fazele MPP [42,96] efectuează de fapt o comandă combinată potențială - prin impulsuri.

Comanda monopolară sau bipolară se referă la sensul tensiunii de alimentare pe o fază. Pentru un număr de faze mai mare de 3 schemele cu comandă bipolară devin din ce în ce mai complicate.

Comanda este simetrică dacă la un moment dat sînt alimentate același număr de faze și nesimetrică dacă numărul fazelor alimentate simultan se schimbă alternativ la fiecare tact de comandă. Astfel, pot exista comenzi simetrice: simplă (1-2-3-...-m), dublă sau pară (12-23-34...-m1), precum și multiplă. Numărul maxim de faze alimentate simultan este $m/2$ pentru m par, sau $(m-1)/2$ pentru m impar. Comanda nesimetrică alternează, la fiecare tact

INSTITUTUL POLITEHNIC DE CONSTRUCȚII
BIBLIOTECA
CENTRALĂ
Volumul Nr. 345.154
Dulap 204 Lit. E

de comandă, alimentarea unui număr par de faze cu unul impar; cele mai frecvente sînt 1-12-2-23-... sau 12-123-23-234-...

Cele mai simple scheme de comutație sînt cu comandă potențială monopolară simetrică (simplă sau dublă), fapt pentru care acestea s-au extins.

O analiză mai amănunțită a posibilităților de comutație ale MPP se poate face prin introducerea vectorului reprezentativ $\bar{U}(\gamma)$, așa cum este arătat în figura 2.11 [8]. Se consideră un model de motor cu m înfășurări statorice identice și simetrice pe circumferință. Unghiul, dintre axele a două faze vecine, luate cu sens pozitiv este $2\pi/m$. Sensul tensiunii de alimentare, asociat cu poziția geometrică a fazei alimentate, dă interpretarea fizică vectorului reprezentativ $\bar{U}(\gamma)$, care ocupă poziții discrete în cazul MPP. Astfel, în cazul unei comenzi monopolare simetrice simple, vectorul \bar{U} poate ocupa m poziții, formînd o stea cu m raze. Acestea se numesc stări

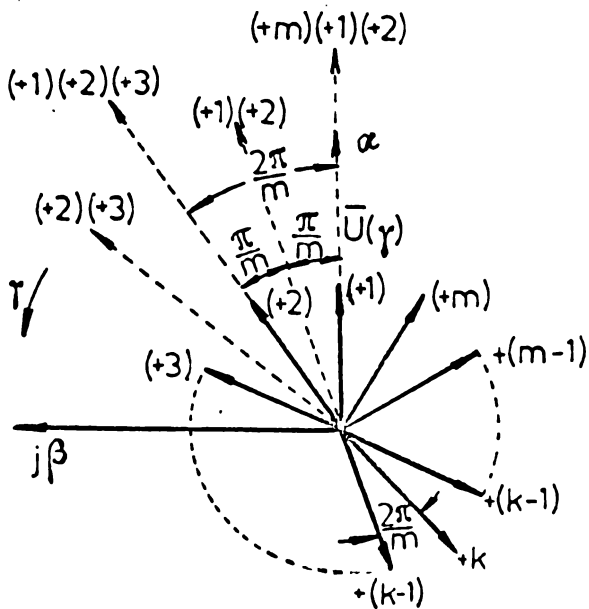


Fig. 2.11. Vectorul reprezentativ al tensiunii de alimentare.

electrice de bază a sistemului de comutație. În acest caz se definește pasul electric de bază:

$$\theta_e = \frac{2\pi}{m} . \quad (2.4)$$

În cazul alimentării simultane a fazelor 1 și 2, poziția vectorului \bar{U} se deplasează cu $\frac{\pi}{m}$, fiind suma geometrică a vectorilor corespunzători celor două faze vecine. Dacă starea electrică (+1) este urmată de starea (+1)(+2), pasul electric este înjumătățit, adică devine π/m și acesta se mai numește și pas electric fracționar. Se poate observa că dacă se succed stări simetrice pure: (+1)(+2), (+2)(+3), ..., unghiul electric este același ca valoarea cu pasul de bază dar pozițiile vectorului \bar{U} sînt decalate cu π/m . Aceeași concluzie este valabilă și pentru comutația simetrică multiplă.

Dependența pasului electric de tipul comutației este arătată în tabelul 2.2, pentru comandă monopolară, iar în figura 2.12, a, b, c sînt reprezentate tensiunile pe faze pentru exemplul $m=4$ [42,92]. Dacă se unesc vîrfurile vectorului \bar{U} , corespunzătoare

tuturor pozițiilor stărilor electrice, se obține un poligon regulat. În figura 2.13 sînt prezentate poligoanele secvențelor de alimentare pentru $m=3$ și $m=4$, comandă monopolară.

Tabelul 2.2

Tip comutație	Nr. tacturi pe ciclu (n)	Pasul electric (θ_e)	Poziția stărilor electrice
Simetrică simplă 1-2-3-...-m	$n = m$	$\frac{2\pi}{m}$	$N \frac{2\pi}{m}$ ($N = 0, 1, 2, \dots, m-1$)
Simetrică dublă 12-23-34-...-m1	$n = m$	$\frac{2\pi}{m}$	$\frac{\pi}{m} + N \frac{2\pi}{m}$ ($N = 0, 1, 2, \dots, m-1$)
Nesimetrică 1-12-2-23-...-m1	$n = 2m$	$\frac{\pi}{m}$	$N \frac{\pi}{m}$ ($N = 0, 1, 2, \dots, 2m-1$)

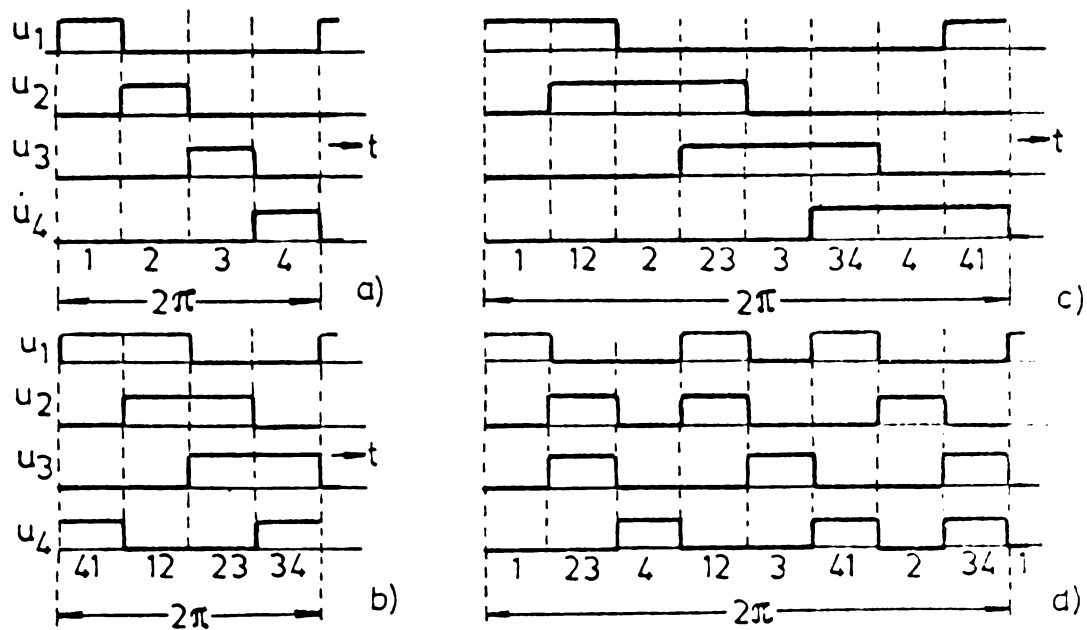


Fig.2.12. Comanda monopolară a MPP cu 4 faze: a) simetrică simplă; b) simetrică dublă; c) nesimetrică; d) cu salt.

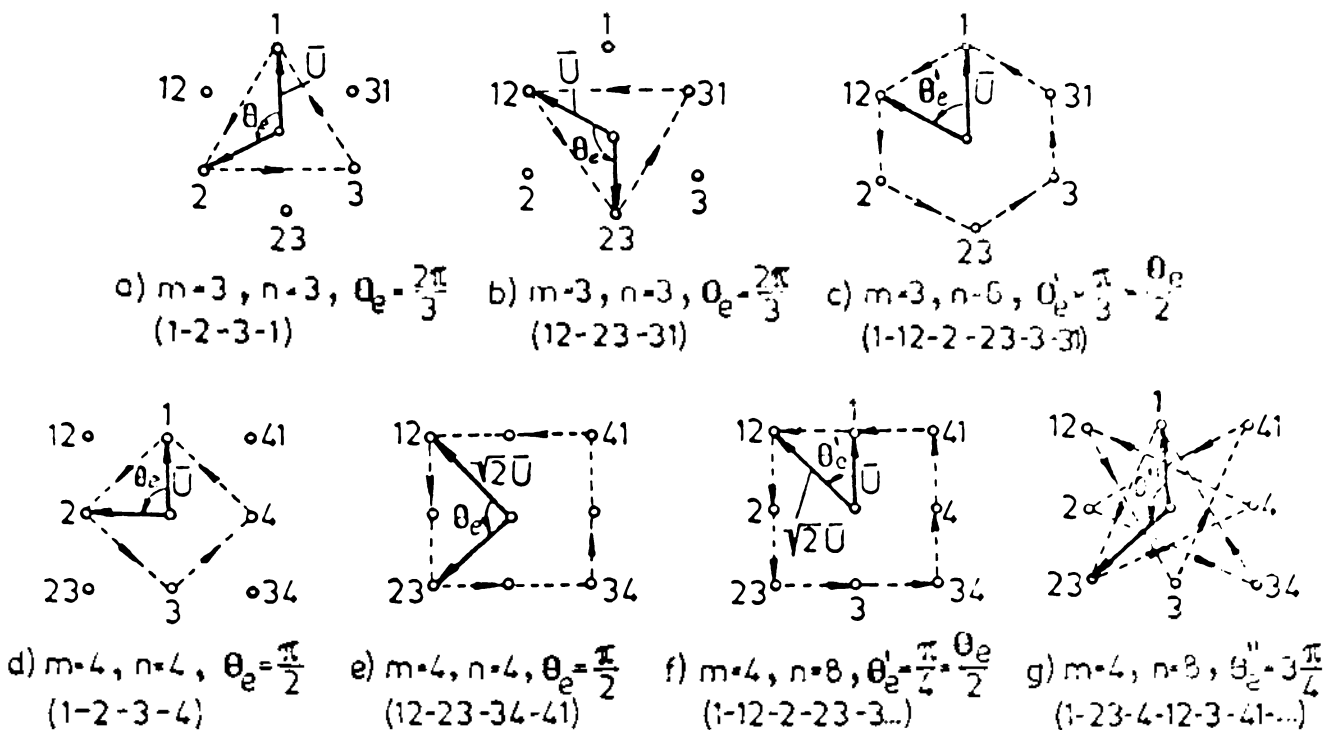


Fig.2.13. Poligoanele secvențelor de alimentare: a, b, c - $m=3$ faze; d, e, f, g - $m=4$ faze.

Se observă că pentru $m=4$ este posibilă o comutație deosebită, cu salt, care poate duce la mărirea pasului electric. În acest caz vectorul \bar{U} sare de la poziția corespunzătoare fazei 1 la poziția mediană a fazelor 2 și 3, realizând un pas electric $\theta_e'' = 3\pi/4$. Pentru a ajunge la poziția inițială sînt necesare 8 tacturi și două rotații complete ale vectorului \bar{U} .

Spectrul tensiunilor pe faze are un aspect relativ nesimetric și este reprezentat în figura 2.12,d. Evident că acest mod de comutație duce la complicarea sistemului de alimentare a MPP.

În caz general [8] mărirea pasului electric este posibilă pentru $m \geq 4$ și numărul posibilităților de mărire crește cu numărul fazelor. În tabelul 2.3 sînt arătate condiționările mării pasului electric al MPP.

Tabelul 2.3

	Pas electric de bază ($2\pi/m$)	Pas electric fracționar (π/m)	Observații
Pasul electric mărit (θ_e'')	$k \frac{2\pi}{m}$	$(2\ell-1) \frac{\pi}{m}$	$\left. \begin{array}{l} k=1,2,\dots, \frac{m-2}{2} \\ \ell=1,2,\dots, m/2 \end{array} \right\} m \text{ par}$ $k,\ell=1,2,\dots, \frac{m-1}{2}; m \text{ impar}$
Număr de tacturi pe o rotație a vectorului \bar{U} (n)	$\frac{m}{q}$	$\frac{2m}{q}$	$q = \text{c.m.m.m.c. al numerelor } (k,m), \text{ respectiv } (2\ell-1,m)$
Număr de rotații ale vectorului \bar{U} pentru un ciclu complet de comutație (s)	$\frac{k}{q}$	$\frac{2\ell-1}{q}$	I d e m

Relațiile asupra pasului electric au fost date pentru cazul comutației monopolare. Pentru comutația bipolară se păstrează în principiu aceleași relații, cu deosebirea că numărul de tacturi se dublează. Într-adevăr, luînd cazul $m=4$ se obțin 4 stări electrice în secvență monopolară simplă, echivalente cu cele 4 stări electrice ale cazului $m=2$ comandat în secvența bipolară. Mai exact, secvența (+1)-(+2)-(+3)-(+4) pentru $m=4$ este echivalentă cu secvența (+1)-(+2)-(-1)-(-2) pentru $m=2$.

Comparația între comanda monopolară și bipolară este arătată în tabelul 2.4, evidențiind analogia între acestea. Stările corespunzătoare alimentării cu tensiune negativă sînt figurate cu semn minus și punctat.

Tabelul 2.4

	m=1	m=2	m=3	m=4	m=5	m=6	m=7	m=8
Comutație monopolară								
Comutație bipolară	-	m=1 	-	m=2 	-	m=3 	-	m=4
Nr. de stări electrice	2	2	3	4	5	6	7	8

2.4. Calculul inductivităților MPP

Variația inductivităților cu unghiul de rotație este o caracteristică de bază a majorității construcțiilor de MPP, fapt pentru care acestea se numesc și MPP parametrice. Calculul inductivităților, util la stabilirea ecuațiilor de funcționare ale MPP, va fi prezentat în continuare ca o sinteză a unor studii cunoscute în lucrările [8,52,79]. De asemenea se va urmări prezentarea expresiilor inductivităților în concordanță cu clasificarea funcțională dată anterior, definind cu această ocazie și schemele echivalente ideale ale circuitelor magnetice pentru cele trei tipuri de MPP : inductor, reactiv și inductor-reactiv.

Inductivitățile proprii L_{kk} și mutuale L_{jk} ale diferitelor înfășurări ale motorului se calculează cu ajutorul permeanțelor corespunzătoare, potrivit relațiilor:

$$L_{kk}(\theta) = w_k^2 \Lambda_{kk}(\theta) \tag{2.5}$$

$$L_{jk}(\theta) = w_j w_k \Lambda_{jk}(\theta)$$

în care prin w_j, w_k s-au simbolizat numărul de spire ale înfășurărilor j, k , iar prin Λ_j, Λ_k permeanța proprie a înfășurării k , respectiv mutuală a înfășurărilor j, k .

În cazul configurației dentare a întrefierului se lucrează de obicei cu permeanța corespunzătoare unui pas dentar, raportată la unitatea de lungime a rotorului. Această permeanță este

o funcție periodică de unghi și se poate exprima printr-o serie armonică:

$$G(\theta) = \sum_{k=0}^{\infty} G_k \cos k\theta \quad (2.6)$$

în care prin G s-a notat permeanța specifică pentru un pas dentar, iar G_k amplitudinea armonicii k . Determinarea coeficienților G_k este limitată pentru scopurile practice la primele două componente:

$$G(\theta) \approx G_0 + G_1 \cos \theta \quad (2.7)$$

Valorile G_0 și G_1 se pot calcula prin diferite metode, dintre care metoda bazată pe aproximarea liniilor de câmp prin cercuri și linii drepte [52] oferă rezultate satisfăcătoare pentru cazurile practice. Astfel se cunosc curbele lui G_0 și G_1 în funcție de configurația geometrică a dinților și mărimea întrefierului.

Se consideră cazul unui MPP monostator cu m faze și rotor dințat pasiv, având poli aparenti statorici decalajați progresiv cu $2\pi/m$ radiani electrici față de axele dinților rotorici (exemplul din fig.2.7,a). Rotorul are z_r dinți iar pe fiecare pol statoric sînt z_s dinți. Motorul are m bobine concentrate pe cei m poli, fiecare avînd w spire. Acest caz de motor se poate considera ca reprezentativ prin simetria sa geometrică și se va lua ca bază în calculul permeanțelor MPP.

Schema echivalentă a circuitului magnetic, cu neglițarea căderilor de tensiune magnetotoare de-a lungul polilor, în jurguri și dinți și neglițarea fluxului de scăpări, se prezintă sub forma unei stele cu m ramuri, așa ca în figura 2.14,a. În ramura k ($k=1,2,\dots,m$) există sursa de tensiune magnetotoare $F_k=i_k w$ (i_k este curentul în faza k) și permeanța întrefierului Λ_k , dependență de unghi, conform relației:

$$\Lambda_k(\theta) = \Lambda_0 + \Lambda_1 \cos \left[\theta - (k-1) \frac{2\pi}{m} \right] \quad (2.8)$$

unde

$$\Lambda_0 = z_s \ell_r G_0$$

$$\Lambda_1 = z_s \ell_r G_1$$

ℓ_r fiind lungimea rotorului. Relația (2.8) este valabilă în ipoteza admisă că toți dinții aflați în zona unui pol se găsesc sub același potențial magnetic.

Pentru schema transformată din fig.2.14,b, permeanțele proprii Λ_{kk} și mutuale Λ_{jk} se exprimă prin relații cunoscute [8]

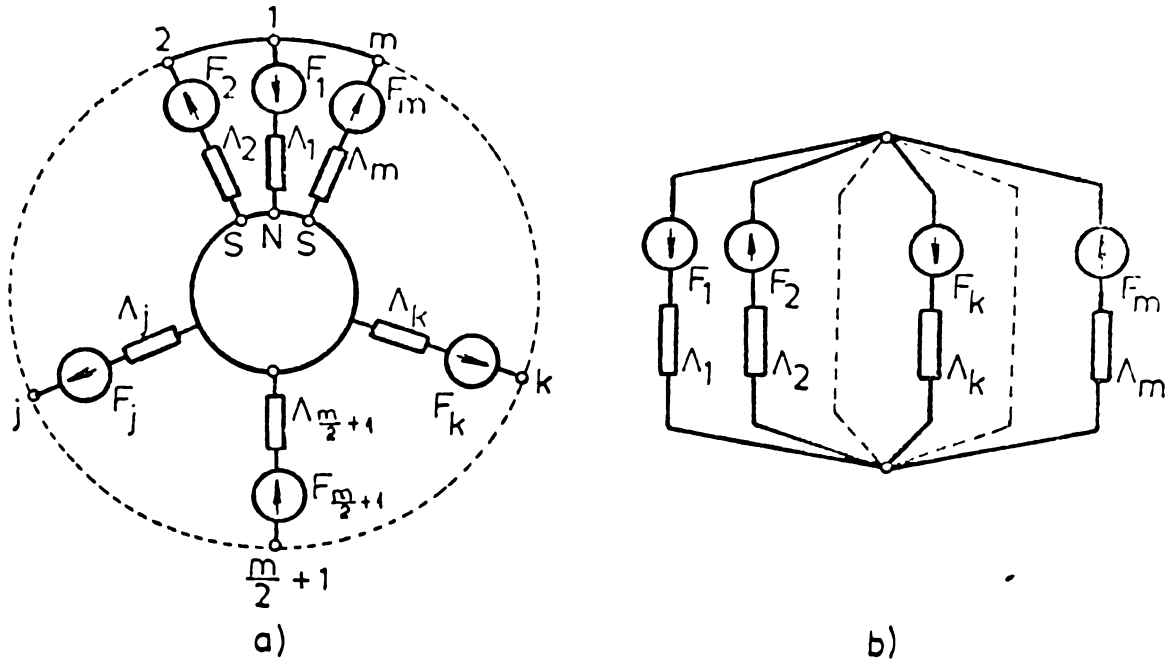


Fig.2.14. Schema echivalentă ideală a MPP cu rotor pasiv: a) Schema circuitului magnetic; b) Schema transformată.

$$\Lambda_{kk} = \Lambda_k(\theta) - \frac{\Lambda_k^2(\theta)}{\sum_{k=1}^m \Lambda_k(\theta)} \quad (2.9)$$

$$\pm \Lambda_{jk} = \frac{\Lambda_j(\theta) \Lambda_k(\theta)}{\sum_{k=1}^m \Lambda_k(\theta)}$$

Cunoscând expresiile permeanțelor pentru un pol j sau k (2.8) și că

$$\sum_{k=1}^m \Lambda_k(\theta) = m \Lambda_0 = \text{const.},$$

rezultă, folosind relațiile (2.9):

$$\Lambda_{kk}(\theta) = \frac{m-1}{m} \Lambda_0 + \frac{m-2}{m} \Lambda_1 \cos \left[\theta - (k-1) \frac{2\pi}{m} \right] \quad (2.10)$$

$$\pm \Lambda_{jk}(\theta) = \frac{1}{m} \Lambda_0 + \frac{2}{m} \Lambda_1 \cos \left[(j-k) \frac{\pi}{m} \right] \cos \left[\theta - (j+k-2) \frac{\pi}{m} \right]$$

Semnul permeanței mutuale a ramurii j și k depinde de sensul cuplării bobinelor elementare. De exemplu, dacă în circuitul închis format de ramurile j și k tensiunile magnetomotoare F_j și F_k au același sens atunci $\Lambda_{jk} > 0$, iar dacă au sensuri contrare, $\Lambda_{jk} < 0$.

Relațiile (2.10), deși aproximative prin neglijarea armonicilor superioare din dezvoltarea (2.6) și prin admiterea ipotezelor amintite, sînt foarte utile în stabilirea permeanțelor pro-

prii și mutuale pentru toate tipurile de MPP. În [8] se dau expresii mai exacte pentru permeanțe, cu luarea în considerare a armonicilor de ordinul II și a unor coeficienți de corecție pentru amplitudinile primelor două armonici ale permeanțelor.

În caz mai general, dacă MPP are m faze dispuse pe $\ell = qm$ poli, atunci fiecare zonă de fază se repetă de q ori, iar expresiile permeanțelor se obțin din (2.10) prin înlocuirea lui m cu $\ell = qm$ peste tot în afară de argumentele lui cosinus din parantezele drepte.

Schemele echivalente ale MPP care au excitație (magnet permanent sau bobină) trebuie completate cu ramurile corespunzătoare circuitului magnetic de excitație. În figura 2.15 sînt prezentate două scheme echivalente corespunzătoare tipurilor cu un stator și excitație separată (a), respectiv cu două statoare și excitație comună (b) [8]. Circuitul de excitație separată are tensiune magnetomotoare $F_e = w_e i_e$ (w_e -număr de spire, i_e -curent de excitație), permeanța proprie (internă) Λ_e invariabilă cu unghiul și permeanța de scăpări $\Lambda_{e\sigma}$ (punctat), dacă se ia în considerare. Ambele permeanțe sînt legate în paralel cu blocul permeanțelor circuitului magnetic pasiv $\Sigma \Lambda$.

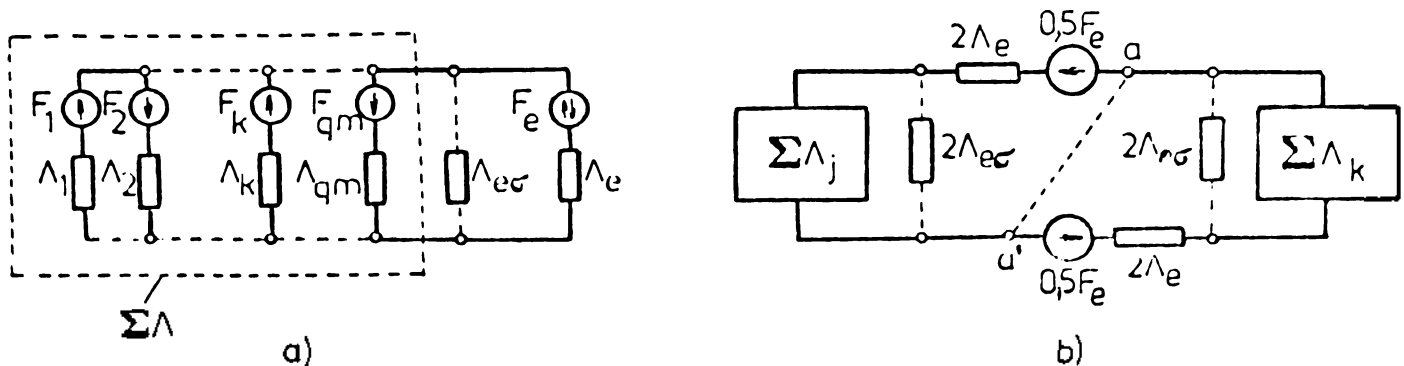


Fig.2.15. Schemele echivalente ale MPP cu excitație:
a) monostator; b) două statoare cu excitație comună.

În cazul unui singur circuit de excitație axial-radial comun pentru două statoare (fig.2.15,b), el se desparte în două circuite de excitație echivalente, câte unul pentru fiecare stator, avînd tensiunea magnetomotoare $0,5 F_e$ și permeanțele dublate.

Dacă circuitul de excitație este un magnet permanent, atunci el se înlocuiește cu un circuit de excitație echivalent format dintr-o bobină fără pierderi avînd tensiunea magnetomotoare F_M (rezultată din curba magnetului), parcursă de curentul fictiv:

$$I_M = F_M/w \quad (2.11)$$

unde w este numărul de spire a unei faze elementare.

Se mai ia în considerare și permeanța internă Λ_M și de scăpări $\Lambda_{M\sigma}$ ale magnetului. În acest fel, în figura 2.15 mărimile $F_e, \Lambda_e, \Lambda_{e\sigma}$ se înlocuiesc respectiv cu $F_M, \Lambda_M, \Lambda_{M\sigma}$ caracteristice magnetului permanent.

Permeanțele proprii și mutuale ale fazelor elementare precum și permeanța proprie a circuitului de excitație Λ_{ee} și permeanțele mutuale ale excitației cu fazele elementare Λ_{ek} , au expresiile [8]:

$$\begin{aligned} \Lambda_{kk} &= \frac{t'-1}{t'} \Lambda_0 + \frac{t'-2}{t'} \Lambda_1 \cos \left[\theta - (k-1) \frac{2\pi}{m} \right] \\ \pm \Lambda_{jk} &= \frac{1}{t'} \Lambda_0 + \frac{2}{t'} \Lambda_1 \cos \left[(j-k) \frac{\pi}{m} \right] \cos \left[\theta - (j+k-2) \frac{\pi}{m} \right] \\ \Lambda_{ee} &= r' \Lambda_e = \text{const.} \\ \pm \Lambda_{ek} &= s' \Lambda_0 + s' \Lambda_1 \cos \left[\theta - (k-1) \frac{2\pi}{m} \right] \end{aligned} \quad (2.12)$$

unde r', s', t' sînt coeficienți de legătură:

$$\begin{aligned} r' &= \frac{qm \Lambda_0 + \Lambda_{e\sigma}}{qm \Lambda_0 + \Lambda_{e\sigma} + \Lambda_e} \\ s' &= \frac{\Lambda_e}{qm \Lambda_0 + \Lambda_{e\sigma} + \Lambda_e} \\ t' &= \frac{qm \Lambda_0 + \Lambda_{e\sigma} + \Lambda_e}{\Lambda_0} \end{aligned} \quad (2.13)$$

S-au dat astfel expresiile permeanțelor pentru MPP cu circuit de excitație separată. Pentru MPP cu magnet permanent indicele e se înlocuiește cu M . Se observă că primele două expresii din (2.12) se obțin din (2.10) înlocuind pe m cu t' peste tot în afara argumentelor funcției cosinus.

Expresiile permeanțelor fiind cunoscute, se pot calcula acum inductivitățile fazelor. Acestea depind de modul de legare a bobinelor elementare. Pentru cazul simplu cînd motorul are m ramuri, fiecare fiind înfășurată cu o singură bobină concentrată (bobină elementară) atunci inductivitățile se calculează cu formulele (2.5) și (2.9).

În multe cazuri fazele sînt constituite din mai multe bobine elementare legate în serie, care pot ocupa mai multe ramuri. Inductivitățile proprii și mutuale se calculează cu formule similare celor amintite mai sus. Inductivitatea proprie a fazei a obținută prin legarea în serie a bobinelor elementare α, β, \dots , fiecare avînd w spire, este:

$$L_{aa} = w^2 \sum_{\substack{j=\alpha,\beta,\dots \\ k=\alpha,\beta,\dots}} \Lambda_{jk} = w^2 \left[\sum_{k=\alpha,\beta,\dots} \Lambda_k \pm \frac{\sum_{\substack{j=\alpha,\beta,\dots \\ k=\alpha,\beta,\dots}} \Lambda_j \Lambda_k}{\sum_{k=1}^{\ell} \Lambda_k} \right] \quad (2.14)$$

Inductivitatea mutuală a fazelor a și b care sînt alcătuite din legarea în serie a bobinelor α, β, \dots , respectiv x, y, \dots , este:

$$L_{ab} = w^2 \sum_{\substack{j=\alpha,\beta,\dots \\ k=x,y,\dots}} \Lambda_{jk} = \pm w^2 \frac{\sum_{\substack{j=\alpha,\beta,\dots \\ k=x,y,\dots}} \Lambda_j \Lambda_k}{\sum_{k=1}^{\ell} \Lambda_k} \quad (2.15)$$

Pentru scrierea ecuațiilor de funcționare ale MPP interesează schemele echivalente și inductivitățile corespunzătoare celor trei tipuri funcționale de MPP. În conformitate cu caracteristicile tipurilor funcționale arătate la cap.2.1 și cu ajutorul schemelor echivalente ideale din fig.2.14 și 2.15, schemele echivalente pentru diferite tipuri de MPP se reprezintă așa ca în fig.2.16. Ele vor fi descrise în continuare și se vor indica inductivitățile corespunzătoare. Considerațiile asupra circuitelor magnetice vor întregi tabloul caracteristicilor celor trei tipuri de MPP justificînd unele proprietăți enunțate în cap.2.1.

a) MPP reactiv, reprezentat în fig.2.16,a, se caracterizează prin repartizarea unei bobine pentru fiecare fază ($q=1$), legarea lor electrică fiind în stea iar orientarea magnetică în același sens. Acest sistem de legare permite separarea fictivă a unei secții a fiecărei bobine și legarea tuturor secțiilor în serie, ceea ce duce la obținerea conturului "0" (homopolar). Din cauza orientării bobinelor sale, acest contur nu produce flux util și nu este legat inductiv de fazele motorului. Astfel, folosind și relațiile (2.10), (2.14) și (2.15), inductivitățile rezultă:

$$\begin{aligned} L_{kk} &= \frac{m-1}{m} w^2 \Lambda_0 + \frac{m-2}{m} w^2 \Lambda_1 \cos \left[\theta - (k-1) \frac{2\pi}{m} \right] \\ L_{jk} &= -\frac{1}{m} w^2 \Lambda_0 - \frac{2}{m} \cos \left[(j-k) \frac{\pi}{m} \right] w^2 \Lambda_1 \cos \left[\theta - (j+k-2) \frac{\pi}{m} \right] \quad (2.16) \\ L_{00} &\approx 0, \quad L_{0k} \approx 0. \end{aligned}$$

Nefiind productiv, conturul homopolar nu justifică realizarea lui fizică, iar motorul nu trebuie alimentat în secvență monopolară. Cuplul dezvoltat are caracter pur reactiv.

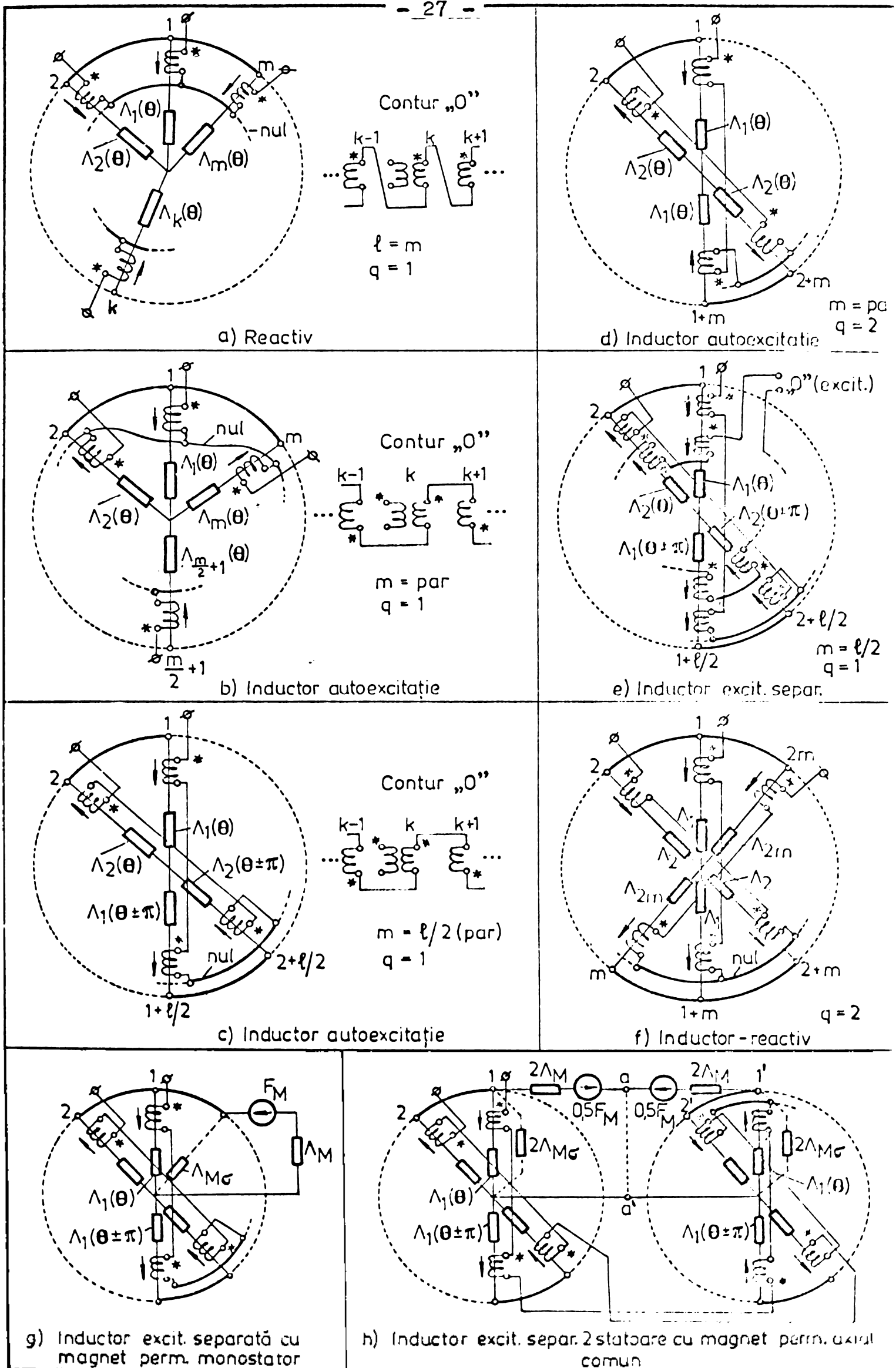


Fig.2.16. Schemele echivalente ale MPP.

b) MPP inductor cu autoexcitație, reprezentat în fig.2.16,b, se obține prin legarea în stea a bobinelor orientate magnetic alternativ. Cazul de față este cu o bobină pentru fiecare fază ($q=1$). Conturul homopolar separat fictiv are polaritate alternantă, creează flux util de excitație și este legat inductiv cu fazele motorului. Inductanțele se deduc similar și sînt:

$$\begin{aligned} L_{kk} &= \frac{m-1}{m} w^2 \Lambda_0 + \frac{m-2}{m} w^2 \Lambda_1 \cos \left[\theta - (k-1) \frac{2\pi}{m} \right] \\ L_{jk} &= \pm \frac{1}{m} w^2 \Lambda_0 \pm \frac{2}{m} \cos \left[(j-k) \frac{\pi}{m} \right] w^2 \Lambda_1 \cos \left[\theta - (j+k-2) \frac{\pi}{m} \right] \quad (2.17) \\ L_{00} &= mw^2 \Lambda_0 = \text{const.} \\ L_{ok} &= \pm w^2 \Lambda_0 \pm w^2 \Lambda_1 \cos \left[\theta - (k-1) \frac{2\pi}{m} \right] \end{aligned}$$

Din cauza polarității alternante a bobinelor, semnul lui L_{jk} este pozitiv dacă j este par și k impar, sau invers, respectiv negativ dacă j și k sînt ambele pare sau ambele impare. L_{ok} este pozitiv în cazul cuplării în aceeași polaritate a bobinelor "0" și k , respectiv negativ în caz contrar. Conturul homopolar cu bobinele cuplate alternativ asigură un flux de excitație util numai la alimentarea fazelor în secvență monopolară, rezultînd astfel cuplul activ. Alimentarea în secvență bipolară anulează componenta homopolară și deci nu apare cuplu. Realizarea fizică a conturului homopolar este utilă și astfel motorul se transformă în inductor cu excitație separată multipolară. Ar apărea în acest caz dezavantajul suprapunerii fluxului de excitație a circuitului separat cu fluxul creat de componenta homopolară, ceea ce ar duce la saturarea circuitului magnetic.

c) Tipul de MPP inductor cu autoexcitație mai utilizat în practică este cel reprezentat în fig.2.16,c, care se obține din tipul b) dacă se leagă în serie două bobine diametral opuse corespunzătoare unor permeanțe decalate electric cu $\pm \pi$. În acest fel inductanțele depind neglijabil de unghi și dacă se neglijează armonica a 2-a, acestea devin:

$$\begin{aligned} L_{kk} &\cong 2w^2 \Lambda_0 = \text{const.} \\ L_{jk} &\cong 0 \\ L_{00} &= mw^2 \Lambda_0 = \text{const.} \quad (2.18) \\ L_{ok} &= 2w^2 \Lambda_1 \cos \left[\theta - (k-1) \frac{2\pi}{m} \right] \end{aligned}$$

Conturul homopolar există și creează flux util de excitație la alimentarea fazelor în secvența monopolară. Cu expresiile (2.18)

pentru inductivități, acest tip de MPP se situează în categoria mașinilor sincrone fără poli aparenti, cu magneti permanenți în rotor, iar cu luarea în considerare a dependenței inductivităților de 2θ , MPP se plasează în categoria mașinilor sincrone cu poli aparenti și excitație rotorică [20].

d) Legând în serie două bobine diametral opuse, orientate magnetic invers, dar corespunzătoare la permeanțe egale ($q=2$), se obține altă variantă de MPP inductor cu autoexcitație, așa cum este reprezentat în fig.2.16,d. Conturul homopolar nu se poate separa iar fluxul de excitație este dat de componenta continuă a curentului în faze (alimentare monopolară). Față de varianta b) numărul bobinelor pe o fază s-a dublat, astfel că se dublează și inductivitățile. În general, pentru q bobine legate în serie:

$$\begin{aligned} L_{kk} &= \frac{m-1}{m} qw^2 \Lambda_0 + \frac{m-2}{m} qw^2 \Lambda_1 \cos \left[\theta - (k-1) \frac{2\pi}{m} \right] \\ L_{jk} &= \pm \frac{1}{m} qw^2 \Lambda_0 \pm \frac{2}{m} \cos \left[(j-k) \frac{\pi}{m} \right] qw^2 \Lambda_1 \cos \left[\theta - (j+k-2) \frac{\pi}{m} \right] \end{aligned} \quad (2.19)$$

Această variantă corespunde schemei de principiu din fig. 2.1 și este frecvent folosită.

e) MPP inductor cu excitație separată multipolară se obține practic din schema c) prin separarea fizică a conturului "0" (homopolar) și alimentarea la o sursă de tensiune constantă. Fluxul de excitație este util și creează cuplul activ, iar pentru eliminarea dezavantajului suprapunerii lui cu fluxul componentei continue a curentului din faze, se elimină cuplajul între faze prin legarea în serie a bobinelor diametral opuse cu permeanțe decalate electric cu $\pm \pi$. Inductivitățile au expresii similare cu 2.18. Varianta corespunde schemei din fig.2.2:

f) MPP inductor-reactiv se obține prin legarea în serie a două bobine diametral opuse, cu aceeași orientare magnetică și permeanțe corespunzătoare egale (fig.2.16,f). Motorul este "înjumătățit", adică pe o semicircumferință bobinele sînt orientate într-un fel, iar pe cealaltă altfel. Cuplajul magnetic între faze este eliminat iar conturul homopolar nu se poate separa. Inductivitățile sînt:

$$\begin{aligned} L_{kk} &= 2w^2 \Lambda_0 + 2w^2 \Lambda_1 \cos \left[\theta - (k-1) \frac{2\pi}{m} \right] \\ L_{jk} &= 0. \end{aligned} \quad (2.20)$$

Varianta corespunde schemei din fig.2.8.

g) MPP inductor cu excitație separată cu magnet permanent, monostator, are schema echivalentă obținută prin completarea MPP

Inductor cu autoexcitație, tipul c), cu circuitul magnetului (fig. 2.16,g), acesta din urmă fiind definit în schema 2.14,a. Inductivitățile se obțin din (2.10), (2.12) și (2.18):

$$\begin{aligned} L_{kk} &\approx 2w^2 \frac{t'-1}{t'} \Lambda_0 \\ L_{jk} &\approx 0 \\ L_{MM} &= w^2 r' \Lambda_M \\ L_{Mk} &= 2w^2 s' \Lambda_1 \cos \left[\theta - (k-1) \frac{2\pi}{m} \right] \end{aligned} \quad (2.21)$$

Conturul homopolar de la varianta c) s-a înlocuit astfel cu circuitul magnetului permanent. Cuplajul dintre faze fiind anulat, se elimină autoexcitarea motorului, acesta fiind alimentat în secvență monopolară. Dacă ar exista cuplaj între faze ($L_{jk} \neq 0$ prin nelegarea în serie a bobinelor cu permeanțe decalate cu $\pm\pi$), atunci autoexcitarea se elimină prin alimentarea în secvență bipolară (schemele din fig.2.3 și 2.4).

h) Pentru construcțiile cu 2 statoare și magnet permanent comun schema echivalentă se obține prin extinderea variantei g) și folosind schema din fig.2.14,b. Circuitul magnetului este divizat în două secții, astfel că apar 2 surse cu $0,5 F_M$ și permeanțele magnetului dublate (fig.2.16,g). Expresiile inductivităților (2.21) rămân valabile în acest caz dacă la calculul coeficienților $r';s';t'$ se pun în loc de $\Lambda_M, \Lambda_{M\sigma}$ valorile lor duble, iar $L_{MM} = 0,5 w^2 r' \Lambda_M$, deoarece fluxul de excitație este de două ori mai mic pentru fiecare secție.

Tipurile din fig.2.5 și 2.6 au de obicei scheme echivalente de forma 2.16,g.

Concluzii

1. Impărțirea MPP în trei tipuri funcționale este avantajoasă atât pentru abordarea mai clară a transformărilor sale interne, cât și pentru că duce la tratarea unitară a funcționării sale. Criteriul de clasificare este modul cum are loc excitația și caracterul cuplului dezvoltat de motor.

2. Considerațiile făcute asupra cuplului static sincronizant, definit ca variația energiei magnetice cu unghiul de rotație, disting cele două cupluri - activ și reactiv. Rămâne concluzia că în realitate toate tipurile de MPP cu configurația dentară a întregului fierului dezvoltă cuplu reactiv în baza principiului reluctanței minime.

3. Sistemul de comutație, descris cu ajutorul vectorului spațial al tensiunii de alimentare, are influență asupra plășrii motorului în unul din cele trei tipuri funcționale, precum și asupra valorii pasului. Din multitudinea secvențelor de alimentare, este utilizată comanda potențială monopolară simetrică, datorită realizării ei practice mai ușoare.

4. La calculul inductivităților neglijaarea armonicelor de la ordinul II în sus din spectrul permeanțelor, ca și neglijaarea saturației magnetice, conduc la expresii simple și practice. Schemele echivalente din fig.2.16 și formulele (2.16)-(2.21) definesc în general toate tipurile de MPP parametrice și se pot folosi direct în stabilirea modelelor matematice ale MPP.

3. METODE DE ANALIZA A SISTEMELOR DE ACTIONARE CU MPP

Prin sistem de acționare cu MPP (SAMPP) se înțelege ansamblul format din MPP, blocul său de alimentare cu impulsuri (indiferent de structura lui) și sarcina mecanică de la arbore. Studiarea acestui ansamblu, care implică corelarea fenomenelor de comutație electronică specifice blocului de alimentare cu transformările electromagnetice proprii motorului și cu dinamica mișcării arborelui, se încadrează în concepția acceptată în general în acționări electrice, aceea de a considera sistem de acționare electrică un sistem unitar de conversie a energiei electrice în energie mecanică [4,53]. De altfel abordarea SAMPP în această concepție se justifică mai ales în cazul MPP, care nu are propriu-zis o rețea de alimentare directă și deci este inseparabil de blocul său de alimentare cu impulsuri.

Scopul acestui capitol este de a prezenta metodologia de studiere a SAMPP în diferite regimuri de funcționare și de a aduce unele contribuții originale în analiza acestora, pentru a o utiliza apoi la tratarea sistemelor de poziționare cu MPP.

3.1. Modelul liniar m-fazat al SAMPP

Prin model liniar m-fazat se înțelege sistemul de ecuații care descriu transformările electromagnetice și electromecanice ale SAMPP cu m faze, fără a lua în considerare unele neliniarități ca: saturația magnetică, caracteristicile reale ale contactoarelor statice, variația momentului de inerție la arbore etc. și a pătura neliniaritatea specifică MPP: variația parametrilor magnetici cu unghiul de rotație.

SAMPP este un sistem unitar de conversie caracterizat prin $m+2$ coordonate generalizate (sau grade de libertate): m curenți în fazele MPP, curentul de excitație și unghiul de rotație. Pentru descrierea lui sînt necesare tot atîtea ecuații de echilibru, adică $m+1$ ecuații de echilibru electric și ecuația de mișcare (echilibrul dinamic al cuplurilor). Aceste ecuații, care formează modelul liniar m-fazat al MPP, are forma matriceală [13,15,16,52]:

$$\begin{aligned} [i_k] [R] + \frac{d}{dt} [\psi_k] &= [u_k] \\ J \frac{d^2 \theta_m}{dt^2} + B \frac{d \theta_m}{dt} + M_r &= M_e \end{aligned} \quad (3.1)$$

în care:

- $[i_k]$ - matricea coloană a curenților, cu $m+1$ linii, ultima fiind curentul de excitație real sau echivalent;
- $[R]$ - matricea diagonală a rezistențelor, de dimensiunile $(m+1) \times (m+1)$. Se consideră că toate fazele, inclusiv circuitul de excitație, au rezistența R ;
- $[\psi_k]$ - matricea coloană a fluxurilor totale, care se consideră aici funcții liniare de curenții din circuitele respective; are $m+1$ linii, ultima corespunzând fluxului de excitație;
- $[u_k]$ - matricea coloană a tensiunilor de alimentare a celor m faze și tensiunea de excitație;
- J - momentul de inerție total redus la arborele MPP, considerat constant;
- B - coeficientul frecării viscoase, constant;
- M_r - cuplul rezistent redus la arbore;
- M_e - cuplul electromagnetic dezvoltat de motor;
- θ_m - unghiul mecanic instantaneu al rotorului.

Matricele din sistemul (3.1) sînt așadar:

$$\begin{aligned} [i_k] &= [i_1 \ i_2 \ \dots \ i_m \ i_e]' \\ [R] &= \text{diag} [R \ R \ \dots \ R \ R] \\ [\psi_k] &= [\psi_1 \ \psi_2 \ \dots \ \psi_m \ \psi_e]' \\ [u_k] &= [u_1 \ u_2 \ \dots \ u_m \ u_e]' \end{aligned} \quad (3.2)$$

Rezistența R este constantă dacă motorul este alimentat în secvență bipolară sau, în cazul secvenței monopolare, dacă fazele sînt șuntate prin diode (diodă supresoare). Dacă diodele lipsesc atunci rezistența R devine neliniară, fiind funcție de starea contactorului pe faza respectivă. Pentru a nu complica tratarea este necesară o ipoteză artificială, aceea că comanda potențială este completată cu o comandă prin impulsuri, adică la decuplarea unei faze tensiunea are un impuls negativ de scurtă durată [8]. Astfel se poate lua $R = \text{const.}$

Ultima linie din ecuația matriceală corespunde circuitului de excitație. Dacă excitația este cu magnet permanent, ea se reduce la $I_M = \text{const.}$ și modelul va avea $m+1$ ecuații diferențiale.

Aceeași concluzie este valabilă și pentru cazul excitației separate alimentată de la o sursă de curent constant [89].

Dacă sursa de alimentare a fazelor este de curent constant, atunci primele $m+1$ ecuații devin $i_k = \text{const.}$ ($k=1,2,\dots,m+1$), iar modelul (3.1) se reduce la ecuația de mișcare, în care cuplul electromagnetic depinde numai de poziția unghiulară a rotorului. Cu toate că această situație corespunde unui caz ideal de alimentare, utilizarea ecuației de mișcare ca instrument în tratarea sistemelor de poziționare cu MPP duce la rezultate acceptabile în unele aplicații.

Admițând liniaritatea circuitului magnetic, fluxul total al fazei k se exprimă conform principiului superpoziției:

$$\psi_k(\theta, i) = \sum_{j=1}^{m+1} L_{jk}(\theta) i_j \quad (3.3)$$

în care unghiul electric θ se exprimă în funcție de unghiul mecanic θ_m așa cum s-a arătat în cap.2.2.

Cuplul electromagnetic reprezintă derivata în funcție de unghi a coenergiei W_{co} a sistemului magnetic al MPP [15,16,52,76] și se exprimă astfel:

$$M_e(\theta, i) = \left. \frac{dW_{co}}{d\theta} \right|_{i=\text{const.}} = \frac{p}{2} \sum_{j=1}^{m+1} \sum_{k=1}^{m+1} \frac{dL_{jk}(\theta)}{d\theta} i_j i_k \quad (3.4)$$

Cu relațiile (3.3) și (3.4) sistemul (3.1) se scrie în extenso:

$$R i_k + \sum_{j=1}^{m+1} L_{jk}(\theta) \frac{di_j}{dt} + \frac{d\theta}{dt} \sum_{j=1}^{m+1} i_j \frac{dL_{jk}}{d\theta} = u_k \quad (k=1,2,\dots,m+1) \quad (3.5)$$

$$\frac{J}{p} \frac{d^2\theta}{dt^2} + \frac{B}{p} \frac{d\theta}{dt} + M_r = \frac{p}{2} \sum_{j=1}^{m+1} \sum_{k=1}^{m+1} \frac{dL_{jk}(\theta)}{d\theta} i_j i_k$$

Scrierea sub această formă a modelului matematic m -fazăz liniar scoate în evidență componentele tensiunii în conturul k : primul termen din prima ecuație este căderea ohmică, prima sumă determină tensiunea electromotoare de autoinducție, iar a doua nu este tensiunea electromotoare de rotație. Cuplul electromagnetic are termeni de tipul (2.2), adică poate avea componente active și reactive.

Deși are avantajul că exprimă legăturile între parametri și coordonate reale ale SAMPP, modelul m -fazăz este dificil de utilizat pentru $m \geq 4$, chiar dacă se folosesc metode numerice de in-

tegrare [3,11,15]. Dificultatea constă în aceea că trebuie explicitate analitic derivatele variabilelor i_k, θ din sistemul (3.5), lucru extrem de laborios pentru $m \geq 4$. Integrarea se simplifică pentru unele tipuri de MPP la care nu există cuplaj magnetic între faze: $L_{jk}=0$ ($j \neq k$), sau la care inductivitățile depind foarte puțin de unghiul θ . Uneori se admite simplificarea de a neglija inductivitățile mutuale în ecuațiile de tensiune și a le păstra în expresia cuplului, artificiu care poate fi compensat prin mărirea coeficientului frecării vîscoase din ecuația mișcării rotorului [16,79].

3.2. Efectul saturației magnetice

După dependența inductivităților de unghi, saturația magnetică este cea mai importantă neliniaritate a MPP, a cărei neglijare poate provoca devierea rezultatelor modelării de la realitate. Incluziunea saturației în modelul matematic m-fazat a preocupat pe mulți autori [6,8,16,35,52], urmărind obținerea atât a unor determinări cantitative cât și interpretări practice a efectului saturației asupra performanțelor SAMPP. Dificultatea principală constă în aceea că, deși curba de magnetizare, cunoscută de obicei din experimentări, se poate exprima analitic prin polinoame, segmente de dreaptă sau funcții exacte, exprimarea fluxului total pentru o fază nu se poate face decât grafo-analitic, deoarece este anulat principiul superpoziției (relația 3.3). În acest fel este imposibil de a obține un model matematic analitic explicitat cu luarea în considerare a saturației, valabil pentru cazul general a m faze.

Din acest motiv s-au încercat diverse metode aproximative, de compromis, de a corecta sau completa modelul matematic liniar.

O metodă simplă de a exprima efectul saturației este introducerea în modelul m-fazat liniar a unor coeficienți de saturație [8]. Metoda se bazează pe observația că saturația se manifestă mai ales în dinții MPP și are ca efect atenuarea modulării câmpului magnetic din întrefier cu unghiul.

Coeficientul de saturație σ_s este subunitar și se definește astfel:

$$\sigma_s = \frac{\Lambda_1}{\Lambda_0 + \Lambda_1} = \frac{G_1}{G_0 + G_1} \quad (3.6)$$

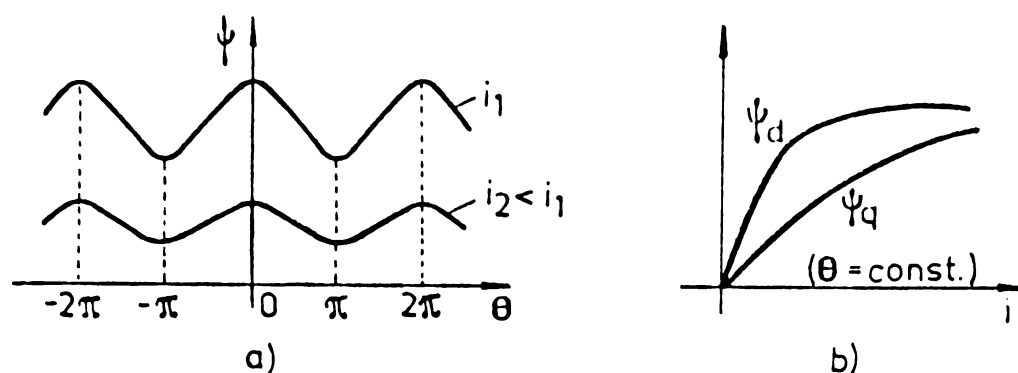
Acest coeficient atenuază amplitudinile permeanțelor din expresiile inductivităților, luându-se $\sigma_s \Lambda_0$ și $\sigma_s^2 \Lambda_1$ în loc de Λ_0 și respectiv Λ_1 .

Metoda, pe cît de simplă, este pe atît de aproximativă, dar are caracter practic, neafectînd complexitatea ecuațiilor modelului. Pentru un motor bine proiectat coeficientul de saturație are valori $\sigma_s = 0,8 \dots 0,9$ [8].

O altă posibilitate de a introduce saturația este de a căuta pentru fluxul total o exprimare analitică pe baza unor date experimentale. În lucrarea [11], luînd cazul cînd este alimentată o singură fază a MPP și nu există cuplaj magnetic între faze, se propune exprimarea fluxului total al fazei printr-o suprafață de forma:

$$\psi(i, \theta) = A(i) + B(i) \cos \theta \quad (3.7)$$

în care funcțiile A și B arată dependența neliniară a fluxului de curentul fazei, iar $\cos \theta$ dependența sa periodică de unghi. Intersectînd suprafața ψ cu plane $i = \text{const.}$ și $\theta = \text{const.}$, se obțin curbe binecunoscute, sinusoidale, respectiv de magnetizare, reprezentate în figura 3.1.



Curbele de magnetizare obținute pentru diferite unghiuri se pot încadra între două curbe extreme, notate ψ_d și ψ_q , ușor de ridicat experimental [16]. Rezultă că funcțiile A și B

Fig.3.1. Variația fluxului total: a) în funcție de θ , la $i = \text{const.}$; b) în funcție de i , la $\theta = \text{const.}$

din (3.7) se pot exprima astfel:

$$\begin{aligned} A(i) &= \frac{1}{2} [\psi_d(i) + \psi_q(i)] \\ B(i) &= \frac{1}{2} [\psi_d(i) - \psi_q(i)]. \end{aligned} \quad (3.8)$$

Curbele ψ_d și ψ_q , ridicate experimental pentru pozițiile $\theta = 0$ și $\theta = \pi/2$, se aproximează analitic prin polinoame după puterile impare ale lui i . În acest fel fluxul total al unei faze, în cazul alimentării ei exclusive, se poate exprima analitic în funcție de θ și i fie prin polinoame, fie prin funcții exacte de tipul "clopotul lui Gauss" [11,14,52], cu care se poate apoi alcătui modelul matematic sub forma:

$$\begin{aligned} Ri + \frac{\partial \psi}{\partial i} \frac{di}{dt} + \frac{\partial \psi}{\partial \theta} \frac{d\theta}{dt} &= u \\ \frac{J}{p} \frac{d^2 \theta}{dt^2} + \frac{B}{p} \frac{d\theta}{dt} + M_r &= \frac{p}{2} \frac{d}{d\theta} \left[\int_0^i \psi(i, \theta) di \right]_{i = \text{const.}} \end{aligned} \quad (3.9)$$

în care integrala din ecuația mișcării este coenergia. Derivatele parțiale, ca și cuplul electromagnetic devin funcții analitice de θ și i .

Este de menționat că funcția care exprimă curba de magnetizare poate fi de orice tip, dar, pentru o eventuală integrare numerică a sistemului (3.9), aceasta trebuie să fie o funcție continuă. În [6] s-au luat pentru exprimarea saturației funcțiile hiperbolice.

O concluzie interesantă se poate trage în legătură cu efectul saturației asupra cuplului electromagnetic.

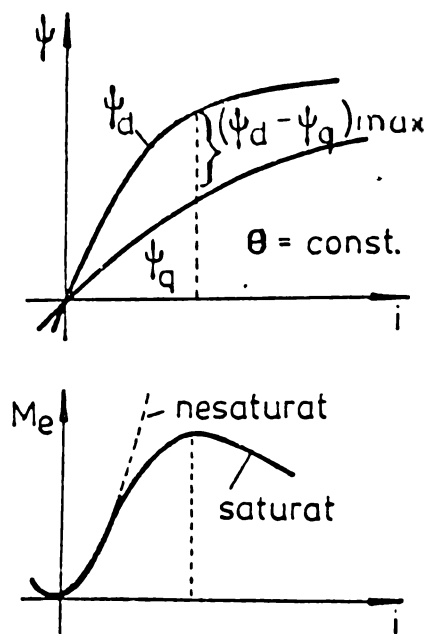


Fig.3.2. Efectul saturației asupra cuplului electromagnetic. motor dat [40].

Modelul (3.9) exprimă corect funcționarea SAMPP cu luarea în considerare a saturației, dar este condiționat de alimentarea unei singure faze și lipsa cuplajului magnetic între faze. El poate fi aplicat asupra MPP care nu au inductivități mutuale, cu alimentare în secvență monopolară simplă.

3.3. Modelul transformat al SAMPP

Dificultățile de utilizare a modelului m -fază au determinat modificarea acestuia prin efectuarea unor schimbări de variabile care să simplifice forma matematică a ecuațiilor din sistemul m -fază sau să le înlocuiască cu altele noi.

În general se urmărește transformarea sistemului celor m ecuații diferențiale aferente curenților în faze (ecuații nelinia-

re prin dependența inductivităților de unghi), păstrând neschimbate ecuația de mișcare și ecuația circuitului de excitație.

Metoda schimbării de variabile este cunoscută și aplicată în teoria mașinilor sincrone [95] și aplicarea ei duce la obținerea unui sistem de m ecuații diferențiale cu coeficienți constanți. Extinderea acestei metode în cazul MPP este limitată din următoarele considerente:

- suma elementelor pe fiecare linie din matricoa inductivităților trebuie să nu depindă de unghiul θ . La MPP această condiție se îndeplinește numai pentru tipurile inductoare (relațiile 2.21), eventual cu includerea armonicilor de ordinul II ale inductivităților;

- viteza unghiulară se consideră constantă, ceea ce în cazul MPP se poate accepta numai în domeniul frecvențelor mari de comandă.

Transformări utile pentru SAMPP se obțin schimbând cele m coordonate reale ale MPP cu alte m coordonate fictive ortogonale, transformare avantajoasă pentru cazul specific al alimentării cu impulsuri a MPP. Se vor prezenta aici două din transformările cunoscute: transformarea în coordonate simetrice Fortescue (modelul $\alpha\beta$) și transformarea în coordonate ortogonale dq (modelul dq). În teoria mașinilor de curent alternativ ele se numesc metoda componentelor simetrice, respectiv metoda celor două reacții [64].

3.3.1. Modelul $\alpha\beta$

Coordonatele x_k ($k=1,2,\dots,m$) ale modelului real m -fază se înlocuiesc cu coordonate ortogonale fictive, potrivit relației lui Fortescue [8]:

$$\bar{x}_n = x_{\alpha_n} + \bar{j} x_{\beta_n} = N \sum_{k=1}^m x_k(t) e^{\bar{j} \frac{2\pi n}{m}(k-1)} \quad (3.10)$$

în care:

$x_{\alpha_n}, x_{\beta_n}$ - componentele ortogonale ale modelului;

n - numărul de ordine al perechii de coordonate noi;

($n=0,1,\dots,\rho$, iar $\rho = \frac{m-1}{2}$ pentru m impar și $\rho = \frac{m}{2}$ pentru m par);

N - factor de scară ($N = \frac{1}{m}$ pentru cazurile când $x_{\beta_n} = 0$ și $N = \frac{2}{m}$ pentru cazurile $x_{\beta_n} \neq 0$);

$\bar{j} = \sqrt{-1}$, spre a nu se confunda cu indicele j .

Pentru $n=0$ și $n = \frac{m}{2}$ (dacă există), relația (3.10) dă variabile reale:

$$\bar{x}_0 = x_{\alpha_0} = x_{0+} = \frac{1}{m} \sum_{k=1}^m x_k(t) e^{j0} = \frac{1}{m} (x_1 + x_2 + \dots + x_m) \quad (3.11)$$

$$\bar{x}_{m/2} = x_{\alpha_{m/2}} = x_{0-} = \frac{1}{m} \sum_{k=1}^m x_k(t) e^{j\pi(k-1)} = \frac{1}{m} (x_1 - x_2 + \dots - x_m)$$

numite: x_{0+} coordonată homopolară directă, iar x_{0-} coordonată homopolară inversă.

Sistemul celor m coordonate reale s-a înlocuit cu un sistem format din $\frac{m-1}{2}$ coordonate complexe (perechi) și una reală x_0 , pentru m impar, respectiv $\frac{m-2}{2}$ coordonate complexe și două reale (x_{0+} și x_{0-}), pentru m par.

Trecerea de la coordonatele noi la cele vechi se efectuează printr-o transformare inversă de forma:

$$x_k = \operatorname{Re} \left\{ \sum_{n=0}^p \bar{x}_n e^{-j \frac{2\pi n}{m}(k-1)} \right\}, \quad k=1,2,\dots,m \quad (3.12)$$

În legătură cu transformarea $\alpha\beta$ se pot face următoarele interpretări:

a) Înfășurările reale ale MPP se înlocuiesc cu perechile de înfășurări ortogonale fictive α_1 și β_1 , α_2 și β_2, \dots, α_n și β_n și înfășurările homopolare $0+$ și $0-$ (fig.3.3). Sistemul noilor înfășurări se rotește cu viteza

$$\Omega_n = (1-n)\Omega \quad (3.11)$$

unde Ω este viteza rotorică. Valorificînd pe n se observă că înfășurarea $0+$ este legată de rotor ($n=0$), perechea de înfășurări α_1, β_1 este fixă, legată de stator ($n=1$), iar celelalte înfășu-

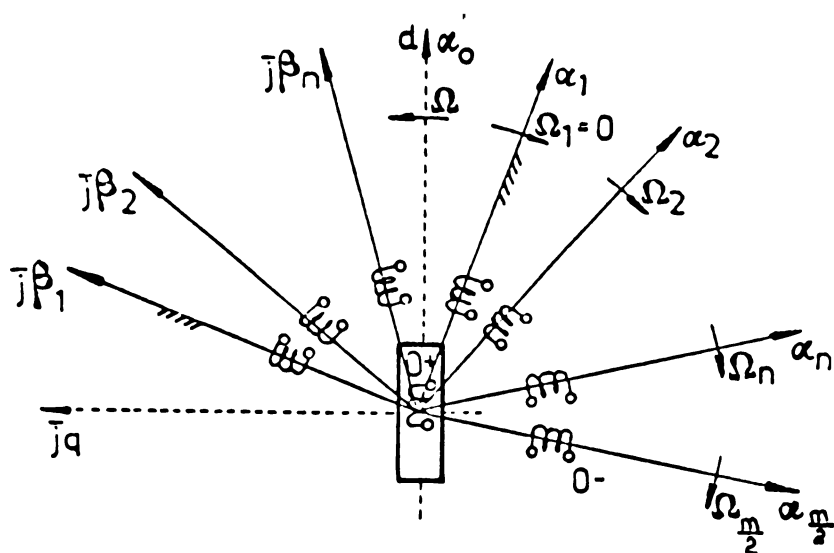


Fig.3.3. Înfășurările transformate ale MPP.

rări sînt rotitoare în sens invers rotației rotorului cu vitezele Ω_n ($n \geq 2$).

b) Considerînd că în sistemul vechilor coordonate fiecare variabilă corespunde unui vector spațial decalat cu $2\pi(k-1)/m$, în noul sistem se obțin p grupe de vectori spațiali corespunzătoare noilor variabile. Fiecare grupă are m vectori spațiali decalați cu $2\pi n(k-1)/m$, unde n este numărul grupei, k numărul vectorului din

grup. Pentru $n=0$ se obține un grup de vectori coliniari orientați după axa reală α (axa fazei 1), ceea ce corespunde legării succesive în serie a fazelor cu aceeași polaritate de cuplaj. Acest mod de legare corespunde conturului homopolar direct. Pentru $n=1$ se obține o stea de vectori decalajați succesiv cu $2\pi/m$, orientați la fel ca vectorii originali, adică axa vectorului k coincide cu axa fazei k . Aceasta corespunde schemei de cuplare reale a fazelor. Pentru $n > 1$ se obțin grupe de vectori în stea, rotitori cu vitezele $\omega_n < 0$, decalajați între ei cu un multiplu de $2\pi/m$. Pentru $n = m/2$ (dacă există) se obțin doi vectori diametrali opuși, ceea ce corespunde legării succesive în serie a fazelor cu polaritate de cuplaj alternativă, formând conturul homopolar invers.

c) Motorul real se înlocuiește cu unul fictiv având ρ conture fictive, conform precizărilor anterioare: conturul homopolar direct, conturul real, conturile stelare modificate și conturul homopolar invers.

d) Dacă în înfășurările reale ale motorului pot apărea toate componentele armonice ale variabilelor, în noile înfășurări ortogonale α_n, β_n pot exista numai componentele armonice ale căror frecvențe îndeplinesc condiția [8]:

$$v_n = z m \pm n \quad (3.13)$$

unde $z=0,1,2,\dots$ este un număr întreg. Aceasta înseamnă că dacă în conturile transformate există armonici ce nu apar în spectrul real, aceste conture se pot elimina.

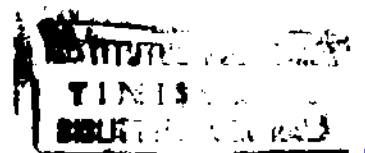
Relația de transformare directă 3.10 se poate scrie și matriceal astfel:

$$\begin{bmatrix} \bar{x}_0 \\ \bar{x}_1 \\ \vdots \\ \bar{x}_\rho \end{bmatrix} = N \begin{bmatrix} a^{(j-1)(k-1)} \\ (j=1,\dots,\rho+1) \\ (k=1,\dots,m) \end{bmatrix} \begin{bmatrix} x_1 \\ x_2 \\ \vdots \\ x_m \end{bmatrix} \quad (3.14)$$

unde s-a notat $a = e^{j \frac{2\pi}{m}}$, sau concentrat:

$$[\bar{x}_n] = [a_{jk}] [x_k] \quad (3.14,a)$$

În acest fel din m ecuații reale cu variabilele x_k se obțin ρ ecuații complexe cu variabile \bar{x}_n . Matricea complexă $[\bar{x}_n]$ cu dimensiunile $(\rho+1) \times 1$ are ca echivalent în domeniul real matricea $[x_{\alpha\beta}]$ cu dimensiunile $m \times 1$, obținută prin separarea părților reale și imaginare a componentelor \bar{x}_n și aranjarea lor succesivă pe coloană. Operația se va simboliza prin SP (Separarea Părților), adică:



$$[\bar{x}_n] \Big|_{SP} = [x_{\alpha\beta}] \quad (3.15)$$

Matricea transformării directe $[a_{jk}]$ are dimensiunile $(\rho+1) \times m$, iar obținerea ei este indicată chiar în relația (3.14).

Pentru transformarea inversă se folosește matricea transpusă conjugată a matricii $[a_{jk}]$, notată cu $[\check{a}_{kj}]$:

$$[x_k] = \text{Re} \left\{ [\check{a}_{kj}] [\bar{x}_n] \right\}, \quad (3.16)$$

în care matricea transformării inverse $[\check{a}_{kj}]$ are dimensiunile $m \times (\rho+1)$ și este generată de termenul general $a^{-(k-1)(j-1)}$, unde $k=1, 2, \dots, m$, iar $j=1, 2, \dots, \rho+1$.

Relațiile de transformare se aplică asupra curenților în faze, fluxurilor și tensiunilor de alimentare a fazelor, iar rezistența R și puterea sînt invarianți. Ecuația matriceală din modelul m -fazăz liniar (cu m ecuații) are ca echivalent în sistemul componentelor simetrice:

$$[R] [i_{\alpha\beta}] + \frac{d}{dt} [\psi_{\alpha\beta}] = [u_{\alpha\beta}] \quad (3.17)$$

unde matricele noilor variabile se obțin folosind transformarea (3.14,a) și definiția (3.15).

Matricea complexă a fluxurilor se poate scrie succesiv:

$$[\bar{\psi}_n] = N[a_{jk}] [\psi_k] = N[a_{jk}] [L_k] [i_k] = N[a_{jk}] [L_k] [\check{a}_{kj}] [\bar{i}_n] \quad (3.18)$$

care, după dezvoltare pentru un caz concret, dă componentele $\psi_{\alpha_n}, \psi_{\beta_n}$. Aranjînd pe coloană aceste componente în matricea $[\psi_{\alpha\beta}]$ se poate deduce că aceasta este produsul la stînga al matricii $[i_{\alpha\beta}]$ cu o matrice pătrată de dimensiuni $m \times m$, care se numește matricea inductivităților transformate:

$$[\psi_{\alpha\beta}] = [L_{\alpha\beta}] [i_{\alpha\beta}] = [\bar{\psi}_n] \Big|_{SP} \quad (3.19)$$

Cu aceasta, ecuațiile electrice ale modelului $\alpha\beta$ se scriu:

$$[R] [i_{\alpha\beta}] + \frac{d}{dt} \left\{ [L_{\alpha\beta}] [i_{\alpha\beta}] \right\} = [u_{\alpha\beta}] \quad (3.20)$$

Coenergia magnetică se exprimă în noul sistem efectuînd produsele $\psi_k i_k$ în funcție de corespondentele lor transformate cu (3.12):

$$\begin{aligned} W_{co} &= \frac{1}{2} \sum_{k=1}^m \psi_k i_k = \\ &= \frac{1}{2} \left[\frac{m}{2} (\psi_{\alpha_n} i_{\alpha_n} + \psi_{\beta_n} i_{\beta_n}) + m(\psi_{0+} i_{0+} + \psi_{0-} i_{0-}) \right] \quad (3.21) \end{aligned}$$

Cu (3.18), (3.20) și aplicînd definiția cuplului electromagnetic (3.4), se poate scrie modelul $\alpha\beta$ (fără ecuația circuitului de excitație), cu m ecuații electrice și ecuația de mișcare. Ecuația circuitului de excitație, dacă există, se atașează la cele $m+1$ ecuații.

Interpretarea rezultatelor modelării în coordonate α_n, β_n se face revenind la variabilele inițiale cu ajutorul transformării (3.16).

Utilizarea modelului $\alpha\beta$ nu este avantajoasă în cazul unor forme oarecare de variație a tensiunilor u_k deoarece ecuațiile variabilelor transformate nu sînt mai simple ca cele ale variabilelor reale. În schimb, pentru forme particulare de tensiuni u_k (tip treaptă), se poate ajunge în modelul transformat la ecuații în care lipsesc unii termeni sau chiar la lipsa unor ecuații întregi. Acest lucru se explică prin aceea că în spectrul tensiunilor pot lipsi anumite componente, ceea ce duce la eliminarea ecuațiilor conturelor respective.

3.3.2. Modelul dq

Un model derivat din modelul $\alpha\beta$ se obține dacă fiecare pereche de coordonate α_n, β_n se transformă într-o pereche corespunzătoare de coordonate sincrone d_n, q_n , utilizînd relația [8]:

$$[x_{dq}] = [C] [x_{\alpha\beta}] \quad (3.22)$$

în care [C] este matricea transformării directe, nesingulară, de dimensiuni $m \times m$. Scrisă dezvoltat cu matricea [C], relația devine:

$$\begin{bmatrix} x_{0+} \\ x_{d_1} \\ x_{q_1} \\ \vdots \\ x_{d_n} \\ x_{q_n} \\ \vdots \\ x_{0-} \end{bmatrix} = \begin{bmatrix} 1 & 0 & 0 & \dots & 0 & 0 & \dots & 0 \\ 0 & \cos\theta & \sin\theta & \dots & 0 & 0 & \dots & 0 \\ 0 & -\sin\theta & \cos\theta & \dots & 0 & 0 & \dots & 0 \\ \vdots & \vdots & \vdots & \vdots & \vdots & \vdots & \vdots & \vdots \\ 0 & 0 & 0 & \dots & \cos n\theta & \sin n\theta & \dots & 0 \\ 0 & 0 & 0 & \dots & -\sin n\theta & \cos n\theta & \dots & 0 \\ \vdots & \vdots & \vdots & \vdots & \vdots & \vdots & \vdots & \vdots \\ 0 & 0 & 0 & \dots & 0 & 0 & \dots & 1 \end{bmatrix} \begin{bmatrix} x_{0+} \\ x_{\alpha_1} \\ x_{\beta_1} \\ \vdots \\ x_{\alpha_n} \\ x_{\beta_n} \\ \vdots \\ x_{0-} \end{bmatrix} \quad (3.23)$$

În cazul cînd lipsește coordonata homopolară inversă (m impar) se suprimă din (3.23) ultima linie și ultima colcană a matricii [C].

Transformarea (3.23) nu afectează componentele homopolare directe și inverse, care sînt prezente atît în modelul $\alpha\beta$ cît și în modelul dq. Ea schimbă numai perechile de coordonate, referind fiecare pereche α_n, β_n la un sistem de axe rectangulare comun d,q, legat de rotor.

Legătura între cele două perechi de coordonate este sugerată și în figura 3.4, unde s-a luat perechea n. De remarcat că toate perechile d_n, q_n ($n=0,1,\dots,\rho$) sînt plasate pe aceleași axe d,q, solidar legate de rotor, de unde și denumirea de sistem de coordonate sincron.

Transformarea inversă, din coordonate d_n, q_n în coordonate α_n, β_n este definită de relația:

$$[x_{\alpha\beta}] = [C^{-1}] [x_{dq}] \quad (3.24)$$

unde s-a folosit inversa matricei [C].

Deducerea modelului dq se face pornind de la ecuația matriceală (3.17) a modelului $\alpha\beta$, folosind pentru variabile relația (3.24):

$$[R][C^{-1}][i_{dq}] + \frac{d}{dt} \{ [C^{-1}][\psi_{dq}] \} = [C^{-1}][u_{dq}] \quad (3.25)$$

Fig.3.4. Transformarea coordonatelor α_n, β_n în coordonatele d_n, q_n .

în care apar matricele variabilelor transformate notate cu indicii dq. Înmulțind ecuația la stînga cu [C] și efectuînd produsul $[C][R][C^{-1}]$, se obține:

$$[R][i_{dq}] + \left\{ [C] \frac{d}{dt} [C^{-1}] \right\} [\psi_{dq}] + \frac{d}{dt} [\psi_{dq}] = [u_{dq}] \quad (3.26)$$

care este ecuația matriceală a mărimilor electrice aferentă modelului dq. Produsul $[C] \frac{d}{dt} [C^{-1}]$ se efectuează pentru un caz concret și este o matrice constantă pentru $\rho=1$ și $\rho=2$ ($m=3$ și $m=4$).

Matricea fluxurilor transformate se scrie succesiv:

$$\begin{aligned} [\psi_{dq}] &= [C][\psi_{\alpha\beta}] = [C][L_{\alpha\beta}][i_{\alpha\beta}] = \\ &= [C][L_{\alpha\beta}][C^{-1}][i_{dq}] = [L_{dq}][i_{dq}] \end{aligned} \quad (3.27)$$

în care, ultima egalitate introduce matricea $[L_{dq}]$ a inductivităților în sistemul dq:

$$[L_{dq}] = [C][L_{\alpha\beta}][C^{-1}] \quad (3.28)$$

avînd dimensiunile $m \times m$.

Coenergia magnetică exprimată în sistemul dq are o exprimare similară cu aceea din sistemul $\alpha\beta$:

$$W_{co} = \frac{1}{2} \left[\frac{m}{2} (\psi_{d_n} i_{d_n} + \psi_{q_n} i_{q_n}) + m(\psi_{o+} i_{o+} + \psi_{o-} i_{o-}) \right]. \quad (3.29)$$

Modelul dq se compune din ecuațiile (3.26), ecuația de mișcare cu M_e calculat cu (3.4) și (3.29) și ecuația circuitului de excitație (dacă există). Utilizarea lui este practică numai pentru $m \leq 4$ și în general pentru MPP cu excitație separată, ducînd la cele mai simple ecuații (cu parametri independenți de unghi) [93].

Fiind acum prezentate componentele homopolare, se pot da definiții mai sintetice celor 3 tipuri funcționale de MPP:

- a) MPP inductoare - circuitul real sau fictiv al componentei homopolare inverse o- nu există sau nu participă la crearea cuplului; pentru m impar nu există circuitul o-;
- b) MPP reactive - circuitul real sau fictiv al componentei homopolare directe o+ nu există sau nu participă la crearea cuplului;
- c) MPP inductor-reactive - există ambele circuite, reale sau fictive, ale componentelor o+ și o- și participă la crearea cuplului.

Pentru a rezuma cele arătate aici și în capitolele anterioare despre tipurile funcționale de MPP, se dă tabelul 3.1.

Tabelul 3.1

Tip MPP	Conexiunea bobinelor	Comp. homopol.	Alim. optimă	model $\alpha\beta$	model dq
				(fără ac. mișcare)	
Inductor autoexcit.	Fig.2.1 Schema 2.16,b,c,d	$i_{o+} \neq 0$ (fictiv) $i_{o-} = 0$	monopolar secven. multiple ($U_{o-} = 0$)	m-1 ec. (lipsă o-)	m-1 ec. (lipsă o-) pt. m=3,4 => ec. coef.ct.
Inductor excit. separată	Fig.2.2; 2.6 Schema 2.16,e,g,h	$i_{o+} \neq 0$ (real) $i_{o-} = 0$	bipolar ($U_{o+} = 0$)	excit.electr. m-1 ec. excit.magn. m-2 ec.	nepractic pt. m > 4
Reactiv	Fig.2.7 Schema 2.16,a	$i_{o-} \neq 0$ (fictiv) $i_{o+} = 0$	bipolar	m-1 ecuații (lipsă o+) Nepractic pentru m ≥ 4	
Inductor reactiv	Fig.2.8 Schema 2.16,f	$i_{o+} \neq 0$ $i_{o-} \neq 0$ (ambolo fictive) (pentru m par)	monopolar secven. multiple (i_{o-} dă cuplu mic)	m ecuații nepractice	

Avantajul modelelor transformate pentru studiul SAMPP constă nu numai în simplificările matematice care pot surveni în structura ecuațiilor de tensiune și a cuplului c_i și în faptul că, fiind legate de clasificarea funcțională a MPP, dau indicații asupra secvenței optime de alimentare pentru fiecare tip de MPP. De asemenea modelele transformate sînt utile în studiul SAMPP la frecvențe mari și în special pentru MPP cu excitație separată sau rotor activ. Modelul dq , derivat din modelul $\alpha\beta$, este util numai pentru cazurile $m \leq 4$.

3.3.3. Normarea ecuațiilor modelelor matematice

Normarea ecuațiilor care descriu comportarea dinamică a SAMPP, adică transcrierea ecuațiilor modelelor în mărimi adimensionale, are avantajul generalizării tratării și evită dispersarea rezultatelor integrării. În afară de aceasta, în cazul SAMPP, este posibilă integrarea ecuațiilor modelelor în mod unitar în raport cu multitudinea secvențelor de alimentare a MPP.

Conform metodelor general acceptate în literatură [3,7,8, 52,79], se stabilesc mai întîi un set de mărimi de bază, notate cu indicile b , scrise în sistemul internațional de unități și legate între ele prin relații de bază. Ele sînt date în tabelul 3.2 împreună cu relațiile corespunzătoare.

Coeficientul k_m depinde de tipul secvenței de alimentare și rezultă din relația de definiție a tensiunii de bază $[U]$:

$$U_b = \frac{2}{m} \left| \sum_{k=a,b,\dots} \bar{U}_k(\gamma) \right| = \frac{2}{m} k_m U \quad (3.30)$$

unde $\bar{U}_k(\gamma)$ este vectorul spațial al tensiunii de fază ($\gamma = N \frac{2\pi}{m}$, sau $N \frac{\pi}{m}$ - vezi cap.2.3), a, b, \dots sînt numărul fazelor alimentate simultan, iar U este tensiunea cursei de curent continuu.

Pentru a putea utiliza aceleași ecuații normate la diferite secvențe de alimentare, se ia ca referință una dintre acestea, pentru care U_{br} este tensiunea de bază (scosă din 3.30) și se introduce coeficientul secvenței de alimentare:

$$k_b^x = \left(\frac{U_b}{U_{br}} \right)^x \quad (3.3)$$

unde U_b este tensiunea de bază în secvența de alimentare diferită de aceea de referință (evident că în secvența de referință $k_b^x = 1$), iar x este un exponent funcție de dependența cuplului de curent ($x=1$ pentru MPP active și $x=2$ pentru MPP fără excitație separată).

Tabelul 2.

Mărime de bază	Relații de bază	Observații
Tensiunea [V]	$U_b = \frac{2}{m} k_m U$	U-tensiunea sursei de c.c.
Rezistență [Ω]	$R_b = k_f R_f$	R_f -rezistența fazei; k_f -coeficientul rezistenței. De obicei $R_b = R$
Curent [A]	$I_b = U_b / R_b$	-
Cuplu [Nm]	$M_b = \frac{m}{2} p \psi_b I_b = M_{max}$	-
Frecvență [s^{-1}]	$f_b = \sqrt{\frac{p M_{max}}{J}}$	M_{max} -amplitudinea cuplului maxim sincronizant
Timp [s]	$T_b = 1/f_b$	-
Viteză unghiulară electrică [rad/s]	$\omega_b = f_b = \omega_o$	ω_o -pulsatie proprie
Flux [Vs]	$\psi_b = \frac{2}{m} \frac{M_b}{p I_b} = \psi_{max}$	Amplitudinea fluxului unei faze
Inductivitate [H]	$L_b = R_b T_b$	-
Viteză unghiulară mecanică [rad/s]	$\Omega_{bm} = \frac{U_b}{p \psi_b}$	-
Putere electrică [W]	$P_b = \frac{m}{2} U_b I_b = \Omega_{bm} M_b$	-

Mărimile normate (raportate) sînt arătate în tabelul

3.3.

Tabelul 3.

Mărime normată	Relația de normare	Observații
1	2	3
Timp	$\tau = t/T_b = t \cdot \omega_b$	-
Frecvență	$f^* = f/\omega_b$	-
Tensiune	$u^*(\tau) = u(t)/U_b$	$ u^*(\tau) \leq 1$
Curent	$i^*(\tau) = i(t)/I_b$	-
Rezistență	$r^* = R/R_b$	De obicei $r^* = 1$
Constantă de timp	$T^* = \frac{T}{T_b} = \omega_o \frac{L}{R} = \frac{L}{T_b R}$	T-ct.de timp reală L-inductiv. reală
Inductivitate	$l^* = \frac{L}{L_b} = r^* T^*$	-
Cuplu	$\mu = M/M_b$	$\mu_r = r/l^*$, $\mu_e = l^*/r^*$ ($\mu < 1$)

Taboulul 3.3 (continuare)

1	2	3
Viteză unghiulară electrică	$\omega^* = \frac{d\theta}{dt} = \frac{\omega}{\omega_b} = \frac{1}{\omega_o} \frac{d\theta}{dt}$	Viteza de rotație a vectorului $\vec{U}(\gamma)$
Viteză unghiulară mecanică	$\omega_m^* = \Omega_m / \Omega_{bm}$	-
Factor de amortizare	$\zeta = \frac{B}{2J} T_b$	$\zeta = 0 \dots 1$
Putere electrică	$P^* = P/P_b$	-

3.3.4. Aplicație pentru MPP inductor cu autoexcitație

Pentru concretizarea prezentării generale a metodelor de analiză a SAMPP se va lua în continuare cazul unui MPP inductor cu autoexcitație proiectat și realizat în Institutul politehnic Cluj-Napoca [4,101], prototip omologat, avînd datele arătate în tabelul 3.4.

Taboulul 3.4

Denumirea	Valoarea
Număr de faze	$m = 4$
Număr de poli pe o fază	$q = 2$
Număr de dinți	$z_r = 34 (p = 34), z_s = 4$
Rezistența fazei	$R_f = 2 \Omega$
Inductivități măsurate	$2L_o = 0,055H, 2L_l = 0,017H$
calculate [76]	$2L_o = 0,069H, 2L_l = 0,021H$
Moment de inerție rotoric	$J_{rot} = 1,38 \cdot 10^{-4} \text{ kgm}^2 \text{ (} \text{cm}^2 \text{)}$
Lungime rotor	$l_r = 60 \text{ mm}$
Număr de spire pe fază	$w = 152$
Tensiunea de alimentare în schema cu rezistență de forțare	$U = 80 \text{ V}$
Curent nominal	$I = 8 \text{ A}$
Inerția sarcinii redusă la arborele MPP	$J_{ext} = 2J_{rot} = 2,76 \cdot 10^{-4} \text{ kgm}^2$
Moment de inerție total	$J = J_{rot} + J_{ext} = 4,14 \cdot 10^{-4} \text{ kgm}^2$

Inductivitățile calculate cu relațiile (2.19) sînt:

$$L_{kk} = \frac{3}{2} L_0 + L_1 \cos \left[\theta - (k-1) \frac{\pi}{2} \right],$$

$$L_{jk} = \pm \frac{1}{2} L_0 \pm L_1 \cos \left[(j-k) \frac{\pi}{4} \right] \cos \left[\theta - (j+k-2) \frac{\pi}{4} \right] \quad (3.32)$$

$$(L_0 = w^2 \Lambda_0, \quad L_1 = w^2 \Lambda_1)$$

unde $j, k=1, 2, 3, 4$, iar semnul lui L_{jk} este pozitiv pentru j, k de parități diferite, respectiv negativ pentru j, k de aceeași paritate ($L_{12} > 0$, $L_{13} < 0$, etc.). Se admite că $L_{jk} = L_{kj}$.

Modelul m -fazat sub forma extinsă (3.5) are 4 ecuații electrice cu câte 9 termeni în fiecare și ecuația de mișcare, în care cuplul este dat de 10 termeni. Expliciter derivatelor este foarte laborioasă și prin urmare modelul netransformat este nepractic, justificând încercarea de a aborda alt model.

Modelul $\alpha\beta$ se obține plecând de la relația (3.18), care dă ($a = e^{\bar{j}\pi/2} = \bar{j}$):

$$\begin{bmatrix} \psi_{o+} \\ \psi_{\alpha_1} + \bar{j}\psi_{\beta_1} \\ \psi_{o-} \end{bmatrix} = N \begin{bmatrix} 8L_0 & 4L_1 e^{-\bar{j}\theta} & 0 \\ 4L_1 e^{\bar{j}\theta} & 4L_0 & 0 \\ 0 & 0 & 0 \end{bmatrix} \times \begin{bmatrix} i_{o+} \\ i_{\alpha} + \bar{j}i_{\beta} \\ i_{o-} \end{bmatrix} \quad (3.33)$$

După efectuarea separării părților, conform definiției (3.15) rezultă:

$$\begin{bmatrix} \psi_{o+} \\ \psi_{\alpha_1} \\ \psi_{\beta_1} \\ \psi_{o-} \end{bmatrix} = \begin{bmatrix} 2L_0 & L_1 \cos\theta & L_1 \sin\theta & 0 \\ 2L_1 \cos\theta & 2L_0 & 0 & 0 \\ 2L_1 \sin\theta & 0 & 2L_0 & 0 \\ 0 & 0 & 0 & 0 \end{bmatrix} \times \begin{bmatrix} i_{o+} \\ i_{\alpha_1} \\ i_{\beta_1} \\ i_{o-} \end{bmatrix} \quad (3.34)$$

Se poate trage o primă concluzie, așteptată de altfel, că lipsește componenta homopolară inversă a fluxului, fapt care reduce numărul ecuațiilor electrice la 3. În continuare se va face abstracție de notația $o-$ iar $o+$, α_1 , β_1 se vor transcrie respectiv o , α , β .

Cuplul electromagnetic calculat cu relațiile (3.21 și 3.4) este:

$$M_e = p \frac{d}{d\theta} (\psi_{\alpha} i_{\alpha} + \psi_{\beta} i_{\beta} + 2\psi_o i_o) \Big|_{i=ct.} =$$

$$= 2p(2L_1) i_o (i_{\beta} \cos\theta - i_{\alpha} \sin\theta) \quad (3.35)$$

și are un caracter activ, prin prezența lui i_o în expresia sa.

Cu (3.22), (3.23) și (3.20), modelul $\alpha\beta$ se scrie astfel:

$R + 2L_0 \frac{d}{dt}$	$-\omega L_0 \sin\theta + L_1 \cos\theta \frac{d}{dt}$	$\omega L_1 \cos\theta + L_1 \sin\theta \frac{d}{dt}$	i_0	u_0
$-2\omega L_1 \sin\theta + 2L_1 \cos\theta \frac{d}{dt}$	$R + 2L_0 \frac{d}{dt}$	0	i_α	u_α
$2\omega L_1 \cos\theta + 2L_1 \sin\theta \frac{d}{dt}$	0	$R + 2L_0 \frac{d}{dt}$	i_β	u_β

$$\frac{J}{p} \frac{d^2\theta}{dt^2} + \frac{B}{p} \frac{d\theta}{dt} + M_r = 2p(2L_1)i_0(i_\beta \cos\theta - i_\alpha \sin\theta) \quad (3.36)$$

unde $\omega = d\theta/dt$ iar d/dt este un operator de derivare ce se aplică curenților transformați.

În forma în care se prezintă, ecuațiile (3.36) sînt deja mult mai simple ca în cazul modelului m-fazat, însă totuși sînt neliniare prin prezența variabilei θ .

Folosind tabelele 3.2 și 3.3, sistemul (3.36) se trece în mărimi raportate, obținîndu-se modelul $\alpha\beta$ raportat:

$r^* + 2l_0^* \frac{d}{d\tau}$	$-\omega^* l_0^* \sin\theta + l_1^* \cos\theta \frac{d}{d\tau}$	$\omega^* l_1^* \cos\theta + l_1^* \sin\theta \frac{d}{d\tau}$	i_0^*	u_0^*
$-2\omega^* l_1^* \sin\theta + 2l_1^* \cos\theta \frac{d}{d\tau}$	$r^* + 2l_0^* \frac{d}{d\tau}$	0	i_α^*	u_α^*
$2\omega^* l_1^* \cos\theta + 2l_1^* \sin\theta \frac{d}{d\tau}$	0	$r^* + 2l_0^* \frac{d}{d\tau}$	i_β^*	u_β^*

$$\frac{d^2\theta}{d\tau^2} + 2\zeta \frac{d\theta}{d\tau} + \mu_r = \sqrt{2} k_b^2 i_0^*(i_\beta^* \cos\theta - i_\alpha^* \sin\theta) \quad (3.37)$$

Considerînd o comandă potențială monopolară (fig.2.17,a,b,c) tensiunile de alimentare în sistemul $\alpha\beta$ se obțin direct prin aplicarea transformatei (3.10). Se ia tensiunea sursei de c.c. U comună pentru cele trei secvențe și secvența simetrică dublă ca referință. Folosind formulele (3.30) și (3.31) și tabelul 2.2, se întocmește tabelul 3.5 al secvențelor în sistemul $\alpha\beta$.

Tabelul 3.5

Socvența Mărimea	Simetrică simplă (S ₁)	Simetrică dublă (S ₂)	Asimetrică (S ₃)
γ_0	0	$\frac{\pi}{4}$	0
$\gamma(N)$ N=0,1,...	N $\frac{\pi}{2}$	N $\frac{\pi}{2}$	N $\frac{\pi}{4}$
u_{0+}	$\frac{U}{4}$	$\frac{U}{2}$	$\frac{3}{8} U - \frac{U}{8} \cos 4\gamma$
u_α	$\frac{U}{2} \cos \gamma$	$\frac{U}{\sqrt{2}} \cos \gamma$	$\frac{U}{2} \text{sign}(\cos \gamma)$
u_β	$\frac{U}{2} \sin \gamma$	$\frac{U}{\sqrt{2}} \sin \gamma$	$\frac{U}{2} \text{sign}(\sin \gamma)$
u_{0-}	$\frac{U}{4} \cos 2\gamma$	0	$\frac{U}{4} \cos 2\gamma$
U_b	$\frac{U}{2}$	$\frac{U}{\sqrt{2}}$	$\frac{U}{2}$
k_m	1	$\sqrt{2}$	1
k_b	$\frac{1}{\sqrt{2}}$	1	$\frac{1}{\sqrt{2}}$

Efectuînd normarea tensiunilor se obține (tabelul 3.6):

Tabelul 3.6

Socvență Tensiune	S ₁	S ₂	S ₃
u_{0+}^*	$\frac{1}{2}$	$\frac{1}{\sqrt{2}}$	$\frac{3}{4} - \frac{1}{4} \cos 4\gamma$
u_α^*	$\cos \gamma$	$\cos \gamma$	1. sign(cos γ)
u_β^*	$\sin \gamma$	$\sin \gamma$	1. sign(sin γ)
u_{0-}^*	$\frac{1}{2} \cos 2\gamma$	0	$\frac{1}{2} \cos 2\gamma$

Modelul dq se scoate din ecuația (3.26), matricea (3.23) pentru n=1 și matricea inductivităților din (3.34). Se calculează mai întîi matricea $[L_{dq}]$ cu relația (3.28):

$$[L_{dq}] = [C] [L_{\alpha\beta}] [C^{-1}] = \begin{bmatrix} 2L_0 & L_1 & 0 \\ 2L_1 & 2L_1 & 0 \\ 0 & 0 & 2L_0 \end{bmatrix} \quad (3.38)$$

Produsul $[C] \frac{d}{dt} [C^{-1}]$ devine:

$$[C] \frac{d}{dt} [C^{-1}] = \begin{bmatrix} 0 & 0 & 0 \\ 0 & 0 & -1 \\ 0 & 1 & 0 \end{bmatrix} \quad (3.39)$$

Cuplul electromagnetic calculat cu (3.27), (3.29) și (3.4) rezultă:

$$M_e = p \frac{d}{d\theta} (\psi_d i_d + \psi_q i_q + 2 \psi_o i_o) = 2p(2L_1) i_o i_q \quad (3.40)$$

cu acestea, ecuațiile modelului dq se scriu astfel:

$R+2L_o \frac{d}{dt}$	$L_1 \frac{d}{dt}$	0
$2L_1 \frac{d}{dt}$	$R+2L_o \frac{d}{dt}$	$-2\omega L_o$
$2\omega L_1$	$2\omega L_o$	$R+2L_o \frac{d}{dt}$

 \times

i_o
i_d
i_q

 $=$

u_o
u_d
u_q

$$\frac{J}{p} \frac{d^2\theta}{dt^2} + \frac{B}{p} \frac{d\theta}{dt} + M_r = 2p(2L_1) i_o i_q \quad (3.41)$$

Modelul are cele mai simple ecuații, deoarece coeficienții variabilelor sînt independenți de θ iar cuplul electromagnetic are o exprimare redusă. Prin normarea ecuațiilor se obține:

$r^* + 2l_o^* \frac{d}{d\tau}$	$l_1^* \frac{d}{d\tau}$	0
$2l_1^* \frac{d}{d\tau}$	$r^* + 2l_o^* \frac{d}{d\tau}$	$-2\omega^* l_o^*$
$2\omega^* l_1^*$	$2\omega^* l_o^*$	$r^* + 2l_o^* \frac{d}{d\tau}$

 \times

i_o^*
i_d^*
i_q^*

 $=$

u_o^*
u_d^*
u_q^*

$$\frac{d^2\theta}{d\tau^2} + 2\zeta \frac{d\theta}{d\tau} + \mu_r = \sqrt{2} k_b^2 i_o^* i_q^* \quad (3.42)$$

Tensiunile de alimentare în sistemul dq se calculează folosind tabelul 3.6 și transformarea (3.22), obținîndu-se tabelul 3.7 (mărimile homopolare nu se modifică).

Tabelul 3.7

Secvența Tensiune	S ₁	S ₂	S ₃
u_d^*	$\cos(\gamma-\theta)$	$\cos(\gamma-\theta)$	$\cos\theta \operatorname{sign}(\cos\gamma) + \sin\theta \operatorname{sign}(\sin\gamma)$
u_q^*	$\sin(\gamma-\theta)$	$\sin(\gamma-\theta)$	$\cos\theta \operatorname{sign}(\sin\gamma) - \sin\theta \operatorname{sign}(\cos\gamma)$

Fiind cel mai simplu, modelul dq se utilizează în simularea numerică a funcționării SAMPP. Pentru aceasta se explicitiază derivatele din (3.42). Se ia $r^* = 1$ ($R=R_b$, $l_o^*=T_o^*$, $l_1^*=T_1^*$), iar pen-

tru comodatate se va renunța la indicile (*), înțelegînd că este vorba de un sistem cu mărimi raportate în exclusivitate:

$$\begin{array}{c} \frac{di_o}{d\tau} \\ \frac{di_d}{d\tau} \\ \frac{di_q}{d\tau} \end{array} = \begin{array}{|c|c|c|c|c|c|c|} \hline \frac{2T_o^2}{\Delta} & -\frac{T_o T_1}{\Delta} & 0 & -\frac{2T_o^2}{\Delta} & \frac{T_o T_1}{\Delta} & -\frac{2T_o^2 T_1}{\Delta} \omega & \\ \hline -\frac{2T_o T_1}{\Delta} & \frac{2T_o^2}{\Delta} & 0 & \frac{2T_o T_1}{\Delta} & -\frac{2T_o^2}{\Delta} & \frac{4T_o^3}{\Delta} \omega & \\ \hline 0 & 0 & \frac{1}{2T_o} & -\frac{T_1}{T_o} \omega & -\omega & -\frac{1}{2T_o} & \\ \hline \end{array} \times \begin{array}{c} u_o \\ u_d \\ u_q \\ i_o \\ i_d \\ i_q \end{array}$$

$$\frac{d\theta}{d\tau} = \omega$$

$$\frac{d\omega}{d\tau} = \sqrt{2} k_b^2 i_o i_q - 2\zeta\omega - \gamma_r \quad (3.43)$$

unde $\Delta = 2T_o(2T_o^2 - T_1^2)$.

Revenirea la variabilele netransformate interesează în cazul curenților (unghiul și viteza nu se transformă). Pentru aceasta se folosește relația (3.24), apoi se întocmește matricea $[\bar{i}_n]$, după care, aplicînd transformarea (3.12), se obțin curenții în faze:

$$\begin{aligned} i_1 &= i_{o+} + i_d \cos(\theta + \gamma_o) - i_q \sin(\theta + \gamma_o) + i_{o-} \\ i_2 &= i_{o+} + i_d \sin(\theta + \gamma_o) + i_q \cos(\theta + \gamma_o) - i_{o-} \\ i_3 &= i_{o+} - i_d \cos(\theta + \gamma_o) + i_q \sin(\theta + \gamma_o) + i_{o-} \\ i_4 &= i_{o+} - i_d \sin(\theta + \gamma_o) - i_q \cos(\theta + \gamma_o) - i_{o-} \end{aligned} \quad (3.44)$$

în care γ_o are valoarea indicată în tabelul 3.5.

După cum s-a arătat, secvența simetrică dublă este cea mai indicată pentru MPP inductor cu autoexcitație cu $m=4$ faze, $q=2$, deoarece lipsește componenta u_{o-} , nereproductivă. Dacă se alimentează în alte secvențe, $u_{o-} \neq 0$, dar curentul i_{o-} nu produce flux util (vezi rel.3.34), însă afectează curentul în faze (vezi rel.3.44), provocînd mărirea pierderilor ohmice. În acest fel ecuațiile modelelor $\alpha\beta$ și dq se vor completa cu relația statică:

$$u_{o-} = r i_{o-} \quad (3.45)$$

unde i_{o-} se calculează la fel ca u_{o-} (tabelul 3.5).

Se trece în continuare la integrarea numerică a sistemului (3.4), folosind metoda Runge-Kutta de ordinul IV. Ținînd seama de datele motorului din tabelul 3.4 și de formulele indicate în tabe-

lul 3.2, se întocmește tabelul mărimilor de bază și raportate 3.8.

Tabelul 3.8

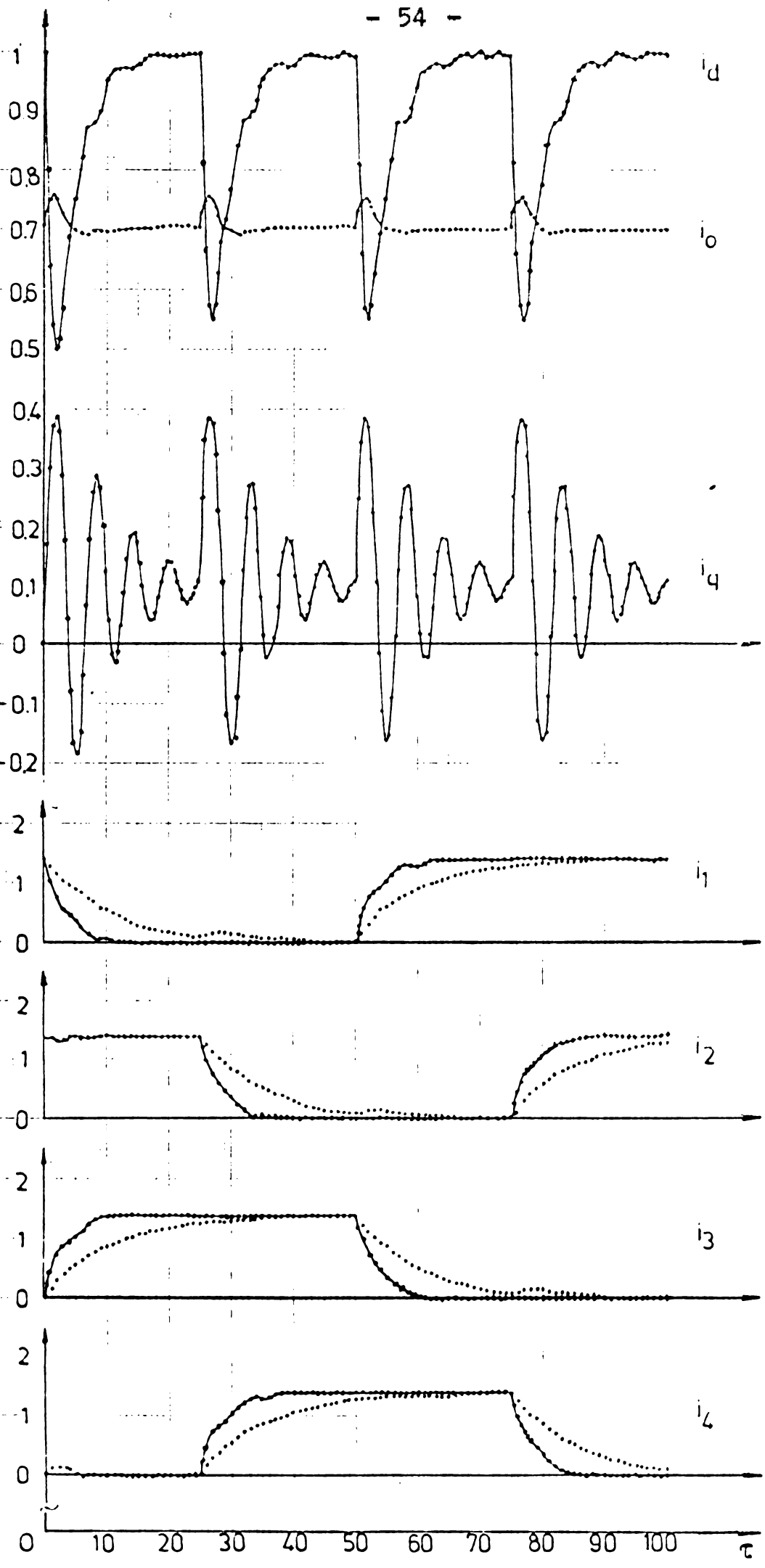
Mărime \ Secvență	S ₁ 1-2-3-4...	S ₂ 12-23-34...	S ₃ 1-12-2-23...
U _b (tab.3.5) [V]	40	56,6	40
R _b = R [Ω]	10	10	10
I _b = U _b /R _b [A]	4	5,66	4
M _b = √2 z _r (2L ₁)I _b ² /k _b ² [Nm]	26,1	26,1	26,1
f _b = √pM _b /J [s ⁻¹]	1450	1450	1450
T _b = 1/f _b [s]	0,69·10 ⁻³	0,69·10 ⁻³	0,69·10 ⁻³
L _b = T _b R _b [H]	6,9·10 ⁻³	6,9·10 ⁻³	6,9·10 ⁻³
T ₀ = L ₀ /L _b	4	4	4
T ₁ = L ₁ /L _b	1,23	1,23	1,23

Integrarea numerică s-a efectuat pentru secvențe de alimentare S₂ și o durată ΔT = 25 între tacturile de comandă, ceea ce corespunde unei durate reale de 25·0,69·10⁻³ = 17,25 ms, respectiv unei frecvențe de comandă f = 58 imp/s.

Dintre rezultatele integrării sînt reprezentați curenții transformați i₀, i_d, i_q și cei netransformați (din relațiile 3.44) i₁ ÷ i₄, în figura 3.5. S-a luat în considerare o tehnică de forțare a pantei curențului în fazele MPP, care reduce constantele de timp T₀, T₁ de trei ori. În figura 3.6 sînt reprezentate principalele mărimi mecanice ale SAMPP.

După cum se poate observa, modelarea numerică oferă un tablou larg al transformărilor electrice și mecanice ale SAMPP. Prezintă interes următoarele remarcări:

- deși frecvența de comandă este constantă, toate mărimile electrice și mecanice sînt variabile în interiorul fiecărui pas;
- curenții reali, ca și viteza de răspuns (creșterea unghiului θ) sînt puternic influențați de constantele de timp electrice și foarte puțin afectați de variația inductivităților cu unghiul θ. Punctat s-au reprezentat curenții i₁ ÷ i₄ și unghiul θ pentru T₀ = 4, T₁ = 1,23.



Secv. S₂
f = 58 imp/s
I_b = 5.66 A
T_b = 0.69 × 10⁻³ s
T_o = 1.33
T₁ = 0.41

Fig.3.5. Variația mărimilor electrice.

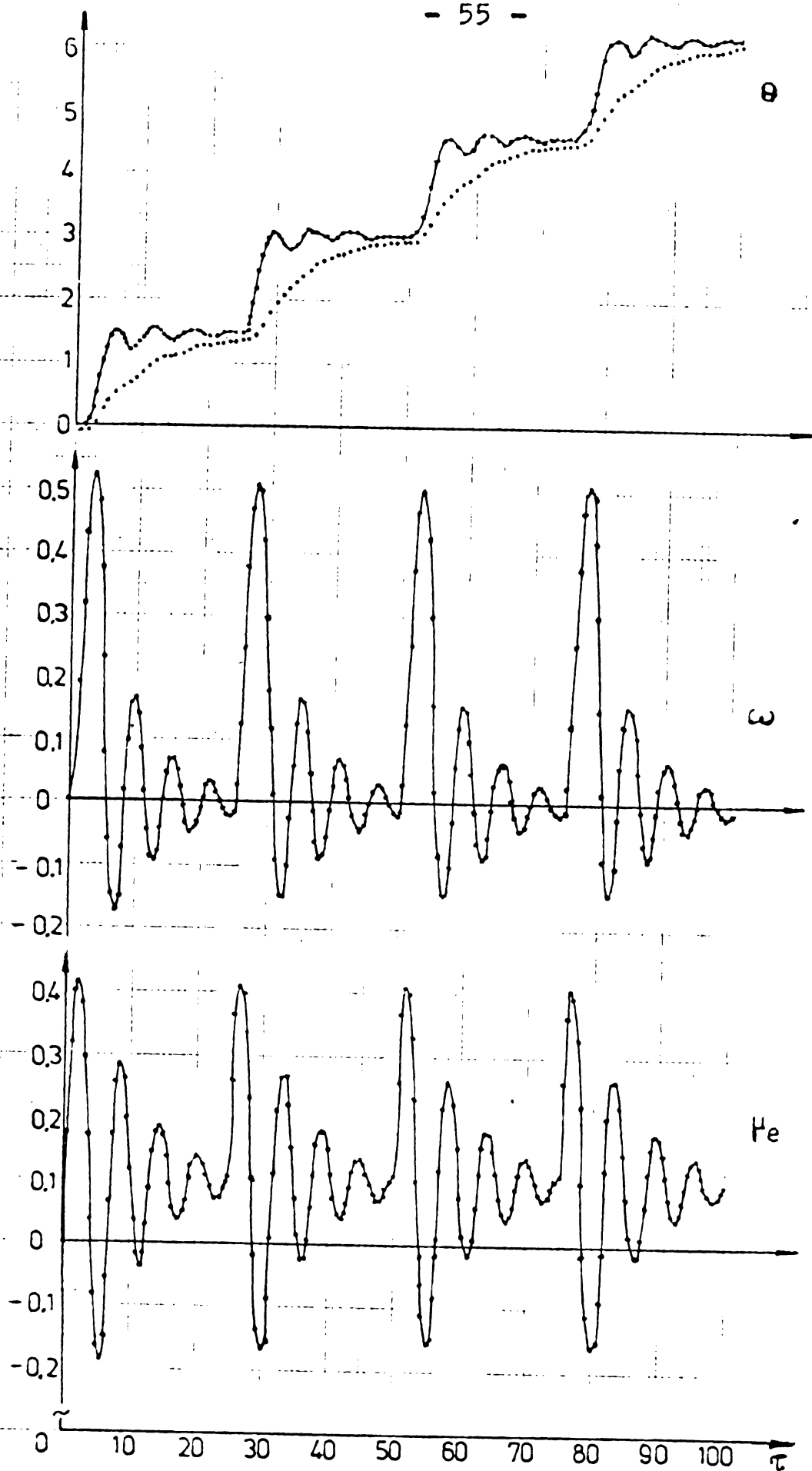


Fig.3.6. Variația mărimilor mecanice.

3.4. Modelul liniar operațional al SAMPP

Analiza sistemelor automate cu MPP implică găsirea unui model operațional, bazat pe transformata Laplace, al SAMPP. Deși s-au elaborat modele matematice generalizate relativ complete în domeniul timp, în domeniul operațional nu s-au abordat decât cazuri simple, idealizate de MPP [18,19,36,78].

Metoda transformatei Laplace se sprijină pe ideea că toate fenomenele interne ale SAMPP se repetă identic de la un pas la altul, prin urmare este suficient a găsi funcții de transfer valabile pentru un singur pas efectuat. Mișcarea rotorului MPP în interiorul unui pas este studiată în sisteme de poziționare fină [18], cazuri în care liniarizările impuse de aplicarea transformatei Laplace nu sînt prea severe.

În capitolul de față se propune un model liniar operațional general, pentru SAMPP cu m faze necuplate inductiv (sau cu cuplaje neglijabile), plecînd chiar de la ecuațiile modelului m -fază. (În cazul MPP cu circuit de excitație, acesta se consideră constant, Modelul operațional permite identificarea SAMPP ca elemente automate în sistemele de reglare a poziției.

Primele m ecuații și ecuația de mișcare din sistemul (3.5), completate cu expresiile inductivităților proprii din (2.19) sînt:

$$Ri_k + \left\{ \frac{m-1}{m} qL_0 + \frac{m-2}{m} qL_1 \cos \left[\theta - (k-1) \frac{2\pi}{m} \right] \right\} \frac{di_k}{dt} +$$

$$+ i_k \frac{d\theta}{dt} \left(- \frac{m-2}{m} \right) qL_1 \sin \left[\theta - (k-1) \frac{2\pi}{m} \right] = u_k, \quad (k=1, 2, \dots, m) \quad (3.46)$$

$$\frac{J}{p} \frac{d^2\theta}{dt^2} + \frac{B}{p} \frac{d\theta}{dt} + M_r = \frac{p}{2} \frac{m-2}{m} qL_1 \sum_{k=1}^m \left\{ - i_k^2 \sin \left[\theta - (k-1) \frac{2\pi}{m} \right] \right\}$$

Sub formă (3.46) sistemul reprezintă SAMPP ca ansamblul a m circuite electrice necuplate magnetic dar legate de mișcarea rotorului MPP prin tensiunile electromotoare.

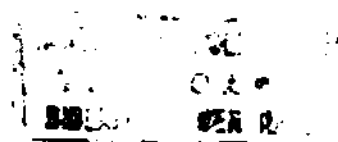
Se procedează la liniarizarea ecuațiilor sistemului în jurul unui punct de funcționare, substituind variabilele prin expresii de forma $x = X_0 + \Delta x$, unde X_0 este valoarea constantă în punctul de funcționare, iar Δx o variație mică:

$$i_k = I_{k0} + \Delta i_k$$

$$u_k = U_{k0} + \Delta u_k \quad (3.47)$$

$$\theta = \theta_0 + \Delta \theta$$

$$M_r = M_{r0} + \Delta m_r$$



După înlocuire în (3.46), dezvoltare, eliminarea produselor a două variații mici și efectuarea simplificărilor uzuale:

$$\sin\Delta\theta \cong \Delta\theta, \quad \cos\Delta\theta \cong 1,$$

se obține sistemul echivalent liniarizat. Se efectuează apoi reducerile reclamate de echilibrul staționar al sistemului în punctul de funcționare:

$$RI_{ko} = U_{ko}, \quad (k=1,2,\dots,m) \quad (3.48)$$

$$M_{ro} = \frac{p}{2} \frac{m-2}{m} qL_1 \sum_{k=1}^m \left\{ -I_{ko}^2 \sin \left[\theta_0 - (k-1) \frac{2\pi}{m} \right] \right\}$$

Sistemul care leagă micile variații este:

$$R\Delta i_k + \left\{ \frac{m-1}{m} qL_0 + \frac{m-2}{m} qL_1 \cos \left[\theta_0 - (k-1) \frac{2\pi}{m} \right] \right\} \frac{d\Delta i_k}{dt} + I_{ko} \sin \left[\theta_0 - (k-1) \frac{2\pi}{m} \right] \left(-\frac{m-2}{m} qL_1 \right) \frac{d\Delta\theta}{dt} = \Delta u_k \quad (3.49)$$

(k=1,2,\dots,m)

$$\begin{aligned} \frac{J}{p} \frac{d^2\Delta\theta}{dt^2} + \frac{B}{p} \frac{d\Delta\theta}{dt} + \frac{p}{2} \frac{m-2}{m} qL_1 \sum_{k=1}^m I_{ko}^2 \cos \left[\theta_0 - (k-1) \frac{2\pi}{m} \right] \Delta\theta = \\ = -\Delta m_r - p \frac{m-2}{m} qL_1 \sum_{k=1}^m I_{ko} \sin \left[\theta_0 - (k-1) \frac{2\pi}{m} \right] \Delta i_k. \end{aligned}$$

Se aplică transformata Laplace asupra ecuațiilor liniarizate ale sistemului cu condițiile inițiale specifice punctului de funcționare luat ca referință. Se notează pentru comoditate:

$$\begin{aligned} L_{kko} &= \frac{m-1}{m} qL_0 + \frac{m-2}{m} qL_1 \cos \left[\theta_0 - (k-1) \frac{2\pi}{m} \right] \\ B_{ko} &= \frac{m-2}{m} qL_1 I_{ko} \sin \left[\theta_0 - (k-1) \frac{2\pi}{m} \right] \\ A_0 &= \frac{p}{2} \frac{m-2}{m} qL_1 \sum_{k=1}^m I_{ko}^2 \cos \left[\theta_0 - (k-1) \frac{2\pi}{m} \right] \end{aligned} \quad (3.50)$$

Sistemul transformatelor Laplace scris sub formă matricială este:

$$\begin{bmatrix} R+sL_{110} & 0 & \dots & 0 & -sB_{10} \\ 0 & R+sL_{220} & \dots & 0 & -sB_{20} \\ \vdots & \vdots & \vdots & \vdots & \vdots \\ 0 & 0 & \dots & R+sL_{mmo} & -sB_{mo} \\ -pB_{10} & -pB_{20} & \dots & -pB_{mo} & A(s) \end{bmatrix} \times \begin{bmatrix} \Delta i_1(s) \\ \Delta i_2(s) \\ \vdots \\ \Delta i_m(s) \\ \Delta \theta(s) \end{bmatrix} = \begin{bmatrix} \Delta u_1(s) - C_{10}(s) \\ \Delta u_2(s) - C_{20}(s) \\ \vdots \\ \Delta u_m(s) - C_{mo}(s) \\ -\Delta m_r(s) - C_o(s) \end{bmatrix} \quad (3.51)$$

In sistem s-au notat:

$$A(s) = \frac{J}{p} s^2 + \frac{B}{p} s + A_o$$

$$C_{ko}(s) = B_{ko} \theta_o + L_{kko} I_{ko}$$

$$(k=1,2,\dots,m)$$

$$C_o(s) = \frac{J}{p} \theta_o s + \frac{J}{p} \dot{\theta}_o$$

} condiții inițiale (3.52)

unde $\dot{\theta}_o$ este viteza unghiulară electrică în punctul de funcționare

S-a obținut astfel modelul linear operațional al SAMPP caracterizat prin intrările $\Delta u_k(s)$ ($k=1,2,\dots,m$), perturbația $\Delta m_r(s)$ și ieșirile $\Delta i_k(s)$ ($k=1,2,\dots,m$) și $\Delta \theta(s)$. Sub formă concentrată el se scrie astfel:

$$[X_s] [E_s] = [I_s] \quad (3.53)$$

în care $[X_s]$ este matricea operațională de transfer, $[I_s]$ matricea operațională a intrărilor (matricea de intrare), iar $[E_s]$ matricea operațională a ieșirilor (matricea de ieșire).

Modelul operațional exprimă comportarea dinamică a SAMPP permițînd noi interpretări ale diferitelor categorii de transformări interne, în termenii uzuali ai teoriei sistemelor automate [31]. Pe baza ecuațiilor (3.51) se poate întocmi schema bloc operațională a SAMPP, așa cum este dată în figura 3.7.

Din examinarea schemei bloc și a ecuației (3.51) rezultă următoarele proprietăți ale SAMPP:

- regimul stabilirii curenților în faze este supus unei comportări tip P_1 (proporțional, cu inerție de ord.1) față de tensiunile pe faze;

- cuplul electromagnetic $\Delta m(s)$ se obține prin însumarea acțiunii curenților în faze după dependența de tip P_0 (proporțional față de aceștia);

- unghiul electric al rotorului este supus acțiunii de tip P_2 (proporțional, cu inerție de ord.2) față de echilibrul cupluri-

lor, ceea ce duce practic la un răspuns oscilant-amortizat;

- tensiunile de alimentare pe faze sînt afectate de tensiunile electromotoare prin reacția de poziție internă cu caracter de viteză datorită comportării derivativate a buclei de reacție. Tensiunile electromotoare (de reacție) sînt efectul modulării cîmpului în întrefier (coeficienții B_{k0} depind direct de inductivitatea L_1);

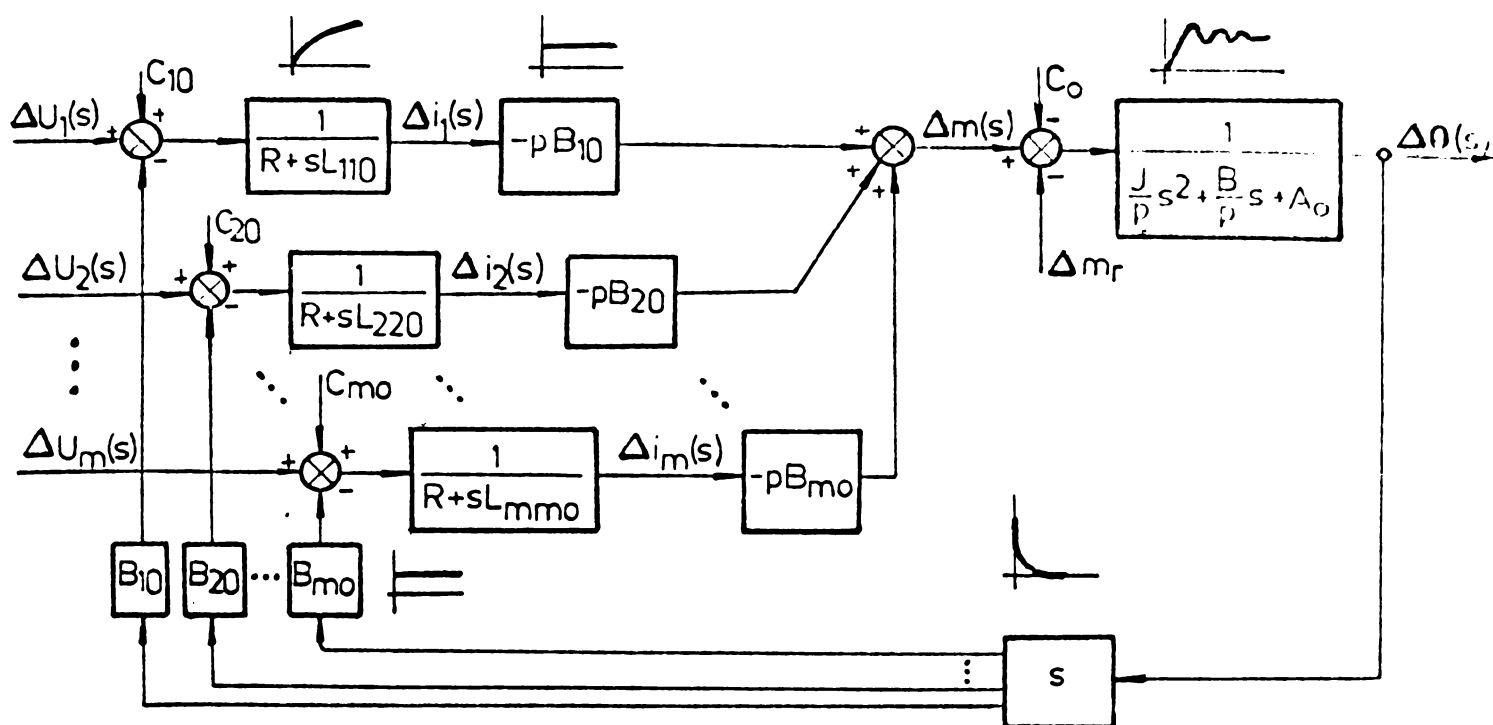


Fig.3.7. Schema bloc operațională a SAMPP.

- efectul tensiunilor electromotoare, deși prompt față de variațiile unghiului, este întârziat față de variațiile curenților tocmai datorită inerției rotorului. În acest fel se poate considera că pantele curenților în faze sînt relativ puțin afectate de mișcarea rotorului.

Modelul operațional (3.51) dezvăluie și alte proprietăți dacă se admite cazul specific MPP - alimentarea simultană a unui număr de faze mai mic ca $m/2$ (sau $(m+1)/2$). Pentru aceasta se consideră alimentarea în secvența monopolară simetrică simplă (comutația de la faza 1 la faza 2) și, în conformitate cu ultima proprietate enunțată, se vor neglija efectele modulației cîmpului asupra tensiunilor de alimentare. În acest fel, din ecuația (3.51) se iau primele două și ultima linie, iar reacția internă este suprimată (coeficienții B_{10}, \dots, B_{m0} de pe ultima coloană din matricea de transfer sînt nuli). Practic, suprimarea reacției interne echivalează cu neglija inductivității L_1 în ecuațiile de tensiune.

Modelul operațional devine ($L_{110} = L_{220} = L$):

$$\begin{bmatrix} R+sL & 0 & 0 \\ 0 & R+sL & 0 \\ -pB_{10} & -pB_{20} & A(s) \end{bmatrix} \times \begin{bmatrix} \Delta i_1(s) \\ \Delta i_2(s) \\ \Delta \theta(s) \end{bmatrix} = \begin{bmatrix} \Delta u_1(s) - C_{10}(s) \\ \Delta u_2(s) - C_{20}(s) \\ -\Delta m_r(s) - C_0(s) \end{bmatrix} \quad (3.54)$$

din care, prin inversare, se pot explicita mărimile de ieșire:

$$\begin{bmatrix} \Delta i_1(s) \\ \Delta i_2(s) \\ \Delta \theta(s) \end{bmatrix} = \begin{bmatrix} \frac{1}{R+sL} & 0 & 0 \\ 0 & \frac{1}{R+sL} & 0 \\ \frac{pB_{10}}{(R+sL)A(s)} & \frac{pB_{20}}{(R+sL)A(s)} & \frac{1}{A(s)} \end{bmatrix} \times \begin{bmatrix} \Delta u_1(s) - C_{10}(s) \\ \Delta u_2(s) - C_{20}(s) \\ -\Delta m_r(s) - C_0(s) \end{bmatrix} \quad (3.55)$$

Variațiile unghiului - cea mai importantă mărime de ieșire - au expresia:

$$\Delta \theta(s) = \frac{K_1 \Delta u_1(s) + K_2 \Delta u_2(s) - K_0(s)}{(R+sL) \left(\frac{J}{p} s^2 + \frac{B}{p} s + A_0 \right)} \quad (3.56)$$

unde

$$K_1 = pB_{10}, \quad K_2 = pB_{20},$$

$$K_0(s) = pB_{10}C_{10}(s) + pB_{20}C_{20}(s) + [\Delta m_r(s) + C_0(s)](R+sL)$$

Se poate constata că viteza de răspuns a SAMPP depinde atât de inerția electromagnetică cât și de cea electromecanică, precum și de condițiile inițiale.

Mergînd mai departe cu aproximările, se va lua $L=0$ și particularizarea $\Delta u_1(s)=0$, $\Delta u_2(s)=\Delta u/s$ (semnal treaptă), $\Delta m_r(s)=0$ cu care, expresia (3.56) se poate scrie sub forma:

$$\Delta \theta(s) = \frac{pB_{20} \frac{\Delta u}{R} - C_0(s)}{s \left(\frac{J}{p} s^2 + \frac{B}{p} s + A_0 \right)} \quad (3.57)$$

unde $C_0(s)$ depinde de θ_0 și $\dot{\theta}_0$ și are practic o influență redusă asupra formei de variație a unghiului și în ultimă instanță poate fi neglijat. Cu observația că A_0 (exprimat în 3.50) este cuplul maxim sincronizant pentru o poziție dată, făcînd cîteva transformări, expresia (3.57) se poate scrie astfel:

$$\Delta \theta(s) \approx \frac{1}{s} \frac{K_a}{\frac{s^2}{\omega_0^2} + \frac{2\zeta}{\omega_0} s + 1} \quad (3.58)$$

unde ζ și ω_0 corespund notațiilor din tabelele 3.2 și 3.3, iar K_a este un factor de amplificare.

Exprimarea (3.58) sugerează o nouă interpretare a SAMPP. Două particularități ale MPP sînt ajutătoare în acest sens:

- independența valorii pasului de amplitudinea și durata impulsului de comandă;
 - memorarea poziției la ultimul impuls de comandă primit.
- Cu acestea funcția (3.58) se scrie ca produsul altor două funcții definite astfel:

$$\Delta\theta(s) = Y_1(s) \cdot Y_2(s)$$

$$Y_1(s) = \frac{\Delta\theta(s)}{I'(s)} = \frac{K_a}{\frac{s^2}{\omega_0^2} + \frac{2\zeta}{\omega_0} s + 1} \quad (3.59)$$

$$I'(s) = 1 \quad (\text{impuls unitar})$$

$$Y_2(s) = \lim_{\tau_0 \rightarrow \infty} \frac{1 - e^{-s\tau_0}}{s} = \frac{1}{s}$$

adică SAMPP este echivalent inserierii unui element pondere tip P_2 (proporțional, cu inerție de ord.2) cu un element extrapolator de ordinul 0 [58] cu timp de extrapolare τ_0 infinit. Această interpretare este exprimată și în figura 3.8.

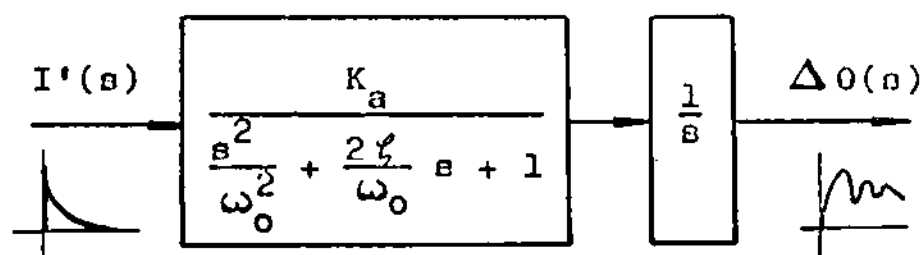


Fig.3.8. Schema bloc simplificată a SAMPP.

Rezultă că, într-o interpretare aproximativă, SAMPP poate fi privit ca un bloc atacat la intrare cu impulsuri unitare (Dirac) și avînd la ieșire incrementi de unghi care se stabilesc după oscilații amortizate.

Desigur că modelul liniar operațional și în special ultimele reprezentări simplificate arătate nu pot satisface toate problemele întîlnite în calculul sistemelor automate. Forma simplificată (3.58) devine însă foarte utilă și expeditivă în studierea dinamicii sistemelor automate cu MPP în circuit închis și mai ales la determinarea stabilității acestora.

3.5. Analiza SAMPP în planul fazelor

Metoda planului fazelor este aplicabilă SAMPP cu condiția ca acestea să fie reprezentate prin maxim două coordonate, ceea ce înseamnă operarea numai asupra ecuației de mișcare din totalul ecuațiilor modelelor matematice. Acoastă restricție impune luarea în considerare a alimentării MPP de la o sursă de curent constant, astfel că ecuațiile echilibrului electric din modelul m-fazăt se reduc la $i_k = I = \text{const.}$ ($k=1,2,\dots,m+1$).

Ecuția de mișcare în mărimi raportate este:

$$\frac{d^2\theta}{d\tau^2} + 2\zeta \frac{d\theta}{d\tau} + \mu_r = \mu_e \quad (3.60)$$

în care cuplul electromagnetic e funcție numai de unghiul θ . Pentru aplicarea metodei planului fazelor [28,29,78,88] se introduce viteza unghiulară raportată ω^* ca variabilă suplimentară, astfel încât ecuația diferențială de ordinul doi (3.60) se transformă într-un sistem de ecuații diferențiale de ordinul întâi:

$$\begin{aligned} \frac{d\theta}{d\tau} &= \omega^* \\ \frac{d\omega^*}{d\tau} &= \mu_e(\theta) - 2\zeta\omega^* - \mu_r \end{aligned} \quad (3.61)$$

Soluțiile acestui sistem în planul de coordonate ω^*, θ (planul fazelor) reprezintă traiectoria de fază $\omega^*(\theta)$. Obținerea acesteia este posibilă prin metode analitice (integrare numerică), grafice (metoda Pell [28]), sau grafo-analitice.

În continuare autorul va prezenta o rezolvare grafo-analitică a sistemului (3.61) prin metoda izoclinelor [41]. Scopul acestei prezentări este de a preciza efectele cuplului rezistent, ca mărime și caracter, asupra mișcării rotorului, cu implicații directe în funcționarea SAMPP în circuit deschis.

Pentru precizare se va lua cazul MPP cu $m=4$ faze, la care se presupune o dependență sinusoidală a cuplului electromagnetic de unghi. Expresia cuplului depinde de tipul MPP și felul comutației. Luând cazul uzual al comenzii potențiale în secvențele simetrice simple, duble și nesimetrice, cuplul se calculează cu expresia (3.4) pentru $i, j=1,2$ și $i_1 = i_2 = I$, rezultând:

$$M_e(\theta) = \frac{p}{2} I^2 \left(\frac{dL_{11}}{d\theta} + 2 \frac{dL_{12}}{d\theta} + \frac{dL_{22}}{d\theta} \right) \quad (3.62)$$

Alimentarea monopolară corespunde de obicei la MPP inductoare cu autoexcitație sau inductor-reactive, fapt pentru care numai

acestea vor fi luate în discuție. Cu formula (3.62) și expresiile inductivităților (2.19) și (2.20), cuplul electromagnetic raportat are forma (s-a luat $q=2$):

$$\mu_e(\theta) = -k_M \sin(\theta - \gamma_0) \quad (3.63)$$

în care k_M este coeficientul cuplului maxim sincronizant iar γ_0 argumentul originii cuplului. Aceștia sînt calculați pentru $M_b = pL_1 I^2/2$ și trecuți în tabelul 3.9.

Tabelul 3.9

Tip MPP	Secvența de alimentare	k_M	γ_0
Inductor cu autoexcitație	S_1 (1-2-3-4...)	1	0
	S_2 (12-23-34...)	$2\sqrt{2}$	$\frac{\pi}{4}$
	S_3 (1-12-2-23...)	$1,2\sqrt{2}$ alternativ	0 sau $\frac{\pi}{4}$
Inductor-reactiv	S_1 (1-2-3-4...)	2	0
	S_2 (1-2-3-4...)	$2\sqrt{2}$	$\frac{\pi}{4}$
	S_3 (1-12-2-23...)	$2,2\sqrt{2}$ alternativ	0 sau $\frac{\pi}{4}$

Forma (3.63) a cuplului este generală deoarece prin coeficientul k_M se exprimă tipul secvenței de alimentare iar γ_0 indică originea curbei $\mu_e(\theta)$ corespunzătoare unei stări electrice stabile a MPP. Astfel, prin trecerea de la o stare electrică stabilă la alta, forma (3.63) se păstrează, schimbîndu-se numai originea curbei.

În continuare se va prezenta metoda izoclinelor făcînd abstracție de unghiul γ_0 . Prin împărțirea ecuațiilor (3.61) se obține raportul:

$$\frac{d\omega^*}{d\theta} = \frac{-k_M \sin\theta - 2\zeta\omega^* - \mu_r}{\omega^*} \quad (3.64)$$

care, pentru $d\omega^*/d\theta = g = \text{const.}$, dă ecuația familiei izoclinelor:

$$\omega_g^*(\theta) = \frac{-k_M \sin\theta - \mu_r}{2\zeta + g} \quad (3.65)$$

Pentru trasarea traiectoriei de fază $\omega^*(\theta)$ se va considera că MPP primește un impuls, ceea ce este echivalent cu a fixa condițiile inițiale:

$$\theta_i = -\frac{\pi}{2} \pm \arcsin \frac{\mu_r}{k_M} \quad (3.66)$$

$$\omega_i^* = 0.$$

În tabelul 3.10 sînt indicate curbele particulare ale izoclinelor (3.65) pentru diferite valori ale pantelor g și diferite tipuri de încărcări μ_r . Portretele de fază pentru cazurile arătate în tabelul 3.10 sînt reprezentate în figura 3.9, a, b, c, d.

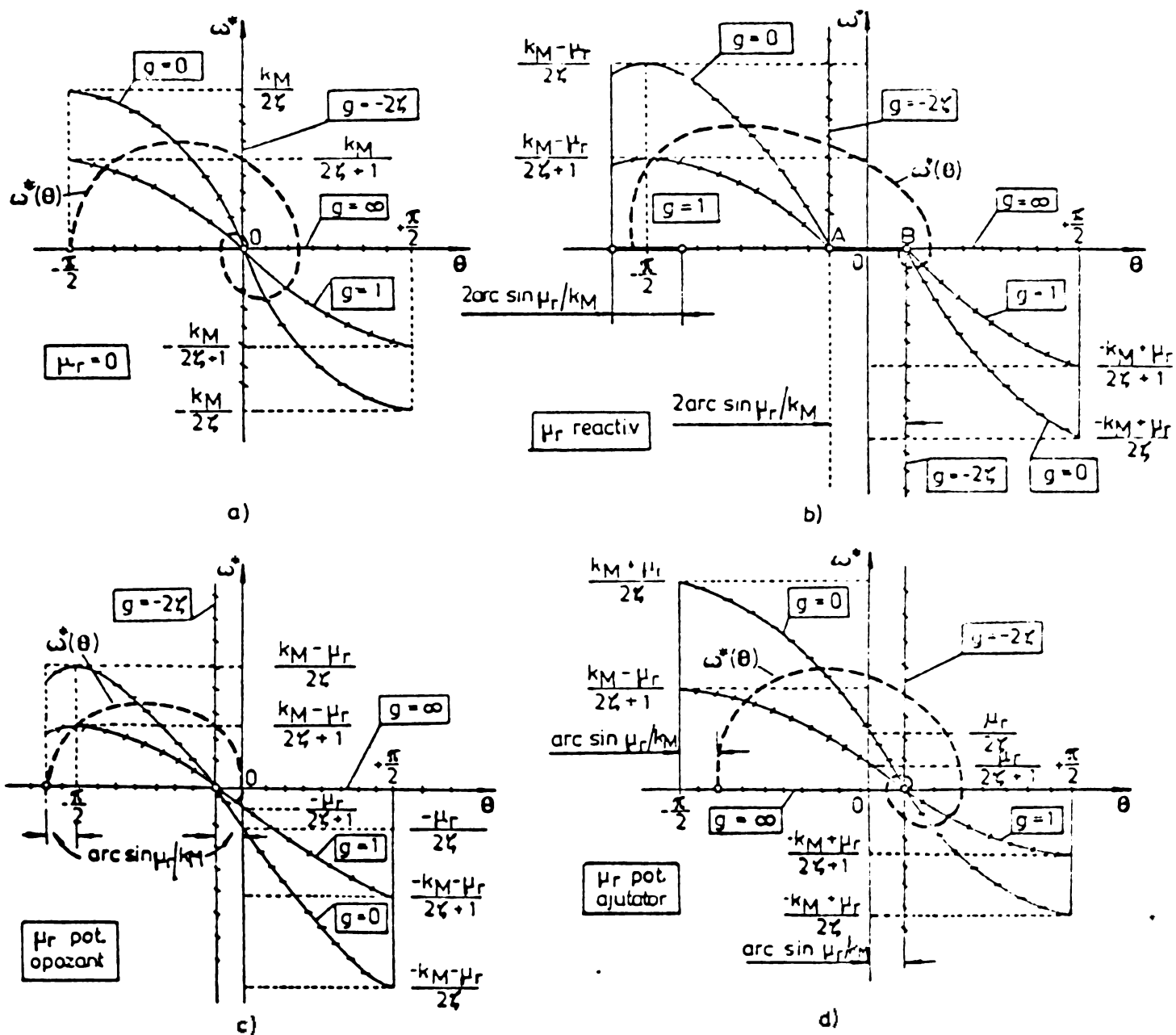


Fig. 3.9. Traiectoriile de fază la diferite încărcări:
 a) $\mu_r = 0$; b) μ_r potențial opozant;
 c) μ_r reactiv; d) μ_r potențial ajutor.

Tabelul 3.10

Tipul încărcării MPP	Izocline $\omega^*(\theta)$				Condiții inițiale		
	$g=0$	$g=1$	$g=\infty$	$g=-2\zeta$	θ_1	ω_1^*	
$\mu_r = 0$ sarcă în gol	$\frac{-k_M \sin \theta}{2\zeta}$	$\frac{-k_M \sin \theta}{2\zeta+1}$	0	$\theta = 0$	$-\frac{\pi}{2}$	0	
μ_r reactiv	$\omega^* > 0$	$\frac{-k_M \sin \theta - \mu_r}{2\zeta}$	$\frac{-k_M \sin \theta - \mu_r}{2\zeta+1}$	0	$\theta = -\arcsin \frac{\mu_r}{k_M}$	$-\frac{\pi}{2} - \arcsin \frac{\mu_r}{k_M}$	0
	$\omega^* < 0$	$\frac{-k_M \sin \theta + \mu_r}{2\zeta}$	$\frac{-k_M \sin \theta + \mu_r}{2\zeta+1}$	0	$\theta = +\arcsin \frac{\mu_r}{k_M}$	$-\frac{\pi}{2} + \arcsin \frac{\mu_r}{k_M}$	0
μ_r potențial opozant	$\frac{-k_M \sin \theta - \mu_r}{2\zeta}$	$\frac{-k_M \sin \theta - \mu_r}{2\zeta+1}$	0	$\theta = -\arcsin \frac{\mu_r}{k_M}$	$-\frac{\pi}{2} - \arcsin \frac{\mu_r}{k_M}$	0	
μ_r potențial ajutător	$\frac{-k_M \sin \theta - \mu_r}{2\zeta}$	$\frac{-k_M \sin \theta - \mu_r}{2\zeta+1}$	0	$\theta = +\arcsin \frac{\mu_r}{k_M}$	$-\frac{\pi}{2} + \arcsin \frac{\mu_r}{k_M}$	0	

După cum se poate constata, portretele de fază ale SAMPP reprezintă focare stabile, la care factorul de amortizare ζ are un rol important. De asemenea valoarea cuplului rezistent μ_r și caracterul acestuia influențează traiectoria de fază. Cu creșterea lui μ_r în sens opus mișcării, amplitudinea oscilațiilor scade, iar în sens ajutător, amplitudinea crește. Dacă μ_r are caracter reactiv portretul de fază prezintă o zonă de insensibilitate A-B (fig.3.10,c), determinată de schimbarea sensului de acțiune al lui μ_r la inversarea sensului de mișcare.

Punctele finale ale traiectoriei de fază se obțin din ecuațiile (3.61) prin anularea derivatelor.

Traietoriile de fază în cazul secvenței nesimetrice 1-12-2-23... nu diferă principial dacă se ia pentru k_M valori corespunzătoare comutației (de la o fază alimentată la două sau inverse) și dacă condițiile inițiale (3.66) au în loc de $\pi/2$ unghiul $\pi/4$.

Este ușor de utilizat metoda planului fazelor și pentru funcționarea multipes alegând condițiile inițiale egale cu valorile finale ale pasului anterior și translatând curba $M_e(\theta)$ la fiecare pas în sensul lui θ cu $\pi/2$ (sau $\pi/4$ în secvența nesimetrică). Această observație este utilă la calculul performanțelor de poziționare în circuit deschis.

3.5.1. Aplicație pentru MPP cu 4 faze

Se dau în continuare exemple de traiectorii de fază obținute prin integrarea numerică a sistemului (3.61), în care cuplul electromagnetic are expresia generală (3.63). Integrarea s-a făcut pe un calculator tip "Hewlett Packard-9820", care are în bibliotecă sa un program de integrare prin metoda Runge-Kutta.

S-a luat ca model motorul ale cărui date sînt specificate în tabelul 3.4, pentru care s-a întocmit tabelul 3.11 al mărimilor de bază și raportate. Se face aici precizarea că în reprezentarea netransformată, modelul m-fazat are aceleași mărimi de bază pentru toate secvențele de alimentare. Prin urmare aceasta este valabil și pentru modelul simplificat (3.61), care derivă din cel general m-fazat.

Se ia cazul unui cuplu rezistent potențial opozant. Condițiile inițiale pentru θ și expresiile cuplului sînt trecute în tabelul 3.12 ($\omega_1^* = 0$).

Tabelul 3.11

Mărimea	U_b [V]	R_b [Ω]	I_b [A]	M_b [Nm]	f_b [e^{-1}]	T_b [a]	$T^* = T_o^*$
Relația	U	R	I	$\frac{p}{2} L_1 I_b$	$\sqrt{\frac{pM_b}{J}}$	$\frac{1}{I_b}$	$\frac{L_o}{T_b R_b}$
Valoarea	80	10	8	9,25	870	$1,15 \cdot 10^{-3}$	2,41

Tabelul 3.12

Secvența	θ_1	$\mu_e(\theta)$
S_1	$-\frac{\pi}{2} - \arcsin \mu_r$	$-\sin\theta$
S_2	$-\frac{\pi}{4} - \arcsin \frac{\mu_r}{2\sqrt{2}}$	$-2\sqrt{2} \sin(\theta - \frac{\pi}{4})$
S_3	I-II	$-\frac{\pi}{2} - \arcsin \mu_r$
	II-I	$-\frac{\pi}{4} - \arcsin \frac{\mu_r}{2\sqrt{2}}$
	I-II	$-\arcsin \mu_r$

În figura 3.10 sînt reprezentate traiectoriile de fază pentru secvențele S_1 și S_2 , cu $\zeta = 0,25$ și $\mu_r = 0,25$, obținute prin integrare numerică cu pasul $\Delta\tau = 0,2$. Se observă efectul secvenței asupra deviației ($\epsilon_1 > \epsilon_2$), din care reiese avantajul alimentării în secvența dublă S_2 .

În figura 3.11, sînt arătate traiectoriile de fază în cazul alimentării în secvența S_3 . Mișcarea rotorului este nesimetrică de la un tact la altul și în plus, unghiurile efectuate de rotor în stări electrice succesive diferă ca urmare a încărcării cu μ_r ($\theta_{II-I} < \theta_{I-II}$).

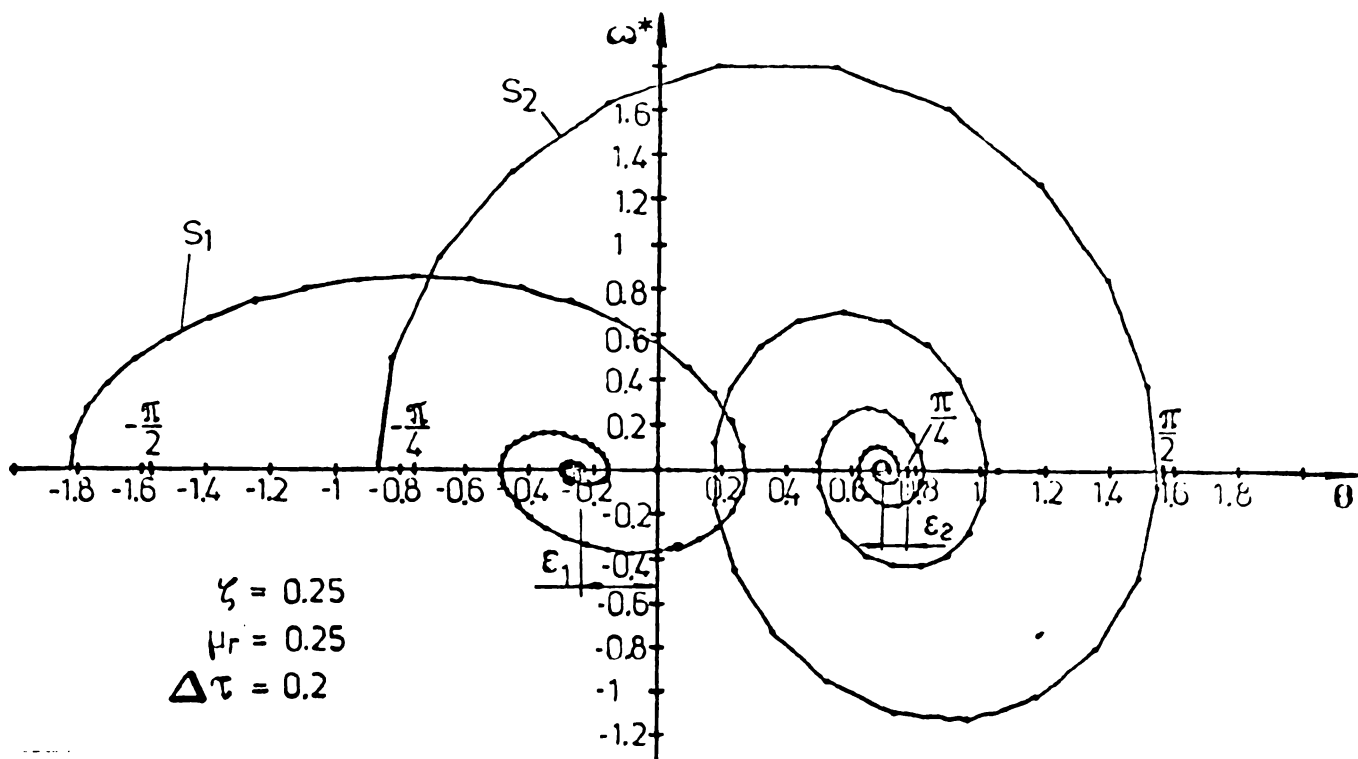


Fig.3.10. Traiectoriile de fază în secvențele S_1 și S_2 .

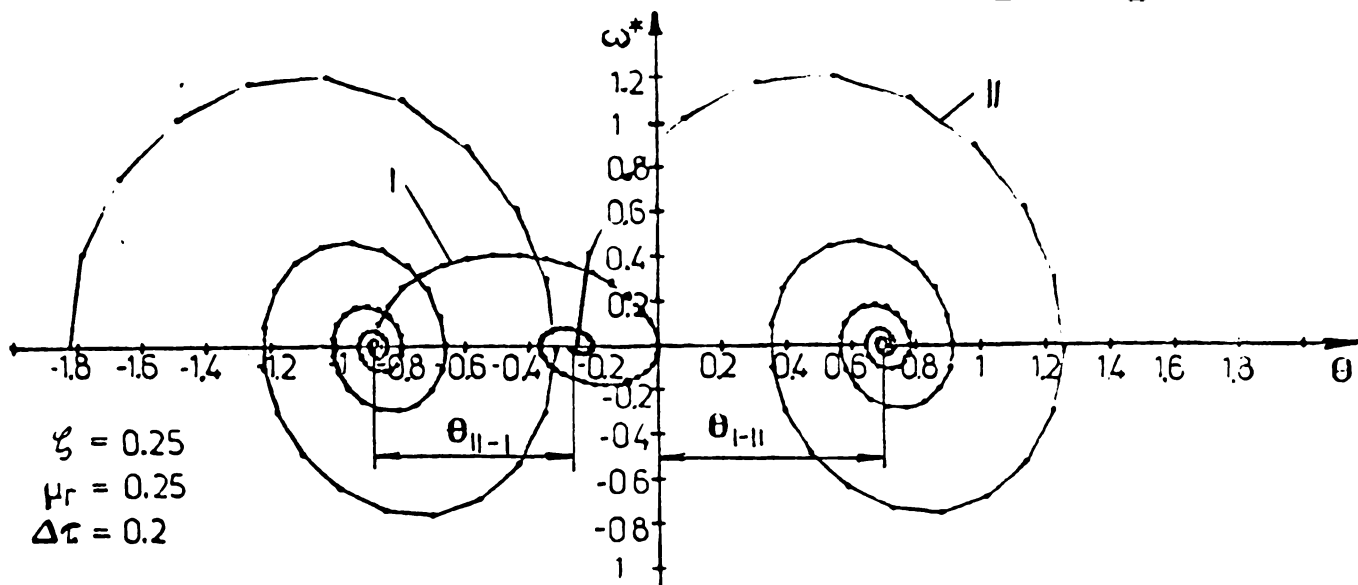


Fig.3.11. Traiectoria de fază în secvența S_3 .

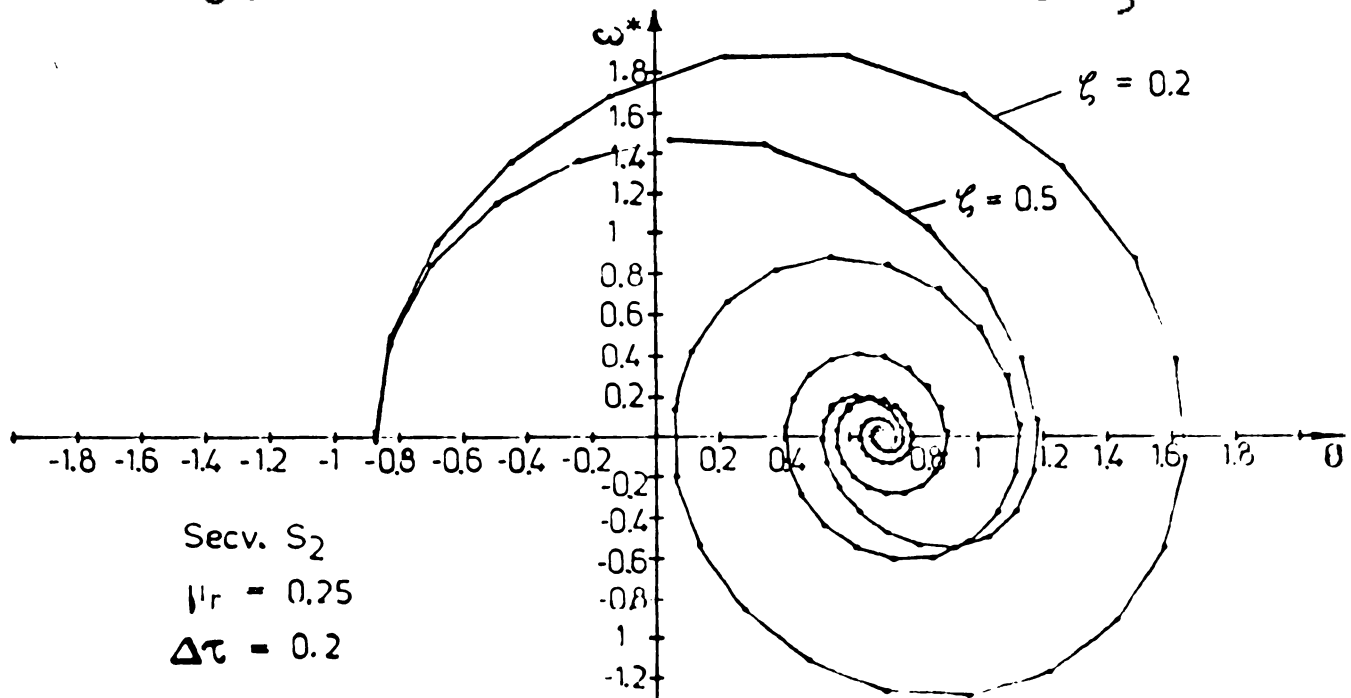


Fig.3.12. Influența factorului de amortizare.

Influența lui ζ este relevată în figura 3.12, unde apar trajectoriile de fază în cazul secvenței S_2 . Se constată amortizarea puternică a oscilațiilor finale cu creșterea lui ζ .

Influența lui μ_r apare în figura 3.13 (secvența S_2), de unde reiese că mărirea cuplului rezistent are același efect de amortizare a oscilațiilor rotorului în jurul poziției finale. De asemenea se modifică și deviația finală.

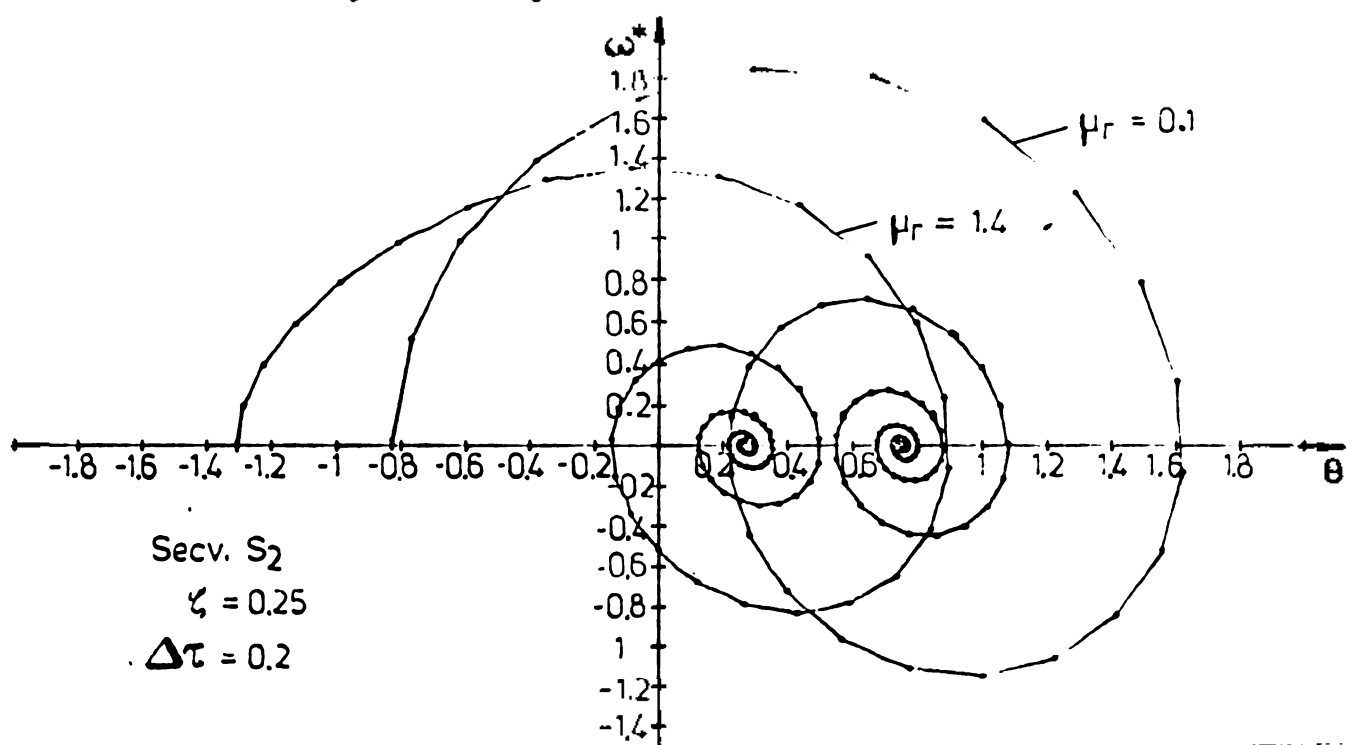


Fig.3.13. Influența cuplului rezistent.

Concluzii asupra metodelor de analiză a SAMPP

1. Modelul liniar m -fazat exprimă în mod direct transformările electromagnetice și electromecanice ale SAMPP, dar este dificil de aplicat în practică pentru $m > 3$ din cauza numărului mare de termeni ai ecuațiilor sale.

2. Includerea saturației magnetice în modelul matematic m -fazat este imposibilă pentru cazul general, cu metode analitice, din cauza neviabilității principiului superpoziției. Cu anumite restricții, ea poate fi inclusă sub forma unei funcții exacte, operație care dezvăluie efectul defavorabil al saturației asupra cuplului dezvoltat de motor.

3. Modelul transformat α, β simplifică forma ecuațiilor dacă tensiunile de alimentare au forme particulare. Modelul dq , derivat din modelul α, β , este mai simplu ca acesta numai pentru $m \leq 4$, când duce la ecuații cu coeficienți constanți. Modelele transformat

oferă însă avantajul tratării unitare a SAMPP în spiritul clasificării funcționale a MPP și dă indicații asupra secvenței optime de alimentare.

4. Raportarea ecuațiilor modelelor se face cu scop de generalizare și pentru evitarea dispersării valorilor numerice ale variabilelor. În cazul modelelor transformate raportarea implică unele mărimi de bază diferite pentru diferite secvențe de alimentare - în schimb se ajunge la ecuații normate unice, valabile pentru orice secvențe. La modelul m-fazat se operează cu un singur set de mărimi de bază - dar operează cu coeficienți dependenți de secvență în ecuația de mișcare.

5. Aplicarea modelului dq pentru un caz concret de MPP și rezultatele integrării numerice a ecuațiilor sale relevă modul de variație a coordonatelor SAMPP. Din acestea reiese că funcționarea SAMPP este definită de un regim cvazistacionar în care nici o coordonată (curent, unghi, viteză) nu este constantă, chiar dacă frecvența de comandă este constantă.

6. Modelul operațional, bazat pe transformata Laplace, a fost dedus din modelul m-fazat și, după anumite simplificări, a condus la elaborarea unei funcții de transfer a SAMPP, cu aplicație în studiul sistemelor de poziționare cu MPP în termenii teoriei reglării automate.

7. Metoda de analiză în planul fazelor și varianta grafo-analitică bazată pe izocline permit evaluarea facilă a influenței unor parametri importanți ai SAMPP: factorul de amortizare, valoarea și caracterul cuplului rezistent.

4. SISTEME DE POZITIONARE CU MOTOARE PAS CU PAS IN CIRCUIT DESCHIS

Sistemele de poziționare cu motoare pas cu pas în circuit deschis (SPMPP în CD) sînt sistemele de reglare a poziției bazate nemijlocit pe proprietatea MPP de a transforma un impuls de comandă într-o deplasare determinată. Sînt sistemele de poziționare cele mai simple, de neconceput cu alte tipuri de motoare electrice.

Cel mai simplu SPMPP în CD este chiar SAMPP, așa cum a fost definit la cap.3, la care informația de intrare o constituie mărimea și sensul cotei - reprezentate prin numărul predeterminat de impulsuri și sensul de distribuție. În figura 4.1 este reprezentat SPMPP în CD în logica integrată.

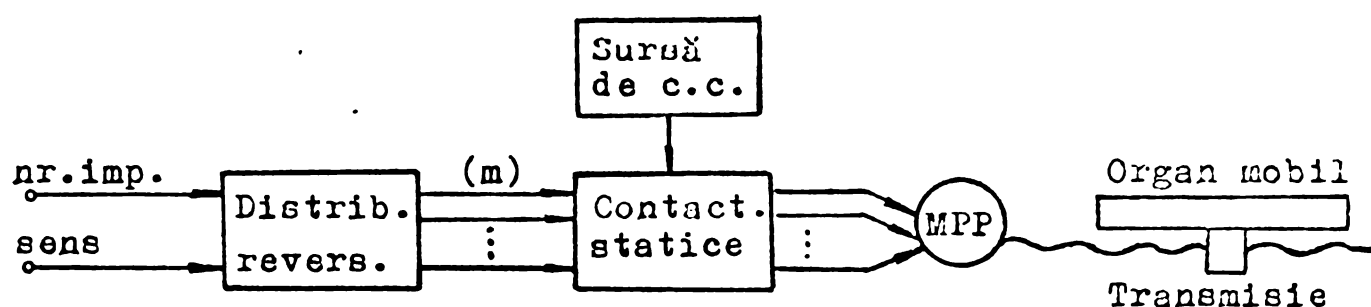


Fig.4.1. SPMPP în CD în logica integrată.

Un distribuitor reversibil trimite impulsurile spre fazele MPP într-o anumită secvență, impulsurile sînt amplificate într-un bloc de contactoare statice, iar MPP acționează organul mobil printr-o transmisie. Sistemul nu dispune de o unitate de prelucrare și are un caracter pur executor, iar comanda poziționării se face din exterior (calculator sau microprocesor). Sistemul demonstrează compatibilitatea directă a SAMPP cu calculatoarele numerice, excluzînd necesitatea unor elemente de adaptare.

Un SPMPP în CD realizat în logica cablată este reprezentat în figura 4.2 [12,39,50,51, 100]. El dispune de o unitate de prelucrare proprie alcătuită dintr-un numărator cu preselecție asociat cu un generator de impulsuri. Informația de intrare este constituită din informații de comutare (comenzi pornit, oprit, sens etc.) și informații de cote (numărul de impulsuri codificat). În programarea manuală aceste informații se introduc prin panoul cu butoane, fișe, comutatoare decadice etc., iar în programarea automată, prin benzi perforate sau magnetice și cititor de bandă.

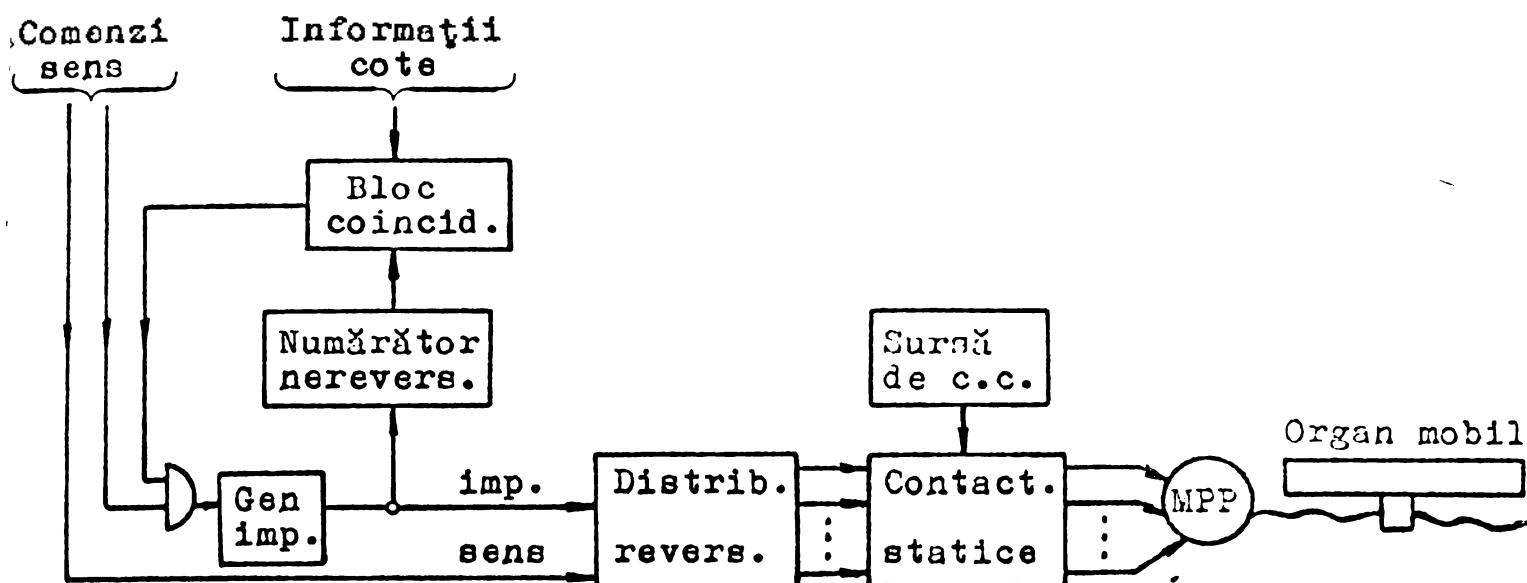


Fig.4.2. SPMPP în CD în logica cablată.

Impulsurile recepționate de MPP sînt contorizate într-un numărător nereversibil, al cărui conținut se compară cu cifra care exprimă cota impusă. La coincidență se blochează generatorul de impulsuri astfel încît se oprește și MPP.

Sistemul are o anumită autonomie prin existența în structura sa a unității de prelucrare. Dacă se contorizează direct pașii efectuați de MPP (aceasta impune un traductor de unghi), sistemul se numește semiflăchis [97].

Avantajul SAMPP de a funcționa în circuit deschis, exploatat din plin în cazul SPMPP în CD, este însă limitat de performanțele MPP. Comanda cu impulsuri a MPP fără a ține seama de poziția rotorului, denumită și comanda funcție de timp, impune o funcționare corectă (fără pierderi de pași) în anumite limite, determinate de frecvența impulsurilor, mărimea și caracterul sarcinii la arbore, secvența de alimentare etc.

Capitolul de față are ca scop determinarea limitelor funcționării SAMPP fără pierderi de pași, cu aplicații directe în studiul și proiectarea SPMPP în CD. Se va lua ca bază teoretică studiul stabilității SAMPP în circuit deschis - criteriu fundamental de justificare a aplicării acestora în sisteme de poziționare.

Stabilitatea în circuit deschis înseamnă capacitatea MPP de a urmări frecvența de comandă, adică de a executa un pas la fiecare impuls de alimentare [41]. Pentru studiul stabilității se face apel la expresiile cuplului static sincronizant, presupus sinusoidal, și la metoda de analiză în planul fazelor. Se vor trata cazurile MPP fără excitație externă, cu $m=4$ faze alimentate monopolar (MPP inductor cu autoexcitație și inductor-reactiv), acestea fiind cele mai răspândite.

Stabilitatea în circuit deschis se poate defini în diferite regimuri de funcționare [16]. Există regimul de funcționare staționar, caracterizat prin aceea că MPP este în repaos, alimentat, regimul de funcționare cvazistaționar, care corespunde regimului de mers al MPP și regimul dinamic care corespunde pornirii, opririi sau reversării mișcării MPP.

4.1. Stabilitatea în regim staționar

În regimul staționar punctul de echilibru stabil se poate situa între punctele A și B pe curba cuplului static sincronizant $\mu_e(\theta)$, așa cum este arătat în figura 4.3. La o încărcare nulă pe arbore cuplul dezvoltat este nul și punctul de echilibru este în O. La încărcările $\pm \mu_r$ (depinde de caracterul sarcinii), apare o deplasare unghiulară OC', OD', numită deviație [38] și care implică existența unui cuplu electromagnetic componentor. Punctul de echilibru stabil se mută în C sau D pe curba $\mu_e(\theta)$, producând o derivație:

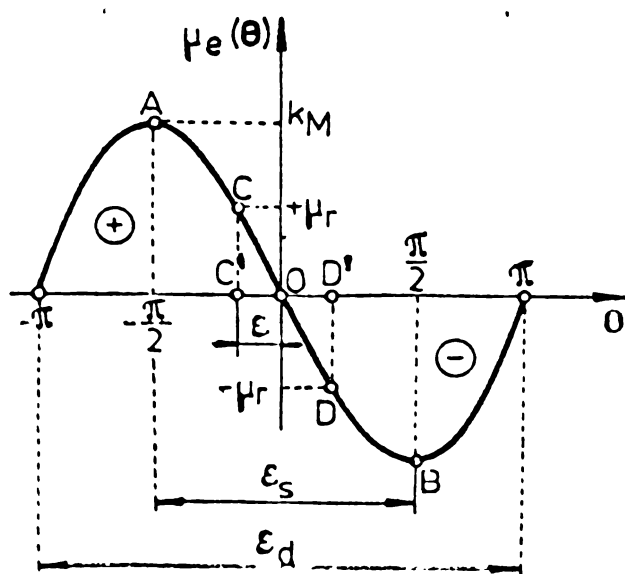


Fig.4.3. Stabilitatea statică.

$$\epsilon = \arcsin \frac{\mu_r}{k_M} \quad (4.1)$$

Deviația se poate interpreta ca o eroare de poziție, conținând la stabilirea preciziei de poziționare a SPMPP în CD. Mărimea ei depinde de cuplul rezistent și secvența de alimentare a MPP și nu poate fi influențată de sistem. Se observă însă că deviația se micșorează în cazul secvențelor simetrice multiple deoarece coeficientul cuplului maxim k_M este mai mare.

Se numește stabilitate statică proprietatea MPP de a reveni în punctul de echilibru inițial, la o variație lentă a încărcării μ_r . Ea se reprezintă prin intervalul $\epsilon_s \in [-\pi/2, +\pi/2]$ și nu depinde de numărul fazelor.

Se numește stabilitate dinamică proprietatea MPP de a reveni în punctul de echilibru inițial în urma unui șoc exterior care provoacă oscilații ale rotorului. Ea se reprezintă prin intervalul $\epsilon_d \in [-\pi, +\pi]$, iar în caz general $\epsilon_d \in [-m\theta_e/2, +m\theta_e/2]$. Mărimea ϵ_d delimitează amplitudinea maxim admisibilă a oscilațiilor rotorului și domeniul în care o deviație negativă este compensată de apariția cuplului pozitiv și invers.

4.2. Stabilitatea în regim dinamic

Regimurile de pornire, oprire, reversare, fără alunecare, specifice numai MPP, se pot identifica prin definirea stelelor de pornire. Pentru aceasta se utilizează metoda planului fazelor, luând ca referențial raportat (3.61), completat cu dependența cuplului electromagnetic de curentul în faze. Concluziile extrase la modelul operațional al SAMPP au arătat că curentul în faze are o formă exponențială care se poate exprima astfel:

$$\begin{aligned} i^*(\tau) &= e^{-\tau/T^*} \quad \text{- la deconectare} \\ i^*(\tau) &= 1 - e^{-\tau/T^*} \quad \text{- la conectare} \end{aligned} \quad (4.2)$$

în care T^* este constanta de timp raportată a unei faze, considerată constantă. Aceste expresii corectează dependența cuplului de unghi (tabelul 3.9).

Utilizarea metodei planului fazelor în stabilirea frecvenței maxime de pornire a MPP fără pierderi de pași a fost făcută pentru cazuri particulare de MPP [16,88]. În capitolul de față, autorul va încerca extinderea metodei planului fazelor pentru toate regimurile dinamice (pornire, oprire, reversare) pentru o gamă largă de tipuri de MPP și secvențe de alimentare.

Se propune în continuare încorporarea exprimărilor (4.2) în sistemul (3.61) pentru funcționarea multipas.

Pentru secvențele $S_1(1-2-3-4\dots)$, $S_2(12-23-34\dots)$ și $S_3(1-12-2-23\dots)$ se observă că în timpul unei comutații intră în discuție cel mult trei faze ale MPP. Se va considera ca referențial faza 1 alimentată pentru S_1 și S_3 , fazele 1 și 2 alimentate pentru S_2 . Din figura 2.12 se observă că în secvența S_1 comutația are loc prin deconectarea fazei $k-1$ și conectarea fazei k ; în secvența S_2 se deconectează faza $k-1$, rămâne alimentată faza k și se conectează faza $k+1$; în secvența S_3 se ivesc două situații:

- de la o fază la două alimentate simultan: faza k rămânând alimentată, se conectează și faza $k+1$;

- de la două faze alimentate simultan la o singură fază: fazele k și $k+1$ fiind alimentate, se deconectează faza k .

Cunoscând expresiile inductivităților (2.19) și (2.20) pentru $m=4$, precum și expresia cuplului (3.4), după raportare, se pot deduce funcțiile $\mu_s(\theta, \tau)$. Se va lua exemplul de calcul al MPP inductor cu autoexcitație alimentat în secvența S_1 .

Cuplul electromagnetic este:

$$M_o(\theta, t) = \frac{p}{2} \left(\frac{dL_{11}}{d\theta} i_1^2 + 2 \frac{dL_{12}}{d\theta} i_1 i_2 + \frac{dL_{22}}{d\theta} i_2^2 \right) \quad (4.3)$$

Se efectuează raportarea și se au în vedere exprimările (4.2), faza 1 fiind deconectată iar faza 2 conectată. Se obține:

$$\begin{aligned} \mu_e(\theta, \tau) = & -\sin\theta e^{-2\tau/T^*} + (\cos\theta - \sin\theta)e^{-\tau/T^*}(1 - e^{-\tau/T^*}) + \\ & + \cos\theta(1 - e^{-\tau/T^*})^2 \end{aligned} \quad (4.4)$$

Funcția se poate restrînge și generaliza sub forma:

$$\mu_e(\theta, \tau) = e^{-\tau/T^*} \sin\theta_k + (1 - e^{-\tau/T^*}) \cos\theta_k \quad (4.5)$$

unde

$$\theta_k = k \frac{\pi}{2} - \theta, \quad k=0,1,2,\dots \quad (4.6)$$

Indicilor k înregistrează fiecare comutația astfel: $k=0$ - comutația de la faza 1 la faza 2, $k=1$ - comutația de la faza 2 la faza 3 etc. În acest fel sistemul (3.61) completat cu (4.5), (4.6) descrie în planul fuzelor comportarea SAMPP în funcționarea multi-pas.

Pentru secvențele S_2, S_3 , ca și pentru MPP inductor-reactiv calculul este similar, obținându-se în final funcțiile $\mu_e(\theta, \tau)$ care interesează (tabelul 4.1).

Tabelul 4.1

Tip MPP	Secv.alim.	$\mu_e(\theta, \tau)$	
Inductor cu autoexcit.	S_1	$e^{-\tau/T^*} \sin\theta_k + (1 - e^{-\tau/T^*}) \cos\theta_k$	
	S_2	$(1 + e^{-\tau/T^*})(e^{-\tau/T^*} \sin\theta_k + \cos\theta_k) + (1 - e^{-\tau/T^*})[\sin\theta_{k+1} + (2 - e^{-\tau/T^*}) \cos\theta_{k+1}]$	
	S_3	I-II	$(2 - e^{-\tau/T^*})[\sin\theta_k + (1 - e^{-\tau/T^*}) \cos\theta_k]$
		II-I	$(1 + e^{-\tau/T^*})(e^{-\tau/T^*} \sin\theta_k + \cos\theta_k)$
Inductor-reactiv	S_1	$2e^{-2\tau/T^*} \sin\theta_k + 2(1 - e^{-\tau/T^*})^2 \cos\theta_k$	
	S_2	$2e^{-2\tau/T^*} \sin\theta_k + 2\cos\theta_k + 2(1 - e^{-\tau/T^*})^2 \cos\theta_{k+1}$	
	S_3	I-II	$2\sin\theta_k + 2(1 - e^{-\tau/T^*})^2 \cos\theta_k$
		II-I	$2e^{-2\tau/T^*} \sin\theta_k + 2\cos\theta_k$

Notă: $\theta_k = k \frac{\pi}{2} - \theta$

$k=0,1,2,\dots$

$\theta_{k+1} = (k+1) \frac{\pi}{2} - \theta$

Este interesant de arătat că funcția $\mu_e(\theta, \tau)$, care se translatează la fiecare comutație, îndeplinește condiția:

$$\lim_{\tau \rightarrow \infty} \mu_e(\theta_k) = \lim_{\tau \rightarrow 0} \mu_e(\theta_{k+1}) \quad (4.7)$$

ceea ce semnifică faptul că timpul raportat are efect numai la începutul fiecărei comutații.

4.2.1. Stabilitatea în regimul de pornire

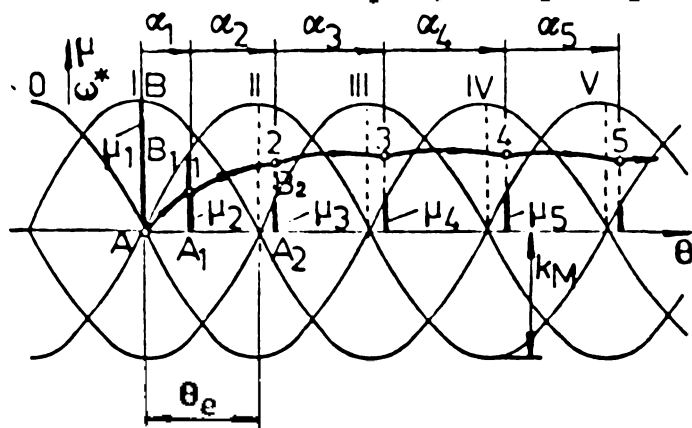
În timpul pornirii MPP, datorită inerției rotorului, unghiul efectuat de acesta între două impulsuri de comandă este mai mic decât unghiul de pas electric. Are loc o "rămînere în urmă" a rotorului față de stator, rămînere care se poate mări sau micșora în procesul pornirii. Se spune că MPP are stabilitate la pornire dacă diferențele între pașii electrice și pașii efectivi ai MPP sînt compensate, adică rămîn în interiorul zonei de stabilitate dinamică, așa cum a fost definită în cap.4.1.

S-a arătat anterior că indiferent de tipul MPP, cuplul electromagnetic are o dependență sinusoidală de unghi, de forma (3.63), iar încorporarea timpului nu afectează, practic expresia cuplului înaintea unei comutații (v. rel.4.7). Din acest motiv este permis a se include influența timpului numai în determinarea traiectoriei de fază, prin integrarea sistemului:

$$\frac{d\theta}{d\tau} = \omega^* \quad (4.8)$$

$$\frac{d\omega^*}{d\tau} = \mu_e(\theta, \tau) - 2\zeta \omega^* - \mu_r$$

unde $\mu_e(\theta, \tau)$ este calculat în tabelul 4.1, iar în determinarea limitelor stabilității, timpul poate fi eliminat. Se mai face observația că principial nu contează



nici tipul comutației, aceasta fiind reprezentată prin coeficientul k_M . În acest fel se va înlocui termenul de comutație a fazelor cu comutația de la o stare electrică stabilă la alta.

În figura 4.4 se arată cazul pornirii MPP în gol ($\mu_r=0$) din starea inițială 0. La primul impuls de comandă asupra rotorului acționează cuplul dinamic AB, care îl va roti cu unghiul $\alpha_1 < \theta_e$ din cauze inerției. La aplicarea impul-

ului următor, asupra rotorului acționează, cuplul dinamic A_1B_1 care îl va roti în continuare cu unghiul α_2 . Condiția ca rotorul să-și continue mișcarea este ca în momentul aplicării impulsului al 3-lea, traiectoria de fază să depășească valoarea pasului electric θ_e , adică asupra rotorului să acționeze un cuplu dinamic pozitiv A_2B_2 . Pînă la aplicarea impulsului următor, rotorul trebuie să efectueze un unghi cel puțin egal cu pasul electric.

Se observă că asupra rotorului acționează în momentul comutației cupluri dinamice din ce în ce mai mici, iar unghiurile efectuate α_k sînt din ce în ce mai apropiate ca valoare de pasul electric θ_e . Fenomenul tranzitoriu la pornire încetează, atunci cînd unghiurile α_k sînt egale cu θ_e , iar vitezele la începutul și sfîrșitul fiecărui pas sînt egale, ceea ce corespunde, de altfel, regimului cvazistaționar.

Condițiile de stabilitate la pornire se pot exprima analitic astfel:

$$\alpha_1 + \alpha_2 > \theta_e, \quad \alpha_3 \geq \theta_e \quad (4.9)$$

Dacă pe arborele MPP se aplică un cuplu rezistent, atunci condițiile de pornire suferă modificări care depind de mărimea și caracterul acestuia. În figurile 4.5, 4.6, a și b sînt reprezentate traiectoriile de fază la pornirea MPP cu cuplu

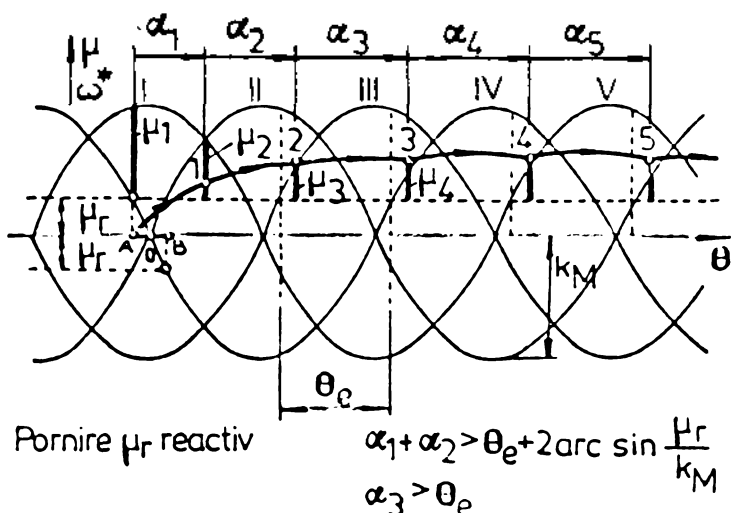


Fig.4.5. Pornirea cu μ_r reactiv. rezistent reactiv, potențial opozant, respectiv ajutător.

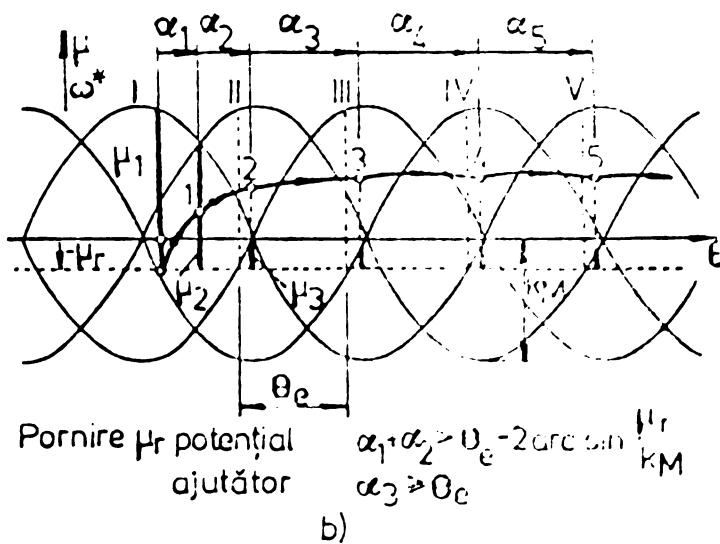
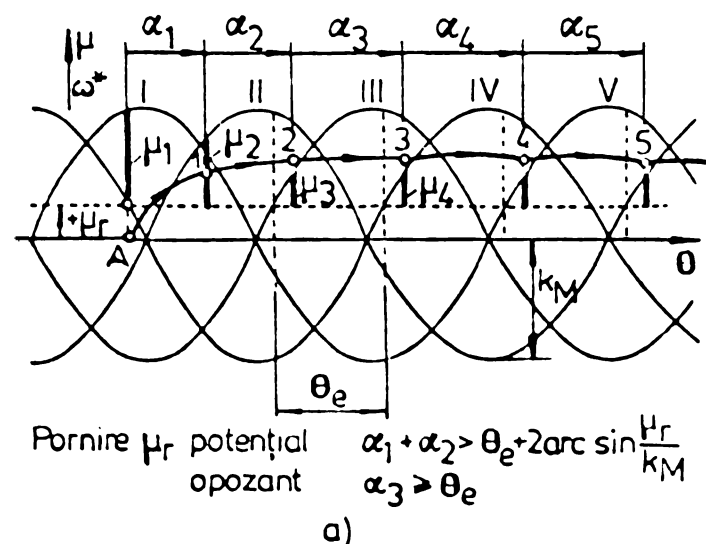
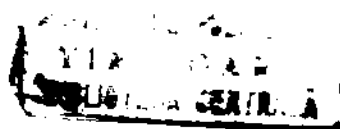


Fig.4.6. Pornire cu μ_r potențial: a-opozant, b-ajutător.



În cazul pornirii cu μ_r reactiv punctul inițial al traiectoriei de fază se poate situa oriunde pe segmentul AB. S-a luat punctul inițial în A, deoarece este situația cea mai defavorabilă. Aceleași condiții de pornire apar și în cazul cuplului rezistent potențial opozant. La pornirea cu cuplu rezistent potențial ajutător, îndreptat în sensul mișcării, punctul inițial al traiectoriei de fază se află la intersecția curbei cuplului din starea electrică inițială cu dreapta $-\mu_r$. Pornirea este ușurată din cauza cuplurilor dinamice μ_1, μ_2, \dots mai mari decât în cazurile anterioare.

Condițiile de stabilitate la pornire sînt așadar sancționate de cuplul rezistent. În tabelul 4.2 sînt trecute aceste condiții, valabile în cazul secvențelor S_1 și S_2 .

Tabelul 4.2

Tip μ_r	Condiții de stabilitate la pornire
mers în gol	$\alpha_1 + \alpha_2 > \theta_e, \alpha_3 \geq \theta_e$
reactiv	$\alpha_1 + \alpha_2 > \theta_e + 2 \arcsin \frac{\mu_r}{k_M}, \alpha_3 \geq \theta_e$
potențial opozant	$\alpha_1 + \alpha_2 > \theta_e + 2 \arcsin \frac{\mu_r}{k_L}, \alpha_3 \geq \theta_e$
potențial ajutător	$\alpha_1 + \alpha_2 > \theta_e - 2 \arcsin \frac{\mu_r}{k_M}, \alpha_3 \geq \theta_e$

În cazul secvenței nesimetrice S_3 cuplul electromagnetic prezintă salturi la trecerea de la o stare electrică la următoarea, iar pasul electric este înjumătățit. Principial, problema pornirii nu se modifică, însă, așa cum se arată în figura 4.7, condițiile de stabilitate devin:

$$\begin{aligned} \alpha_1 + \alpha_2 + \alpha_3 + \alpha_4 &> \theta'_e \\ \alpha_5 &\geq \theta'_e \end{aligned} \quad (4.10)$$

unde $\alpha_1, \dots, \alpha_5$ sînt unghiurile corespunzătoare primelor 5 schimbări de stare electrică (primele 5 tacte de comandă), iar $\theta'_e = \theta_e/2$

Există două variante de pornire: din starea inițială cu o fază alimentată (fig.4.7,a) și din starea inițială cu 2 faze alimentate simultan (fig.4.7,b). La prima variantă unghiurile $\alpha_1, \alpha_3, \alpha_5, \dots, \alpha_{2k+1}$ sînt efectuate sub acțiunea cuplului mai mare ($k_M'' > k_M'$), iar unghiurile $\alpha_2, \alpha_4, \dots, \alpha_{2k}$ sub acțiunea cuplului mai mic; la a 2-a variantă situația se prezintă invers. Se poate constata că la pornirea în gol nu există practic diferențe între cele două variante.

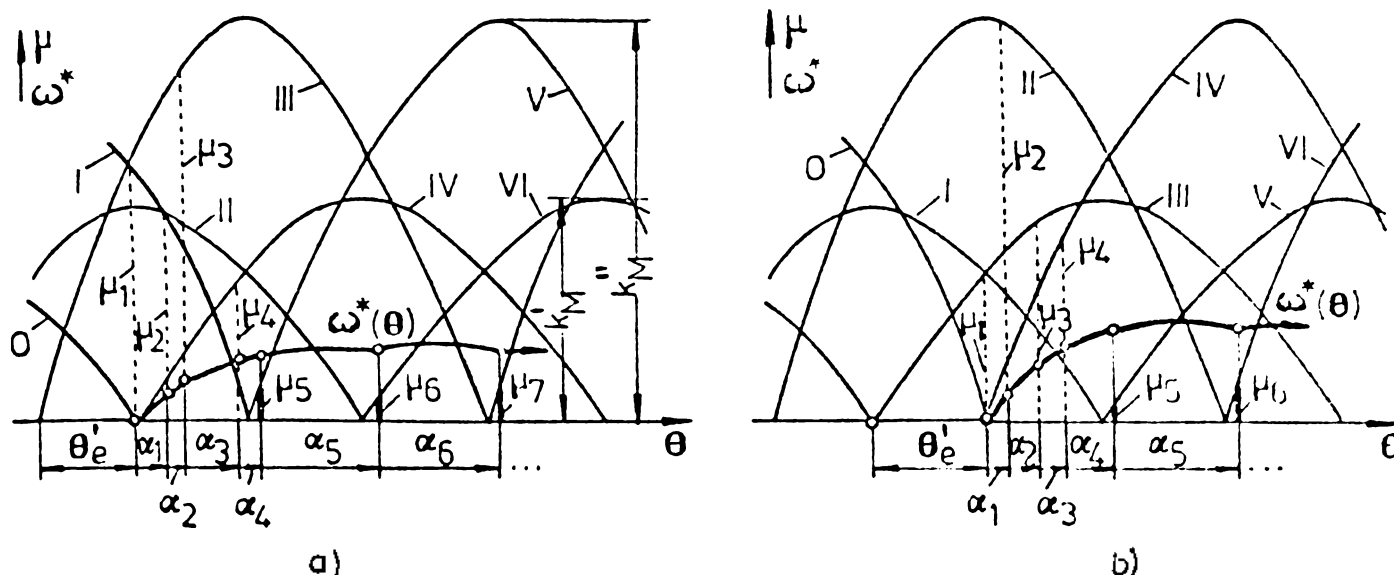


Fig.4.7. Pornirea în secvența S₃: a-inițial o singură fază alimentată; b-inițial 2 faze alimentate.

În prezența cuplului rezistent, condițiile de stabilitate suferă modificările arătate în tabelul 4.3.

Tabelul 4.3

Tip μ_r	Condiții de stabilitate la pornire
mers în gol	$\sum_{k=1}^4 \alpha_k > \theta'_e$, $\alpha_5 \geq \theta'_e$
reactiv și potențial opozant	$\sum_{k=1}^4 \alpha_k > \theta'_e + \arcsin \frac{\mu_r}{k_M^*} + \arcsin \frac{\mu_r}{k_M^{**}}$, $\alpha_5 \geq \theta'_e$
potențial ajutător	$\sum_{k=1}^4 \alpha_k > \theta'_e - \arcsin \frac{\mu_r}{k_M^*} - \arcsin \frac{\mu_r}{k_M^{**}}$, $\alpha_5 \geq \theta'_e$

Notă: $k_M^* = \min(k_M)$, $k_M^{**} = \max(k_M)$.

Se poate constata că nici la pornirea în sarcină nu există practic deosebiri de condiții între cele două variante.

4.2.2. Calculul caracteristicilor limită de pornire

Prezentarea făcută asupra stabilității la pornire a MPP are ca importanță practică stabilirea unei metode de calcul a caracteristicilor limită de pornire, care va fi arătată în continuare [41].

Caracteristicile limită de pornire reprezintă dependența frecvenței maxime de pornire fără pierderi de pași - de cuplul rezistent aplicat la arborele MPP. Ele sînt determinante în proiectarea SPMPP în CD și de obicei firmele producătoare indică aceste

caracteristici - ridicate experimental - pentru fiecare tip de MPP cu dispozitivul său de comandă.

Metoda de calcul constă în integrarea numerică a sistemului (4.8), folosind pentru cuplu expresiile din tabelul 4.1, ținând seama de condițiile de stabilitate la pornire indicate în tabelul 4.2 și 4.3. Se calculează ω^* în funcție de μ_r , avînd ca parametri: ζ, T^* , tipul MPP, secvența de alimentare și caracterul cuplului rezistent. În acest fel concurează la determinarea curbelor $f_{\max}^*(\mu_r)$ principalii parametri electrici și mecanici ai SPMPP.

Multitudinea de condiții de integrare a sistemului (4.8), obligă la prezentarea unei scheme logice generale de calcul numeric, denumită CASTAR, arătată în figura 4.8. Pentru înțelegerea mai ușoară s-a renunțat la reprezentarea unor detalii de programare și nu s-au plasat descriptorii specifici limbajului de programare.

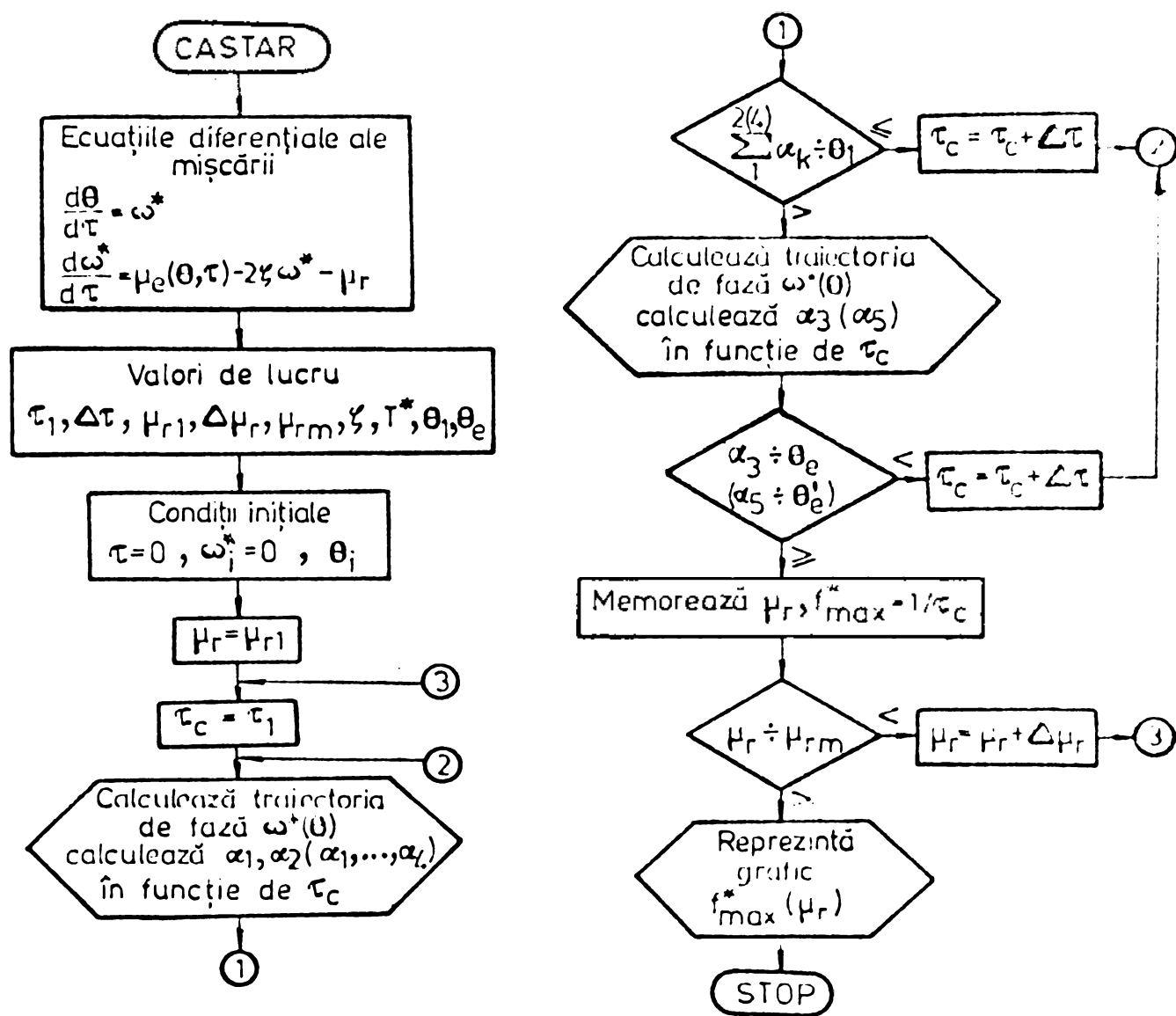


Fig.4.8. Organigrama de calcul a caracteristicilor limită de pornire.

Notațiile noi care apar precum și explicațiile legate de mersul calculului, sînt următoarele (toate mărimile sînt raportate

- τ_1 - durata minimă între două tacturi de comandă; este inversa frecvenței maxime f_{mm} , cea mai mare valoare a frecvenței de la care se încep iterațiile;
- $\Delta\tau$ - creșterea duratei între două tacturi de comandă la o iterație;
- μ_{r1} - cuplul rezistent minim;
- $\Delta\mu_r$ - creșterea cuplului rezistent la aflarea primului punct al caracteristicii limită;
- μ_{rm} - cuplul rezistent maxim luat;
- θ_1 - unghiul minim obligatoriu total în momentul aplicării tactului al 3-lea (în secvențele S_1 și S_2) sau al 5-lea (în secvența S_3); se extrage din tabelele 4.2 și 4.3; în secvența S_2 se adaugă $\frac{\pi}{4}$;
- τ_c - durata de calcul a traiectoriei de fază pentru un k dat (k de la θ_k în tabelul 4.1).

Condițiile inițiale pentru θ_1 se pot scoate din figurile 4.4 ... 4.7 și sînt date în tabelul 4.4.

Tabelul 4.4

Tipul μ_r	Unghiul inițial θ_1			
	S_1	S_2	S_3 (I-II)	S_3 (II-I)
mers în gol	0	$\frac{\pi}{4}$	0	$\frac{\pi}{4}$
reactiv și potențial opozant	$-\arcsin \frac{\mu_r}{k_M}$	$\frac{\pi}{4} - \arcsin \frac{\mu_r}{k_M}$	$-\arcsin \frac{\mu_r}{k_M}$	$\frac{\pi}{4} - \arcsin \frac{\mu_r}{k_M}$
potențial ajutător	$+\arcsin \frac{\mu_r}{k_M}$	$\frac{\pi}{4} + \arcsin \frac{\mu_r}{k_M}$	$+\arcsin \frac{\mu_r}{k_M}$	$\frac{\pi}{4} + \arcsin \frac{\mu_r}{k_M}$

Dintre rezultatele obținute pe calculator sînt arătate caracteristicile limită de pornire din figura 4.9, valabile pentru MPP inductor cu autoexcitație, μ_r reactiv, secvența S_2 , $T^* = 0$. Influența constantei de timp este relevată în graficul din figura 4.10, iar din figura 4.11 se poate constata influența secvenței de alimentare.

Caracteristicile obținute prin calcul cu mărimi raportate se pot considera universale pentru MPP inductoare cu autoexcitație cu 4 faze. Aceasta permite obținerea caracteristicilor în mărimi naturale pentru un anumit MPP, folosind transformările inverse din tabelul 3.3, cu datele MPP respectiv.

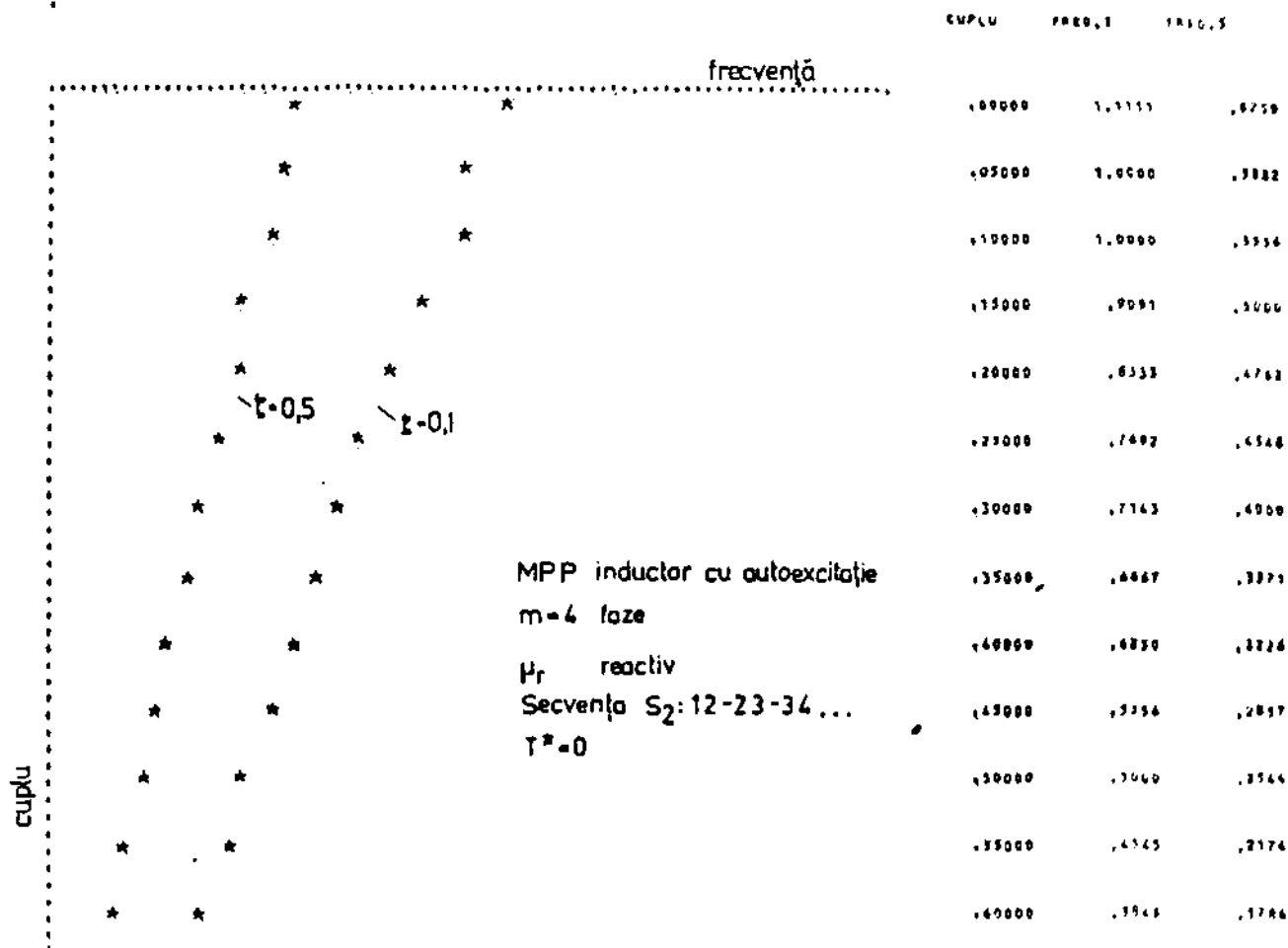


Fig.4.9. Caracteristici limită de pornire, μ_r reactiv.

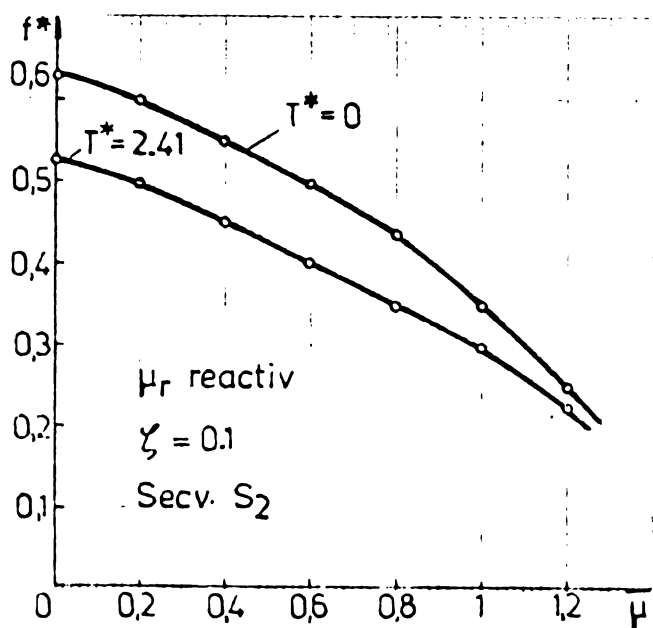


Fig.4.10. Caracteristici limită de pornire. Influența constantei de timp.

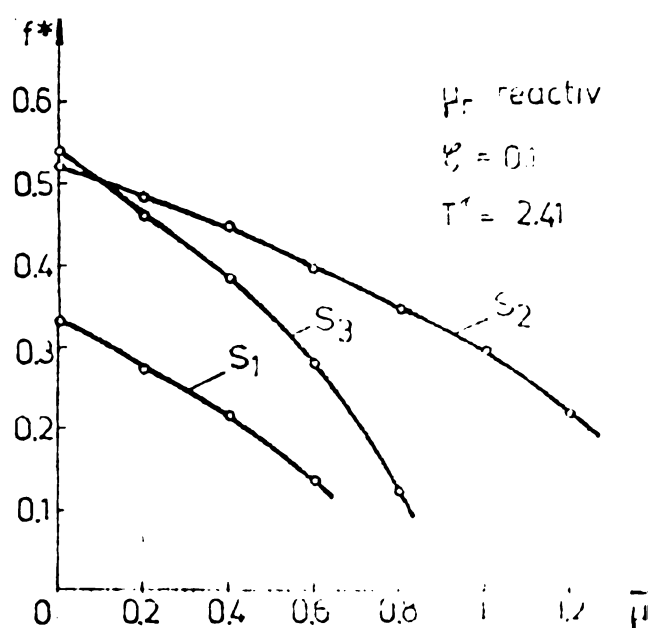


Fig.4.11. Caracteristici limită de pornire. Influența secvenței de alimentare.

Graficele au fost selecționate pentru a putea puncta concluziile mai importante asupra factorilor care influențează condițiile de pornire. Aceste concluzii sînt următoarele:

- Cu creșterea factorului de amortizare frecvența maximă de pornire scade (fig.4.9).
- Luarea în considerare a constantei de timp duce la reducerea frecvențelor maxime de pornire în proporție destul de însem-

nată (fig.4.10), în special la frecvențe mari.

- Alimentarea în secvența S_2 duce la o creștere a frecvenței maxime, în comparație cu secvența S_1 și mărește limita cuplului rezistent maxim (fig.4.11).

- Alimentarea în secvența nesimetrică S_3 permite frecvențe mari de pornire, explicabil dacă se are în vedere că pasul este înjumătățit. Limita cuplului maxim crește cu puțin față de cazul secvenței S_1 .

- Influența momentului de inerție al sarcinii asupra pornirii, deși nu apare din metoda de calcul a caracteristicilor, se poate obține modificând mărimea de bază T_b în funcție de valoarea schimbată a lui J , aceasta străgînd după sine obținerea altor valori ale frecvenței maxime, conform relației:

$$f' = \sqrt{\frac{J}{J'}} f \quad [\text{imp/s}] \quad (4.11)$$

unde f' este frecvența maximă corespunzătoare momentului de inerție J' . În figura 4.12 este reprezentată caracteristica limită în cazul pornirii cu un moment de inerție de 2 ori mai mare față de cel luat în considerare la restul caracteristicilor. Mărimile de bază sînt aceleași cu cele din tabelul 3.11.

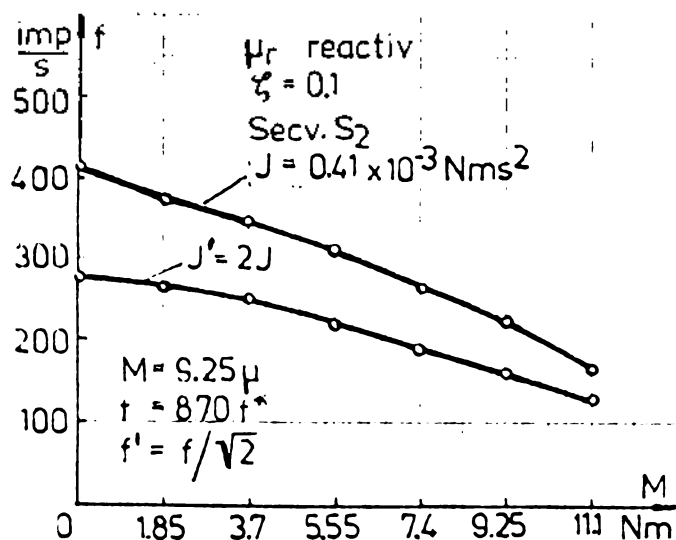


Fig.4.12. Influența momentului de inerție asupra pornirii.

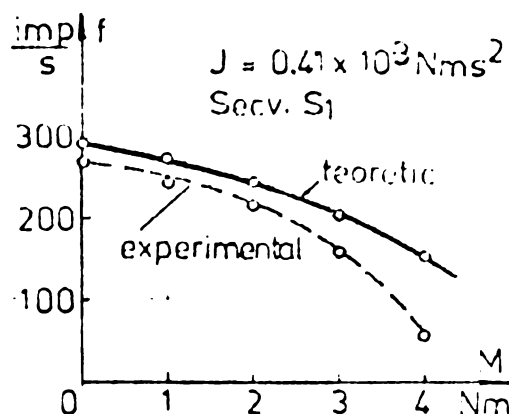


Fig.4.13. Comparație între caracteristica experimentală și cea calculată.

În figura 4.13 este dată o caracteristică calculată cu metoda planului fazelor în comparație cu caracteristica ridicată experimental pentru un MPP tip inductor cu autoexcitație avînd datele arătate la cap.3.3.4 [4,12,39]. Diferențe mai însemnate apar la frecvențe mai mici, în rest, apropierea între cele două caracteristici confirmă rezultatele calculate.

4.2.3. Stabilitatea în regimul de oprire

Stabilitatea SPMPP în CD la oprire înseamnă blocarea rotorului, după câteva oscilații amortizate, la poziția determinată de ultimul impuls de comandă al MPP. Condiția este ca oscilațiile din jurul poziției prescrise să nu depășească zona de stabilitate dinamică (definită la cap.4.1) corespunzătoare ultimei stări electrice stabile comandate.

Studiul condițiilor de oprire, care va fi făcut în continuare, se bazează tot pe metoda planului fazelor, folosind expresia generală a cuplului static sincronizant de forma (3.63).

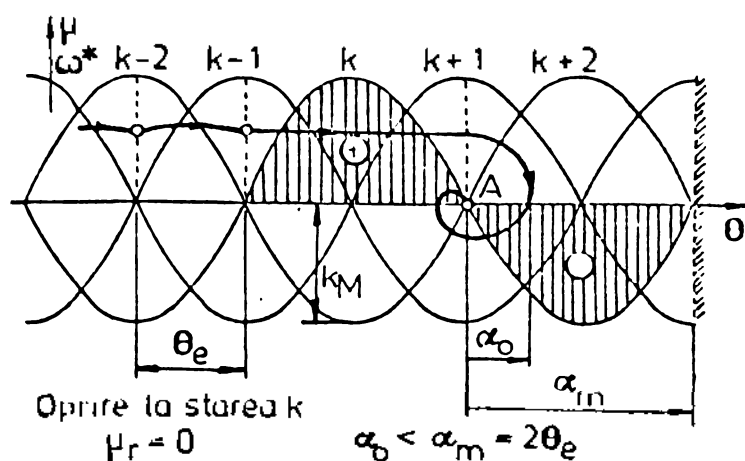


Fig.4.14. Oprirea MPP în gol.

În figura 4.14 este reprezentată oprirea pentru cazul mersului în gol ($\mu_r = 0$), la ultima stare electrică programată k . Oprirea la starea k succede funcționării MPP în regimul cvazi-staționar, corespunzător stărilor anterioare $k-1, k-2, \dots$. Rolul hotărîtor în procesul de oprire îl au cuplurile determinate de starea k . Dacă traiectoria de fază depășește poziția prestabilită A , asupra rotorului acționează un cuplu dinamic negativ și mișcarea este frînată. Traiectoria "este întoarsă" la stînga lui A astfel încît asupra rotorului acționează acum un cuplu dinamic pozitiv care va imprima din nou sensul pozitiv mișcării ș.a.m.d. pînă la fixarea rotorului în poziția stabilă A . Condiția de stabilitate se exprimă astfel:

$$\alpha_0 < \alpha_m = 2\theta_e \quad (4.12)$$

unde α_0 este amplitudinea oscilației maxime a rotorului în jurul poziției programate, iar α_m rezerva maximă de frînare, egală cu π . Deoarece aceasta nu depinde de numărul fazelor, rezultă condiția de stabilitate în cazul general:

$$\alpha_0 < \pi \quad (4.13)$$

Dacă pe arborele MPP este aplicat un cuplu rezistent reactiv, poziția corespunzătoare opririi se poate situa oriunde între punctele A și B (fig.4.15), cuplul dinamic de frînare scade, însă

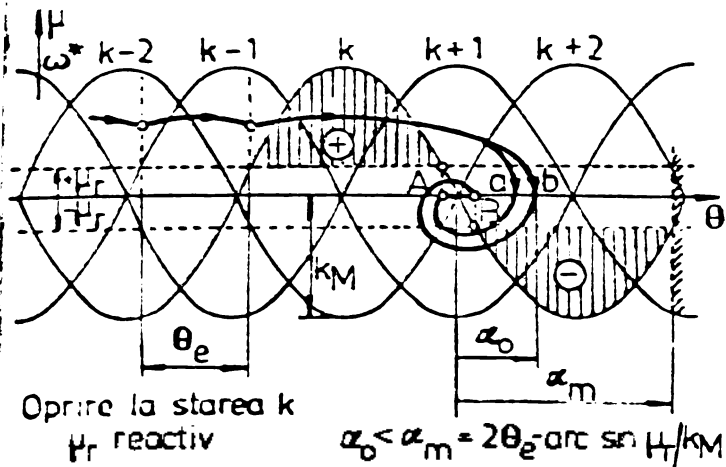


Fig.4.15. Oprirea MPP cu μ_r reactiv.

scade și cel de accelerare la stînga lui A. Condiția de stabilitate este:

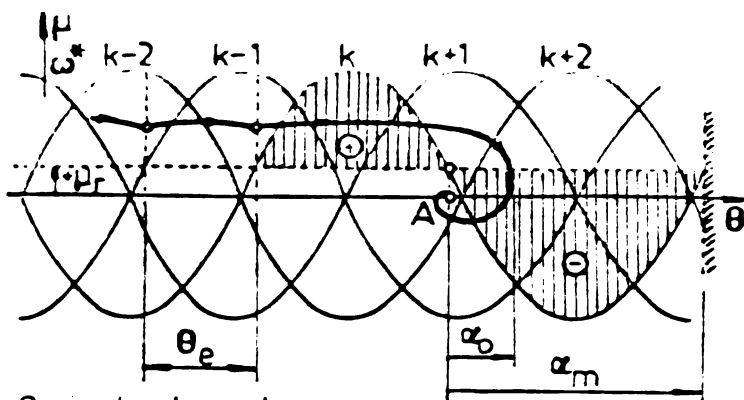
$$\alpha_0 < 2\theta_e - \arcsin \frac{\mu_r}{k_M} \quad (4.14)$$

În cazul cuplului rezistent potențial opozant (fig.4.16,a) oprirea este ușurată datorită cuplului dinamic de frînare mai mare, iar condiția de stabilitate este mai lejeră:

$$\alpha_0 < 2\theta_e + 2\arcsin \frac{\mu_r}{k_M} \quad (4.15)$$

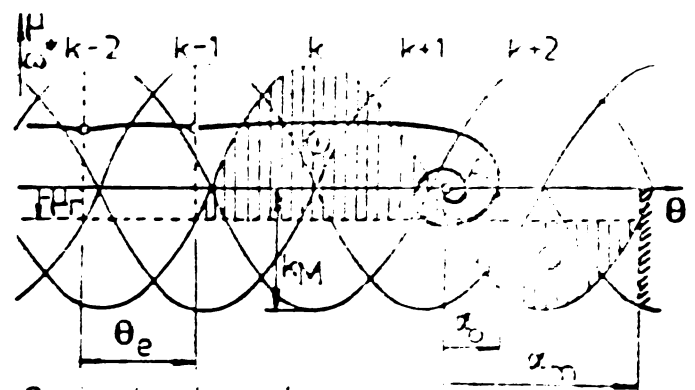
În cazul cuplului rezistent potențial ajutător (fig.4.16,b) oprirea este cea mai dificilă, datorită cuplului dinamic de frînare mic. Condiția de oprire este:

$$\alpha_0 < 2\theta_e - 2\arcsin \frac{\mu_r}{k_M} \quad (4.16)$$



$$\alpha_0 < \alpha_m = 2(\theta_e - \arcsin \mu_r/k_M)$$

a)



$$\alpha_0 < \alpha_m = 2(\theta_e + \arcsin \mu_r/k_M)$$

b)

Fig.4.16. Oprirea cu cuplu rezistent potențial: a-opozant; b-ajutător.

Inegalitățile care definesc stabilitatea la oprire sînt valabile pentru secvențele S_1 și S_2 . Dacă MPP este alimentat în secvența S_3 , condițiile de oprire se păstrează dacă în locul lui k_M se pune valoarea mai mică k'_M . În acest fel s-a luat situația cea mai defavorabilă: oprirea se face la starea electrică corespunzătoare unei singure faze alimentate.

Luarea în considerare a constantei de timp raportate T' afectează expresia cuplului (tabelul 4.1), înă, ca și în cazul pornirii, nu influențează condițiile de stabilitate.

4.2.4. Calculul caracteristicilor limită de oprire

Poziționarea la cota programată se efectuează în cazul SPMPP în CD prin blocarea impulsurilor de comandă a MPP. Caracteristicile limită de oprire, care vor fi calculate plecând de la condițiile de stabilitate arătate, determină în ce limite de frecvență și cuplu această proprietate deosebită a MPP poate fi exploatată [41]. Pentru calcul se recurge din nou la integrarea numerică a sistemului ecuațiilor de mișcare (4.8), în care cuplul are expresiile indicate în tabelul 4.1. Indicele k aferent ultimei stări electrice comandate a MPP trebuie aici particularizat. Luând ca origine a unghiului θ chiar originea cuplului corespunzător ultimei stări electrice (fig.4.14 - 4.16), rezultă $k=1$.

Condițiile inițiale pentru integrarea ecuațiilor mișcării se iau după cum urmează:

Viteza inițială raportată corespunde regimului de mers cvazistaționar, în care $\omega^* \cong \text{const}$. Ea este legată de frecvența raportată prin relațiile

$$\omega_i^* = \omega^* = 2\pi \cdot n_r^* = 2\pi \frac{f^*}{m} = \theta_e \cdot f^* = \theta_e \frac{1}{T_c} \quad (4.17)$$

unde n_r^* este mărimea raportată a numărului de rotații electrice pe secundă.

Unghiul inițial depinde de caracterul cuplului rezistent și de tipul secvenței de alimentare și poate fi scos din figurile 4.14 - 4.16. Aici s-a luat cazul cel mai defavorabil, când poziția inițială este cea mai depărtată de punctul final al traiectoriei de fază (tabelul 4.5).

Tabelul 4.5

Tipul μ_r	Unghiul inițial θ_i		
	S_1	S_2	S_3
mers în gol	$-2\theta_e$	$-2\theta_e + \frac{\pi}{4}$	$-2\theta'_e$
reactiv și potențial opozant	$-2\theta_e + \arcsin \frac{\mu_r}{k_M}$	$-2\theta_e + \frac{\pi}{4} + \arcsin \frac{\mu_r}{k_M}$	$-2\theta'_e + \arcsin \frac{\mu_r}{k'_M}$
potențial ajutător	$-2\theta_e - \arcsin \frac{\mu_r}{k_M}$	$-2\theta_e + \frac{\pi}{4} - \arcsin \frac{\mu_r}{k_M}$	$-2\theta'_e - \arcsin \frac{\mu_r}{k'_M}$

Organigrama pentru calculul caracteristicilor limită de oprire este reprezentată în figura 4.17 și a fost denumită CASTOP.

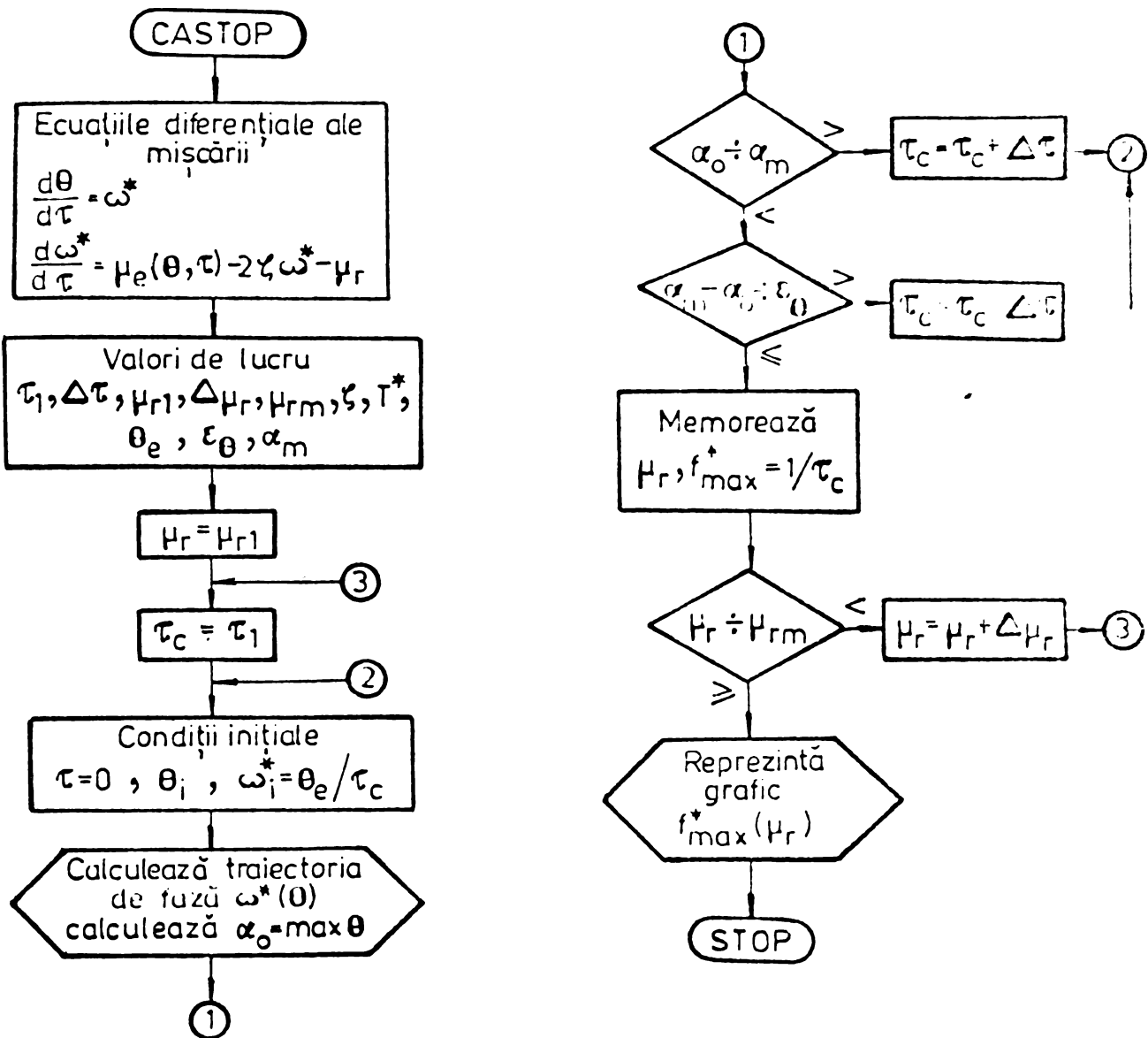


Fig.4.17. Organigrama de calcul a caracteristicilor limită de oprire.

Față de notațiile cunoscute, au mai intervenit:

- α_m - limita de stabilitate la oprire (relațiile 4.11-4.15);
- ϵ_θ - eroarea admisă la calculul unui punct al caracteristicii limită.

În figura 4.18 sînt arătate caracteristicile limită de oprire obținute pe calculator. Influența constantei de timp T^* la oprire este relevantă în graficul din figura 4.19, iar în figura 4.20 este prezentată o comparație între cele trei metode de alimentare. Similar metodei expuse la pornire, în figura 4.21 este redat efectul măririi momentului de inerție.

Concluziile care se pot desprinde din examinarea rezultatelor obținute pe calculator sînt următoarele:

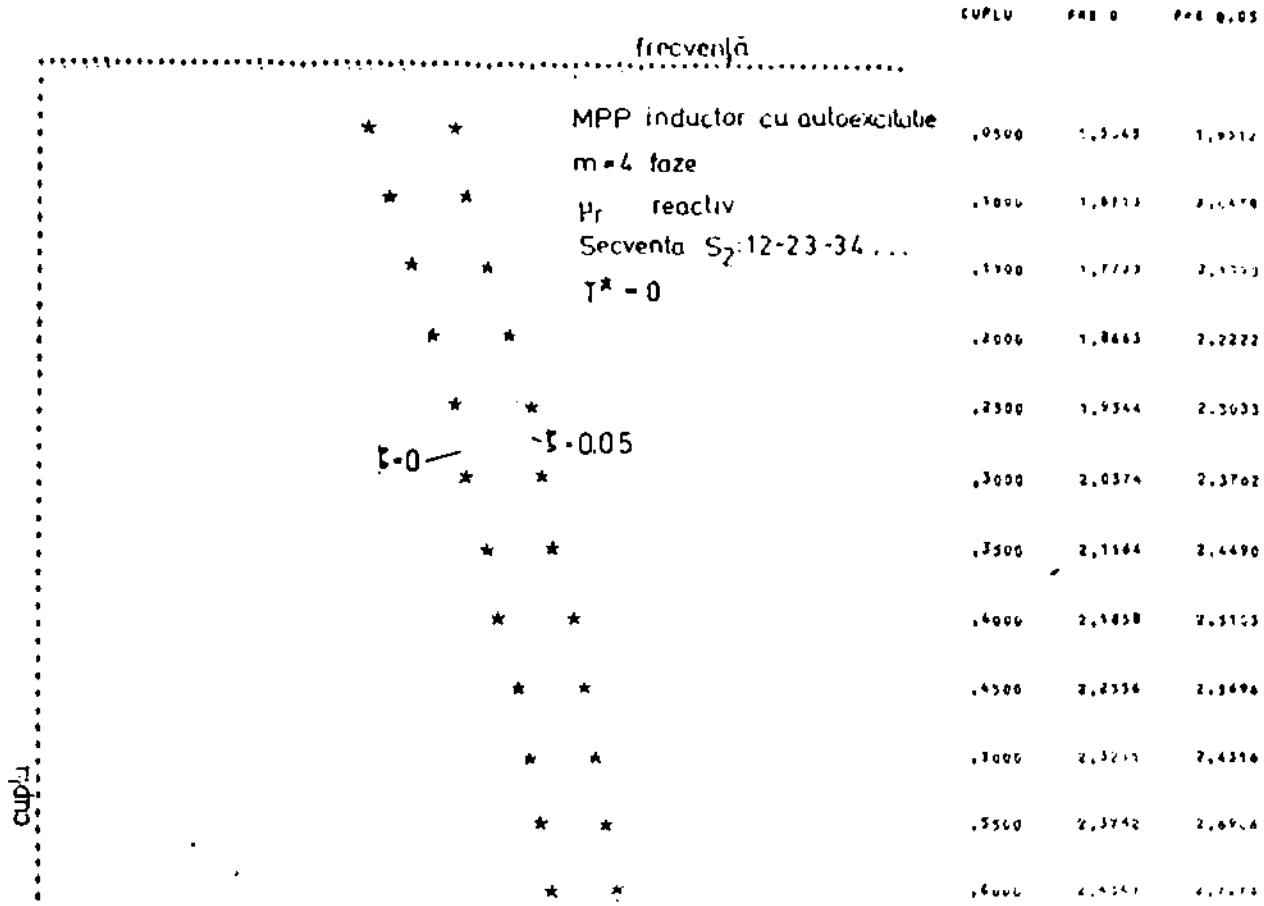


Fig.4.18. Caracteristici limită de oprire, μ_r reactiv

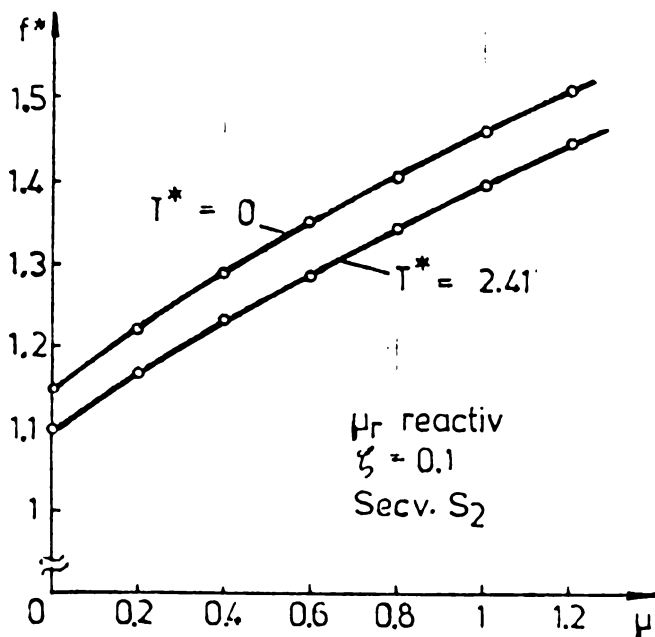


Fig.4.19. Caracteristici limită de oprire. Influența constantei de timp.

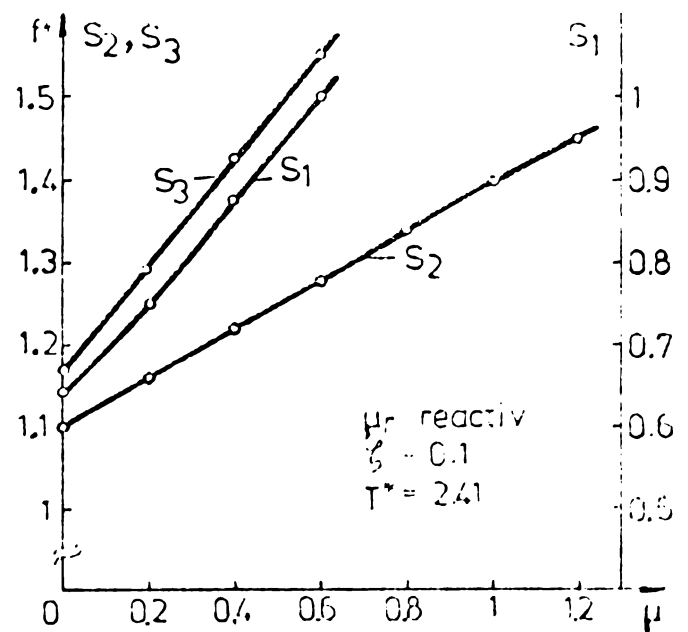


Fig.4.20. Caracteristici limită de oprire. Influența secvenței de alimentare.

- In cazul cuplului rezistent reactiv (și potențial opozant) creșterea lui μ_r și ζ au efect favorabil asupra opririi (fig.4.18). Acest rezultat justifică, în multe aplicații ale poziționării punct cu punct, comanda opririi la cota programată prin suprimarea impulsurilor, fără necesitatea decelerării motorului.

- Influența constantei de timp T^* asupra opririi este mult mai redusă ca în cazul pornirii (fig.4.19).

- Secvențele S_1 și S_3 conduc, după cum s-a mai arătat, la aceleași rezultate la oprire. Frecvențele maxime pentru S_3 sînt cam de două ori mai mari ca pentru S_1 , din cauza înjumătățirii pasului. Secvența S_2 permite cupluri maxime mai mari (fig.4.20).

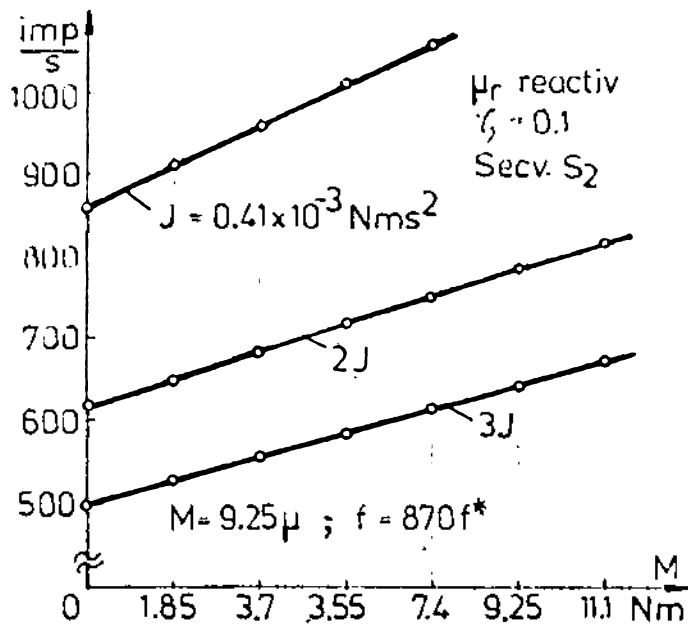


Fig.4.21. Influența momentului de inerție asupra opririi.

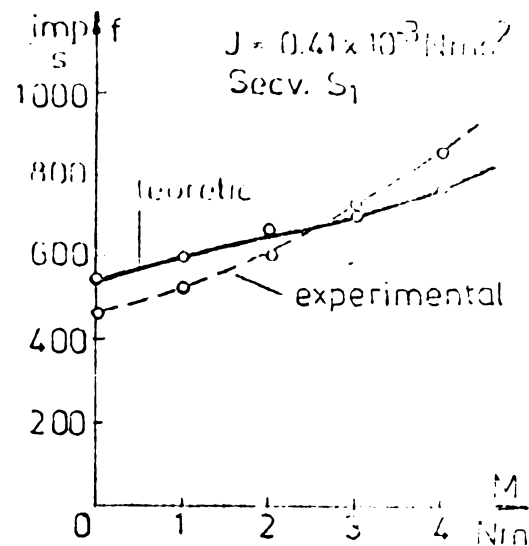


Fig.4.22. Comparație între caracteristica experimentală și cea calculată.

- Mărirea momentului de inerție este și la oprire defavorabil, afectînd frecvența maximă de oprire. Caracteristicile din figura 4.21 s-au obținut prin recalcularea datelor, conform relației 4.11, cu valorile $J' = 2J$ și $J'' = 3J$.

În figura 4.22 este reprezentată o caracteristică calculată și una ridicată experimental pentru același MPP luat și la pornire. Rezultatele obținute sînt satisfăcătoare.

4.2.5. Stabilitatea în regimul de reversare

Regimul de reversare se referă la inversarea mișcării rotorului la o frecvență dată, prin comanda de sens a MPP, fără modificarea comenzii de tact. Reversarea este mai grea decît oprirea deoarece, pe lîngă condiția de oprire, se mai cere respectată și condiția de pornire în sens invers.

În figura 4.23 este reprezentată reversarea la starea electrică k , după un regim cvazistaționar la mers în gol [41].

Sub acțiunea cuplului dinamic de frînare corespunzător stării electrice k , traiectoria de fază este întoarsă pînă în punctul 1, care trebuie să se situeze obligatoriu la stînga punctului B. Numai în acest fel cuplul dinamic, de astă dată pozitiv, crează

prin revenirea la starea electrică anterioară $k-1$, va antrena rotorul în sens invers. Unghiul α_1 efectuat în starea electrică $k-1$ trebuie să aibă cel puțin valoarea θ_e , pentru ca rotorul să poată fi antrenat în continuare în starea electrică $k-2$. Condițiile de stabilitate reunesc astfel pe cea de oprire cu cele de pornire în sens invers:

$$\alpha_0 < 2\theta_e, \quad \alpha_r > \theta_e, \quad \alpha_1 \geq \theta_e \quad (4.18)$$

unde α_0 este amplitudinea oscilației maxime a poziției rotorului față de punctul de reversare A (originea cuplului stării electrice k), α_r este unghiul de întoarcere față de limita de stabilitate, iar α_1 este unghiul efectuat în prima stare electrică în inversare.

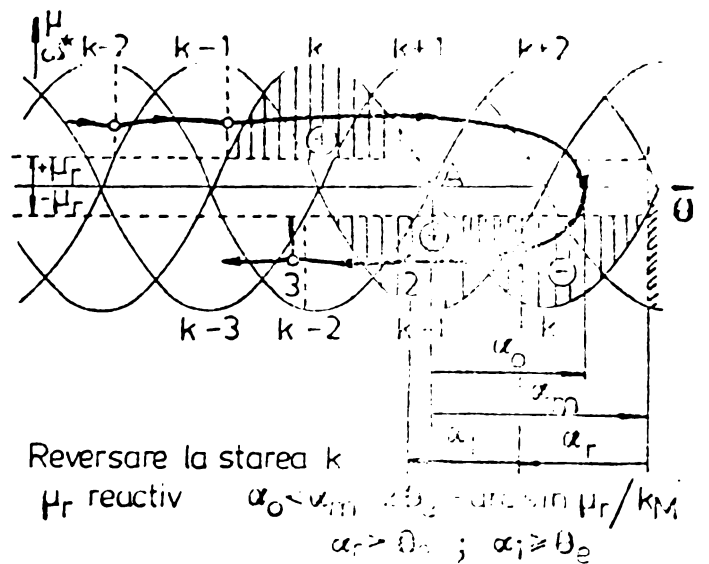
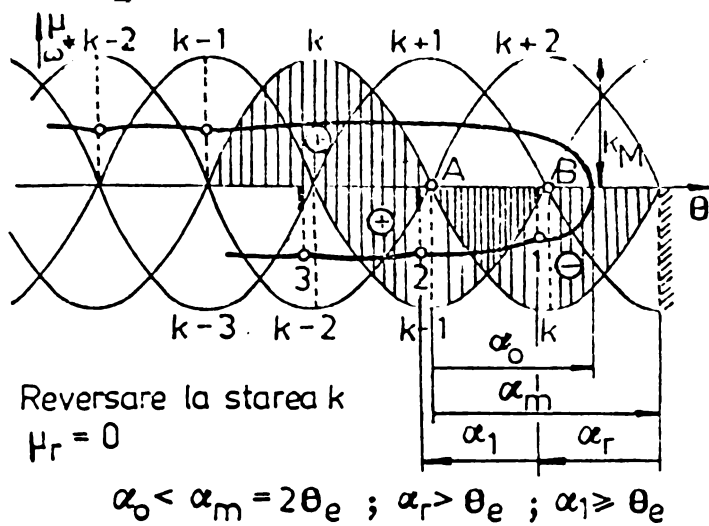


Fig.4.23. Revresarea la mers în gol. Fig.4.24. Revresarea cu μ_r reactiv.

În cazul cuplului rezistent reactiv procesul reverberării este afectat de valoarea acestuia (fig.4.24).

În cazul cuplului rezistent potențial opozant (fig.4.25,a) după reversare, cuplul rezistent devine ajutător astfel încât ușurează reversarea. Situația se prezintă exact invers în cazul cuplului potențial ajutător (fig.4.25,b), reversarea fiind cea mai dificilă.

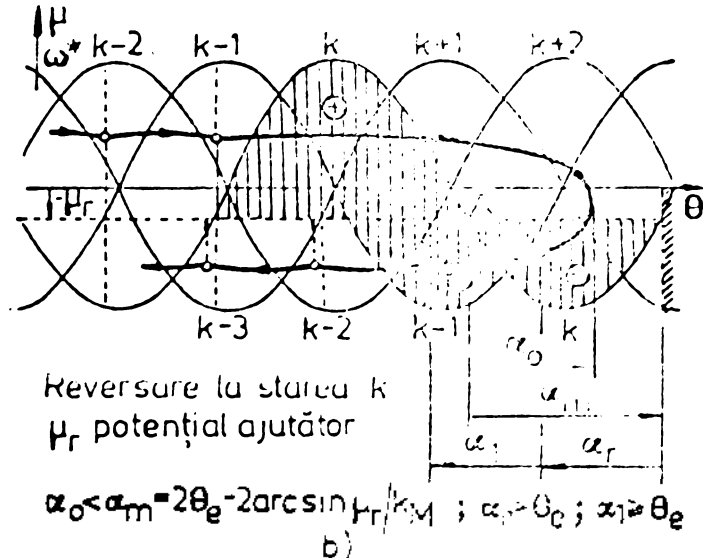
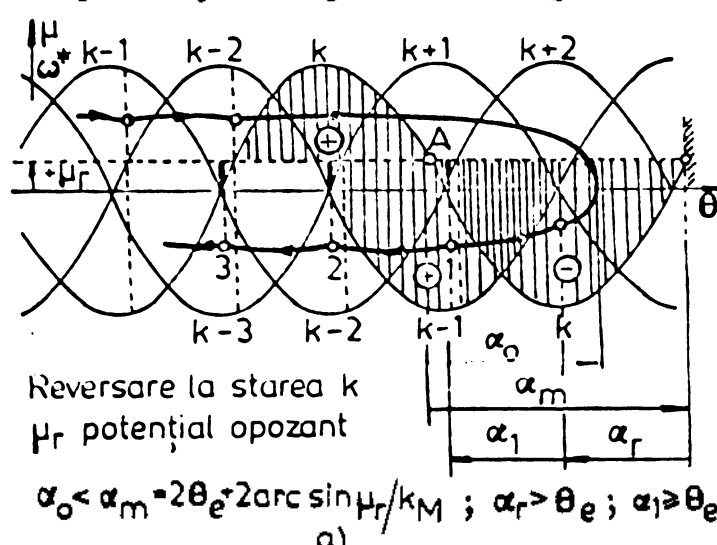


Fig.4.25. Revresarea la μ_r potențial; a-opozant; b-ajutător.

Condițiile de stabilitate la reversare se pot scoate din figurile 4.23-4.25 și sînt de forma:

$$\alpha_0 < \alpha_m, \quad \alpha_r > \theta_e, \quad \alpha_1 \geq \theta_e \quad (4.19)$$

în care α_m depinde de cuplul rezistent și se poate deduce din figurile 4.23-4.25. Aceste condiții sînt valabile pentru secvențele S_1 și S_2 , pentru care, în tabelul 4.6, se dau valorile lui α_m .

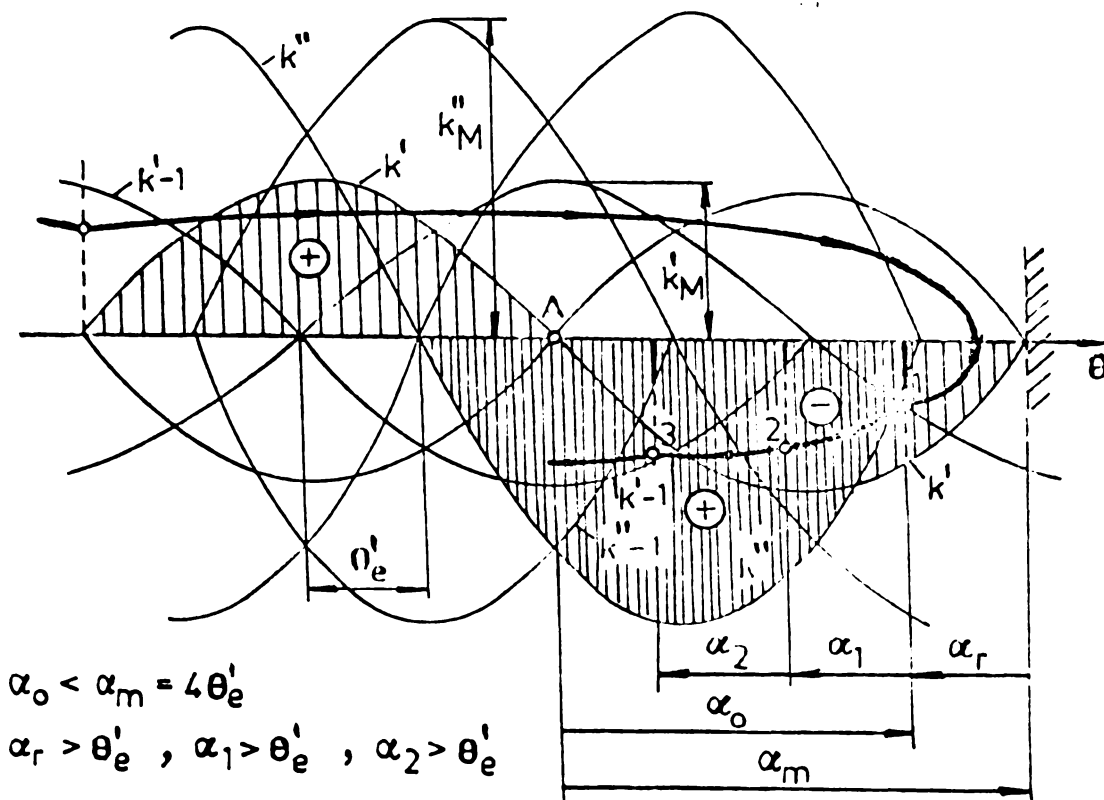
Tabelul 4.6

Tip μ_r	α_m
mers în gol	$2\theta_e$
reactiv	$2\theta_e - \arcsin \frac{\mu_r}{k_M}$
potențial opozant	$2\theta_e + 2\arcsin \frac{\mu_r}{k_M}$
potențial ajutător	$2\theta_e - 2\arcsin \frac{\mu_r}{k_M}$

În cazul secvenței nesimetrice S_3 , ca și la oprire, se ia în considerare cazul cel mai defavorabil: reversarea se face la o stare electrică corespunzătoare unei singure faze alimentate. În figura 4.26 este reprezentată reversarea la starea electrică k' , la mersul în gol.

Condițiile de stabilitate sînt similare celor din secvențele S_1 și S_2 :

$$\alpha_0 < \alpha_m = 4\theta'_e, \quad \alpha_r > \theta'_e, \quad \alpha_1 > \theta'_e, \quad \alpha_2 \geq \theta'_e \quad (4.20)$$



$$\alpha_0 < \alpha_m = 4\theta'_e$$

$$\alpha_r > \theta'_e, \quad \alpha_1 > \theta'_e, \quad \alpha_2 > \theta'_e$$

în care $\theta'_e = \frac{\theta_e}{2}$ iar α_1, α_2 unghiurile realizate la primele două tacturi după inversarea mișcării. Prezența unui cuplu rezistent pe arborile MPP sancționează prima inegalitate din (4.19), în care α_m are valorile din tabelul 4.6, dacă în loc de θ_e apare θ'_e , iar k_r are valoarea mai mică, k'_r .

Fig.4.26. Reversarea în secvența nesimetrică S_3 .

4.2.6. Calculul caracteristicilor limită de reversare

Metoda de calcul este similară, luând pentru $k(k')$ o valoare particulară dictată de originea curbei cuplului stării electrice la care se face reversarea. Ca și la oprire, se ia $k=1$.

Organigrama pentru calculul caracteristicilor este arătată în figura 4.27 și este denumită CAREV.

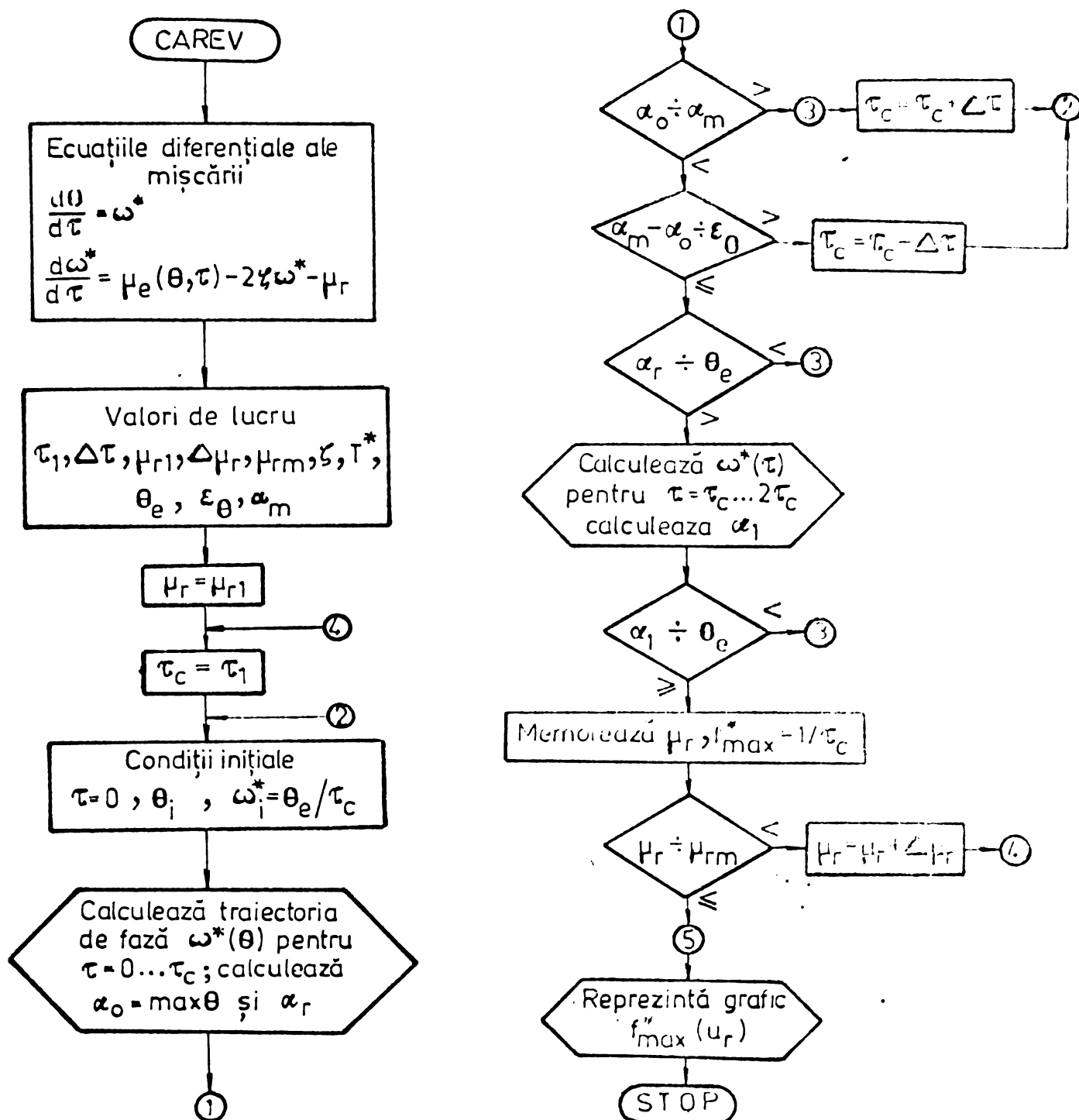


Fig.4.27. Organigrama de calcul a caracteristicilor limită de reversare.

Pentru convența S_3 organigrama este similară, fiind necesară chemarea subrutinei de calcul a traiectoriei de fază pentru $\tau = 2\tau_c \dots 3\tau_c$ și compararea lui α_2 . Condițiile inițiale sînt identice cazului opririi (tabelul 4.5).

Dintre rezultatele obținute pe calculator, în figura 4.28 este arătată o caracteristică limită pentru μ_r reactiv, direct în mărimi naturale (mărimile de bază sînt cele din tabelul 3.11).

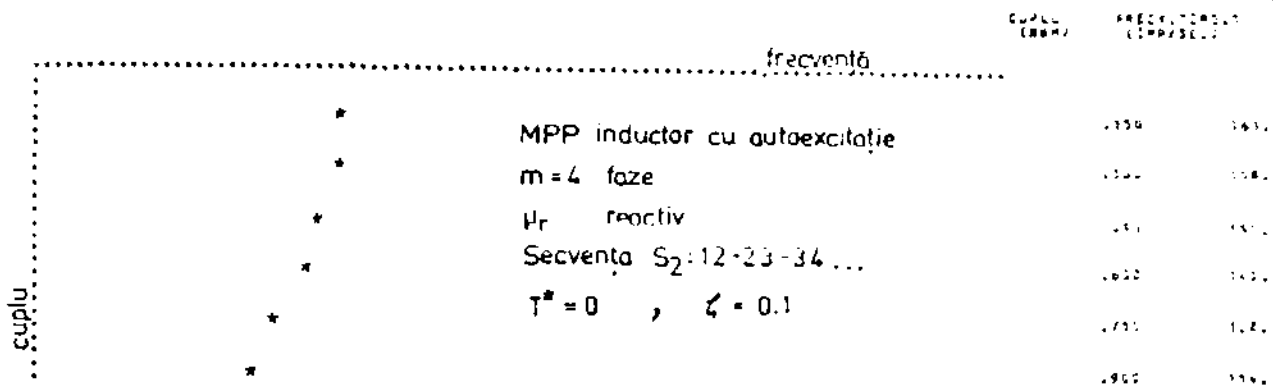


Fig.4.28. Caracteristica limită de reversare, μ_r reactiv.

Frecvențele maxime sînt mai mici și decît în cazul pornirii, confirmînd astfel că reversarea este cel mai greu regim al SAMPP. Performanțe ceva mai bune se obțin la cupluri potențiale opozante (fig.4.29), cînd, la creșterea cuplului rezistent, crește și frecvența maximă de reversare, ceea ce era de așteptat.

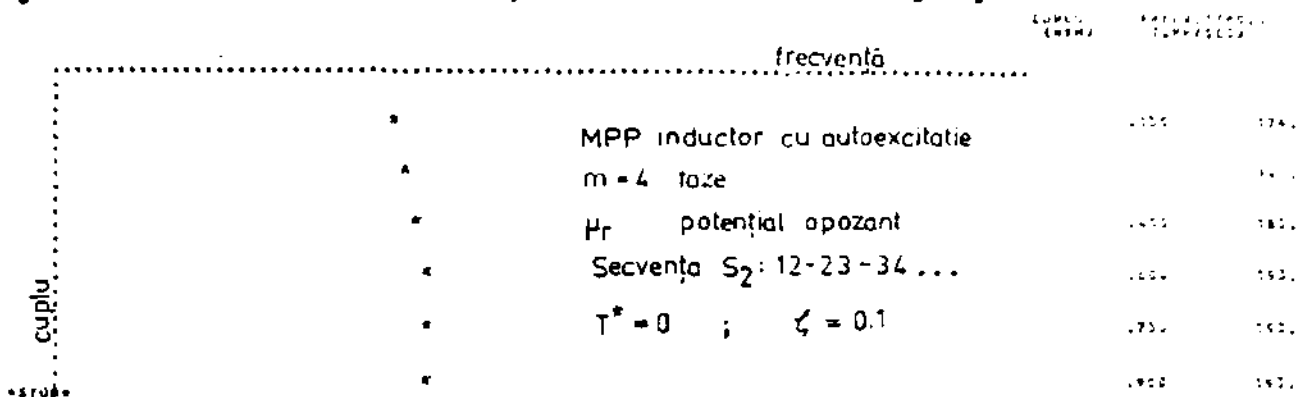


Fig.4.29. Caracteristica limită de reversare, μ_r potențial opozant.

O comparație între caracteristicile de reversare corespunzătoare celor trei secvențe se poate face analizînd figura 4.30.

Concluziile generale în legătură cu stabilitatea la reversare a SAMPP sînt următoarele:

- Frecvențele maxime sînt mai mici decît la pornire, datorită în special condițiilor severe de pornire în sens invers.
- Influențele constantei de timp, a factorului de amortizare și a secvenței de alimentare sînt în general similare pornirii.
- Caracterul cuplului rezistent potențial are efect contrar față de cazul pornirii, deoarece, pentru sensul invers de mișcare, cuplul opozant devine ajutător și invers.

- Influența momentului de inerție se poate găsi prin recalcularea punctelor caracteristicilor limită obținute cu altă valoare a lui J, cu relația 4.11. Evident că mărirea lui J este defavorabilă reversării.

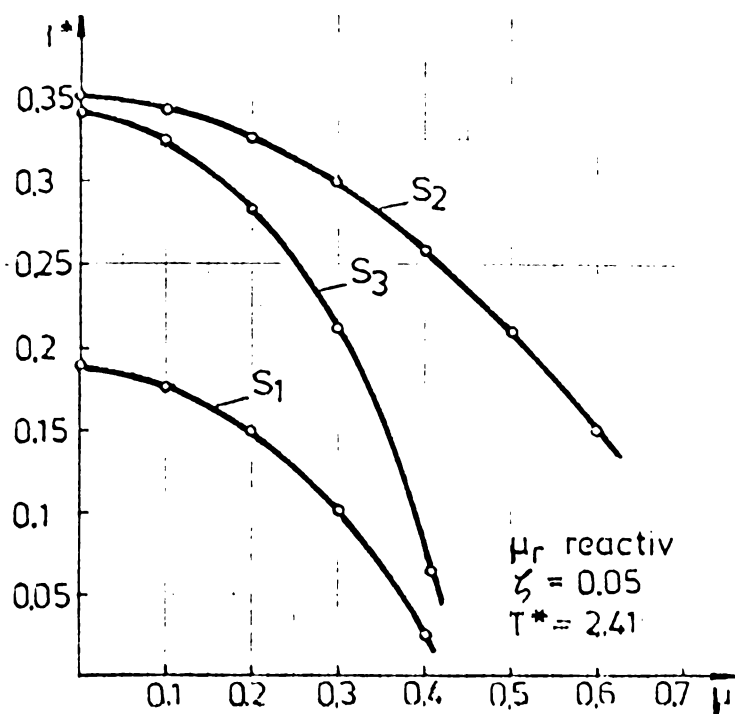


Fig.4.30. Caracteristici de reversare în secvențele S_1 , S_2 , S_3 .

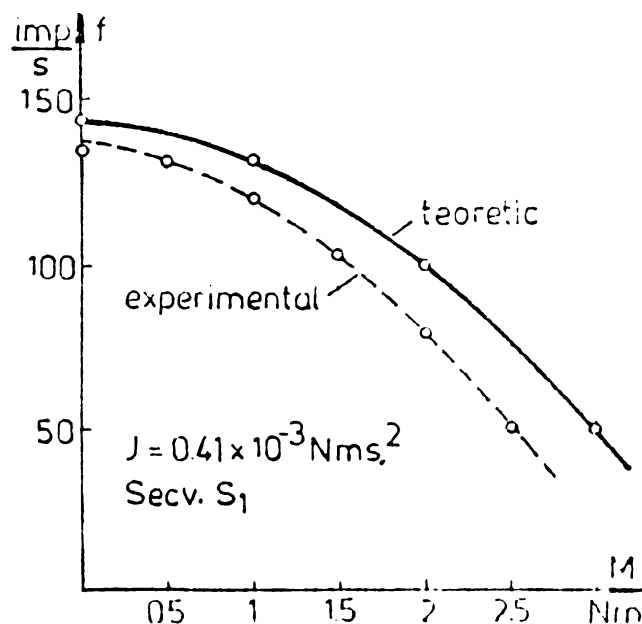


Fig.4.31. Comparație între caracteristica experimentală și cea calculată.

În figura 4.31 sînt date, spre comparație, o caracteristică experimentală și una calculată. Și în acest caz rezultatele calculate sînt suficient verificate experimental.

4.3. Regimul cvazistacionar al SAMPP

Regimul de funcționare cvazistacionar (sau de mers) se caracterizează prin aceea că viteza unghiulară a rotorului are aceeași valoare instantanee la începutul și sfîrșitul unui pas (delimitat de momentele aplicării a două impulsuri succesive). De asemenea deplasarea unghiulară a rotorului, la cuplu rezistent constant, este constantă la fiecare impuls [16]. Acest mod de funcționare, practic continuu, se întîlnește la frecvențe mari, fiind asemănător rotației mașinii sincrone.

La frecvențe de comandă intermediare definiția regimului cvazistacionar nu mai corespunde cu cea de la frecvențe înalte, deoarece mișcarea rotorului este puternic discontinuă, iar vitezele rotorului în momentele aplicării impulsurilor de comandă pot diferi.

La frecvențe de comandă foarte joase definiția mișcării cvazistacionare seamănă cu aceea de la frecvențe înalte, exceptînd caracterul discontinuu al creșterii unghiului.

Explicația definirii regimului cvazistacionar este sugerată în figura 4.32, unde se arată variația unghiului electric θ în timp (raportat) τ .

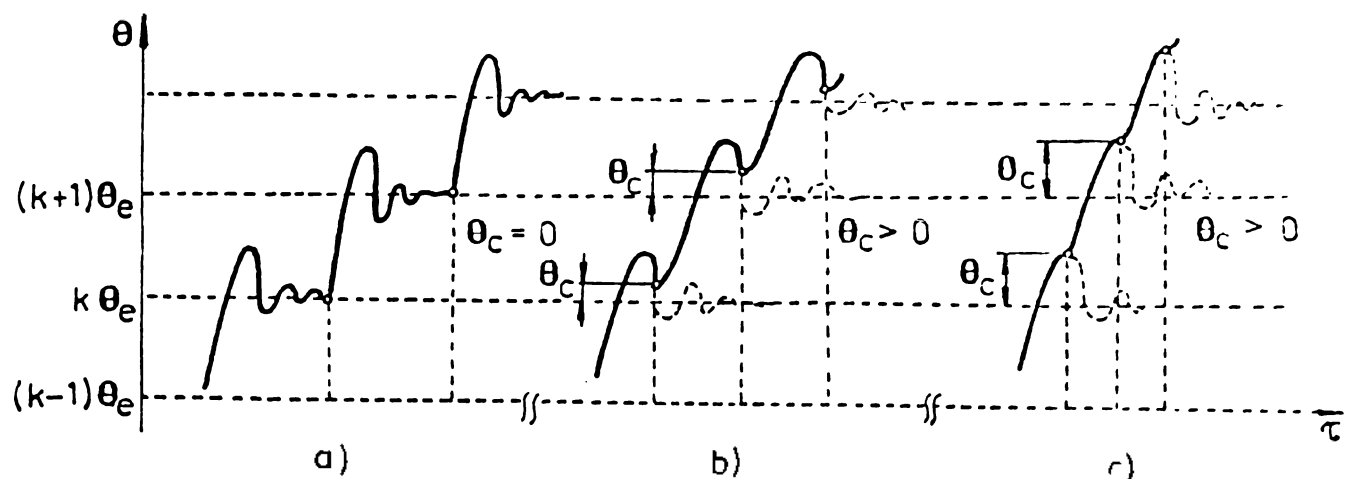


Fig.4.32. Definierea regimului cvazistacionar:
a-frecvențe joase; b-frecvențe medii;
c-frecvențe înalte.

La frecvențe foarte mici rotorul are timp să se amortizeze între două tacturi de comandă, astfel că viteza lui este nulă în momentele aplicării tacturilor (fig.4.32,a), iar pozițiile rotorului în aceste momente coincid cu punctele de echilibru stabil de pe curba cuplului $\mu_e(\theta)$.

La frecvențe medii momentele de comutație intervin când rotorul încă mai oscilează în jurul poziției stabile, fiind "prins" de tactul de comandă într-o poziție oarecare, diferită de cea a echilibrului stabil (fig.4.32,b).

La frecvențe înalte rotorul nu mai are timp să efectueze nici o oscilație, fiind atras imediat de starea electrică următoare. Mișcarea capătă un caracter lin, fără oscilații (fig.4.32,c), iar momentele de comutație intervin la diferite poziții ale rotorului.

Se propune introducerea noțiunii de unghi de comutație pentru funcționarea MPP în circuit deschis, noțiune consacrată în cazul funcționării în circuit închis cu buclă minoră [56,39]. Unghiul de comutație reprezintă aici decalajul între poziția reală a rotorului în momentul aplicării tactului de comandă și poziția corespunzătoare echilibrului stabil aferentă stării electrice existente pînă în acel moment. Dacă comutația se face de la starea $k-1$ la starea k , unghiul de comutație este decalajul poziției rotorului în momentul comutației față de poziția $(k-1)\theta_c$.

În figura 4.33 se dau în planul fazelor unghiurile de comutație θ_c corespunzătoare regimurilor reprezentate în figura 4.32.

Se observă că la frecvențe joase (fig.4.33,a) unghiul de comutație este nul, iar la frecvențe medii (fig.4.33,b) și înalte (fig.4.33,c) el apare diferit de zero, pozitiv. Se spune că în acest caz comutația se face cu întârziere, după cum pentru $\theta_c < 0$ comutația se face cu avans.

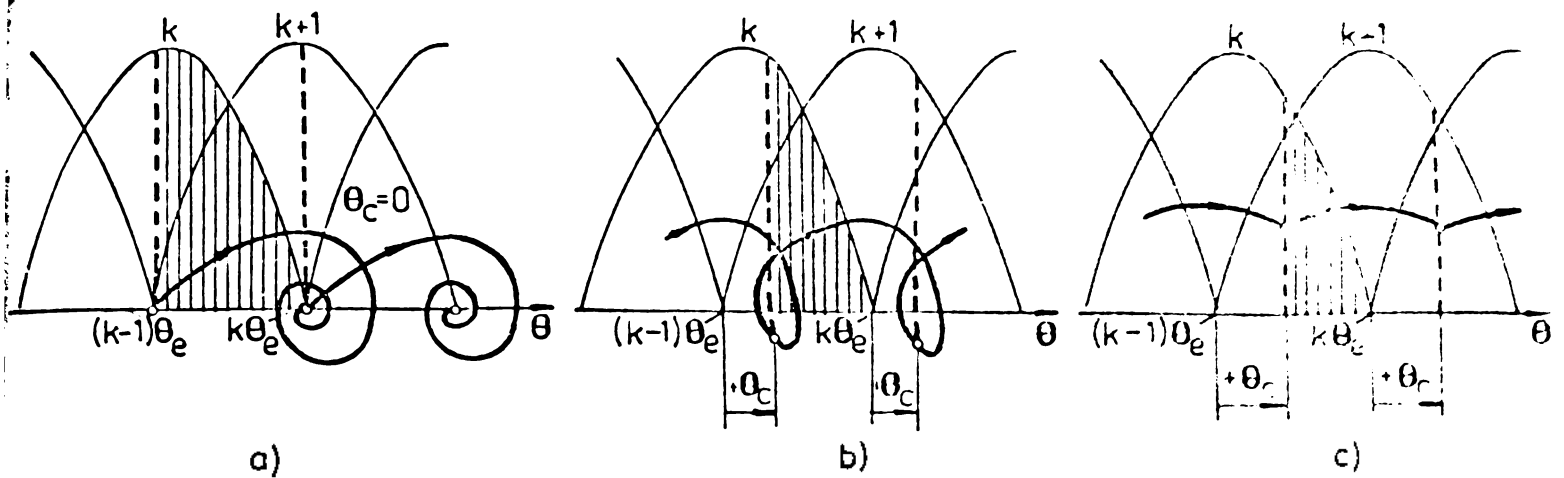


Fig.4.33. Unghiul de comutație în planul fazelor:
 a-frecvențe joase; b-frecvențe medii;
 c-frecvențe înalte.

Din punct de vedere analitic, unghiul de comutație este:

$$\theta_c = \theta(\tau_k) - (k-1)\theta_e \quad (4.21)$$

unde τ_k este timpul scurs pînă la momentul comutării stării electrice k . Spre deosebire de cazul MPP în buclă minoră, unde unghiul θ_c este fix (sau reglabil), în cazul funcționării în circuit deschis el variază în funcție de parametrii acționării: cuplul rezistent, frecvența de comandă, constanta de timp etc. Problema cea mai importantă în studiul regimului de mers în circuit deschis al SAMPP este de a determina acest unghi de comutație, cu implicații directe asupra calculului frecvențelor limită de mers. Capitolul de față ne va ocupa tocmai cu acest subiect, dînd și o nouă interpretare a funcționării SAMPP în circuit deschis.

4.3.1. Stabilitatea în regim cvazistationar

Pentru regimul cvazistationar mișcarea rotorului este stabilă cînd unghiul de comutație este constant, sau variabil între anumite limite.

La frecvențe de comandă joase, după cum s-a arătat la metoda planului fazelor cu ajutorul izoclinelor, traiectoriile de fază fiind focare stabile, mișcarea rotorului este considerată absolut stabilă.

La frecvențe intermediare, perioada semnalului de comandă a MPP devine comparabilă cu perioada oscilațiilor proprii ale rotorului, putînd apărea fenomenul de rezonanță de comutație și pierderea sincronismului. Stabilitatea în acest caz este definită prin limitarea amplitudinii oscilațiilor în domeniul $\theta_d \in [-(\frac{m}{2} - 1)\theta_e, (\frac{m}{2} + 1)\theta_e]$, similar cu definiția stabilității dinamice din regimul staționar.

Existența rezonanței de comutație este un handicap serios al SPMPP în CD, pentru a cărui compensare se folosesc o serie de mijloace, care vizează în principal amortizarea mai puternică a oscilațiilor. Dintre aceste mijloace se pot aminti:

- funcționarea MPP în sarcină constantă;
- mărirea factorului de amortizare prin metode electrice, electronice sau mecanice [55,61,62,85];
- evitarea funcționării MPP la frecvențele critice (de obicei determinate experimental) sau trecerea rapidă prin aceste frecvențe la accelerare sau decelerare;

Studiul mișcării SAMPP în planul fazelor a arătat un fapt, verificat de altfel și experimental [99,100], că cea mai comodă metodă de amortizare a oscilațiilor rămâne existența unui cuplu rezistent apreciabil pe arborele MPP.

Trebuie menționat că literatura se ocupă destul de puțin de regimul de mers al MPP în circuit deschis, confundându-l adesea cu mișcarea motorului sincron [8,37,57,89]. Mai mult, nici nu se ia în considerare că ar exista vreo legătură între poziția instanței a rotorului și momentele aplicării impulsurilor de comandă a MPP. Autorul lucrării intenționează să arate în continuare că în funcționarea stabilă în circuit deschis poziția rotorului este ordonată în raport cu momentele de comutație tocmai prin unghiul de comutație, parametru elastic al SPMPP în CD, dependent de principalii factori ai acționării și "autoreglat" prin legea echilibrului energetic la arborele MPP.

Se propune determinarea unghiului de comutație al MPP în circuit deschis, parametru definitoriu al stabilității în regimul cvazistaționar [44]. În acest scop se reia o interpretare energetică a funcționării MPP [16,37], care va fi supusă unei analize mai amănunțite.

Se pleacă de la ecuația de mișcare în mărimi raportate:

$$\frac{d^2\theta}{d\tau^2} = P_e - P_r - 2\zeta \frac{d\theta}{d\tau} \quad (4.22)$$

după care, introducând viteza unghiulară raportată $\omega^* = d\theta/d\tau$ și neglijind pentru moment factorul de amortizare ζ , ecuația devine

$$\omega^* \frac{d\omega^*}{d\theta} = P_e - P_r \quad (4.23)$$

Ea se mai scrie sub forma:

$$\omega^* \frac{d\omega^*}{d\theta} + \frac{dE}{d\theta} = 0 \quad (4.24)$$

în care E are semnificația de energie potențială a rotorului. Prin integrare rezultă ecuația echilibrului energetic:

$$\frac{\omega^{*2}}{2} + E(\theta) = h \quad (4.25)$$

unde h este constanta energiei, iar $\omega^{*2}/2 = E_c$ este energia cinetică a rotorului. Energia potențială a rotorului este:

$$E(\theta) = \int_0^\theta (-\mu_e + \mu_r) d\theta, \quad (4.26)$$

care are două componente:

$$E_d(\theta) = \int_0^\theta (-\mu_e) d\theta - \text{energia dezvoltată} \quad (4.27)$$

$$E_r(\theta) = \mu_r \cdot \theta - \text{energia utilă.}$$

Cu ecuațiile (4.25) și (4.26), ecuația echilibrului energetic devine:

$$E_c + E_d + E_r = h \quad (4.28)$$

Pentru a aplica această ecuație la studierea mișcării MPP se consideră forma generală a cuplului (3.63), adică, pentru moment, se neglijează și constanta electrică de timp. Cu ajutorul definiției (4.27), ecuația (4.28) devine:

$$\frac{\omega^{*2}}{2} + k_M(1 - \cos\theta) + \mu_r\theta = h \quad (4.29)$$

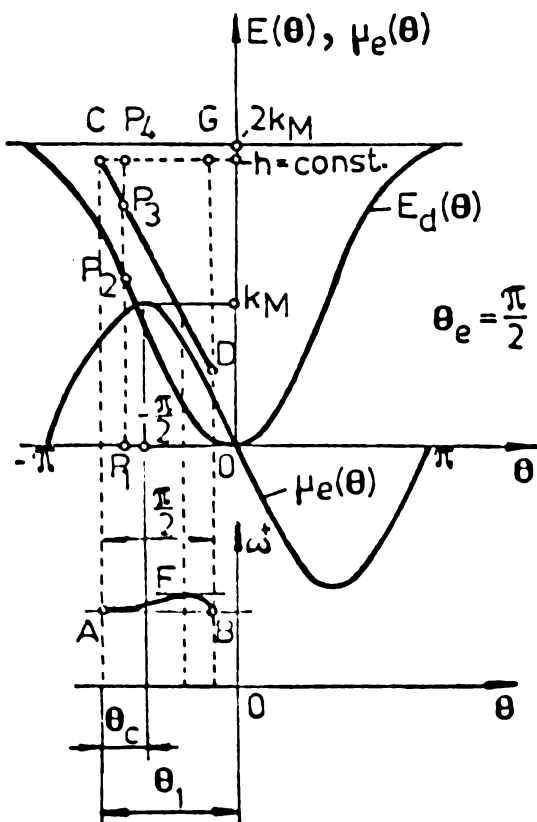


Fig.4.34. Echilibrul energetic și unghiul de comutație.

În figura 4.34 este arătată interpretarea grafică a ecuației echilibrului energetic. Dacă θ_1 este poziția rotorului în momentul comutării stării electrice corespunzătoare lui $\mu_e(\theta)$, pentru o poziție arbitrară $\theta_1 \leq \theta \leq \theta_1 + \pi/2$, segmentele marcate de punctele P_1, P_2, P_3, P_4 indică:

$$P_1P_2 = k_M(1 - \cos\theta) - \text{energia dezvoltată,}$$

$$P_2P_3 = \frac{\omega^{*2}}{2} - \text{energia cinetică,}$$

$$P_3P_4 = \mu_r \cdot \theta - \text{energia utilă.}$$

Este evident că dacă $\mu_r = \text{const.}$, energia utilă va fi delimitată de distanța pe verticală între segmentele CD și

CG, iar valoarea lui μ_r este chiar panta segmentului CD în planul E, θ .

În regimul de mers al SAMPP viteza unghiulară medie este constantă, prin urmare energia cinetică este constantă la începutul și sfârșitul efectuării pasului, adică:

$$E_c(\theta_1) = E_c(\theta_1 + \theta_e) \quad (4.30)$$

Între θ_1 și $\theta_1 + \theta_e$ viteza ω^* variază puțin, atingând maximum F într-o poziție determinată de distanța maximă pe verticală între segmentul CD și curba $E_d(\theta)$, distanță care reprezintă energia cinetică.

Unghiul de comutație θ_c se măsoară față de poziția de echilibru a rotorului, corespunzătoare stării electrice dinaintea comutației (abscisa $-\pi/2$). Odată definit, este necesară acum introducerea constantei de timp electrice T^* în expresia cuplului. Expresiile din tabelul 4.1 ar conduce însă la o tratare greoaie, separată pentru fiecare funcție $\mu_e(\theta, \tau)$, prin urmare este de preferat o expresie general valabilă mai simplă de forma:

$$\mu_e(\theta, \tau) = -k_M(1 - e^{-\tau/T^*})^2 \sin\theta \quad (4.31)$$

Această expresie încorporează două ipoteze simplificatoare: cuplul depinde de patratul curentului în faze și neglijarea constantei de timp electrice la deconectarea unei faze. Tot pentru simplificare, se va renunța la cazul secvenței S_3 care ar încurca tratarea, prin variația lui k_M între două valori la fiecare tact de comandă. Se neglijează de asemenea și micile variații ale vitezei unghiulare instantanee și, considerînd că θ_1 este poziția unghiulară a rotorului la momentul comutației ($\tau=0$), timpul se poate înlocui prin:

$$\tau = \frac{\theta - \theta_1}{\omega} \quad (4.34)$$

Energia dezvoltată de motor se calculează cu relațiile (4.27) și (4.33):

$$\begin{aligned} E_d(\theta) &= \int_0^\theta [-\mu_e(\theta, \tau) d\theta] = k_M \int_0^\theta [1 - e^{-(\theta - \theta_1)\sigma}]^2 \sin\theta d\theta = \\ &= k_M \left[1 - \cos\theta - \frac{2e^{\sigma\theta_1}}{1 + \sigma^2} + \frac{2e^{-(\theta - \theta_1)\sigma}}{1 + \sigma^2} (\cos\theta + \sigma \sin\theta) + \right. \\ &\quad \left. + \frac{2e^{\sigma\theta_1}}{1 + 4\sigma^2} - \frac{e^{-2(\theta - \theta_1)\sigma}}{1 + 4\sigma^2} (\cos\theta + 2\sigma \sin\theta) \right] \quad (4.35) \end{aligned}$$

unde:

$$\sigma = \frac{1}{\omega^* T^*} \quad (4.36)$$

În concordanță cu definiția lui μ_r (fig.4.34), proiecția segmentului CD pe abscisă are valoarea $\theta_e = \pi/2$, deci cu (4.28) și (4.31), rezultă:

$$\mu_r(\theta_1) = \frac{1}{\theta_e} [E_d(\theta_1) - E_d(\theta_1 + \theta_e)] \quad (4.37)$$

iar după utilizarea relației (4.35) se obține:

$$\mu_r = \frac{2}{\pi} k_M (\sigma_1 \sin \theta_1 + \sigma_2 \cos \theta_1) \quad (4.38)$$

unde

$$\sigma_1 = \frac{-(1-\sigma)^2 + 2e^{-\pi\sigma/2}}{1 + \sigma^2} - \frac{2\sigma + e^{-\pi\sigma}}{1 + 4\sigma^2} \quad (4.39)$$

$$\sigma_2 = \frac{1-\sigma^2 - 2\sigma e^{-\pi\sigma/2}}{1 + \sigma^2} - \frac{1 - 2\sigma e^{-\pi\sigma}}{1 + 4\sigma^2}$$

Este interesant de analizat cazul particular extrem: $T^* = 0$, $\mu_r = \text{maxim}$. Rezultă $\sigma = \infty$, $\sigma_1 = \sigma_2 = -1$, iar μ_r devine maxim pentru $\theta_1 = -3\pi/4$ (relația 4.38), la care unghiul de comutație și cuplul maxim sînt:

$$\theta_c = -\frac{\pi}{4} \quad (4.40)$$

$$\mu_{rm} = \frac{2\sqrt{2}}{\pi} k_M \approx 0,9 k_M$$

Rezultă concluzia foarte importantă, că în regimul de mers la încărcare maximă, în ipoteza neglijării constantei de timp electrice, comutația se face cu avans, astfel încît θ_c să corespundă energiei utile maxime. Momentele comutației (aplicarea tacturilor de comandă) găsesc rotorul în poziția marcată de intersecția a două curbe sinusoidale $\mu_e(\theta)$ consecutive, iar cuplul util maxim este tocmai cota acestui punct de intersecție (fig.4.35).

Este de așteptat ca la $T^* \neq 0$ avansul de comutație să crească, pentru a compensa timpul de creștere a curentului în fazele MPP.

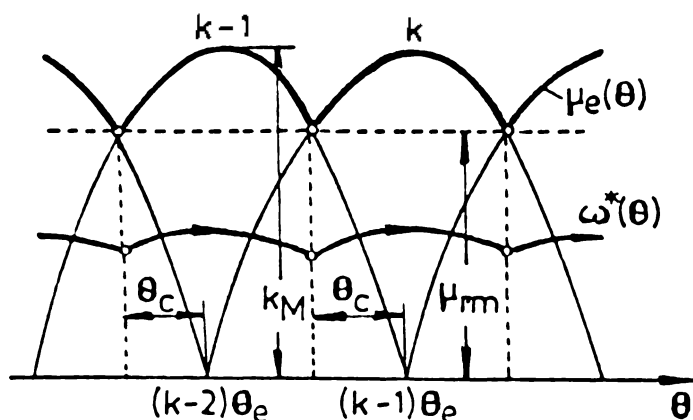


Fig.4.35. Comutația în regimul de mers la $T^*=0$ și $\mu_r = \text{maxim}$.

Cu definiția dată unghiului de comutație din expresia(4.38) rezultă:

$$\theta_c = \frac{\pi}{2} + \theta_1 = \frac{\pi}{2} - \arcsin \frac{\pi \mu_r}{2k_M \sqrt{\sigma_1^2 + \sigma_2^2}} - \operatorname{arctg} \frac{\sigma_2}{\sigma_1} \quad (4.41)$$

cu respectarea originii unghiului conform figurii 4.34.

Introducerea factorului de amortizare ζ se face ținând seama de ecuația 4.22, adică diminuând pe μ_r cu valoarea $2\zeta\omega^*$. În acest fel se confirmă dependența unghiului de comutație de principalii parametri ai sistemului: secvența (k_M), cuplul rezistent (μ_r), factorul de amortizare (ζ), viteza și constanta de timp electrică (în σ_1 și σ_2).

Pentru valori date ale lui μ_r și ω^* , θ_c are o valoare bine definită de echilibrul energetic al mișcării și care se calculează cu formula dedusă (4.41). Variația unghiului de comutație cu viteza și încărcarea pe arbore sînt arătate în figura 4.36.

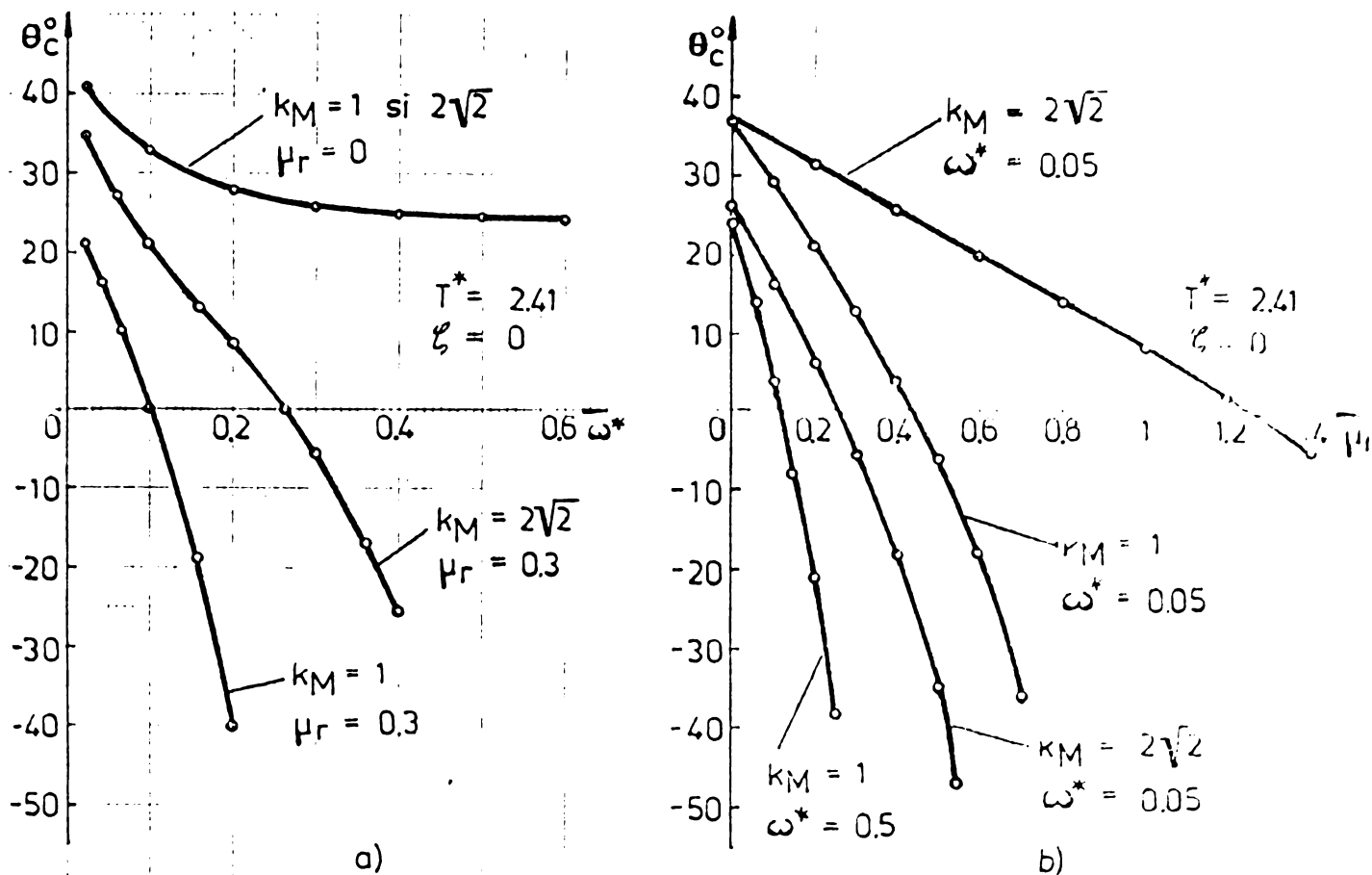


Fig.4.36. Unghiul de comutație al MPP în circuit deschis: a-la μ_r dat; b-la ω^* dat.

După cum se poate observa, comutația tinde să se facă cu avans, la creșterea vitezei și a cuplului rezistent, ceea ce era de așteptat. La cuplu rezistent nul schimbarea secvenței de alimentare nu afectează unghiul de comutație.

4.3.2. Calculul caracteristicilor limită de mers

Interpretarea energetică a mișcării MPP și considerațiile asupra unghiului de comutație au ca importanță practică determinarea limitelor de funcționare a SAMPP în CD în regimul de mers. Caracteristica limită de mers reprezintă dependența frecvenței maxime de comandă de cuplul rezistent, la o constantă de timp electrică dată.

Calculul caracteristicilor limită de mers în circuit deschis după metoda consacrată la motoarele sincrone, spre exemplu folosind modelul dq (ecuațiile 3.42) cu anularea derivatelor curenților, nu dă rezultate satisfăcătoare din cauză că argumentele tensiunilor u_d și u_q nu conțin unghiul θ_c , ci au o valoare medie constantă θ_e (sau $\theta_e/2$) [8]. Din acest motiv metoda bazată pe echilibrul energetic al mișcării și pe unghiul de comutație, deși introdusă prin mai multe simplificări, este totuși preferată metodei bazată pe modelul dq.

În cazul ideal, când $T^* = 0$, MPP dezvoltă cuplul maxim $\tau_{rm} \approx 0,9 k_M$ (relația 4.41) la orice frecvență de comandă, deci nu are sens o caracteristică limită de mers. În cazurile reale, însă, valoarea lui T^* joacă un rol esențial la stabilirea frecvenței maxime de mers a MPP.

Se pleacă de la expresia cuplului rezistent (4.32), în care se presupun date ω^* , T^* . Anulând derivata lui $\tau_r(\theta_1)$ rezultă unghiul inițial θ_1 la încărcarea maximă a MPP:

$$\theta_1 = \theta_{1m} = \arctg \frac{\sigma_1}{\sigma_2} - \pi \quad (4.42)$$

iar cuplul rezistent maxim rezultă:

$$\tau_r = \tau_{rm} = \frac{2}{\pi} k_M \sqrt{\sigma_1^2 + \sigma_2^2} \quad (4.43)$$

În figura 4.37 sînt arătate caracteristicile limită de mers calculate cu formula (4.43), avînd ca date T^* și k_M . La o viteză dată, cuplul maxim în secvența S_2 este de $k_M = 2\sqrt{2}$ ori mai mare decît în secvența S_1 .

Pînă acum în calculul caracteristicilor s-a luat $\zeta = 0$. Introducerea lui ζ este acum foarte simplă dacă se consideră $\omega^* = \text{const.}$ și se înlocuiește τ_r cu $\tau_r - 2\zeta\omega^*$ peste tot unde apare.

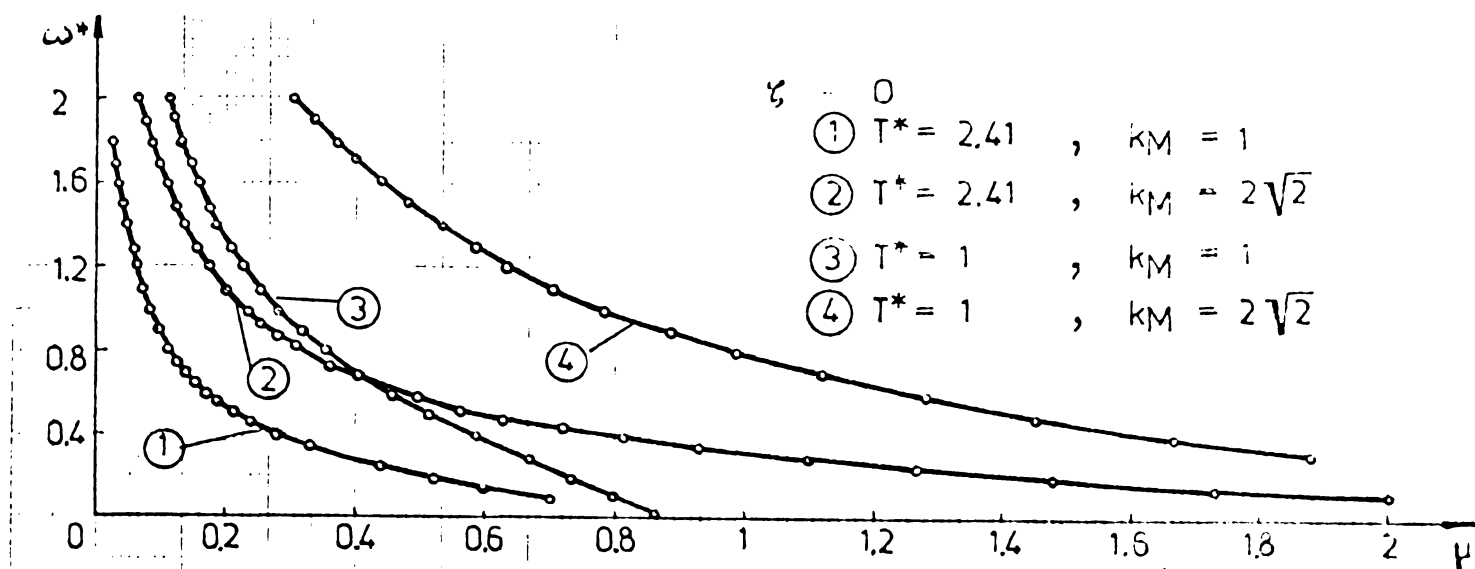


Fig.4.37. Caracteristicile limită de mers calculate.

Unghiul de comutație în regimul de mers la frecvența maximă este variabil, așa cum rezultă din figura 4.38, ceea ce infirmă încă o dată aplicarea metodei de calcul bazată pe modelul dq, care presupune un unghi de comutație constant cu viteza. După cum era de așteptat, avansul de comutație crește cu viteza rotorului și cu constanta de timp electrică.

O comparație între caracteristica ridicată experimental, pentru MPP având datele în tabelul 3.11, cu una calculată, este arătată în figura 4.39.

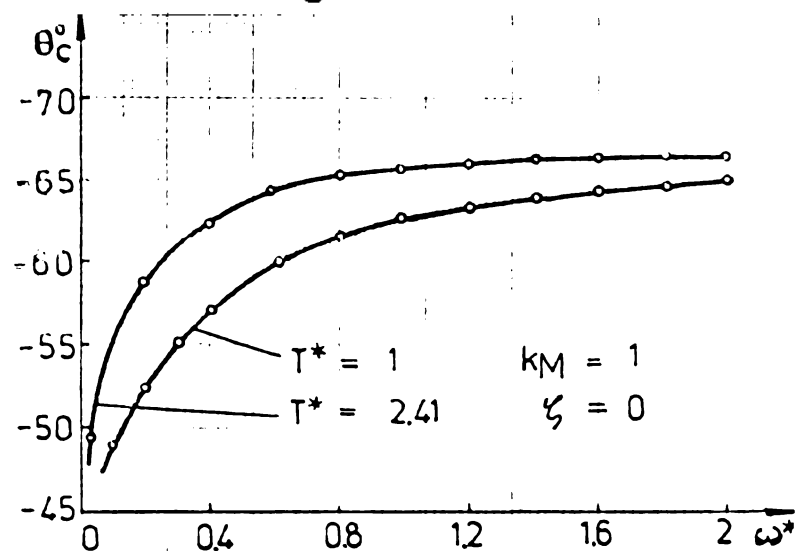


Fig.4.38. Variația unghiului de comutație pe caracteristica limită de mers.

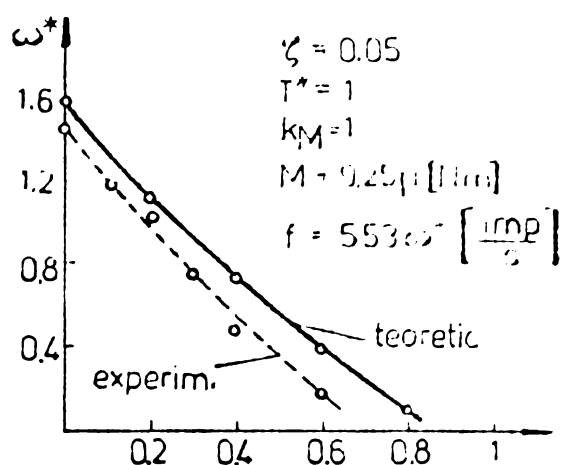


Fig.4.39. Comparație între caracteristica experimentală și cea calculată.

Din examinarea rezultatelor obținute, ca și din prezentarea făcută, se pot extrage următoarele concluzii despre regimul cvazistaționar:

- Poziția rotorului MPP în regimul cvazistaționar (de mers) este autoreglată prin echilibrul energetic al mișcării, în raport cu momentele aplicării tacturilor de comandă.

- Unghiul de comutație, care s-a introdus pentru funcționarea în circuit deschis, este determinat de toți parametrii importanți ai SPMPP în CD: μ_r , ω^* , T^* , k_M , ζ , avînd un caracter elastic.

- Influența constantei de timp electrice T^* este mult mai importantă ca în regimul dinamic. Rezultatele calculate pentru un MPP cu o schemă de alimentare simplă, cu forțare prin rezistență, sînt relativ modeste, impunînd trecerea la scheme perfecționate, bazate pe forțarea prin tensiune [42,44].

- Calculul caracteristicilor limită de mers pe baza unghiului de comutație este mai apropiat de realitate decît calculul pe baza modelului dq stabilizat, care nu conține implicît valoarea acestui unghi.

Concluzii asupra SPMPP în CD

1. SPMPP în CD sînt cele mai simple sisteme de poziționare, de neconceput cu alte tipuri de motoare electrice.
2. Precizia poziționării în CD depinde în mare măsură de deviația MPP, cauzată de valoarea și caracterul cuplului rezistent, și secvența alimentării. Intrucît deviația nu poate fi controlată, trebuie admisă o eroare de poziționare de principiu de pînă la 50% din valoarea unui pas, eroare necumulabilă.
3. Studiarea stabilității mișcării în regimul dinamic (pornire-oprire-reversare) cît și în regimul cvazistaționar s-a efectuat cu ajutorul metodei planului fazelor, conducînd la calculul caracteristicilor limită ale SPMPP, universale și determinante în proiectarea poziționării în CD.
4. Regimul cvazistaționar este guvernat de unghiul de comutație intern al MPP, autoreglat prin echilibrul energetic al acționării; definirea acestui unghi în cazul funcționării MPP în CD prefigurează un principiu de comandă în circuit închis al MPP.
5. Funcționarea în CD este influențată mult de constanta de timp electrică, mai ales la frecvențe de comandă ridicate; pentru extinderea caracteristicilor limită cuplu/frecvență, cea mai eficientă metodă este micșorarea constantei electrice de timp prin utilizarea unei tehnici de forțare.

5. SISTEME DE POZITIONARE CU MOTOARE PAS CU PAS IN CIRCUIT INCHIS DE TIP HIBRID

SPMPP în circuit închis de tip hibrid (SPMPP în CIH) sînt sistemele prevăzute cu bucle de reacție de poziție de tip analogic, în care traductorul de poziție, valoarea impusă a cotei (mărimea de referință) și elementul de comparare sînt analogice. În structura acestor sisteme intră și un convertor analog - numeric care face legătura cu SAMPP, necesar deoarece acesta are caracter pur numeric.

În categoria SPMPP în CIH intră echipamentele de poziționare punct cu punct și paraxială cu traductor analogic de poziție (potențiomtru) [33,56,91] precum și echipamentele de copiere după șablon [100].

Schema structurală a unui SPMPP în CI cu traductor analogic de poziție este indicată în figura 5.1 [34]. Organul mobil este o masă de poziționare prevăzută cu traductor potențiomtric, element întâlnit și pentru fixarea cotei impuse i . Cota impusă și cea măsurată apar deci sub forma unor tensiuni continue. Elementul comparator, de tip analogic, furnizează abaterea a care deschide printr-o

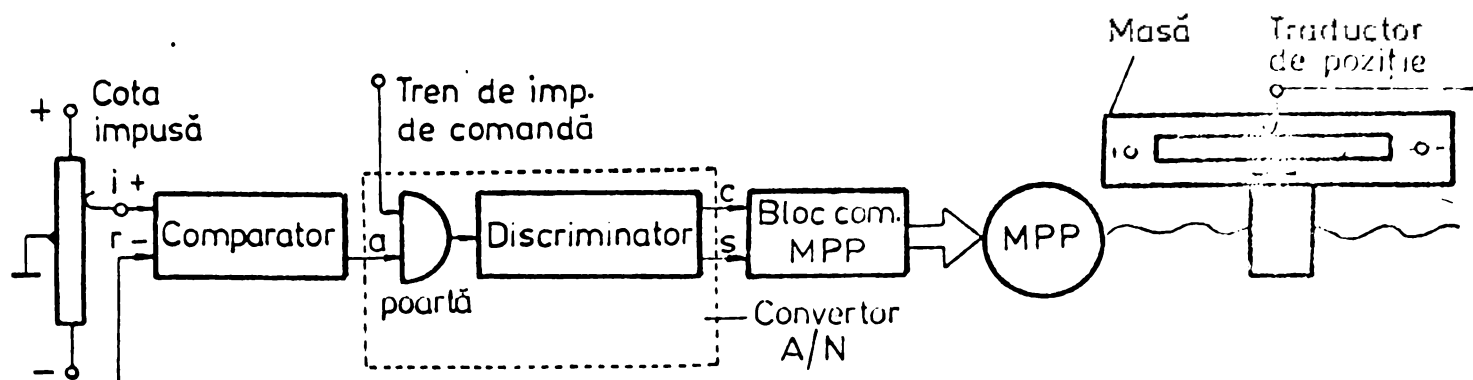


Fig.5.1. SPMPP în CIH cu traductor analogic.

poartă accesul impulsurilor de comandă a MPP. Un discriminator are funcția de a trimite spre blocul de comandă al MPP (distribuitor, amplificator, contactoare statice) informația numerică constînd din trenul de impulsuri monopolare c și un semnal de sens s în funcție de semnul abaterii. Poarta împreună cu discriminatorul reprezintă convertorul analog-numeric al sistemului.

Principiul de poziționare constă în trimiterea impulsurilor de comandă spre MPP atîta timp cît abaterea între mărimea impusă și cea măsurată este mai mare decît o valoare dată.

În figura 5.2 este reprezentat un SPMPP în CIH adecvat copierii după șablon. Sistemul diferă numai prin blocul mărimei de referință și cel al mărimei măsurate. Copierea după șablon se face

prin combinarea avansului axial continuu, cu viteză constantă, cu avansul radial discontinuu, generat de mișcarea MPP. Traductorul de

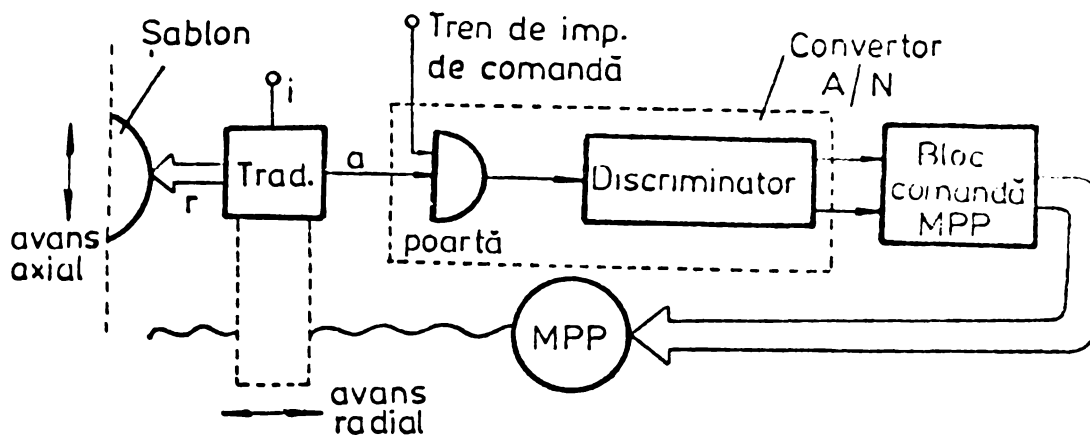


Fig.5.2. SPMPP în CIH cu copiere după șablon.

poziție este prevăzut cu un palpator care urmărește forma șablonului antrenat în avansul axial. Abaterăa este condiționată de precizia de urmărire dată sub

forma unui semnal de referință i și de poziția palpatorului traductorului r .

Principiul de copiere este similar - existența abaterii permite trecerea impulsurilor de comandă spre MPP, iar acesta readuce poziția palpatorului în câmpul de precizie impus, prin intermediul sistemului de avans radial.

În acest capitol autorul propune identificarea SPMPP în CIH în termenii teoriei reglării automate, elaborarea unei metode de studiu al acestuia și cercetarea stabilității sistemului.

5.1. Identificarea SPMPP în CIH

Sistemele de poziționare hibride din figurile 5.1 și 5.2 conțin, în esență, o buclă de reacție analogică pentru modularea impulsurilor de comandă a MPP în funcție de eroarea între poziția impusă și cea măsurată. Pentru alcătuirea unei scheme structurale echivalente a sistemului, se fac următoarele considerații:

- amplitudinea și durata impulsului de comandă nu influențează valoarea unghiului de pas θ_e ;
- mișcarea rotorului MPP în limitele unui pas se exprimă suficient de precis prin ecuația de mișcare liniarizată;
- stabilirea curenților în fazele MPP are loc instantaneu, ceea ce presupune neglijarea constantei de timp electrice, lucru admis la frecvențe joase de comandă și în cazul alimentării cu forțare [42].

Aceste considerații au mai fost făcute și la subcapitolul 3.4, unde s-a dedus o exprimare operațională simplă a SAMPP.

După cum reiese din schemele descrise anterior, impulsurile de comandă ajung la MPP atîta timp cît abaterea furnizată de elementul comparator are o valoare superioară unei mărimi η , denumită prag de insensibilitate. Acest principiu de funcționare, împreună cu considerațiile făcute, conduc la încadrarea sistemului în categoria sistemelor automate cu eșantionare de tip releu cu zonă de insensibilitate [58].

Partea liniară a sistemului automat este funcția de transfer a SAMPP dedusă sub forma (3.58), care aici se va extinde pe un pas întreg:

$$G(s) = \frac{K_a}{s \left(\frac{s^2}{\omega_o^2} + \frac{2\zeta}{\omega_o} s + 1 \right)} \quad (5.1)$$

unde $K_a = \theta_e$.

Din proprietatea MPP de a executa un pas la fiecare impuls primit, indiferent de amplitudinea acestuia, cu condiția ca abaterea să depășească o valoare η , rezultă că în schema structurală trebuie introdus un element neliniar de tip releu tripozițional cu zonă de insensibilitate $(-\eta, +\eta)$ definit prin:

$$m(a) = \begin{cases} +1 & \text{pentru } a > +\eta \\ 0 & \text{pentru } -\eta < a < +\eta \\ -1 & \text{pentru } a < -\eta \end{cases} \quad (5.2)$$

m fiind mărimea sa de ieșire. Caracteristica releului este reprezentată în figura 5.3.

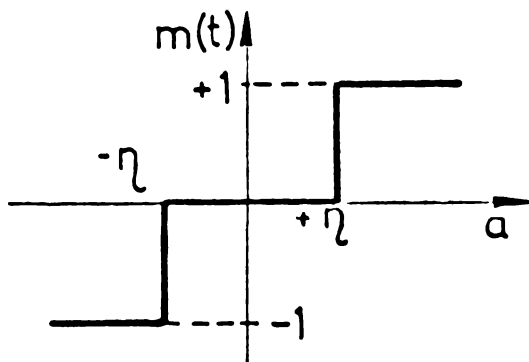


Fig.5.3. Caracteristica releului.

Prin introducerea funcției generatorului de impulsuri ca un element de eșantionare cu perioada T , identificarea SAMPP se poate reflecta în schema bloc rezultantă din figura 5.4 [43].

Elementul de eșantionare joacă rolul de cuantificator al abaterii, transformând o mărime continuă în impulsuri de frecvență $f = 1/T$, modulate în amplitudine, iar releul limitează amplitudinea impulsurilor

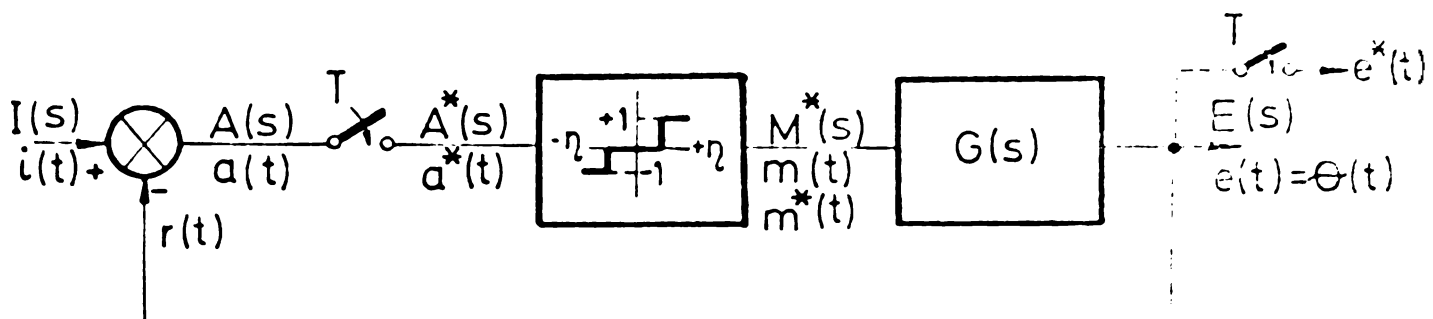


Fig.5.4. Schema bloc a SAMPP în CIL.

lor la o valoare constantă, satisfăcând astfel independența mișcării rotorului MPP față de amplitudinea impulsurilor de comandă.

5.2. Analiza răspunsului SPMPP în CIH

Pentru analiza funcționării în timp se consideră o comporta-re simplificată, ideală a MPP, bazată pe următoarele considerații:

- creșterea unghiului de rotație pe durata unui pas este liniară și fără oscilații în jurul poziției finale a pasului;

- durata efectuării pasului este constantă și mai mică decât perioada de eșantionare, adică MPP este comandat cu o frecvență sub limita maximă de pornire;

- impulsul aplicat "duce rotorul" numai pe durata de efectuare a pasului, după care poziția acestuia rămâne fixă pînă la apariția unui nou impuls.

Dacă se notează cu p durata efectuării unui pas, exprimarea matematică a eșantionării abaterii este:

$$\begin{aligned} a^*(t) &= a(t) \cdot p(t), \\ p(t) &= 1 \quad \text{pentru } 0 \leq t \leq p \\ p(t) &= 0 \quad \text{pentru } p < t < T \end{aligned} \quad (5.3)$$

în care s-a definit funcția $p(t)$ ca purtătoare a trenului de impulsuri unitare.

Se aplică sistemului automat un semnal de intrare tip treaptă de tensiune $i(t) = U$. La început, deoarece semnalul de ieșire este nul, abaterea este maximă și egală cu semnalul de intrare. Variația în timp a abaterii și a mărimii de ieșire este reprezentată în figura 5.5,a.

În punctul 1, fiind îndeplinită condiția $a^*(t) > \eta$, la ieșirea releului va exista semnalul $m(t) = 1$ de durată p , iar motorul va fi alimentat cu un impuls și va deplasa rotorul pe distanța unui pas θ_n . Mărimea de ieșire $e(t)$ va avea o creștere liniară între punctele 1' - 2', iar abaterea $a(t) = a^*(t)$ va scădea liniar, cu aceeași pantă, între punctele 1 - 2. După intervalul de timp p , $p(t) = 0$, rezultă $a^*(t) = 0$ și $m(t) = 0$, iar $e(t)$ se păstrează constant pînă la venirea unui nou impuls (punctele 2-3 și 2'-3'). Din acest moment $p(t) = 1$, $e(t)$ crește liniar între punctele 3'-4', $a(t) = a^*(t)$ scade liniar între punctele 3-4 și funcționarea decurge mai departe similar pînă cînd $a^*(t) < \eta$ (cu $p(t) = 1$), corespunzător punctului 10. În acest moment are loc deechiderea releului și motorul efectuează pasul corespunzător ultimului impuls primit, astfel că $e(t)$ și $a(t)$ ajung în punctele 11' respectiv 11. Valoarea abaterii fiind cuprinsă

În intervalul $[-\eta, +\eta]$, impulsurile la ieșirea releului încetează să apară, iar poziția rotorului $e(t)$ se stabilizează la o valoare finală, diferită de semnalul de intrare cu eroarea ε ($|\varepsilon| < \eta$).

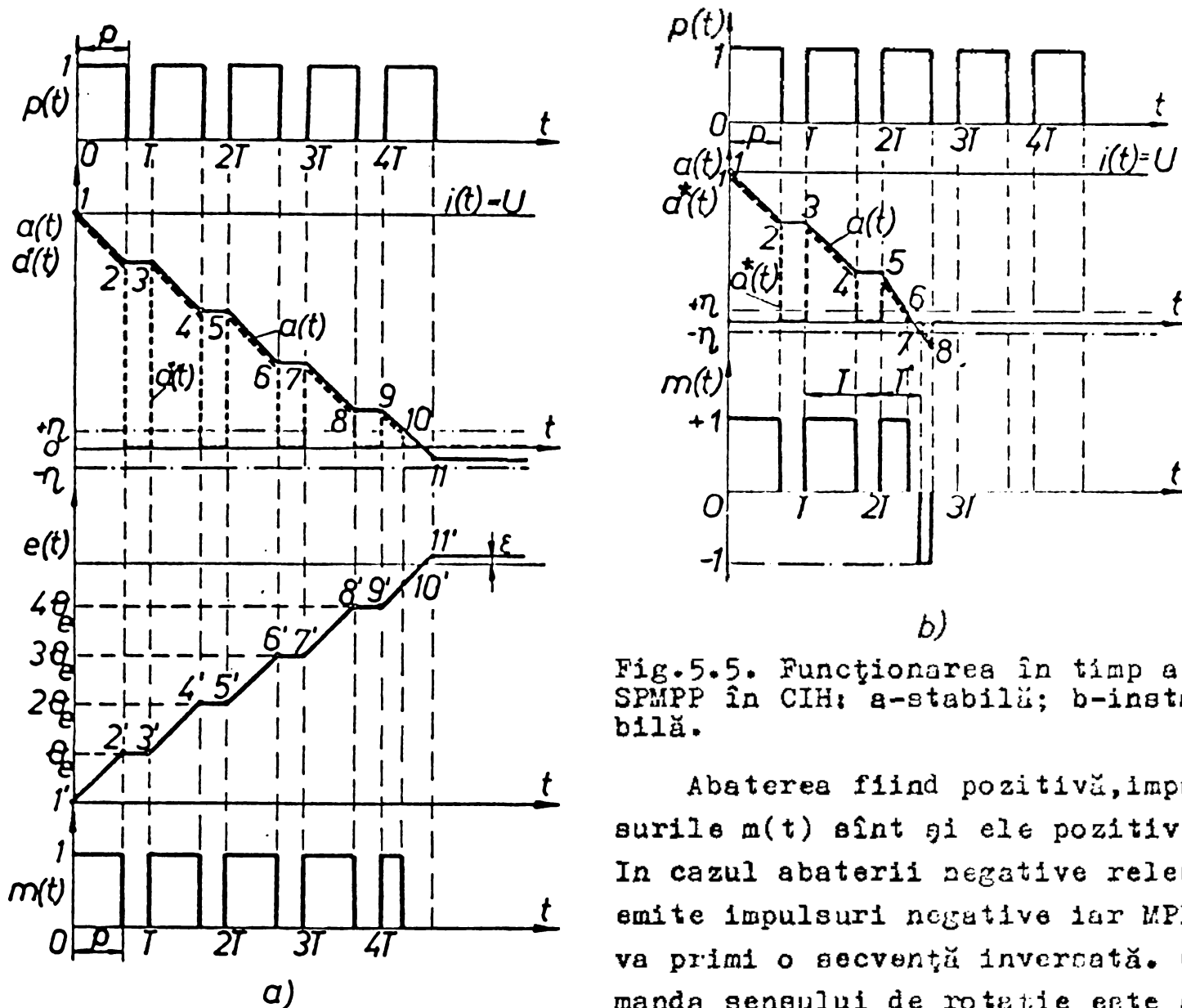


Fig.5.5. Funcționarea în timp a SPMPP în CIH: a-stabilă; b-instabilă.

Abateră fiind pozitivă, impulsurile $m(t)$ sînt și ele pozitive. În cazul abaterii negative releul emite impulsuri negative iar MPP va primi o secvență inversată. Comanda sensului de rotație este asigurată printr-un semnal de sens generat de convertorul Λ/N , în funcție de semnul abaterii.

Pragul de insensibilitate η are o influență mare asupra performanțelor sistemului. O valoare η prea mare duce la o eroare staționară ε ridicată, care afectează precizia poziționării. Micșorarea valorii η afectează, după cum se va constata, stabilitatea sistemului, așa încît alegerea corectă a pragului de insensibilitate a releului trebuie să răspundă unei situații de compromis între stabilitatea și precizia staționară a sistemului.

Cazul unei valori η prea mici, care provoacă instabilitatea sistemului, este prezentat în figura 5.5, b. Pînă în punctul 6 sistemul are o funcționare stabilă. Din punctul 6 abaterea scade sub valoarea pragului η , $m(t) = 0$. Pasul nefiind încă complet efectuat, abaterea scade în continuare. Ipoteza făcută la început, că nu există oscilații în jurul poziției finale a pasului, valabilă pentru ca-

zul când $a \gg \eta$, nu poate fi acum acceptată din cauza valorii mici a abaterii. Din acest motiv oscilația abaterii (din cauza mărimii de ieșire), care depășește ca amplitudine pragul de insensibilitate (punctele 8-9), provoacă un impuls negativ la ieșirea releului într-un moment $T' < T$ față de impulsul anterior. Cum acest impuls este aplicat înaintea efectuării pasului comandat de impulsul anterior, rotorul MPP poate ieși din sincronism, ceea ce înseamnă pierderea stabilității sistemului.

Autorul propune în continuare aplicarea metodei grafurilor de semnal pentru analiza răspunsului SPMMP în CIH. Graful de semnal se obține respectând trei etape [58]:

a) Se determină graful de transfer al părții liniare a sistemului, separând mai întâi funcția de memorare din funcția de transfer a SAMPP. Rezultă:

$$G_1(s) = \frac{K_a}{\frac{s^2}{\omega_0^2} + \frac{2\zeta}{\omega_0} s + 1} = \frac{K_a \omega_0^2 s^{-2}}{1 + 2\zeta\omega_0 s^{-1} + \omega_0^2 s^{-2}} \quad (5.4)$$

Prin identificare cu formula lui Mason pentru calculul unui graf fără bucle disjuncte [27] se obține graful de transfer al părții liniare (5.4), așa cum se arată în figura 5.6.

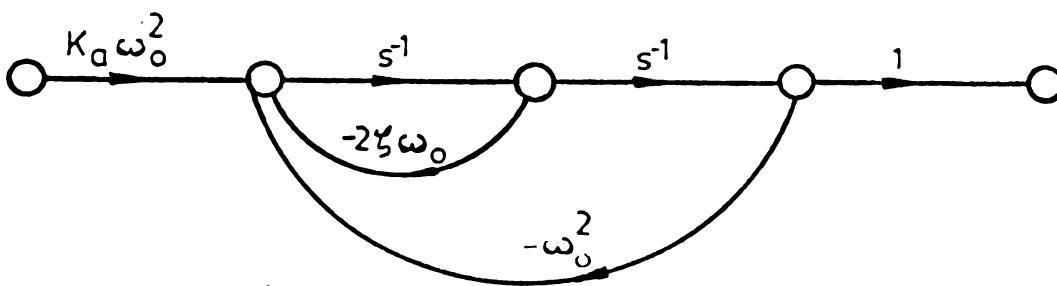


Fig.5.6. Graful de transfer asociat funcției $G_1(s)$.

b) Partea de memorare (extrapolatorul) împreună cu ecantionatorul se consideră că efectuează o operație unică combinată, deci că semnalul de ieșire al elementului ecantionator-extrapolator este o funcție treaptă. Dacă intrarea și ieșirea elementului ecantionator-extrapolator sînt $x(t)$, respectiv $y(t)$,

atunci:

$$y(kT^+) = x(kT) \quad (5.5)$$

unde kT^+ înseamnă $kT + \tau$ ($0 < \tau < T$), T fiind perioada de ecantionare iar $k=0,1,2,\dots$

c) Elementul nelinier (releul) se reprezintă în graf printr-un amplificator cu coeficient de amplificare variabil [58]:

$$K_k = K(kT) = \frac{m(kT^+)}{a(kT^+)} \quad (5.6)$$

unde $a(kT^+)$ și $m(kT^+)$ sînt respectiv mărimea de intrare și ieșire a releului.

Prin compunerea grafurilor asociate celor trei elemente: motor, eșantionator-extrapolator și releu și aplicând condițiile inițiale $\theta(kT)$, $\omega(kT)$ la nodurile variabilelor de regim, se obține graful de transfer al SPMPP în CIH. El este reprezentat în figura 5.7.

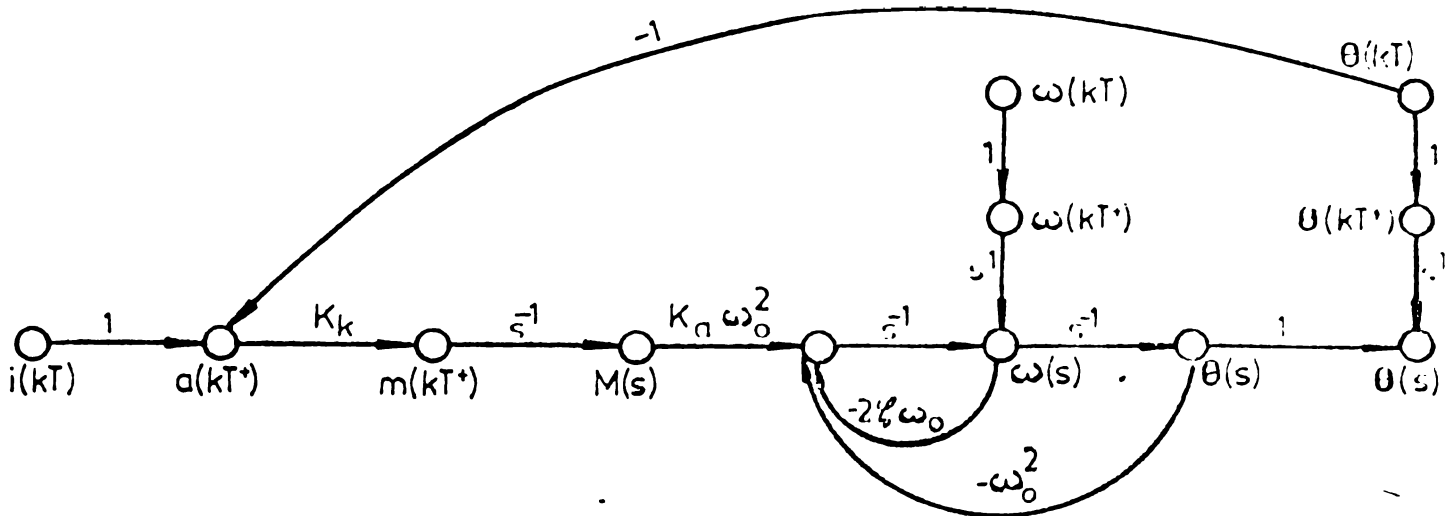


Fig.5.7. Graful de transfer al SPMPP în CIH.

Variabilele de regim sînt unghiul electric instantaneu $\theta(t)$ și viteza unghiulară electrică instantanee $\omega(t)$. Graful are trei noduri sursă: $i(kT)$, $\theta(kT)$ și $\omega(kT)$, i fiind mărimea de intrare de referință. Transformata Laplace a variabilelor de regim se obține prin suprapunerea efectelor celor trei noduri-sursă. Prin aplicarea formulei lui Mason [27] rezultă:

$$\theta(s) = \theta(kT) \left(s^{-1} - \frac{K_k K_a \omega_0^2 s^{-3}}{1 + 2\zeta \omega_0 s^{-1} + \omega_0^2 s^{-2}} \right) +$$

$$+ \omega(kT) \left(\frac{s^{-2}}{1 + 2\zeta \omega_0 s^{-1} + \omega_0^2 s^{-2}} \right) + i(kT) \left(\frac{K_k K_a \omega_0^2 s^{-3}}{1 + 2\zeta \omega_0 s^{-1} + \omega_0^2 s^{-2}} \right),$$

$$\omega(s) = \theta(kT) \left(\frac{-K_k K_a \omega_0^2 s^{-2}}{1 + 2\zeta \omega_0 s^{-1} + \omega_0^2 s^{-2}} \right) + \quad (5.7)$$

$$+ \omega(kT) \left(\frac{s^{-1}}{1 + 2\zeta \omega_0 s^{-1} + \omega_0^2 s^{-2}} \right) + i(kT) \left(\frac{K_k K_a \omega_0^2 s^{-2}}{1 + 2\zeta \omega_0 s^{-1} + \omega_0^2 s^{-2}} \right)$$

Răspunsul în timp al SPMPP se obține aplicînd transformarea Laplace inversă asupra expresiilor (5.7):

$$\theta[(k+1)T] = \theta(kT) \left\{ 1 - K_k K_a \left[1 - \frac{e^{-\alpha T}}{\cos \varphi} \cos(\beta T - \delta) \right] \right\} +$$

$$+ \omega(kT) \left\{ \frac{e^{-\beta T} \sin \beta T}{\beta} \right\} + i(kT) \left\{ K_k K_a \left[1 - \frac{e^{-\alpha T}}{\cos \delta} \cos(\beta T - \delta) \right] \right\},$$

$$\omega[(k+1)T] = \theta(kT) \left\{ -\frac{K_k K_a \omega_0^2}{\beta} e^{-\alpha T} \sin \beta T \right\} + \quad (5.8)$$

$$+ \omega(kT) \left\{ \frac{e^{-\alpha T} \cos \epsilon(\beta T + \delta)}{\cos \delta} \right\} + i(kT) \left\{ \frac{K_k K_a \omega_0^2}{\beta} e^{-\alpha T} \sin \beta T \right\}$$

în care s-au notat:

$$\alpha = \zeta \omega_0$$

$$\beta = \omega_0 \sqrt{1 - \zeta^2}$$

$$\delta = \arctg \frac{\alpha}{\beta}$$
(5.9)

În funcția de amplificare variabilă a releului (5.6) mărimea de ieșire $m(kT^+)$ este dependentă de caracteristica releului și se determină după ce $a(kT^+)$ este cunoscută:

$$K_k = \frac{m(kT^+)}{i(kT) - \theta(kT)} \quad (5.10)$$

Expresiile (5.8) reprezintă răspunsul SPMPP în momentele de eșantionare. În figura 5.8 este arătată organigrama pentru calculul răspunsului sistemului pe baza expresiilor (5.8) și a principiului de funcționare explicat anterior.

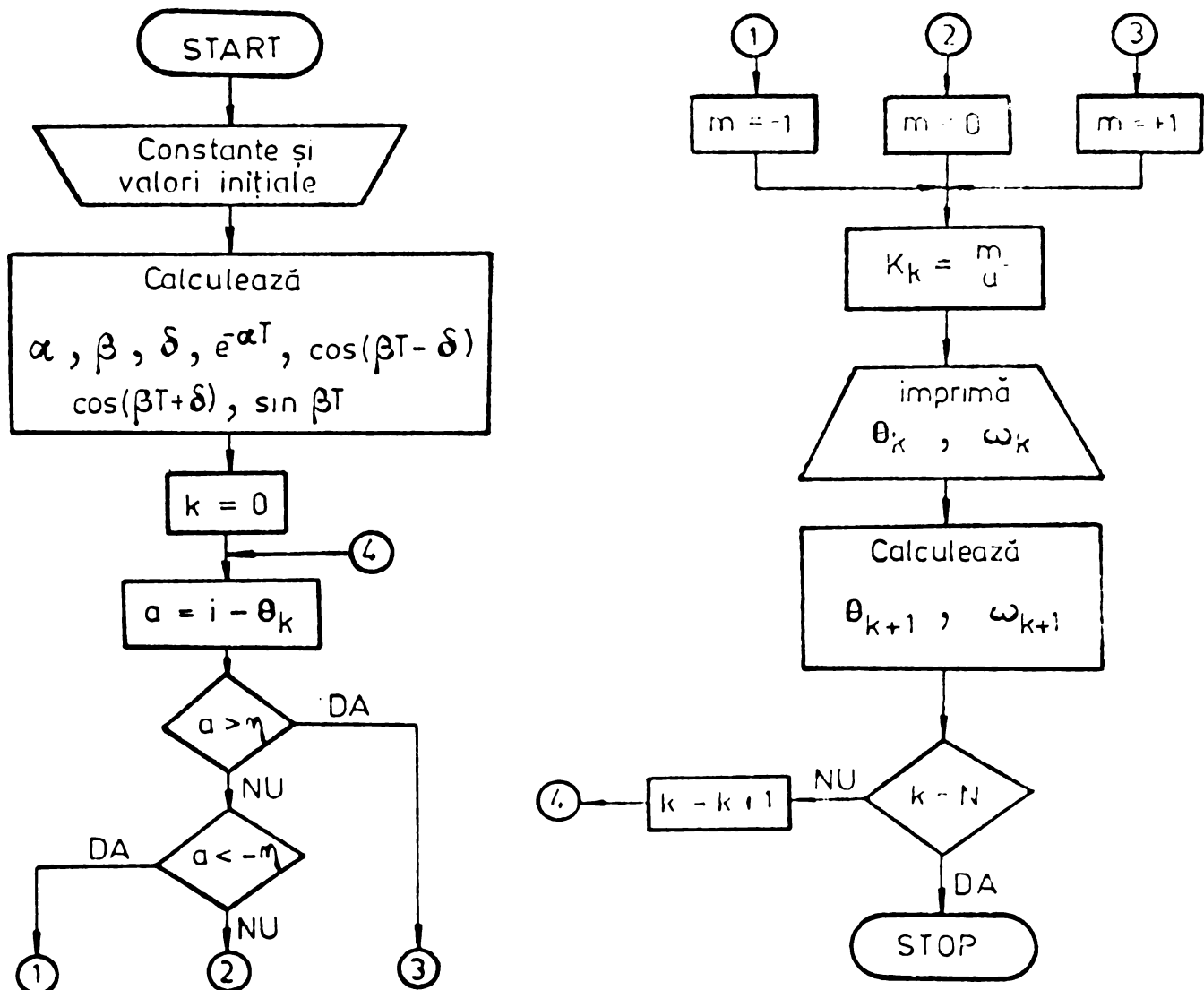
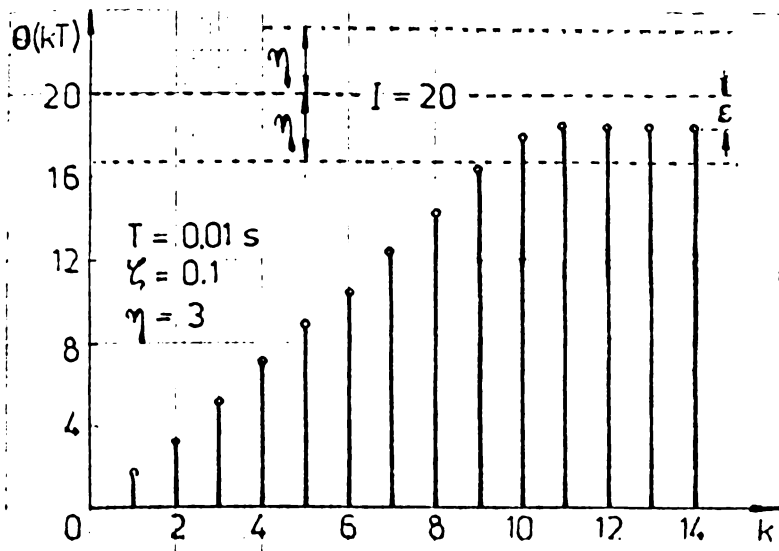
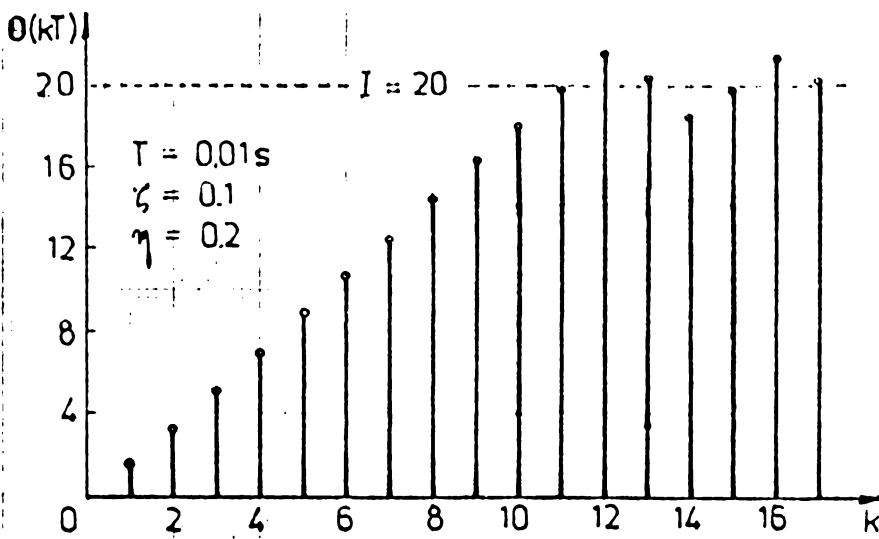
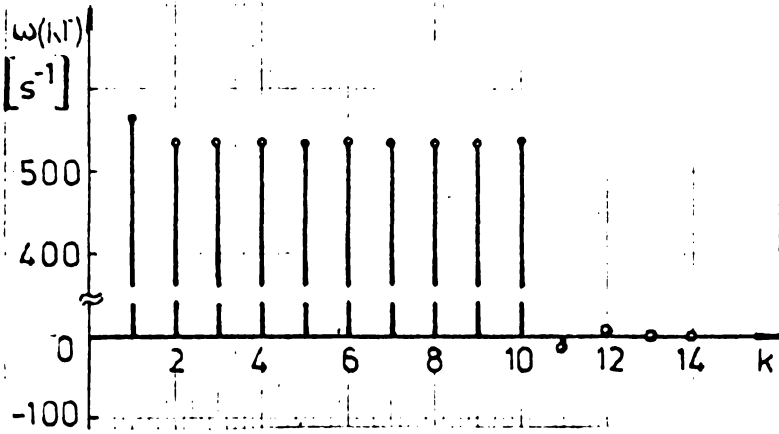


Fig.5.8. Organigrama de calcul a răspunsului SPMPP (cu θ_k și ω_k s-au notat $\theta(kT)$, respectiv $\omega(kT)$).



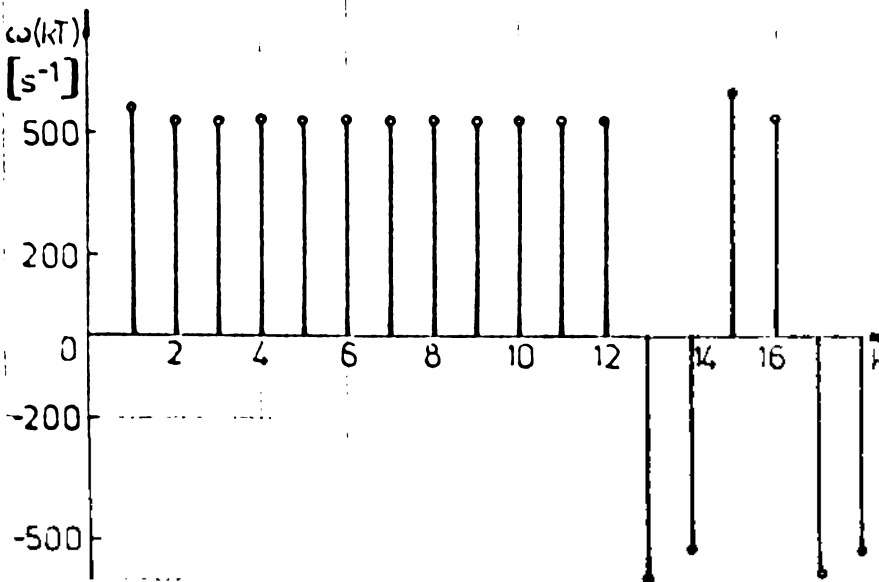
kT	$\theta(kT)$	$\omega(kT)$	$m(kT)$
0.000	0.000	0.000	1.000
.010	1.518	566.130	1.000
.020	3.361	533.619	1.000
.030	5.186	535.486	1.000
.040	7.012	535.379	1.000
.050	8.837	535.385	1.000
.060	10.663	535.385	1.000
.070	12.489	535.385	1.000
.080	14.314	535.385	1.000
.090	16.140	535.385	1.000
.100	17.966	535.385	0.000
.110	18.273	-30.745	0.000
.120	18.256	1.766	0.000
.130	18.257	-.101	0.000
.140	18.257	.006	0.000
.150	18.257	-.000	0.000
.160	18.257	.000	0.000
.170	18.257	.000	0.000
.180	18.257	.000	0.000
.190	18.257	.000	0.000
.200	18.257	.000	0.000
.210	18.257	.000	0.000

a)



kT	$\theta(kT)$	$\omega(kT)$	$m(kT)$
0.000	0.000	0.000	1.000
.010	1.518	566.130	1.000
.020	3.361	533.619	1.000
.030	5.186	535.486	1.000
.040	7.012	535.379	1.000
.050	8.837	535.385	1.000
.060	10.663	535.385	1.000
.070	12.489	535.385	1.000
.080	14.314	535.385	1.000
.090	16.140	535.385	1.000
.100	17.966	535.385	1.000
.110	19.791	535.385	1.000
.120	21.617	535.385	-1.000
.130	20.407	-596.874	-1.000
.140	18.546	-531.854	1.000
.150	19.758	596.672	1.000
.160	21.619	531.865	-1.000
.170	20.406	-596.672	-1.000
.180	18.546	-531.865	1.000
.190	19.758	596.672	1.000
.200	21.619	531.865	-1.000
.210	20.406	-596.672	-1.000

b)



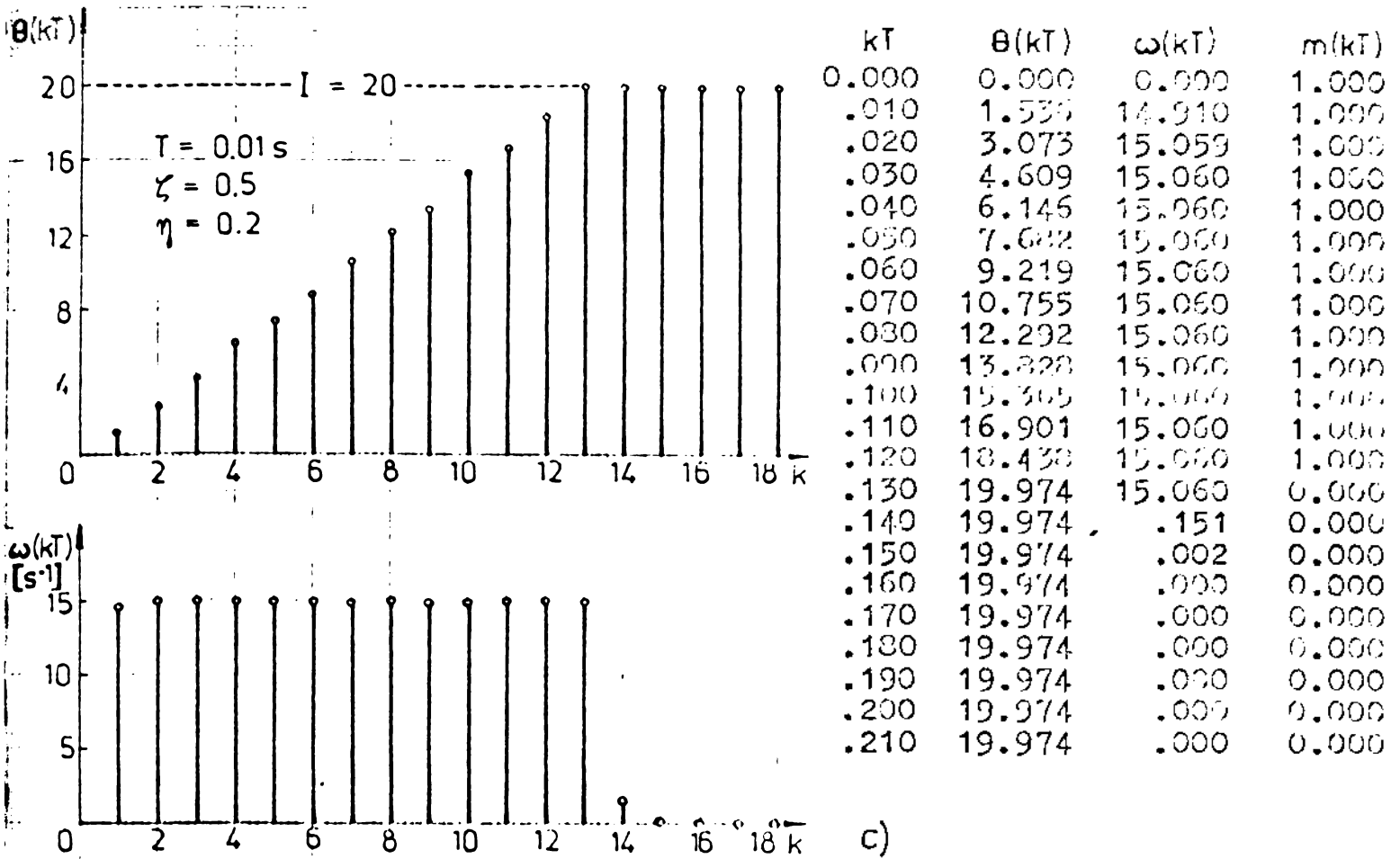


Fig.5.9. Răspunsul SPMPP în CIH: a,c-stabil; b-instabil.

Calculul răspunsului s-a efectuat pentru MPP cu datele din tabelul 3.11, adică s-au luat:

$K_a = \pi/2$, $\omega_o = 870 \text{ s}^{-1}$, $i = I = 20 \cong 12,73$ pași electrice,
 $T = 0,01 \text{ s}$ ($f = 100 \text{ imp/s}$), $\theta(0) = \omega(0) = 0$,
 $N = 20$ (număr de impulsuri de comandă).

Rezultatele obținute sînt trasate în figura 5.9,a,b,c - cu indicațiile respective pentru parametrii ζ și η .

Se constată că valoarea finală a unghiului electric este diferită de mărimea impusă cu o eroare $|\varepsilon| < \eta$ (fig.5.9,a). Dacă se reduce pragul η , sistemul poate deveni instabil (fig.5.9,b), caz în care unghiul și viteza prezintă oscilații întreținute în jurul valorilor finale. Viteza instantanee prezintă oscilații mai pronunțate decît în cazul sistemului stabil. Dacă se mărește factorul de amortizare ζ sistemul se poate reduce în stare stabilă, chiar și pentru valori mici ale pragului η (fig.5.9,c).

5.3. Stabilitatea SPMPP în CIH

Din analiza răspunsului sistemului s-a putut constata că la anumite valori ale parametrilor ce definesc comportarea sa, sistemul

devine instabil. Autorul lucrării va prezenta în continuare o metodă originală de studiu a stabilității SPMP în CIH identificat anterior [43].

Din examinarea schemei bloc a SAMPP în circuit închis din figura 5.4 reiese că în componența ei intră un singur element neliniar-regulatorul de tip releu, precedat de eșantionatorul ideal. Sistemul a fost încadrat în categoria sistemelor automate cu eșantionare neliniare de tip releu. B.C.Kuo [58] a arătat despre stabilitatea acestor sisteme că dacă sistemul are ca răspuns o oscilație întreținută după anularea mărimii de referință $i(t)$, atunci sistemul este instabil. Astfel, cu acest criteriu pentru studiul stabilității, ne vom căuta autooscilațiile sistemului când $i(t) = 0$, și abaterea devine:

$$a(t) = i(t) - e(t) = -e(t) \quad (5.11)$$

Elementul neliniar este descris de funcția de descriere discretă [58], a cărei deducere se bazează pe ipoteza că semnalul de intrare în elementul neliniar $a^*(t)$ constă dintr-un tren de impulsuri modulate sinusoidal. De aici rezultă că abaterea $a(t)$ trebuie să fie sinusoidală și, conform relației (5.11), și $e(t)$ trebuie să fie sinusoidală, de aceeași perioadă. Admițând că autooscilațiile de la ieșirea sistemului, în caz de instabilitate, au regim sinusoidal, de perioadă T_c , rezultă că și abaterea are același regim și deducerea funcției de descriere discretă a releului este posibilă.

Conform [58], funcția de descriere discretă reprezintă raportul dintre transformata z a mărimii de ieșire discrete $m^*(t)$ și transformata z a mărimii de intrare $a^*(t)$ presupusă modulată sinusoidal:

$$N(z) = \frac{M(z)}{A(z)} \quad (5.12)$$

Mărimea de intrare în eșantionatorul ideal, în cazul studierii stabilității, va fi sinusoidală:

$$a(t) = A \cos(\omega_c t + \varphi) \quad (5.13)$$

în care A este amplitudinea, φ este faza iar $\omega_c = 2\pi/T_c$ este pulsația oscilației întreținute de perioadă T_c . Această perioadă poate avea diferite valori, dar ea trebuie corelată cu perioada de eșantionare T . Dacă abaterea este sinusoidală de perioadă T_c , atunci între cele două perioade există relația:

$$T_c = nT \quad (5.14)$$

în care n este un număr întreg pozitiv, care, conform teoremei eșantionării [58], trebuie să fie cel puțin egal cu 2. Așadar:

$$n=2,3,4,\dots \quad (5.15)$$

Considerînd cunoscute funcția de descriere discretă $N(z)$ și funcția de transfer în z a părții liniare $G(z)$, funcția de transfer a sistemului în circuit închis este:

$$Y(z) = \frac{E(z)}{I(z)} = \frac{N(z) \cdot G(z)}{1 + N(z) \cdot G(z)} \quad (5.16)$$

în care $E(z)$, $I(z)$ sînt transformatele z a semnalului de ieșire, respectiv intrare.

Studiul stabilității sistemului cu eșantionare neliniară se reduce la cercetarea numitorului funcției $Y(z)$, adică a ecuației:

$$G(z) = - \frac{1}{N(z)} \quad (5.17)$$

care dă perioadele T de instabilitate a SPMPP pentru valori date ale parametrilor: ω_0 , ζ , η , K_a .

5.3.1. Deducerea funcției de descriere discretă

Deoarece perioada oscilației întretinute T_c este un multiplu întreg al perioadei de eșantionare T , în deducerea lui $N(z)$ se iau în considerare numai perioadele T .

Funcția $A(z)$ se obține aplicînd transformata z asupra expresiei lui $a(t)$, scrisă sub forma:

$$a(t) = A(\cos \omega_c t \cos \varphi - \sin \omega_c t \sin \varphi) \quad (5.18)$$

rezultînd expresia:

$$A(z) = \frac{A \cdot z}{z^2 - 2z \cos \omega_c T + 1} \left[(z - \cos \omega_c T) \cos \varphi - \sin \omega_c T \sin \varphi \right] \quad (5.19)$$

unde $\omega_c = 2\pi/nT$, ($n=2,3,\dots$).

Durata eșantionării p fiind infinitezimală, rezultă că mărirea de ieșire a releului $m(t)$ va fi un tren de impulsuri unitare avînd o distribuție în timp dependentă de valoarea lui n .

Se vor lua pe rînd valorile $n = 2, 3, 4, 6, 8$ și se vor deduce pentru fiecare funcțiile $Q(z) = -1/N(z)$ necesare studierii stabilității.

a) Cazul $T_c = 2T$

În figura 5.10 sînt reprezentate variațiile mărimilor de intrare și ieșire a releului. Pentru simplificare s-a renunțat la plasarea pe desen a pragului η .

Impulsurile $m(t)$ apar cînd $p(t) = 1$ și $|a(t)| > \eta$. În funcție de defazajul φ , distribuția periodică în timp a impulsurilor la ieșirea releului poate fi modificată. În [58] se arată că domeniul de variație a lui φ , semnificativ pentru distribuția impulsurilor $m(t)$ este:

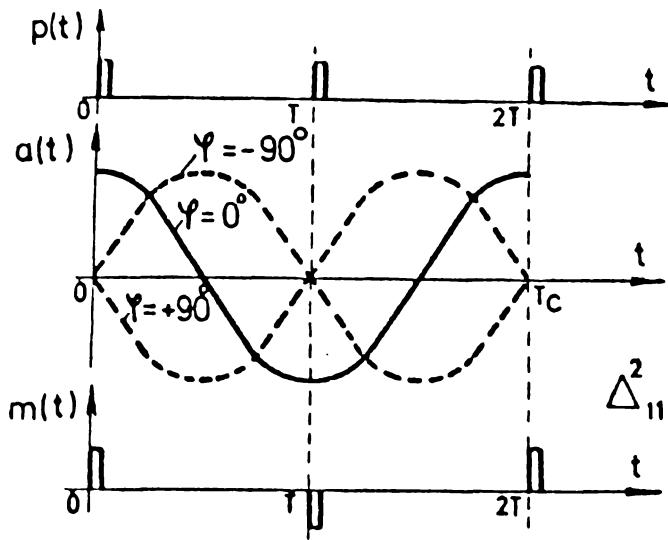


Fig. 5.10. Autooscilațiile în cazul $T_c = 2T$.

Conform celor arătate, pentru $T_c = 2T$, $\Delta\varphi = \pi(-90^\circ \dots +90^\circ)$. Pentru ca la $t=0$ să existe impuls la ieșire trebuie ca:

$$A \cos(\omega_c t + \varphi) = A \cos \varphi > \eta$$

de unde rezultă:

$$A_{\min} = \frac{\eta}{\cos \varphi}, \quad -90^\circ \leq \varphi \leq +90^\circ \quad (5.21)$$

iar valoarea maximă a amplitudinii poate fi oricît de mare:

$$A_{\max} = \infty \quad (5.22)$$

Trenul de impulsuri de la ieșirea releului este descris de funcția:

$$m(t) = m^*(t) = \sum_{k=0}^{\infty} (-1)^k \delta(t-kT) \quad (5.23)$$

$\delta(t-kT)$ fiind impulsuri unitare (Dirac). Rezultă:

$$M^*(s) = \frac{1}{1 + e^{-sT}} \quad (5.24)$$

și după înlocuirea $z = e^{sT}$ rezultă:

$$M(z) = \frac{z}{z + 1} \quad (5.25)$$

Cunoscînd că $\omega_c T = 2\pi/T_c \cdot T_c/2 = \pi$, expresia (5.19) devine:

$$A(z) = \frac{A \cdot z \cdot \cos \varphi}{z + 1} \quad (5.26)$$

Cu expresiile (5.25) și (5.26) rezultă inversa negativă a funcției de descriere discretă:

$$Q(z) = -\frac{1}{N(z)} = -\frac{A(z)}{M(z)} = -A \cos \varphi \quad (5.27)$$

expresie care nu depinde de z , prin urmare faza θ a funcției $Q(z)$ este constantă și egală cu -180° . Prin combinarea relațiilor (5.21),

$$\begin{aligned} \Delta\varphi &= \frac{2\pi}{n} \quad (\text{pentru } n \text{ par}) \\ \Delta\varphi &= \frac{\pi}{n} \quad (\text{pentru } n \text{ impar}) \end{aligned} \quad (5.20)$$

De asemenea, pentru o distribuție $m(t)$ dată, amplitudinea A se încadrează între două limite, ceea ce arată că în locul unei singure funcții $Q(z)$, va exista o familie delimitată de valoarea lui A ($A_{\min} \leq A \leq A_{\max}$). Domeniul plan cuprins între aceste limite se numește regiune critică.

(5.22) cu (5.27) rezultă expresiile definitorii ale regiunilor critice pentru cazul $T_c = 2T$:

$$\begin{aligned} Q(z) \Big|_{\min} &= -\eta \\ Q(z) \Big|_{\max} &= -\infty \\ \Phi &= -180^\circ \end{aligned} \quad (5.28)$$

Se adoptă în continuare pentru acest caz simbolul Δ_{11}^2 , indicii 11 de jos arătînd că în $m(t)$ un impuls pozitiv urmează cu un impuls negativ, iar indicele 2 de sus, că $n=2$.

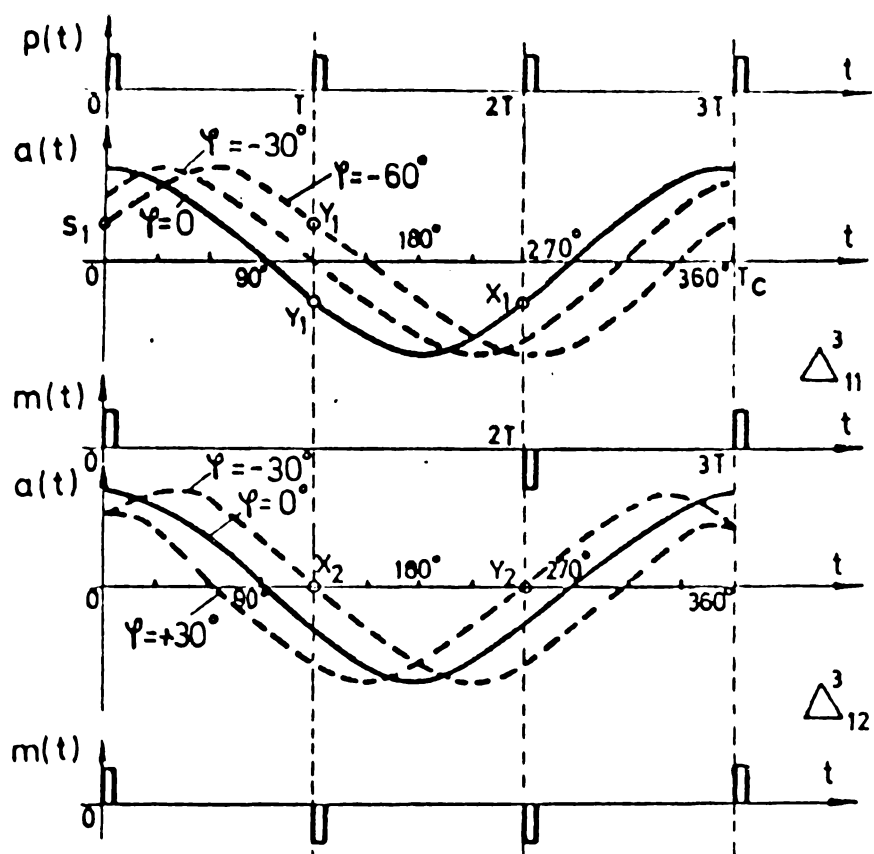


Fig.5.11. Autooscilațiile sistemului pentru cazul $T_c=3T$.

amplitudinii sînt:

$$\begin{aligned} A_{\min} &= \frac{\eta}{\cos\varphi}, \quad \varphi = -60^\circ \dots -30^\circ \text{ (punctul } S_1) \\ A_{\min} &= \frac{\eta}{|\cos(240^\circ + \varphi)|}, \quad \varphi = -30^\circ \dots 0^\circ \text{ (punctul } X_1) \\ A_{\max} &= \frac{\eta}{|\cos(120^\circ + \varphi)|}, \quad \varphi = -60^\circ \dots 0^\circ \text{ (punctele } Y_1) \end{aligned} \quad (5.29)$$

Transformata Laplace discretă a funcției $m(t)$ este suma funcțiilor corespunzătoare trenurilor de impulsuri pozitive și negative:

$$\begin{aligned} S_1 &= 1 + e^{-3sT} + e^{-6sT} + \dots = \frac{1}{1 - e^{-3sT}} \\ S_2 &= -e^{-2sT} - e^{-5sT} - \dots = \frac{-e^{-2sT}}{1 - e^{-3sT}} \end{aligned}$$

b) Cazul $T_c = 3T$

Pot apărea două variante de distribuții de impulsuri la ieșirea rețelei:

Δ_{11}^3 - un impuls pozitiv alternativ cu unul negativ;

Δ_{12}^3 - un impuls pozitiv alternativ cu două negative.

Din motive de periodicitate varianta Δ_{21}^3 este identică cu Δ_{12}^3 .

Varianta Δ_{11}^3 este reprezentată în figura 5.11.

În acest caz $\Delta\varphi = \frac{\pi}{3}$ ($-60^\circ \dots 0^\circ$), iar limitele

de unde:

$$M^*(s) = S_1 + S_2 = \frac{1 + e^{-sT}}{1 + e^{-sT} + e^{-2sT}} \quad (5.30)$$

și după înlocuirea $z = e^{sT}$ rezultă:

$$M(z) = \frac{z(z+1)}{z^2 + z + 1} \quad (5.31)$$

Calculând expresia $A(z)$ pentru $\omega_c T = 120^\circ$ și înlocuind în (5.19) rezultă:

$$Q(z) = -\frac{A}{z+1} \left[\left(z + \frac{1}{2}\right) \cos \varphi - \frac{\sqrt{3}}{2} \sin \varphi \right] \quad (5.32)$$

Înlocuind $z = e^{j\omega_c T} = e^{j120^\circ} = -\frac{1}{2} + j\frac{\sqrt{3}}{2}$, se obține:

$$Q(z) = \frac{\sqrt{3}}{2} A_0 j(-150^\circ + \varphi) \quad (5.33)$$

Cu ajutorul limitărilor (5.29) se pot scrie pentru varianta Δ_{11}^3 expresiile aferente regiunilor critice:

$$\begin{aligned} |Q(z)|_{\min} &= \frac{\sqrt{3}}{2} \frac{\eta}{\cos \varphi}, & \varphi &= -60^\circ \dots -30^\circ \\ |Q(z)|_{\min} &= \frac{\sqrt{3}}{2} \frac{\eta}{|\cos(240^\circ + \varphi)|}, & \varphi &= -30^\circ \dots 0^\circ \\ |Q(z)|_{\max} &= \frac{\sqrt{3}}{2} \frac{\eta}{|\cos(120^\circ + \varphi)|}, & \varphi &= -60^\circ \dots 0^\circ \\ \Phi_{\Delta_{11}^3} &= -150^\circ + \varphi, & \varphi &= -60^\circ \dots 0^\circ \end{aligned} \quad (5.34)$$

Varianta Δ_{12}^3 este reprezentată tot în figura 5.11. Limitările amplitudinii A sînt:

$$\begin{aligned} A_{\min} &= \frac{\eta}{|\cos(240^\circ + \varphi)|}, & \varphi &= 0^\circ \dots +30^\circ \text{ (punctul } Y_2) \\ A_{\min} &= \frac{\eta}{|\cos(120^\circ + \varphi)|}, & \varphi &= -30^\circ \dots 0^\circ \text{ (punctul } X_2) \\ A_{\max} &= \infty \end{aligned} \quad (5.35)$$

Funcția $M^*(s)$ se obține similar:

$$M^*(s) = \frac{1 - e^{-sT} - e^{-2sT}}{1 - e^{-3sT}} \quad (5.36)$$

din care se obține $M(z)$ prin înlocuirea $z = e^{sT}$:

$$M(z) = \frac{z(z^2 - z - 1)}{z^3 - 1} \quad (5.37)$$

Corespunzător se exprimă:

$$Q(z) = \frac{3}{4} A e^{\bar{j}(-180^\circ + \varphi)} \quad (5.38)$$

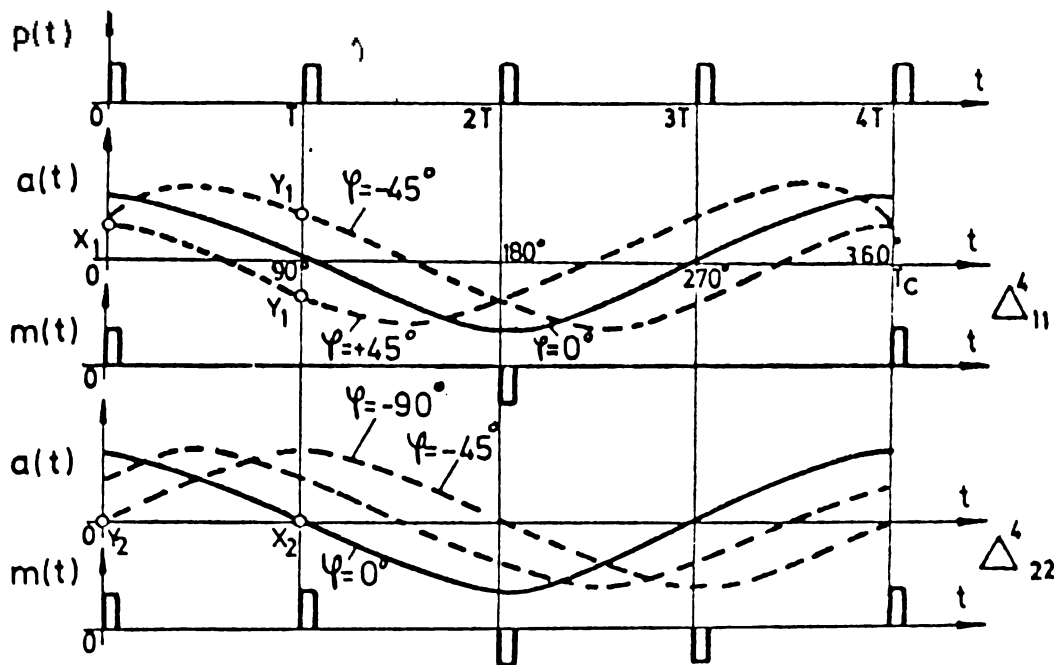
Varianta $\Delta_{12}^3 \equiv \Delta_{21}^3$ se poate exprima așadar prin relațiile:

$$|Q(z)|_{\min} = \frac{3}{4} \frac{\eta}{|\cos(120^\circ + \varphi)|}, \quad \varphi = -30^\circ \dots 0^\circ$$

$$|Q(z)|_{\min} = \frac{3}{4} \frac{\eta}{|\cos(240^\circ + \varphi)|}, \quad \varphi = 0^\circ \dots +30^\circ \quad (5.39)$$

$$|Q(z)|_{\max} = \infty$$

$$\Phi_{\Delta_{12}^3} = -180^\circ + \varphi, \quad \varphi = -30^\circ \dots +30^\circ$$



Data fiind cunoscută metodologia de obținere a inversei negative a funcției de descriere discrete $Q(z)$, pentru cazurile următoare ($n = 4, 6, 8$) se vor prezenta direct rezultatele.

c) Cazul $T_c = 4T$
(fig. 5.12)

Fig. 5.12. Autooscilațiile în cazul $T_c = 4T$.

Varianta Δ_{11}^4

$$A_{\min} = \frac{\eta}{\cos \varphi}, \quad \varphi = -45^\circ \dots +45^\circ \quad (\text{punctul } X_1) \quad (5.40)$$

$$A_{\max} = \frac{\eta}{|\cos(90^\circ + \varphi)|} = \frac{\eta}{|\sin \varphi|}, \quad \varphi = -45^\circ \dots +45^\circ \quad (\text{punctul } Y_1)$$

$$M^*(s) = \frac{1}{1 + e^{-2sT}} \quad (5.41)$$

$$M(z) = \frac{z^2}{z^2 + 1} \quad (5.42)$$

iar cu $\omega_c T = 90^\circ$ și $z = e^{\bar{j}\omega_c T} = +j$, rezultă:

$$Q(z) = Ae^{\bar{j}(-180^\circ + \varphi)} \quad (5.43)$$

Varianta Δ_{22}^4

$$A_{\min} = \frac{\eta}{\cos \varphi}, \quad \varphi = -90^\circ \dots -45^\circ \quad (\text{punctul } Y_2)$$

$$A_{\min} = \frac{\eta}{|\sin \varphi|}, \quad \varphi = -45^\circ \dots 0^\circ \quad (\text{punctul } X_2) \quad (5.44)$$

$$A_{\max} = \infty$$

$$M^*(s) = \frac{1 + e^{-sT}}{1 + e^{-2sT}} \quad (5.45)$$

$$M(z) = \frac{z(z+1)}{z^2+1} \quad (5.46)$$

$$Q(z) = \sqrt{2} Ae^{\bar{j}(-135^\circ + \varphi)} \quad (5.47)$$

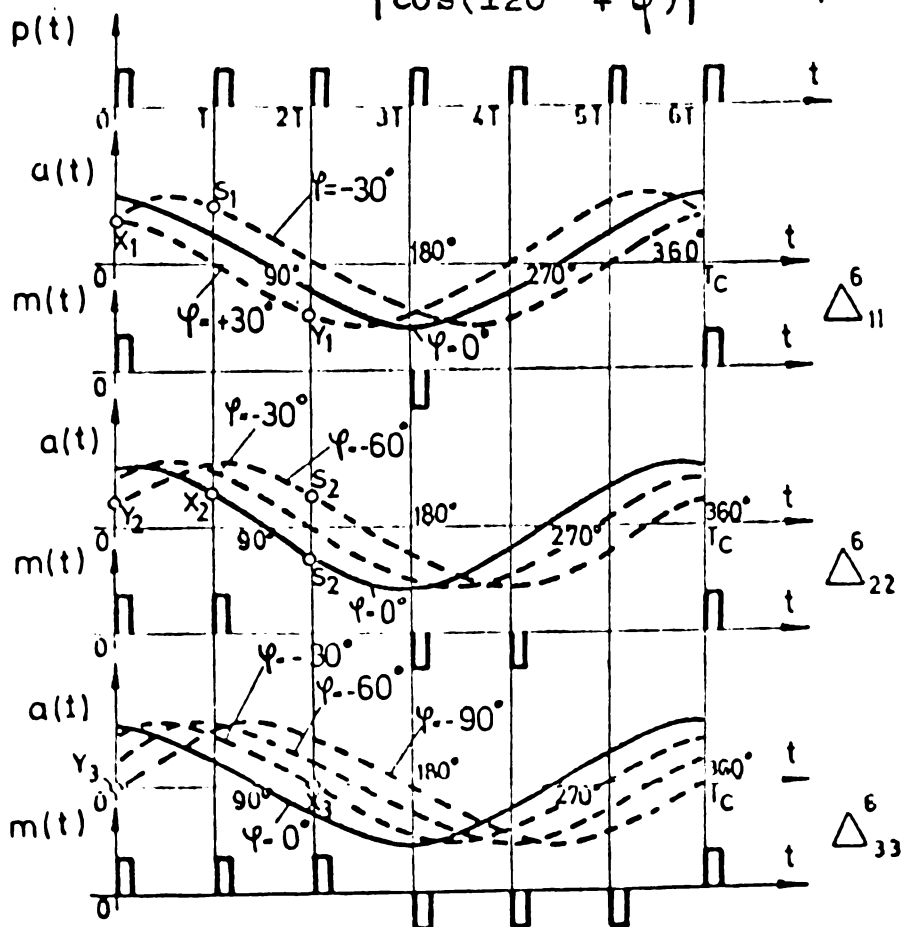
d) Cazul $T_c = 6T$ (fig.5.13)

Varianta Δ_{11}^6

$$A_{\min} = \frac{\eta}{\cos \varphi}, \quad \varphi = -30^\circ \dots +30^\circ \quad (\text{punctul } X_1)$$

$$A_{\max} = \frac{\eta}{\cos(60^\circ + \varphi)}, \quad \varphi = -30^\circ \dots 0^\circ \quad (\text{punctul } S_1) \quad (5.48)$$

$$A_{\max} = \frac{\eta}{|\cos(120^\circ + \varphi)|}, \quad \varphi = 0^\circ \dots +30^\circ \quad (\text{punctul } Y_1)$$



$$M^*(s) = \frac{1}{1 + e^{-3sT}} \quad (5.49)$$

$$M(z) = \frac{z^3}{z^3 + 1} \quad (5.50)$$

$$\omega_c T = 60^\circ,$$

$$z = e^{\bar{j}60^\circ} = \frac{1}{2} + \bar{j} \frac{\sqrt{3}}{2}$$

$$Q(z) = \frac{3}{2} Ae^{\bar{j}(-180^\circ + \varphi)} \quad (5.51)$$

Fig.5.13. Autooscilațiile în cazul $T_c = 6T$.

Varianta Δ_{22}^6

$$A_{\min} = \frac{\eta}{\cos\varphi}, \quad \varphi = -60^\circ \dots -30^\circ \text{ (punctul } Y_2)$$

$$A_{\min} = \frac{\eta}{\cos(60^\circ + \varphi)}, \quad \varphi = -30^\circ \dots 0^\circ \text{ (punctul } X_2) \quad (5.52)$$

$$A_{\max} = \frac{\eta}{|\cos(120^\circ + \varphi)|}, \quad \varphi = -60^\circ \dots 0^\circ \text{ (punctele } S_2)$$

$$M^*(s) = \frac{1 + e^{-sT}}{1 + e^{-4sT}} \quad (5.53)$$

$$M(z) = \frac{z^3(z+1)}{z^4+1} \quad (5.54)$$

$$Q(z) = \frac{\sqrt{3}}{2} A e^{\bar{j}(-150^\circ + \varphi)} \quad (5.55)$$

Varianta Δ_{33}^6

$$A_{\min} = \frac{\eta}{\cos\varphi}, \quad \varphi = -90^\circ \dots -60^\circ \text{ (punctul } Y_3)$$

$$A_{\min} = \frac{\eta}{|\cos(120^\circ + \varphi)|}, \quad \varphi = -60^\circ \dots -30^\circ \text{ (punctul } X_3)$$

$$A_{\max} = \infty \quad (5.56)$$

$$M^*(s) = \frac{1 + e^{-sT} + e^{-2sT}}{1 + e^{-3sT}} \quad (5.57)$$

$$M(z) = \frac{z(z^2 + z + 1)}{z^3 + 1} \quad (5.58)$$

$$Q(z) = \frac{3}{4} A e^{\bar{j}(-120^\circ + \varphi)} \quad (5.59)$$

e) Cazul $T_c = 8T$ (fig. 5.14)

$$A_{\min} = \frac{\eta}{\cos\varphi}, \quad \varphi = -22,5^\circ \dots +22,5^\circ \text{ (punctul } X_1)$$

$$A_{\max} = \frac{\eta}{\cos(45^\circ + \varphi)}, \quad \varphi = -22,5^\circ \dots 0^\circ \text{ (punctul } Y_1) \quad (5.60)$$

$$A_{\max} = \frac{\eta}{|\cos(135^\circ + \varphi)|}, \quad \varphi = 0^\circ \dots +22,5^\circ \text{ (punctul } S_1)$$

$$M^*(u) = \frac{1}{1 + e^{-4uT}} \quad (5.61)$$

$$M(z) = \frac{z^4}{z^4 + 1} \quad (5.62)$$

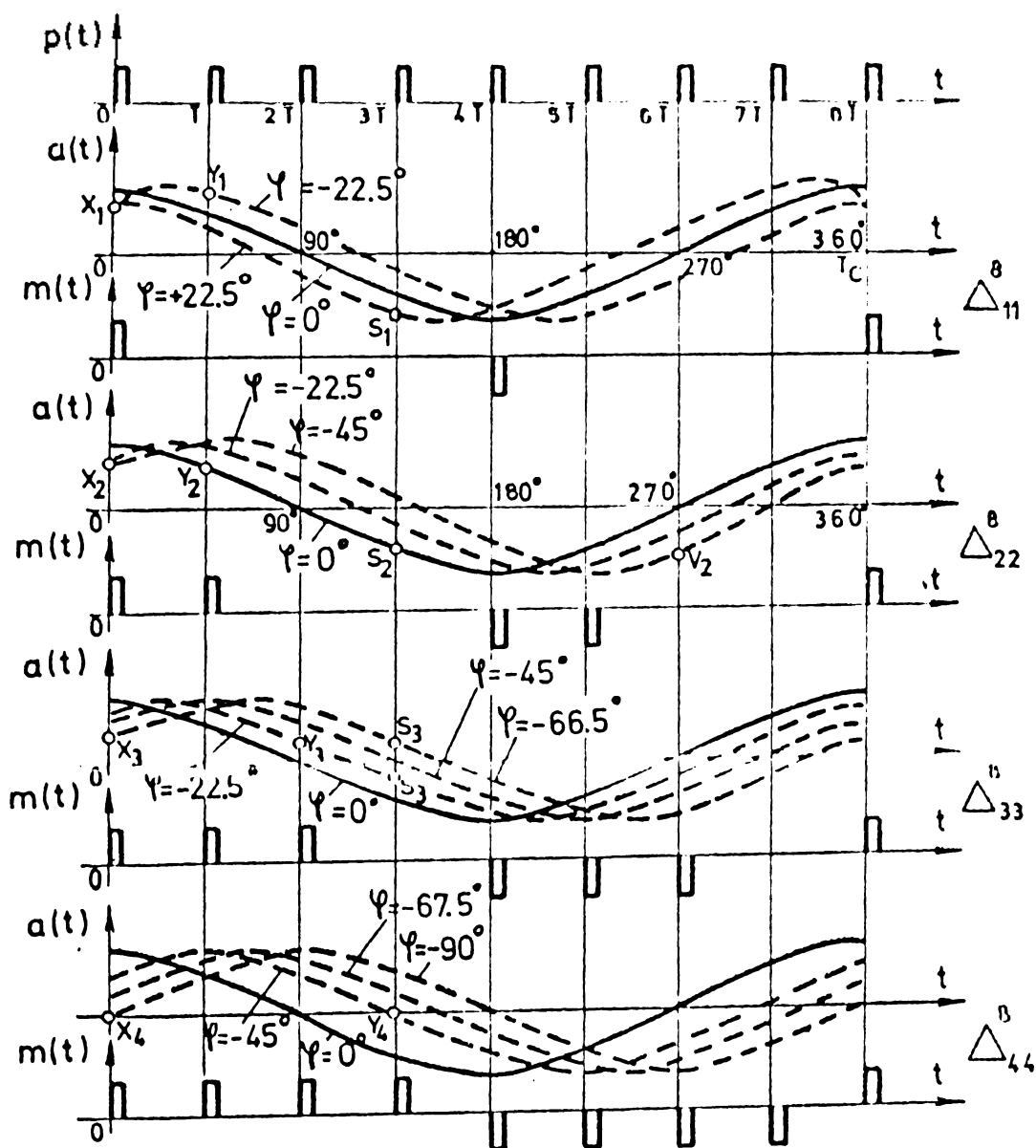


Fig.5.14. Autooscilațiile în cazul $T_c = 8T$.

Pentru cazul $T_c = 8T$: $\omega_c T = 45^\circ$, $z = e^{\bar{j}45^\circ} = \frac{\sqrt{2}}{2} + \bar{j} \frac{\sqrt{2}}{2}$.

$$Q(z) = A_0 \bar{j}(-180^\circ + \varphi) \quad (5.63)$$

Varianta Δ^8_{22}

$$A_{\min} = \frac{\eta}{\cos \varphi}, \quad \varphi = -45^\circ \dots -22,5^\circ (\text{punctul } X_2)$$

$$A_{\min} = \frac{\eta}{\cos(45^\circ + \varphi)}, \quad \varphi = -22,5^\circ \dots 0^\circ (\text{punctul } Y_2) \quad (5.64)$$

$$A_{\max} = \frac{\eta}{|\cos(135^\circ + \varphi)|}, \quad \varphi = -22,5^\circ \dots 0^\circ (\text{punctul } S_2)$$

$$A_{\max} = \frac{\eta}{|\cos(270^\circ + \varphi)|}, \quad \varphi = -45^\circ \dots -22,5^\circ (\text{punctul } V_2)$$

$$M^*(s) = \frac{1 + e^{-sT}}{1 + e^{-4sT}} \quad (5.65)$$

$$M(z) = \frac{z^3(z+1)}{z^4+1} \quad (5.66)$$

$$Q(z) = \frac{A}{\sqrt{2+\sqrt{2}}} e^{\bar{j}(-157,5^\circ+\varphi)} \quad (5.67)$$

Varianta Δ_{33}^8

$$A_{\min} = \frac{\eta}{\cos\varphi}, \quad \varphi = -67,5^\circ \dots -45^\circ \text{ (punctul } X_3)$$

$$A_{\min} = \frac{\eta}{\cos(90^\circ+\varphi)}, \quad \varphi = -45^\circ \dots -22,5^\circ \text{ (punctul } Y_3) \quad (5.68)$$

$$A_{\max} = \frac{\eta}{|\cos(135^\circ+\varphi)|}, \quad \varphi = -67,5^\circ \dots -22,5^\circ \text{ (punctul } S_3)$$

$$M^*(s) = \frac{1+e^{-sT} + e^{-2sT}}{1 + e^{-4sT}} \quad (5.69)$$

$$M(z) = \frac{z^2(z^2+z+1)}{z^4+1} \quad (5.70)$$

$$Q(z) = \frac{A}{1+\sqrt{2}} e^{\bar{j}(-135^\circ+\varphi)} \quad (5.71)$$

Varianta Δ_{44}^8

$$A_{\min} = \frac{\eta}{\cos\varphi}, \quad \varphi = -90^\circ \dots -67,5^\circ \text{ (punctul } X_4)$$

$$A_{\min} = \frac{\eta}{|\cos(135^\circ+\varphi)|}, \quad \varphi = -67,5^\circ \dots -45^\circ \text{ (punctul } Y_4)$$

$$A_{\max} = \infty \quad (5.72)$$

$$M^*(s) = \frac{1+e^{-sT} + e^{-2sT} + e^{-3sT}}{1 + e^{-4sT}} \quad (5.73)$$

$$M(z) = \frac{z(z^3+z^2+z+1)}{z^4+1} \quad (5.74)$$

$$Q(z) = \frac{A}{\sqrt{4+2\sqrt{2}}} e^{\bar{j}(-112,5^\circ+\varphi)} \quad (5.75)$$

5.3.2. Deducerea funcției de transfer în z a părții liniare

Funcția de transfer în s a părții liniare a sistemului automat, avînd expresia (5.1), se mai poate scrie:

$$G(s) = \frac{K_a \omega_0^2}{s(s^2 + 2\zeta\omega_0 s + \omega_0^2)} = \frac{K_a \omega_0^2}{s[(s+\alpha)^2 + \beta^2]} \quad (5.76)$$

Din tabelul transformatelor z [58] se deduce:

$$G(z) = \frac{K_a \omega_c^2}{\alpha^2 + \beta^2} \left[\frac{z}{z-1} - \frac{z^2 - ze^{-\alpha T} \sec \delta \cos(\beta T + \delta)}{z^2 - 2ze^{-\alpha T} \cos \beta T + e^{-2\alpha T}} \right] =$$

$$= K_a \left[\frac{z}{z-1} - \frac{z^2 - ze^{-\alpha T} \sec \delta \cos(\beta T + \delta)}{z^2 - 2ze^{-\alpha T} \cos \beta T + e^{-2\alpha T}} \right] \quad (5.77)$$

în care α, β și δ s-au definit în (5.9).

În expresia (5.77) $z = e^{j\omega_c T}$, deci poate lua valorile indicate în tabelul 5.1.

Tabelul 5.1

n	2	3	4	6	8
$\omega_c T$	180°	120°	90°	60°	45°
$z=x+jy$	$-1+j0$	$-\frac{1}{2} + j\frac{\sqrt{3}}{2}$	$0+j1$	$\frac{1}{2} + j\frac{\sqrt{3}}{2}$	$\frac{\sqrt{2}}{2} + j\frac{\sqrt{2}}{2}$

Pentru a fi practică, în expresia $G(z)$ trebuie despărțite partea reală de partea imaginară. Efectuând calculele asupra expresiei (5.77) se obțin:

$$\operatorname{Re} G = K_a \left[\frac{x(x-1) + y^2}{(x-1)^2 + y^2} - \frac{ac + bd}{c^2 + d^2} \right]$$

$$\operatorname{Im} G = K_a \left[\frac{-y}{(x-1)^2 + y^2} - \frac{bc - ad}{c^2 + d^2} \right] \quad (5.78)$$

în care x, y, a, b, c, d au semnificațiile:

$$z = x + jy$$

$$a = x^2 - y^2 - x \frac{e^{-\alpha T} \cos(\beta T + \delta)}{\cos \delta}$$

$$b = 2xy - y \frac{e^{-\alpha T} \cos(\beta T + \delta)}{\cos \delta} \quad (5.79)$$

$$c = x^2 - y^2 - 2xe^{-\alpha T} \cos \beta T + e^{-2\alpha T}$$

$$d = 2xy - 2ye^{-\alpha T} \cos \beta T.$$

5.3.3. Determinarea stabilității sistemului

Considerațiile făcute anterior asupra stabilității s-au rezumat la cercetarea ecuației (5.17). Rezolvarea acestei ecuații pentru $T = 0 \dots \infty$ se va face pe cale grafică, utilizând planul atenuare-fază. Punctele de intersecție între curbele $G(z)$ și $Q(z)$ vor

da perioadele T la care sistemul automat este instabil.

Funcția complexă $G(z)$ este reprezentată în planul atenuare-fază prin funcțiile:

$$G^{dB} = 10 \log \left[(\operatorname{Re} G)^2 + (\operatorname{Im} G)^2 \right] \quad (5.80)$$

$$\Phi_G = \operatorname{arctg} \frac{\operatorname{Im} G}{\operatorname{Re} G} \quad (5.81)$$

și au ca parametru perioada de eșantionare T cuprinsă între 0 și ∞ .

Inversa negativă a funcției de descriere discretă $Q(z)$ nu depinde de T , ci de faza φ a oscilațiilor de la intrarea în eșantionatorul ideal. În planul atenuare-fază regiunile critice se definesc prin funcții de forma:

$$Q^{dB} = 20 \log \frac{v_1 \eta}{|\cos(\tau_1 + \varphi)|} \quad (5.82)$$

$$\Phi_Q = \tau_1 + \varphi \quad (5.83)$$

în care φ variază între două valori dependente de varianta de distribuție în timp a impulsurilor la ieșirea releului (notată cu Δ_{ij}^n) iar v_1 , τ_1 și η depind de asemenea de varianta Δ_{ij}^n .

Ținând seama de limitările amplitudinii A , se scriu funcțiile de forma (5.82) și (5.83) reprezentative pentru cazurile tratate $T_c = nT$ ($n=2,3,4,6,8$), redată în tabelul 5.2.

Valoarea pragului de insensibilitate η , pentru toate cazurile, se va lua egală cu unitatea, ceea ce corespunde la $2/\pi \cdot 100\% = 63,7\%$ din pasul electric al MPP.

Calculul și trasarea curbelor G^{dB} și Q^{dB} în planul atenuare-fază s-a făcut cu ajutorul unui calculator tip Hewlett Packard 9820. Un exemplu de interpretare a rezultatelor se prezintă în figura 5.15 pentru $T_c = 4T$ și $\zeta = 0,1$.

Se observă că G^{dB} intersectează regiunile critice Q^{dB} pentru diferite valori ale perioadei de eșantionare T : 1,2 ... 1,35 ms, 3,6 ... 4 ms, 5,75 ... 6,3 ms, care corespund unor frecvențe de comandă a MPP, f , respectiv: 833 ... 742 imp/s, 278 ... 250 imp/s, 174 ... 159 imp/s, la care sistemul automat este instabil. În aceste cazuri în răspunsul sistemului apar oscilații întreținute de perioadă $T_c = 4T$.

Dacă regiunile critice s-ar situa mai sus cu distanța $CD = 14$ dB, sistemul ar fi absolut stabil pentru orice T , pentru $\zeta = 0,1$. Cu ajutorul relației (5.82) rezultă valoarea optimă a pragului de insensibilitate:



Tabelul 5.2

n	Δ_{11}^n	Q_{min}^{dB}	Q_{max}^{dB}	ϕ^{rad}
2	Δ_{11}^2	$20 \log 1$	∞	$-\pi$
3	Δ_{11}^3	$20 \log \frac{\sqrt{2}}{2 \cos \varphi}$ ($\varphi = -\frac{\pi}{3} \dots -\frac{\pi}{6}$)	$20 \log \frac{\sqrt{2}}{2 \cos(\frac{2\pi}{3} + \varphi) }$ ($\varphi = -\frac{\pi}{3} \dots 0$)	$-\frac{5\pi}{6} + \varphi$ ($\varphi = -\frac{\pi}{3} \dots 0$)
		$20 \log \frac{\sqrt{2}}{2 \cos(\frac{4\pi}{3} + \varphi) }$ ($\varphi = -\frac{\pi}{3} \dots 0$)	∞	$-\pi + \varphi$ ($\varphi = -\frac{\pi}{3} \dots +\frac{\pi}{6}$)
	Δ_{12}^3	$20 \log \frac{2}{4 \cos(\frac{2\pi}{3} + \varphi) }$ ($\varphi = -\frac{\pi}{3} \dots 0$)	∞	$-\pi + \varphi$ ($\varphi = -\frac{\pi}{3} \dots +\frac{\pi}{6}$)
4	Δ_{11}^4	$20 \log \frac{1}{\cos \varphi}$ ($\varphi = -\frac{\pi}{4} \dots +\frac{\pi}{4}$)	$20 \log \frac{1}{ \sin \varphi }$ ($\varphi = -\frac{\pi}{4} \dots +\frac{\pi}{4}$)	$-\pi + \varphi$ ($\varphi = -\frac{\pi}{4} \dots +\frac{\pi}{4}$)
		$20 \log \frac{\sqrt{2}}{\cos \varphi}$ ($\varphi = -\frac{\pi}{4} \dots -\frac{\pi}{8}$)	∞	$-\frac{3\pi}{4} + \varphi$ ($\varphi = -\frac{\pi}{4} \dots 0$)
	Δ_{22}^4	$20 \log \frac{1}{\cos \varphi}$ ($\varphi = -\frac{\pi}{4} \dots 0$)	∞	$-\frac{3\pi}{4} + \varphi$ ($\varphi = -\frac{\pi}{4} \dots 0$)
6	Δ_{11}^6	$20 \log \frac{1}{2 \cos \varphi}$ ($\varphi = -\frac{\pi}{6} \dots +\frac{\pi}{6}$)	$20 \log \frac{1}{2 \cos(\frac{\pi}{3} + \varphi)}$ ($\varphi = -\frac{\pi}{6} \dots 0$)	$-\pi + \varphi$ ($\varphi = -\frac{\pi}{6} \dots +\frac{\pi}{6}$)
		$20 \log \frac{1}{2 \cos(\frac{2\pi}{3} + \varphi) }$ ($\varphi = 0 \dots +\frac{\pi}{6}$)	∞	$-\frac{5\pi}{6} + \varphi$ ($\varphi = -\frac{\pi}{6} \dots 0$)
	Δ_{22}^6	$20 \log \frac{\sqrt{2}}{2 \cos \varphi}$ ($\varphi = -\frac{\pi}{6} \dots -\frac{\pi}{12}$)	$20 \log \frac{\sqrt{2}}{2 \cos(\frac{\pi}{3} + \varphi) }$ ($\varphi = -\frac{\pi}{6} \dots 0$)	$-\frac{5\pi}{6} + \varphi$ ($\varphi = -\frac{\pi}{6} \dots 0$)

Tabelul 5.2
(continue)

n	Δ_{11}^n	Q_{min}^{dB}	Q_{max}^{dB}	ϕ^{rad}
6	Δ_{33}^6	$20 \log \frac{1}{4 \cos \varphi}$ ($\varphi = -\frac{\pi}{2} \dots -\frac{\pi}{3}$)	∞	$-\frac{2\pi}{3} + \varphi$ ($\varphi = -\frac{\pi}{2} \dots -\frac{\pi}{3}$)
		$20 \log \frac{1}{4 \cos(\frac{2\pi}{3} + \varphi) }$ ($\varphi = -\frac{\pi}{2} \dots -\frac{\pi}{6}$)	∞	$-\frac{2\pi}{3} + \varphi$ ($\varphi = -\frac{\pi}{2} \dots -\frac{\pi}{6}$)
8	Δ_{11}^8	$20 \log \frac{1}{\cos(\frac{\pi}{4} + \varphi)}$ ($\varphi = -\frac{\pi}{8} \dots 0$)	$20 \log \frac{1}{ \cos(\frac{3\pi}{4} + \varphi) }$ ($\varphi = 0 \dots +\frac{\pi}{8}$)	$-\pi + \varphi$ ($\varphi = -\frac{\pi}{8} \dots +\frac{\pi}{8}$)
		$20 \log \frac{1}{\cos \varphi}$ ($\varphi = -\frac{\pi}{8} \dots +\frac{\pi}{8}$)	∞	$-\pi + \varphi$ ($\varphi = -\frac{\pi}{8} \dots +\frac{\pi}{8}$)
8	Δ_{22}^8	$20 \log \frac{1}{\sqrt{2 + \sqrt{2}} \cos \varphi}$ ($\varphi = -\frac{\pi}{4} \dots -\frac{\pi}{8}$)	$20 \log \frac{1}{\sqrt{2 - \sqrt{2}} \cos(\frac{3\pi}{4} + \varphi) }$ ($\varphi = -\frac{\pi}{4} \dots -\frac{\pi}{8}$)	$-\frac{7\pi}{8} + \varphi$ ($\varphi = -\frac{\pi}{4} \dots 0$)
		$20 \log \frac{1}{\sqrt{2 + \sqrt{2}} \cos(\frac{\pi}{4} + \varphi)}$ ($\varphi = -\frac{\pi}{8} \dots 0$)	$20 \log \frac{1}{\sqrt{2 - \sqrt{2}} \cos(\frac{5\pi}{4} + \varphi) }$ ($\varphi = -\frac{\pi}{8} \dots 0$)	$-\frac{7\pi}{8} + \varphi$ ($\varphi = -\frac{\pi}{8} \dots 0$)
8	Δ_{33}^8	$20 \log \frac{1}{(1 + \sqrt{2}) \cos \varphi}$ ($\varphi = -\frac{3\pi}{8} \dots -\frac{\pi}{2}$)	$20 \log \frac{1}{(1 + \sqrt{2}) \cos(\frac{3\pi}{4} + \varphi) }$ ($\varphi = -\frac{3\pi}{8} \dots -\frac{\pi}{2}$)	$-\frac{3\pi}{4} + \varphi$ ($\varphi = -\frac{3\pi}{8} \dots -\frac{\pi}{2}$)
		$20 \log \frac{1}{(1 + \sqrt{2}) \cos(\frac{\pi}{4} + \varphi)}$ ($\varphi = -\frac{\pi}{4} \dots -\frac{\pi}{8}$)	$20 \log \frac{1}{(1 + \sqrt{2}) \cos(\frac{5\pi}{4} + \varphi) }$ ($\varphi = -\frac{\pi}{4} \dots -\frac{\pi}{8}$)	$-\frac{3\pi}{4} + \varphi$ ($\varphi = -\frac{\pi}{4} \dots -\frac{\pi}{8}$)
8	Δ_{44}^8	$20 \log \frac{1}{\sqrt{2 + 2\sqrt{2}} \cos \varphi}$ ($\varphi = -\frac{\pi}{2} \dots -\frac{3\pi}{8}$)	∞	$-\frac{5\pi}{8} + \varphi$ ($\varphi = -\frac{\pi}{2} \dots -\frac{3\pi}{8}$)
		$20 \log \frac{1}{\sqrt{4 + 2\sqrt{2}} \cos(\frac{3\pi}{4} + \varphi) }$ ($\varphi = -\frac{3\pi}{8} \dots -\frac{\pi}{2}$)	∞	$-\frac{5\pi}{8} + \varphi$ ($\varphi = -\frac{3\pi}{8} \dots -\frac{\pi}{2}$)

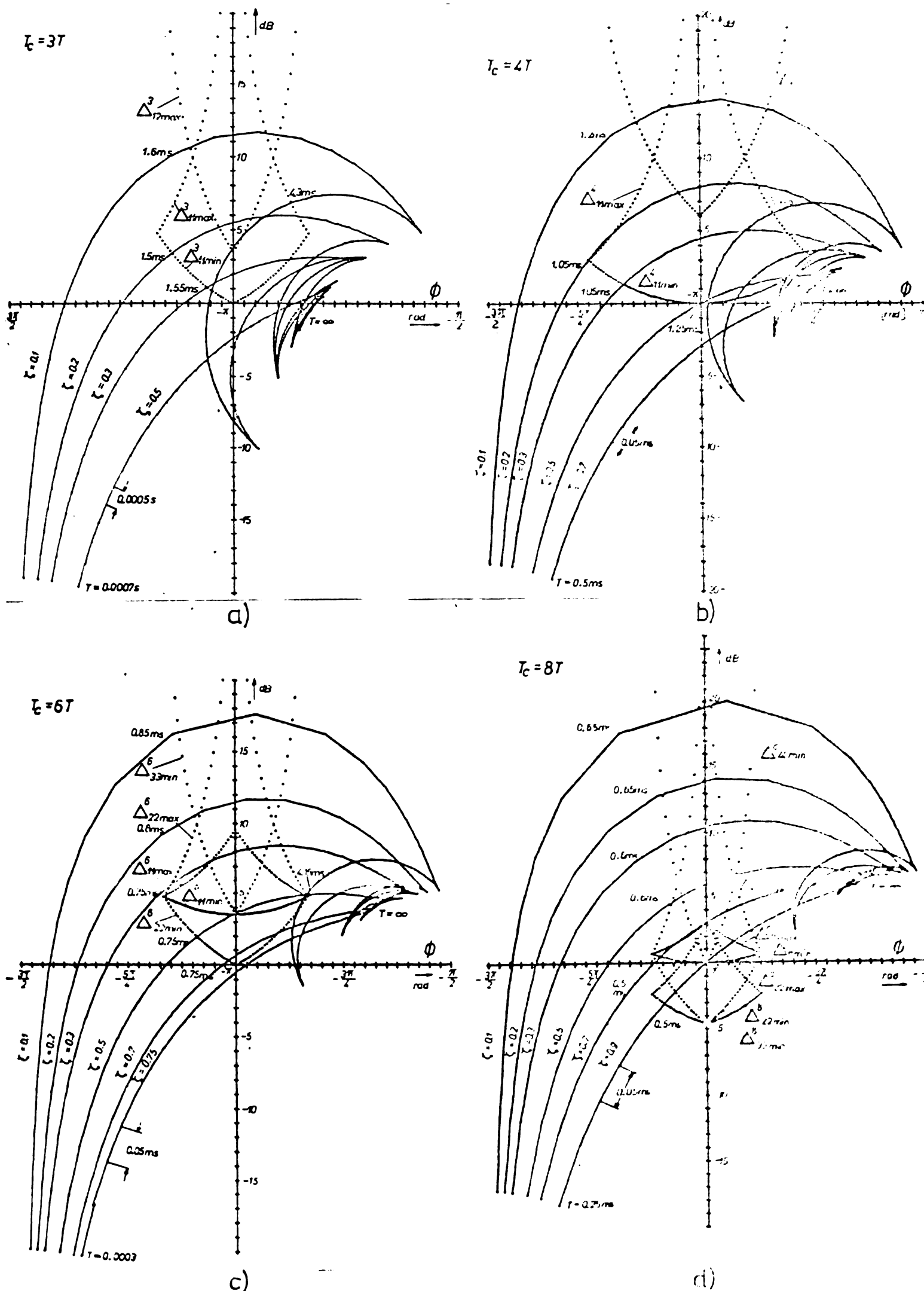


Fig.5.17. Planul atenuare-fază pentru: a- $T_c = 3T$; b- $T_c = 4T$; c- $T_c = 6T$; d- $T_c = 8T$.

Tabloul 5.1

ζ	2			3			4			6			8		
	Z. instab. T [ms]	CD [dB]	η_{opt} θ_e	Z. instab. T [ms]	CD [dB]	η_{opt} θ_e	Z. instab. T [ms]	CD [dB]	η_{opt} θ_e	Z. instab. T [ms]	CD [dB]	η_{opt} θ_e	Z. instab. T [ms]	CD [dB]	η_{opt} θ_e
0,1	2...3 6,5...7,8 11,4...13	13	2,25	1,6 ...1,75 4,3 ...4,65	11,5	2,4	1,2 ...1,35 3,0 ...4 5,75...6	14	3,19	4,15...4,2	17,5	4,0	0,65...0,75	14,1	10,4
0,2	2...3,2 6,8...7,7	6,8	1,39	1,5 ...1,85	5,5	1,2	1,05...1,4 3,65...4,15	8	1,6	0,8 ...0,95	11,5	2,4	0,65...0,75	10,6	5,4
0,3	2...3,4	4,7	1,1	1,55...1,85	2	0,8	1,05...1,55	4,7	1,1	0,75...1	8	1,6	0,6 ...0,75	15	3,58
0,5	2,4...3,3	0,8	0,7	-	abs.st.	-	1,25...1,75	1	0,71	0,75...1,15	3,5	0,9	0,6...0,8	10,6	2,16
0,7	-	abs.st.	-	-	abs.st.	-	-	abs.st.	-	0,75...1,05	0,8	0,7	0,55...0,8	7,6	1,53
0,75	-	abs.st.	-	-	abs.st.	-	-	abs.st.	-	-	abs.st.	-	-	-	-
0,9	-	abs.st.	-	-	abs.st.	-	-	abs.st.	-	-	abs.st.	-	0,5 ...0,75	5	1,11

Concluzii

1. Intre valoarea pragului de insensibilitate η și precizia staționară a sistemului ξ trebuie făcut un compromis. Crescînd η se mărește stabilitatea sistemului dar scade precizia staționară.

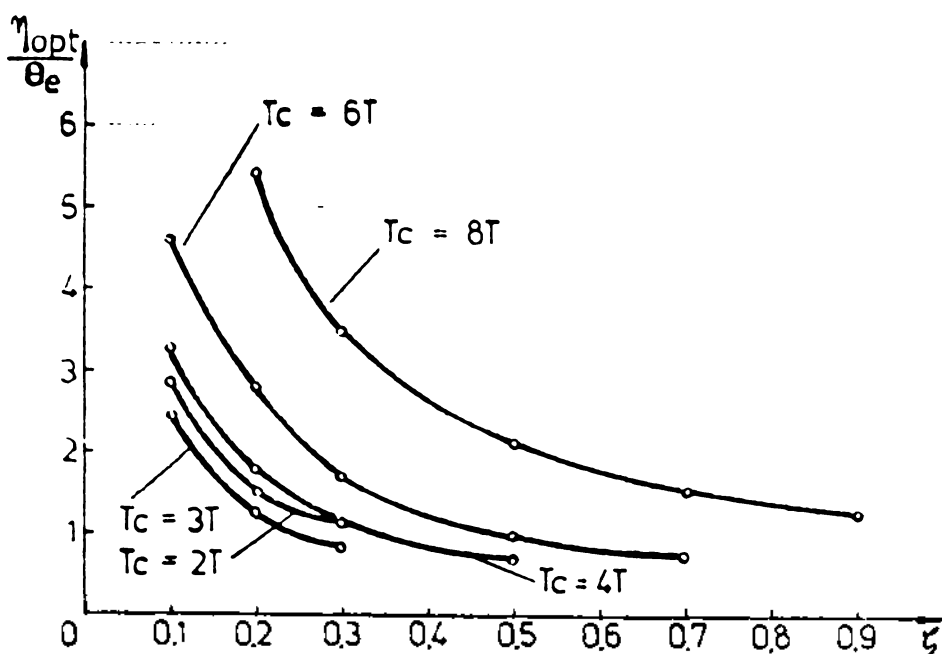


Fig.5.18. Alegerea pragului de insensibilitate optim.

2. Factorul de amortizare ζ are o mare influență asupra stabilității. În figura 5.18 se dă variația pragului optim de insensibilitate (raportat la pasul electric) cu creșterea factorului de amortizare. Pentru un factor η dat, rezultă cât trebuie luat pragul η_{opt} pentru a nu apărea autooscilații în sistem la nici o frecvență de comandă.

3. În calculul stabilității s-au luat valorile $n=2,3,4,6,8$, dar se puteau lua și valorile $n > 8$, calculele fiind similare. Limi-

tarea la valoarea $n=8$ s-a făcut din considerentul că, cu creșterea lui n , regiunile critice se îngustează și intersecțiile lor G^{2B} o singură dată, pentru o perioadă de eșantionare T tot mai mică. Cum T reprezintă chiar perioada impulsurilor de comandă a MPP, rezultă că pentru n mai mare, valoarea lui T la care apar autooscilații este din cazurile practice. Cazurile $n=5$ sau $n=7$ dau rezultate ușor de obținut prin interpolare.

4. Pentru un sistem dat, cu valori cunoscute pentru ω_p , ζ , K_a , alegerea pragului η se va face după diagrama din figura 5.18, neglijînd cazurile $n > 8$, conform concluziei anterioare; dacă și η este impus, atunci cu ajutorul diagramelor stenuare-fază sau tabelul 5.3, se pot stabili perioadele T , respectiv frecvențele de comandă a MPP, $1/T$, care trebuie evitate.

5. La studiul stabilității s-a lucrat cu mărimea relativă a pasului MPP (pasul electric) ceea ce a dus la simplificarea expresiilor de calcul și la generalizarea metodei pentru orice tip de MPP și orice mecanism de transmisie de la arborele MPP. De asemenea traductorul și blocul care dă mărimea de referință nu au intrat în studiu. Rezultatele obținute se pot transpune cu ușurință pentru mărimi reale, avînd în vedere că [100] :

$$\frac{\eta_{opt}}{\theta_e} = \frac{\epsilon_r}{\tau_r} \quad (5.84)$$

unde ϵ_r este eroarea de poziționare maximă admisă iar τ_r incrementul liniar al mișcării organului mobil la un pas al MPP.

6. SISTEME DE POZITIONARE CU MPP IN BUCLA MINORA

Proprietatea de univocitate a conversiei impulsului de comandă în deplasare, specifică MPP, stă la baza celor mai simple sisteme de poziționare - în circuit deschis - de neconceput cu alte tipuri de motoare electrice. Deși este o proprietate excepțională, univocitatea conversiei impuls/deplasare este limitată ca performanță din următoarele cauze:

- nu există certitudinea că deplasarea finală reflectă exact numărul impulsurilor de comandă prestabilit. Pierderea accidentată a pașilor se poate datora unei cauze exterioare (șoc mecanic) sau interioare (rezonanța de comutație);
- caracterul puternic oscilant al unghiului și vitezei unghiulare (v.fig.3.6) influențează negativ traiectoria de poziționare;
- frecvențele maxime de pornire, oprire, reversare și mers sînt relativ mici;
- trecerea de la regimul de accelerare la cel de mers și apoi la decelerare și oprire impune o lege de variație a frecvenței de comandă [67,68].

Din ideea de a stabili o relație biunivocă între informația numerică de comandă și deplasarea efectuată, s-a născut principiul comenzii în funcție de unghi a MPP, închizînd o buclă numerică, denumită buclă minoră [22,23,24], între rotorul MPP și dispozitivul său de comandă. Bucla minoră conține un traductor incremental de poziție montat pe arborele MPP și care generează un impuls la fiecare pas efectuat de MPP. Impulsurile generate de traductor fiind chiar impulsuri de comandă a MPP, se poate spune că MPP se comandă singur, se "autosincronizează".

Bucla minoră are caracter de reacție de poziție, însă trebuie înțeleasă diferit de o buclă de reacție specifică sistemelor automate (feedback). Rolul ei nu este de a furniza date asupra mărimii reglate pentru a fi comparate cu mărimea de referință, ci constituie o parte intrinsecă a SAMPP, fiind tocmai elementul său de comandă.

Pentru precizarea nomenclaturii se va numi, în continuare, ansamblul motor - buclă minoră - sarcină drept sistem de acționare

cu MPP în buclă minoră, notat SAMPP în BM, iar sistemele de poziționare cu MPP în buclă minoră se vor nota SPMP în BM.

6.1. Sisteme de acționare cu MPP în buclă minoră

Impulsurile care vin pe bucla minoră nu sînt sincronizate pe pozițiile de echilibru stabil ale rotorului, ci sînt decalate în avans față de acestea cu un unghi fixat mecanic. Din acest motiv motorul nu pornește singur, fiind necesar un prim impuls de start care să scoată rotorul din poziția de echilibru inițială. Motorul se accelerează singur pînă la o viteză care depinde de principalii factori ai acționării: constante de timp, cuplu rezistent, factor de amortizare, precum și de unghiul de comutație al traductorului.

La studierea regimului cvazistaționar de la cap.4 s-a arătat că unghiul de comutație la funcționarea în circuit deschis a MPP se autoreglează prin legea echilibrului energetic al mișcării, devenind tot mai negativ (avans de comutație) cu creșterea vitezei. Rezultă că la o viteză și o sarcină dată unghiul de comutație are o valoare bine determinată, fapt care impune ajustarea lui în funcție de acestea. În cazul funcționării în buclă minoră ajustarea unghiului de comutație se face prin întîrzierea impulsurilor de la traductor, întîrziere care modifică unghiul de comutație echivalent al MPP.

6.1.1. Funcționarea SAMPP în BM

Structura SAMPP în BM este arătată în figura 6.1,a iar în figurile 6.1,b,c este prezentat principiul traductorului de poziție [56]. Impulsurile de la traductor sînt aplicate în avans față de pozițiile de echilibru E_1, E_2, \dots (fig.6.1,d) cu unghiul de decalaj θ_{Rp} (raportat: $\theta_R = z_r \theta_{Rp}$). Un bloc de întîrziere reglabil aplică o întîrziere Δt impulsurilor pe reacție, astfel că unghiul de comutație echivalent devine $\theta_{Rp} - \omega_m \Delta t$, ω_m fiind viteza medie unghiulară mecanică a rotorului. Existența întîrzierii rezolvă problema ajustării vitezei de regim a SAMPP în BM.

Traductorul, de tip fotoelectric, are un disc cu un număr de fante egal cu $360^\circ/\theta_p$ sau un multiplu al acestuia, precum și doi senzori A și B decalajați față de pozițiile de echilibru stabil cu θ_{Rp} , câte unul pentru fiecare sens al rotației. Rezultă că prin validarea unuia dintre cele două semnale, A sau B, de către semnalul de sens (fig.6.1,c), se obține același unghi de comutație pentru ambele senzori de rotație. Unghiul de decalaj θ_{Rp} se ia cît mai

apropiat de θ_p , pentru a asigura o rezervă maximă de ajustare a unghiului echivalent prin întârzierea Δt .

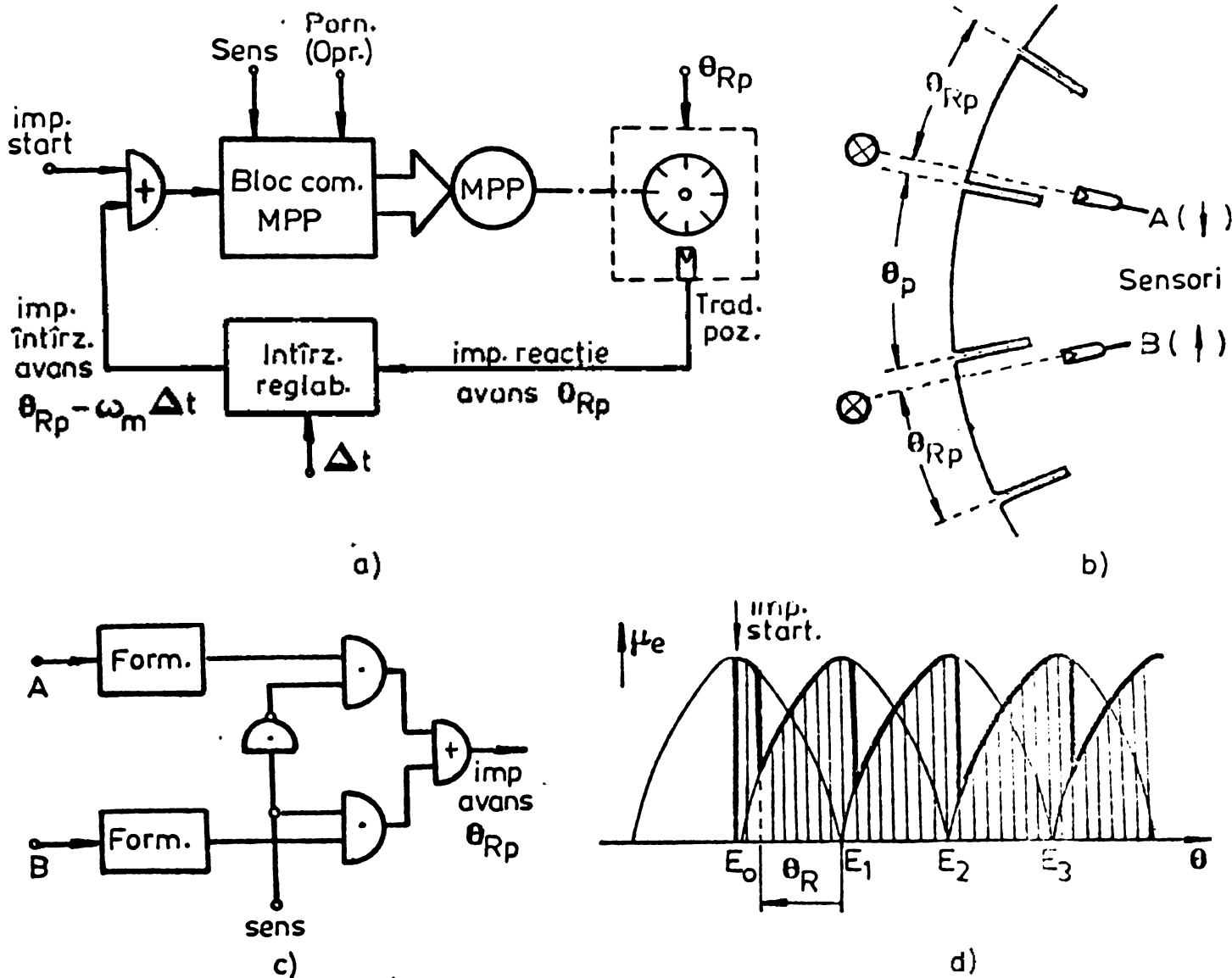


Fig. 6.1. Structura SAMPP în BM: a-schema bloc; b-principiul traductorului; c-logica de cuplare a traductorului cu blocul de comandă a MPP; d-planul cuplu - unghi în mărimi raportate.

Trebuie remarcat că impulsurile de comandă sînt distribuite aici electronic pe fazele MPP, existînd și varianta (mai veche) a distribuirii lor optice chiar din traductor [24,89]. În acest caz este necesar, însă, un număr de sensori egal cu numărul fazelor.

Comanda în buclă minoră a MPP se deosebește de comanda clasică nu numai ca structură fizică, ci și ca performanțe. Pentru a cerceta funcționarea SAMPP în BM se va recurge la simularea numerică, utilizînd ca exemplu modelul dq scris pentru un MPP inductor cu autoexcitație (tabelul 3.4 și ecuațiile 3.4.3). Schimbarea poziției vectorului reprezentativ $\bar{U}(\gamma)$ este comandată de condiția ca unghiul instantaneu în interiorul unui pas să depășească valoarea $\pi/2 + \theta_c$, θ_c fiind unghiul echivalent de comutație ($\theta_c = 0 \dots -\pi/2 = \text{avans}$). Unghiul γ va avea valoarea:

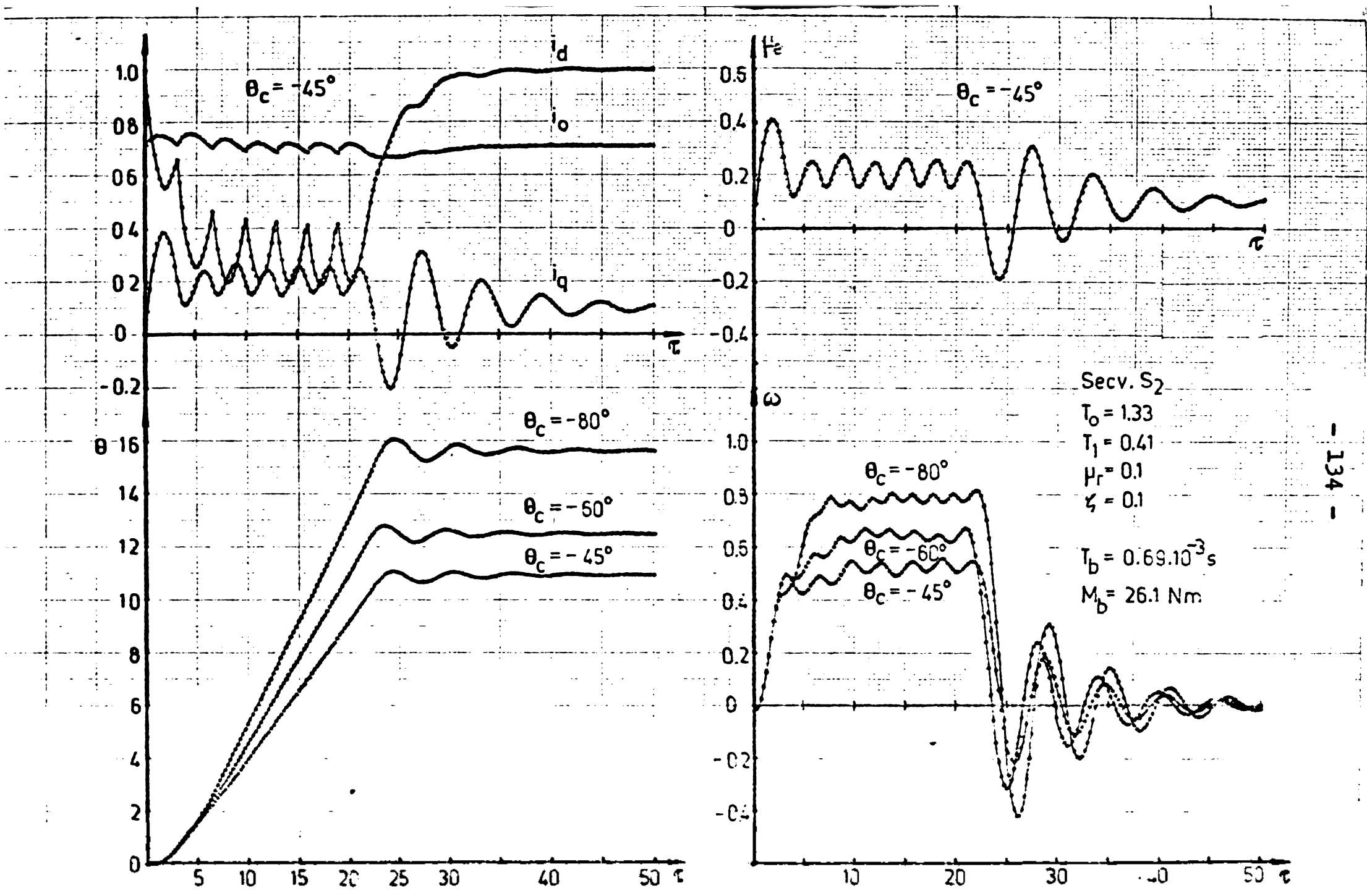


Fig.6.2. Simularea numerică a funcționării SAMPF în BM.

$$\gamma = \text{Int} \left\{ (\theta + \theta_c) \frac{2}{\pi} \right\} \frac{\pi}{2} \quad (6.1)$$

în care "Int" reprezintă "partea întreagă". S-a recurs la un calculator "Hewlett Packard-9820" cu bibliotecă de programe. Programul de integrare numerică prin metoda Runge-Kutta de ordinul IV a fost completat cu instrucțiuni de sistare a comenzii (blocarea lui γ) după un timp raportat egal cu 20.

Rezultatele integrării sînt plotate în figura 6.2. S-a considerat un regim de forțare a alimentării fazelor MPP echivalent reducerii constantelor de timp T_0 și T_1 de 3 ori.

Formele de undă obținute trebuie interpretate comparativ cu cele rezultate la funcționarea în circuit deschis (fig. 3.5 și 3.6). Se remarcă următoarele:

- mărimile electrice și mecanice, puternic oscilante la funcționarea în circuit deschis, sînt aici ușor variabile în jurul unor valori medii;

- creșterea unghiului este liniară iar viteza de regim prezintă mici variații în jurul unei curbe cu alură exponențială. Această alură se poate intui și în cazul valorilor medii ale mărimilor i_d , i_q , ψ_e ;

- accelerația mișcării este foarte rapidă, atingerea vitezei finale făcîndu-se, în condițiile arătate ($\mu_r = 0,1$, $\zeta = 0,1$), după un timp raportat de cca 3 ... 8 (2 ... 5,5 ms);

- viteza finală atinsă are valori mari și acestea cresc cu mărirea avansului la comutație;

- oprirea prin suprimarea impulsurilor de comanda, fără decelerare, devine tot mai grea cu creșterea avansului de comutație fiind caracterizată prin oscilații mari în jurul poziției finale.

În legătură cu oprirea SAMPP în BM, se cunosc mai multe tehnici utilizate [56,94]. În figura 6.3 este prezentat principiul decelerării MPP prin suprimarea unui impuls din trenul impulsurilor de pe bucla minoră [80]. Pînă la starea k impulsurile au un avans egal cu $\theta_c < \theta_e = \pi/2$, fapt care imprimă motorului cupluri și viteze mari. Suprimarea impulsului corespunzător stării k se poate echivala cu modificarea unghiului de comutație de la valoarea θ_c în avans la valoarea $\theta_e - \theta_c$ în întîrziere, ceea ce duce la obținerea unor cupluri mai mici și implicit la reducerea vitezei motorului.

Dacă se mai suprimă un impuls se obține un cuplu mediu negativ, iar suprimînd în continuare impulsuri, se pot realiza cicluri complete de accelerare-decelerare.

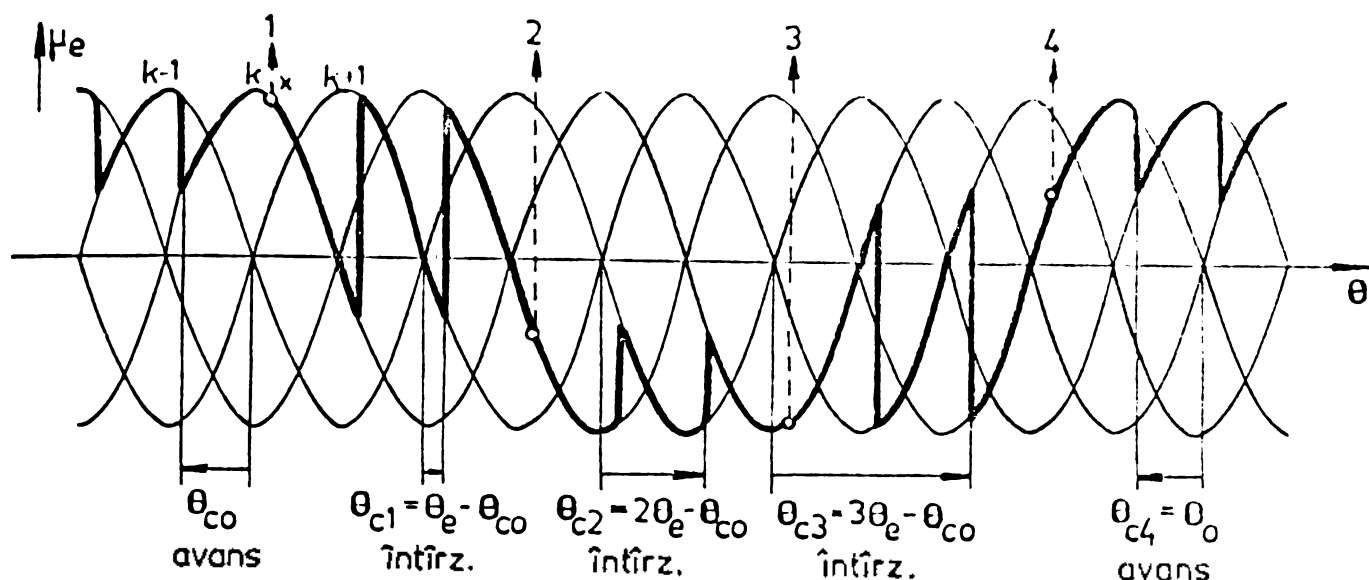


Fig.6.3. Principiul decelerării prin suprimarea unui impuls.

Principiul decelerării motorului prin tehnica suprimării unui impuls este verificată și prin simulare numerică, așa cum se arată în figura 6.4. S-a luat un caz limită corespunzător la $\gamma_r = 0,01$, $\zeta = 0,01$ și $\theta_c = -89^\circ$ (avans), ceea ce duce la o viteză de regim foarte ridicată. La momentul $\tau = 20$ se dă o comandă de oprire prin blocarea impulsurilor pe reacție, fapt care provoacă pierderea stabilității dinamice a motorului (curbele a). Față de poziția impusă $\gamma = 19 \cdot \pi/2 = 29,845$, poziția finală reală a rotorului este $\theta = 42$, ceea ce înseamnă pierderea a unui număr de pași egal cu $\text{Int} \left\{ (42 - 29,845) \frac{2}{\pi} \right\} = 7$, situație care nu poate fi acceptată.

În locul comenzii de blocare, la $\tau = 20$ se dă comanda de suprimare a unui impuls (X), fapt care provoacă decelerarea motorului pînă la o viteză de regim relativ joasă (curbele b), după care, la $\tau = 40$ se dă comanda de blocare a impulsurilor pentru oprire. Poziția impusă fiind $\gamma = 28 \cdot \pi/2 = 43,982$, iar cea finală reală $\theta = 44$, reiese că oprirea s-a făcut fără pierderi de pași.

Din figura 6.4 se mai pot vedea pe curbele $N = 28/\pi$ (numărul tactului de comandă) duratele stărilor electrice succesive, adică ale "efectuării pașilor", observînd totodată că acestea au legi de variație exponențiale.

6.1.2. Identificarea SAMPP în BM

Simularea numerică a funcționării SAMPP în BM a relevat forme de undă mai puțin oscilante pentru mărimile mecano-electrice ale sistemului decît în cazul funcționării SAMPP în CD. Aceasta conduce la ideea identificării SAMPP în BM prin mărimi continue, anulînd derivatale în sistemul de ecuații electrice ale modelului matematic, păstrînd doar derivata vitezei în ecuația de mișcare.

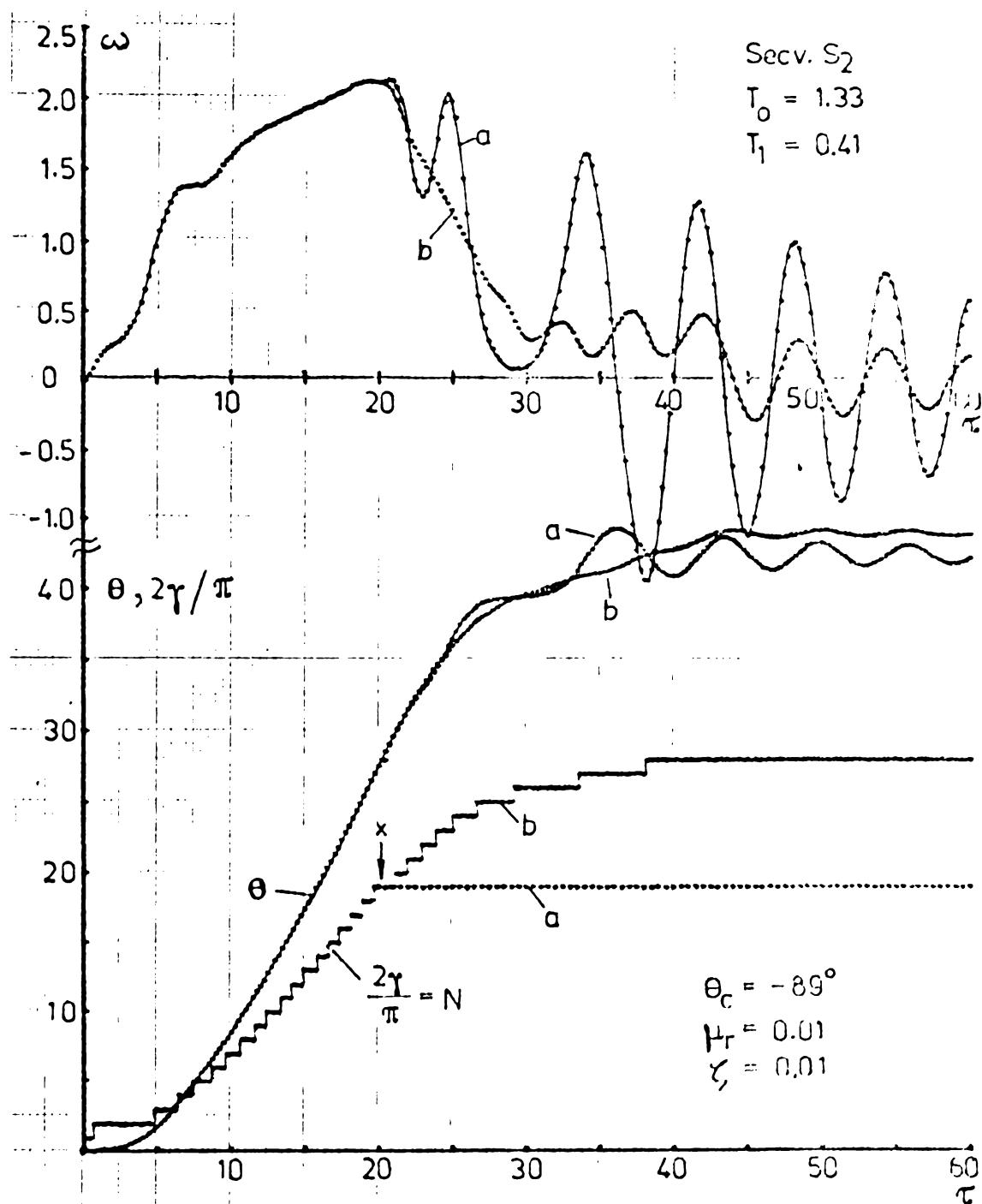


Fig.6.4. Simularea numerică a decelerării: curbele a-fără suprimare de impuls; curbele b-cu suprimarea unui impuls.

Principial se poate pleca de la orice model matematic. În cazul de față se ia modelul dq (sistemul 3.42) scris pentru MPP în inductor cu autoexcitație alimentat în secvența S_2 (12-23-34-...). Eliminând derivatele din ecuațiile electrice și luând $l_0^* = T_0^*$, $l_1^* = T_1^*$ (se renunță, în continuare, la indicele "*"), se obține modelul continuu al SAMPP:

$$\begin{bmatrix} r & 0 & 0 \\ 0 & r & -2\omega T_0 \\ 2\omega T_1 & 2\omega T_0 & r \end{bmatrix} \times \begin{bmatrix} I_o \\ I_d \\ I_q \end{bmatrix} = \begin{bmatrix} U_o \\ U_d \\ U_q \end{bmatrix} \quad (6.2)$$

$$\frac{d\omega}{d\tau} + 2\zeta\omega + \gamma_r = \gamma_e = \sqrt{2} k_b^2 I_o I_q$$

în care $I_o, I_d, I_q, U_o, U_d, U_q$ au aici sensul de valori raportate medii. Noile variabile $I_o, I_d, I_q, \gamma_e, \omega, \theta$ sînt supuse numai legii echilibrului dinamic al mișcării, tensiunile de alimentare fiind înlocuite prin valori medii constante.

Explicitînd curenții I_o, I_q din primele trei ecuații se obține expresia cuplului electromagnetic:

$$\gamma_e(\omega) = \frac{\sqrt{2} k_b^2 U_o}{1 + 4\omega^2 T_o^2} (U_q - 2\omega T_o U_d - 2\omega T_1 U_o) \quad (6.3)$$

Tensiunile U_o, U_d, U_q au expresiile (tabelul 3.7):

$$U_o = \frac{1}{\sqrt{2}}; \quad U_d = \cos(\gamma - \theta)_{med}; \quad U_q = \sin(\gamma - \theta)_{med} \quad (6.4)$$

Argumentele medii ale lui U_d și U_q se găsesc din reprezentarea funcției discrete $\gamma - \theta$ (fig. 6.5).

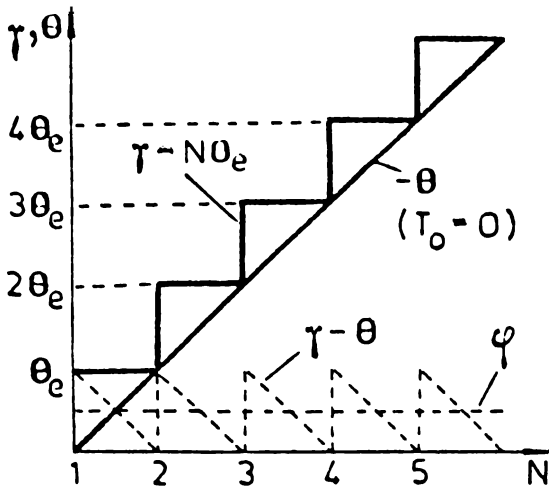


Fig. 6.5. Valoarea medie a argumentului $\gamma - \theta$.

În ipoteza unei constante de timp $T_o = 0$, unghiul θ crește linear, iar argumentul mediu al funcțiilor U_d, U_q este:

$$\varphi = (\gamma - \theta)_{med} = \frac{\pi}{4} \quad (6.5)$$

Conform definiției unghiului de comutație de la capitolul 4, rezultă în acest caz $\theta_c = 0$, lucru remarcat și în figura 6.6.

Pentru a obține viteze mari și pentru a compensa timpul de creștere a curentului în faze, este necesar să se facă un avans de comutație θ_c (avans = în sensul negativ al axei θ).

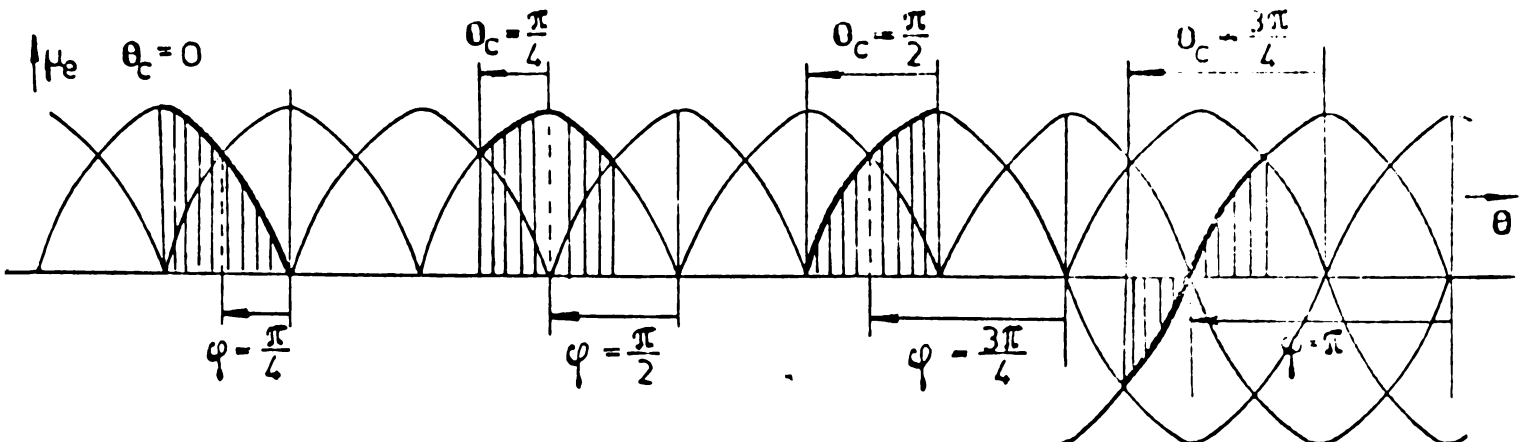
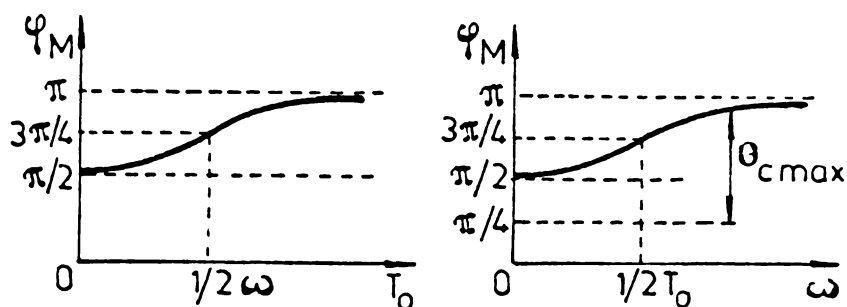


Fig. 6.6. Relația între argumentul mediu $\varphi = (\gamma - \theta)_{med}$ și unghiul de comutație θ_c .

Pentru a stabili limitele unghiului de comutație se cercetează maximum cuplului în funcție de argumentul φ (relația 6.3), găsindu-se:

$$\varphi = \varphi_M = \pi - \operatorname{arctg} \frac{1}{2\omega T_0} \quad (6.6)$$

Reprezentarea grafică a funcțiilor $\varphi_M(\omega)$ și $\varphi_M(T_0)$ este



dată în figura 6.7, remarcînd că unghiul mediu φ_M corespunde cuplului maxim al motorului. Este interesant de arătat că pentru $\omega = 0$ sau $T_0 = \infty$ se obține $\varphi_M = \frac{\pi}{2}$, rezultînd $\theta_c = \frac{\pi}{4}$ (v. fig. 6.6). Aceasta înseamnă efectuarea

comutației în pozițiile corespunzătoare intersecției curbelor cuplurilor a două stări electrice succesive, rezultat constatat și la funcționarea în circuit deschis (cap. 4).

Cu creșterea lui T_0 sau ω , pentru a realiza cuplu maxim trebuie mărit avansul la comutație, așa cum indică figura 6.7. În situațiile limită $T_0 = \infty$ sau $\omega = \infty$ rezultă $\varphi_M = \pi$, sau $\theta_{cM} = 3\pi/4$. Pentru valori oarecare ale lui T_0 și ω rezultă pentru θ_c valoarea:

$$\theta_c = \varphi - \frac{\pi}{4} = \pi - \varphi_M - \frac{\pi}{4} \dots \varphi_M - \frac{\pi}{4} \quad (6.7)$$

De remarcat că dacă se impune pentru θ_c o lege de variație conform (6.6), se obține o accelerare maximă a MPP [89].

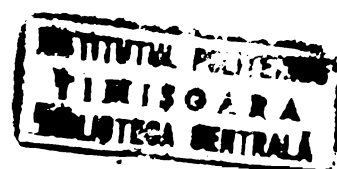
În expresia argumentului mediu φ trebuie inclus acum unghiul θ_R al traductorului, care în general este apropiat de $\pi/2$, precum și întârzierea pe bucla de reacție, care reduce avansul echivalent de comutație. Utilizînd relația (6.7) și introducînd unghiul de întârziere $\omega \cdot \Delta\tau$, rezultă:

$$\varphi = \theta_R + \frac{\pi}{4} - \omega \cdot \Delta\tau \quad (6.8)$$

unghi care poate fi modificat prin $\Delta\tau$ și are limita superioară

$$\varphi_{\max} = \theta_R + \frac{\pi}{4} \quad (\theta_{c\max} = \theta_R).$$

Rezultă că avansul maxim de comutație nu poate depăși valoarea θ_R . Pentru a elimina acest neajuns se utilizează tehnica injectării de impulsuri [58]. În figura 6.8 este dat un exemplu din care se constată efectul injectării unui impuls exterior în bucla de reacție. Dacă în poziția X se aplică un impuls suplimentar care realizează comutația rapidă de la starea B la starea C, impulsul



următor de pe bucla de reacție va găsi rotorul în avans mărit cu $\pi/2$.
 Rezultă concluzii importante asupra celor două tehnici - suprimare și injectare de impulsuri în bucla de reacție:

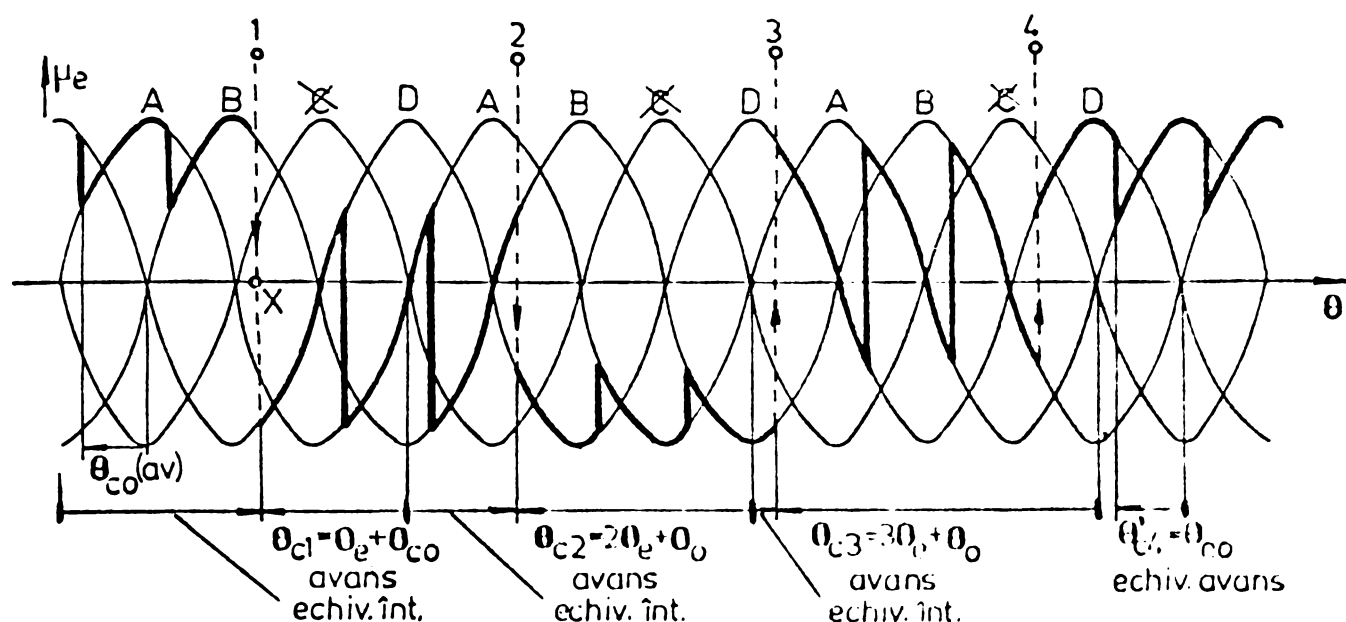


Fig.6.8. Efectul injectării unui impuls.

- prin suprimarea unui impuls, unghiul de comutație este întârziat cu $\theta_e = \pi/2$ și în continuare fiecare suprimare aduce o nouă decalare în urmă a comutației cu $\pi/2$ (v.fig.6.3);

- prin injectarea unui impuls în bucla de reacție, unghiul de comutație crește în avans cu $\theta_e = \pi/2$ (v.fig.6.8), iar prin injectări repetate avansul crește (teoretic), devenind întârziere dacă valoarea sa teoretică depășește unghiul π . Situația prezintă o simetrie față de cazul suprimării de impulsuri.

Dacă motorul are 4 pași electrici pe o perioadă, rezultă că unghiul de comutație la suprimarea unui impuls $\theta_{ce(1)}$ este complementul față de 2π al unghiului de comutație corespunzător injectării a 3 impulsuri $\theta_{ci(3)}$, adică:

$$\theta_{ce(k)} = \theta_{ci(4-k)} \quad (6.9)$$

indicele k arătînd al cîtelea impuls este suprimat sau injectat.

Revenind la ecuațiile (6.2), se pot scrie acum ecuațiile modelului continuu al SAMPP-BM:

$$\frac{d\theta}{d\tau} = \omega$$

$$\frac{d\omega}{d\tau} = \frac{\sqrt{2} k_b^2 U_0}{1 + 4\omega^2 T_0^2} (\sin\varphi - 2\omega T_0 \cos\varphi - 2\omega T_1 U_0) - 2\zeta\omega - \nu_r \quad (6.10)$$

unde φ are exprimarea (6.8) în cazul comenzii fără injectare sau

suprimare de impulsuri. Corespunzător ecuațiilor (6.10) rezultă și schema bloc a SAMPP-BM, reprezentată în figura 6.9. În forma în care

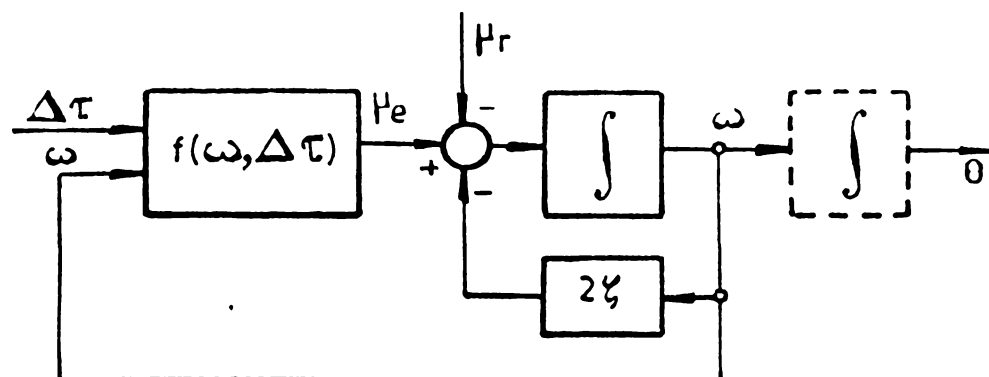


Fig.6.9. Schema bloc a SAMPP-BM.

re a apărut, schema bloc este asemănătoare cu aceea a motorului de curent continuu comandat pe indus [31]. Mărimea de intrare este întârzierca $\Delta\tau$ pe bucla de reacție, mărimea perturbatoare -cuplu

rezistent la arbore μ_r , iar mărimea de ieșire - viteza unghiulară ω . Dependența neliniară a cuplului electromagnetic de $\Delta\tau$ și ω (relația 6.4) plasează schema bloc a SAMPP în BM în categoria sistemelor neliniare continue.

Se face observația că schema bloc a SAMPP în EM așa cum e dată în figura 6.9 este generală pentru orice MPP, schimbându-se doar forma funcției implicite $\mu_e = f(\omega, \Delta\tau)$, în conformitate cu expresiile ecuațiilor modelului matematic dq al MPP respectiv.

6.1.3. Analiza SAMPP în BM

Determinarea modului de variație a vitezei, unghiului și cuplului electromagnetic în funcție de mărimea de intrare $\Delta\tau$ și

mărimea perturbatoare μ_r se face prin simulare numerică, integrând ecuațiile modelului continuu (6.10) pe un calculator "Hewlett Packard 9820".

Mai întâi se face o comparație între rezultatele simulării numerice pe modelul exact (ecuațiile 3.43) și rezultatele corespunzătoare pe modelul continuu (ecuațiile 6.10), derivat din primul. În figura 6.10 este reprezentată variația unghiului în cele două situații, la pornire.

Se constată că aproximarea funcționării SAMPP în BM prin modelul

Fig.6.10. Comparație între modelarea exactă și cea aproximativă: curba a-modelul dq exact; curba b-modelul continuu.

continuu este acceptabilă, erorile de aproximare fiind de cca 40% în regimul dinamic de pornire și de numai 5% în regimul cvazistatic nar.

In figura 6.11,a este arătat efectul modificării în treaptă a mărimii de intrare $\Delta\tau$. Se observă caracterul exponențial al variațiilor vitezei și cuplului, precum și modificarea valorii staționare a vitezei cu modificarea mărimii de comandă $\Delta\tau$, în momentul (raportat) $\tau = 7,5$. Unghiul de comutație, obținut din (6.7) și (6.8):

$$\theta_c = \theta_R - \Delta\tau \cdot \omega \quad (6.11)$$

este variabil cu viteza, la un $\Delta\tau$ dat (In figură apare o mărime corectată θ'_c cu ajutorul unor coeficienți pentru aranjarea convenabilă a curbelor pe același grafic).

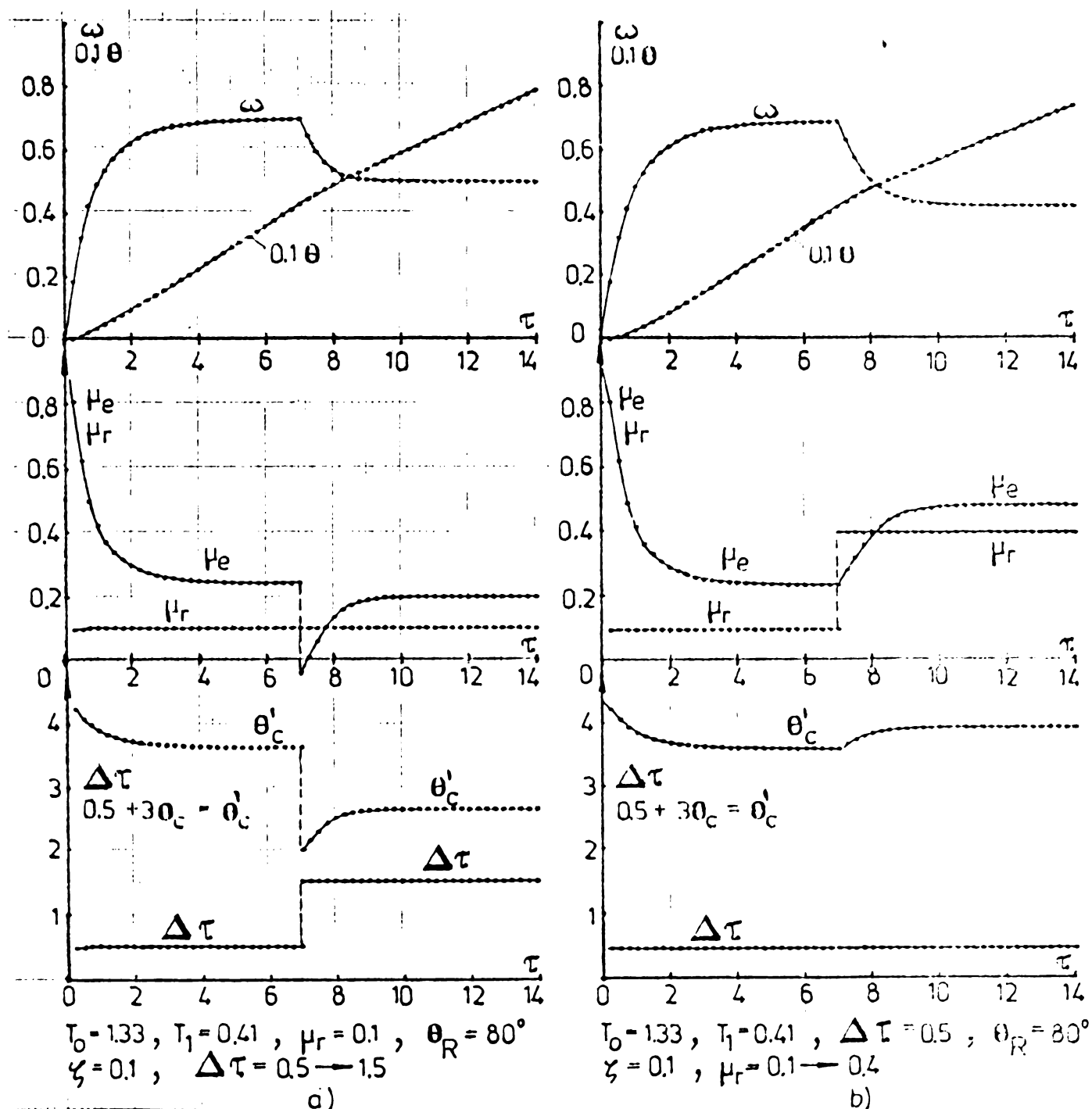


Fig.6.11. Analiza răspunsului SAMPP în BM: a-modificarea în treaptă a mărimii de intrare $\Delta\tau$; b-modificarea în treaptă a mărimii perturbatoare μ_r .

Cu creșterea întârzierii $\Delta\tau$, scade unghiul de avans la comutație θ_c , deci scade și viteză unghiulară, sub acțiunea unui cuplu dinamic negativ ($\mu_e < \mu_r$), ajungându-se la un nou echilibru staționar.

Comportări similare se constată și la modificarea în treaptă a mărimii perturbatoare μ_r , la momentul $\tau = 7,5$ cu o mărime de intrare $\Delta\tau = 0,5$ nemodificată în timp (fig.6.11,b). La creșterea cuplului rezistent, se strică echilibrul staționar al mișcării, apare un cuplu dinamic de frînare ($\mu_r > \mu_e$), care micșorează viteza pînă la o valoare corespunzătoare noului echilibru staționar al sistemului. Se schimbă puțin și unghiul de comutație echivalent, crescut datorită scăderii vitezei.

Rezultă concluzia importantă că regimul staționar al SAMPP în BM este definit de o combinație strict determinată între mărimile sale caracteristice: $\Delta\tau, \omega, \mu_r, \zeta, \theta_R, T_0, T_1$ și secvența alimentării. Modificarea uneia dintre acestea impune corectarea celorlalte mărimi, iar impunerea unei viteze de regim printr-o valoare dată lui $\Delta\tau$, trebuie să țină seama și de celelalte mărimi.

6.1.4. Caracteristicii limită ale SAMPP în BM

Dacă în cazul funcționării în circuit deschis caracteristicile limită marcau domeniul în care MPP funcționează fără pierderi de pași, în cazul SAMPP în BM sensul acestora este diferit.

Caracteristica statică $\omega(\mu_r)$ în acest caz nu este o dreaptă orizontală pînă la caracteristica limită, ci reprezintă o curbă cu rigiditate redusă, asemănătoare aceleia de la motorul de curent continuu cu excitație în serie. Caracteristica limită a SAMPP în BM reprezintă caracteristica statică $\omega(\mu_r)$ corespunzătoare întârzierii $\Delta\tau = 0$, pentru valori date lui $T_0, T_1, \mu_r, \zeta, \theta_R$. Este limita superioară a vitezei de regim, ajustarea ei prin întârzierea pe reacție $\Delta\tau$ putîndu-se efectua numai în sens coborîtor ($\Delta\tau$ nu poate fi negativ).

Expresia analitică a caracteristicii statice a SAMPP în BM se obține din modelul nelinier continuu 6.10, avînd forma:

$$\begin{aligned} \mu_r(\omega) = & \frac{\sqrt{2} k_b^2 U_0}{1 + 4 \omega^2 T_0^2} \left[\sin\left(\theta_R + \frac{\pi}{4} - \Delta\tau \cdot \omega\right) - \right. \\ & - 2 \omega T_0 \cos\left(\theta_R + \frac{\pi}{4} - \Delta\tau \cdot \omega\right) - \\ & \left. - 2 \omega T_1 U_0 \right] - 2 \zeta \omega . \end{aligned} \quad (6.12)$$

unde k_b și U_0 depind de secvența de alimentare. Este o caracteristică tip serie în care apar toți parametrii sistemului.

Caracteristicile statice sînt trasate în figura 6.12, corespunzător secvenței de alimentare $S_2(12-23-34-...)$. Familia de curbe din figura 6.12,a reprezintă și caracteristici limită întrucît mărimea de intrare $\Delta\tau = 0$. Cu mărimea avansului de comutație fix al traductorului θ_R , crește și viteza de regim.

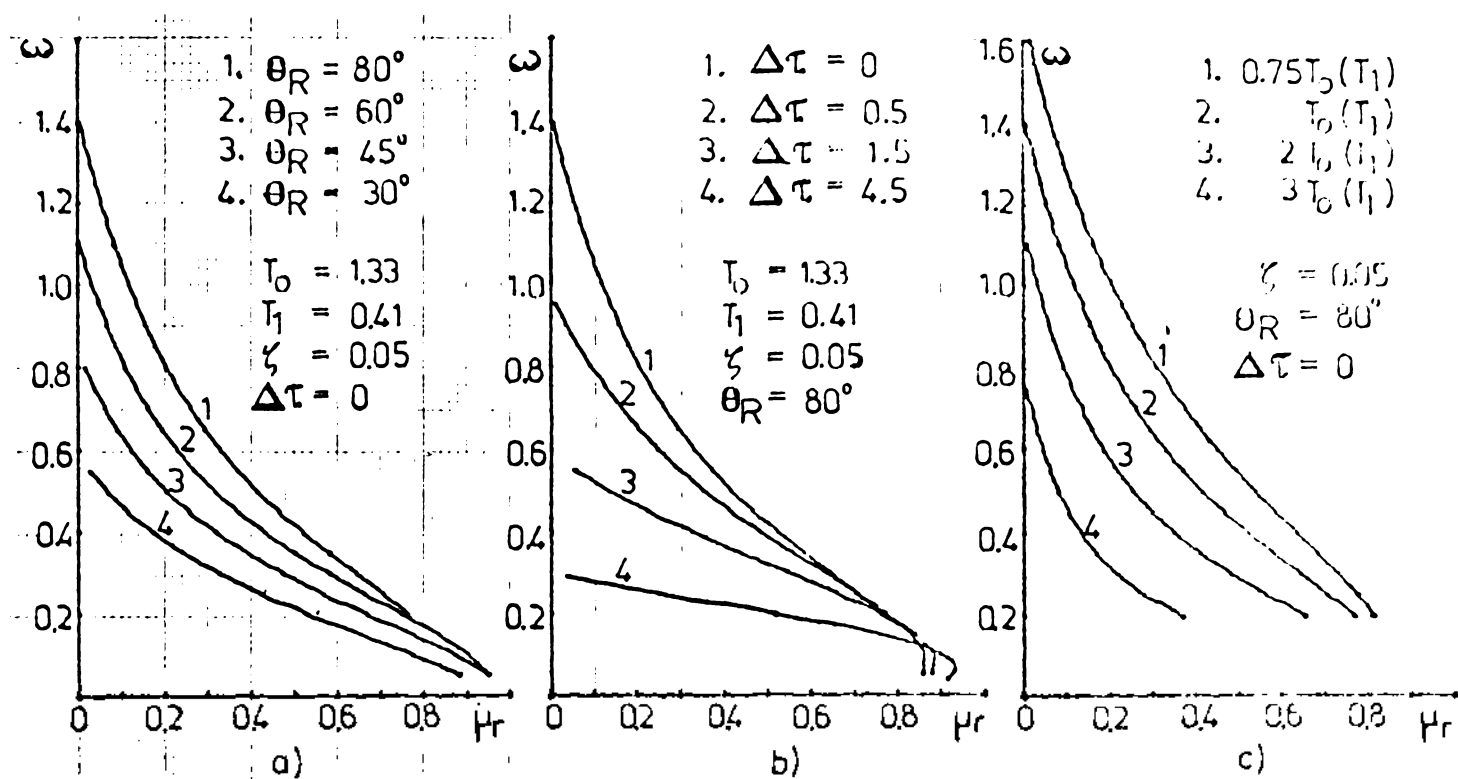


Fig.6.12. Caracteristicile statice ale SAMPP în BM: a-caracteristica limită pentru diferite valori θ_R ; b-caracteristica prin modificarea întârzierii $\Delta\tau$; c-caracteristica limită pentru diferite valori $T_0(T_1)$.

În figura 6.12,b apar caracteristicile statice obținute prin modificarea întârzierii $\Delta\tau$. Caracteristica 1, corespunzătoare la $\Delta\tau = 0$, este o caracteristică limită. Se observă influența mare pe care o are întârzierea pe reacție asupra vitezei de regim.

Modificarea constantelor electrice de timp T_0 și T_1 sau a valorilor echivalente ale acestora, în cazul utilizării unei tehnici de forțare [38,42,44], afectează viteza de regim, după cum se constată din figura 6.12,c; și aceste caracteristici statice sînt limită.

6.2. Automatizarea SAMPP în LM

Pentru a putea fi incluse în sisteme de poziționare, SAMPP în BM trebuie controlate în raport cu viteza de rotație ca mărime de ieșire. În acest fel reglajul vitezei trebuie să fie subordonat reglajului poziției, aceasta conducînd la necesitatea unei bucle de reglare a vitezei în structura sistemului de poziționare.

După cum s-a arătat, viteza MPP poate fi influențată prin întârzierea impulsurilor pe bucla minoră, aceasta fiind luată ca mărime de comandă a SAMPP în BM. Ea poate fi o mărime continuă sau discretă și trebuie astfel ajustată încât să se realizeze două scopuri majore:

- obținerea unei viteze a MPP corelată cu o valoare impusă din exterior (mărime de referință);
- compensarea variațiilor vitezei MPP cu variațiile sarcinii pe arbore, aceasta fiind luată ca mărime perturbatoare.

Identificarea SAMPP în BM ca sistem neliniar cu acțiune continuă permite abordarea unitară a reglajului automat al vitezei MPP indiferent de natura semnalului de comandă. În această idee autorul va prezenta în continuare funcționarea unor sisteme de reglare a vitezei MPP echipate cu buclă minoră, sisteme realizate în tehnologia modernă a procesoarelor și microprocesoarelor.

Trebuie arătat că mai există și o tehnică simplificată de ajustare a vitezei de regim a MPP în buclă minoră [54], tehnică bazată pe un procesor care impune o frecvență a impulsurilor de comandă în regimul de mers conform funcției:

$$f = \min(f_{\text{ext}}, f_{\text{BM}}) \quad (6.13)$$

unde f_{ext} este frecvența impulsurilor de comandă din exterior, iar f_{BM} corespunde frecvenței de lucru în buclă minoră. Această tehnică prezintă însă dezavantajul că, dacă $f_{\text{ext}} > f_{\text{BM}}$, motorul funcționează în buclă minoră, lipsit de controlabilitatea vitezei sale.

6.2.1. Comanda prin microprocesor a SAMPP în BM

Avântul deosebit al dezvoltării calculatoarelor de procesor a impus implementarea tehnicii numerice programabile și pentru comanda MPP. În nomenclatura consacrată, de microprocesor, acesta se poate adapta cel mai ușor în cazul SAMPP, tocmai datorită structurii numerice a acestuia.

Autorul va prezenta un sistem de comandă cu microprocesor a SAMPP în BM [94], arătând cum se convertește algoritmul de lucru în caracteristica de transfer a microprocesorului, luat ca element automat. În figura 6.13 este reprezentată schema de comandă cu microprocesorul INTEL 8080 pentru un MPP fabricat de Warner Electric Co.

Microprocesorul are un ciclu de $2\mu\text{s}$, memoria RAM cu 1 k-bit, trei intrări, trei ieșiri, cu câte 8 biți fiecare.

Comanda se distinge prin algoritmi separați pentru patru funcțiuni: accelerare, decelerare, mers la viteză constantă, amorti-

zare la oprire. Nu se va insista asupra rutinelor de calcul al diferitelor funcțiuni, arătându-se doar că se operează asupra întârzierii impulsurilor provenite din transductorul numeric.

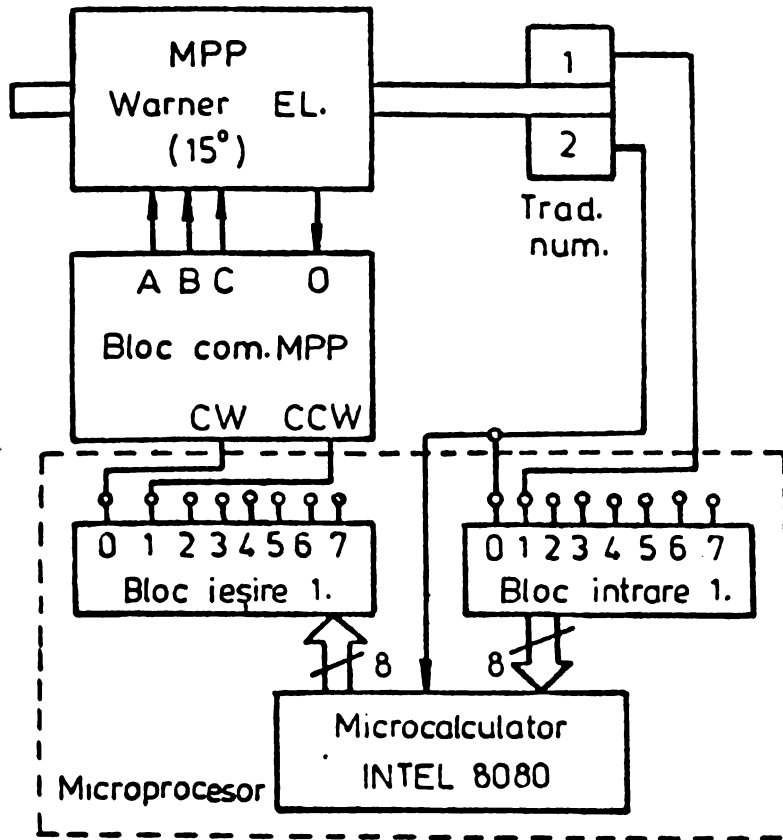


Fig. 6.13. Schema principală de comandă cu microprocesor a MPP.

accelerarea MPP:

- după efectuarea pasului k , se prezice durata pasului următor $k+1$, cunoscând duratele pașilor k și $k-1$;
- durata prezisă T_{k+1} se înmulțește cu un factor $\beta < 1$, rezultând întârzierea $\Delta\tau_{k+1}$ aplicată impulsului următor.

Deși sînt operații foarte simple, timpul necesar efectuării lor trebuie să se încadreze în durata minimă a efectuării unui pas. Se mai observă că algoritmul este nedeterminat pentru primii doi pași (plus impulsul de start), fapt care a dus la alegerea inițială a mărimei de comandă $\Delta\tau_0 = \Delta\tau_1 = \Delta\tau_2 = 0$, urmînd ca abia pentru $k=3$ să intre în lucru algoritmul ($\Delta\tau_0$ este întârzierea corespunzătoare impulsului de start). Autorul citat [94] menționează că rutina lucrează pînă cînd $\Delta\tau_{k+1} = \Delta\tau_d$, înțelegînd prin aceasta o valoare nominală dorită, pentru întârziere, corespunzătoare echilibrului staționar al acționării.

Faptul de remarcat este că valoarea finală a mărimei de comandă trebuie ajustată (pe baza unor instrucțiuni prelabile) în raport cu parametrii acționării (v_r, ζ , valoarea impusă a vitezei ω_d).

Scriind relația (6.14) astfel:

$$\Delta\tau_{k+1} = \beta [T_k + \alpha(T_k - T_{k-1})] \quad (6.15)$$

Dintre algoritmurile microprocesorului, cele pentru accelerare și mers la viteză constantă interesează mai mult.

În cazul accelerării, rutina microprocesului se bazează pe algoritmul [94]:

$$T_{k+1} = T_k + \alpha(T_k - T_{k-1})$$

$$\Delta\tau_{k+1} = \beta T_{k+1} \quad (6.14)$$

unde prin T s-au notat duratele efectuării pașilor ($k-1, k, k+1$), $\Delta\tau_{k+1}$ fiind întârzierea calculată a pasului $k+1$, iar α, β constante subunitare. Relațiile (6.14) explică rutina la

și dând valorile $k=3,4,\dots,n+1$, se observă că: $T_2 - \alpha T_1 = T_3 - \alpha T_2 = \dots = T_k - \alpha T_{k-1} = \dots = T_d - \alpha T_n$, unde $T_d = T_{n+1}$ reprezintă perioada de pas dorită. Se poate scrie că și $T_n \cong T_d$, astfel încât relația (6.15) devine:

$$\begin{aligned} \Delta \tau_{k+1} &= \beta T_{k+1} = \beta (T_k + \alpha T_k - \alpha T_{k-1}) = \beta (T_d - \alpha T_d + \alpha T_k) \\ &= \alpha \beta T_k + \beta (T_d - \alpha T_d) = \alpha \beta (T_k - T_d) + \beta T_d \end{aligned} \quad (6.16)$$

Știind că în mărimi raportate, relațiile 6.14-6.16, sînt neschimbate și că $T_k = 1/\omega_k = 1/\omega$ (ω - viteza instantanee medie raportată, conform interpretării date la modelul continuu al SAMPP -6.10), iar $T_d = 1/\omega_d$ (ω_d - mărimea impusă a vitezei), rezultă algoritmul transpus în mărimi continue:

$$\Delta \tau = \frac{\alpha \beta}{\omega_d} \cdot \frac{\omega_d - \omega}{\omega} + \frac{\beta}{\omega_d} \quad (6.17)$$

Funcția $\Delta \tau(\omega_d, \omega)$ reprezintă caracteristica de transfer a microprocesorului ca element automat cu acțiune continuă, în regim de accelerare. Este o caracteristică statică, neliniară, nedefinită în $\omega = 0$, ceea ce era de așteptat, deoarece ea intră în lucru după ce motorul face primii trei pași fără întârzieri pe bucla de reacție.

Se fac în continuare notațiile obișnuite în teoria reglării automate [31]:

- $i = \omega_d$ - mărimea de intrare = viteza impusă;
- $c = \Delta \tau$ - mărimea de comandă = întârzierea impulsurilor pe bucla minoră;
- $m = \mu_e$ - mărimea de execuție = cuplul electromagnetic;
- $p = \mu_r$ - mărimea perturbatoare = cuplul rezistent;
- $e = \omega$ - mărimea de ieșire = viteza MPP;
- $a = i - e$ - abaterea.

Cu schema bloc din figura 6.9 și caracteristica (6.17) se poate întocmi schema bloc structurală a sistemului de comandă cu microprocesor a SAMPP în BM, reprezentată în figura 6.14.

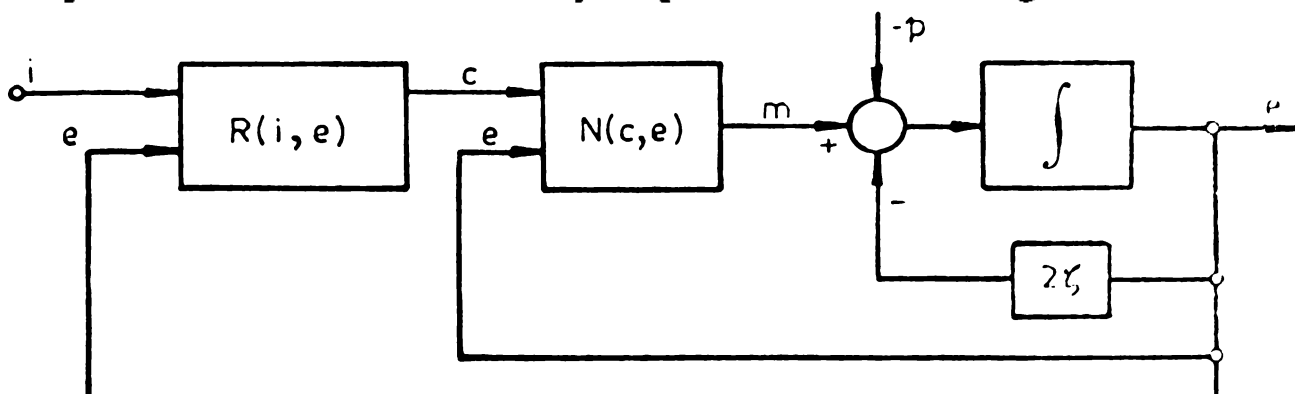


Fig.6.14. Schema bloc a sistemului de comandă cu microprocesor a SAMPP în BM.

In această schemă s-a notat (v. rel.6.17)

$$R(i,0) = \frac{\alpha\beta}{1} \cdot \frac{1-e}{c} + \frac{\beta}{1} \quad (6.18)$$

iar $N(c,e)$ este expresia cuplului electromagnetic, specifică MPP. Se va lua, ca și pînă acum, același tip de MPP - inductor cu auto-excitație, alimentat în secvența dublă, astfel că se deduce (v. rel. 6.12):

$$N(c,e) = \frac{1}{1+7,08e^2} [\sin(\theta_u - ce) - 2,66e \cos(\theta_u - ce) - 0,58e] \quad (6.19)$$

unde $\theta_u = \theta_c + \pi/4$.

De îndată ce $\omega = \omega_d$ ($i=e$), rezultă $\Delta\tau = \beta/\omega_d = \Delta\tau_d$, adică întârzierea dorită (nominală), extrasă din echilibrul staționar al acționării. Algoritmul de accelerare încetează și intră rutina cu algoritmul de mers la viteză constantă [94]:

$$\Delta\tau_{k+2} - \Delta\tau_d = \alpha(\tau_d - \tau_k). \quad (6.20)$$

din care se deduce caracteristica de transfer de tipul:

$$R(i,e) = x_1 - \alpha \frac{1-e}{1e} \quad (6.21)$$

unde $x_1 = \Delta\tau_d = \beta/i$. Rezultă că rutina de mers la viteză constantă operează în sensul reducerii la minim a erorii staționare $i-e$ (de exemplu, măririi lui p , scade e , scade și c , compensând eroarea $i-e$).

Prin factorul β se stabilește întârzierea nominală, iar factorul α ajustează timpul de răspuns al sistemului, în cazul algoritmului de accelerare, respectiv asigură o bună compensare în cazul mersului la viteză constantă.

Funcțiunea de decelerare se realizează prin suprimarea a unuia sau a două impulsuri, urmată apoi de sistarea impulsurilor și amortizarea electronică a mișcării rotorului.

O caracteristică de transfer similară se obține și în cazul sistemului de comandă cu procesor cablat propus de B.C.Kuo [56]. In acest fel s-a arătat că un sistem cu acțiune discretă la toate nivelele, poate fi identificat, în cazul funcționării în buclă minoră, cu un sistem neliniar cu acțiune continuă. Pornind de la această ultimă idee, autorul propune și alte sisteme de comandă, bazate pe acțiunea continuă la nivelul prelucrării, cercetînd posibilitatea comenzii prin regulator liniar continuu a SAMPP în BM.

6.2.2. Comanda prin regulator a SAMPP în BM

Ideea de a comanda SAMPP în BM prin regulator liniar continuu are, în afara avantajului simplității, suportul eliminării unor dezavantaje ale comenzii discrete prin microprocesor sau procesor cablat. Dezavantajele ce se urmăresc a se elimina sînt:

- utilizarea unui algoritm unitar pentru accelerare și mers la viteză constantă;
- obținerea unei viteze de prelucrare nelimitată de durata efectuării unui pas.

Principiul comenzii prin regulator are aici caracter analogic și înseamnă intervenția în bucla minoră prin introducerea unei întârzieri reglabile, produs al unei noi bucle de reglare automată. Acest principiu se reflectă și în schema bloc din fig.6.15.

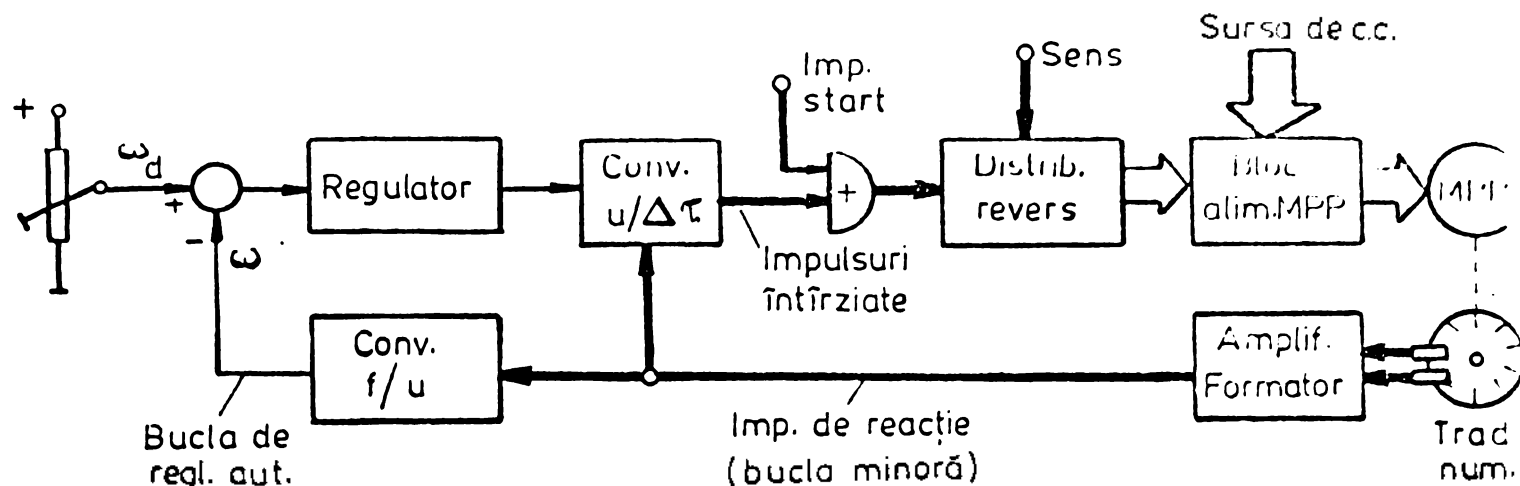


Fig.6.15. Schema de comandă analogică a SAMPP în BM.

Frecvența impulsurilor din bucla minoră este convertită în tensiune continuă, apoi comparată cu o tensiune de referință. Mărima de comandă continuă a regulatorului acționează printr-un convertor tensiune/durață (monostabil comandat prin tensiune) asupra impulsurilor, introducând întârzierea necesară. În schema de comandă s-a reprezentat cu linii groase partea cu semnale discrete a sistemului - SAMPP în BM, iar cu linii subțiri bucla de reglare analogică.

Partea discretă fiind identificată în domeniul continuu, schema bloc a sistemului automat se poate reprezenta ca în figura 6.16. Bucla interioară cu amortizarea s-a eliminat prin includerea acesteia într-un element liniar L, a cărui caracteristică de transfer este dată de echilibrul cuplurilor. Sistemul are o parte neliniară N, de forma (6.19) și un regulator liniar R, a cărui caracteristică nu este precizată deocamdată.

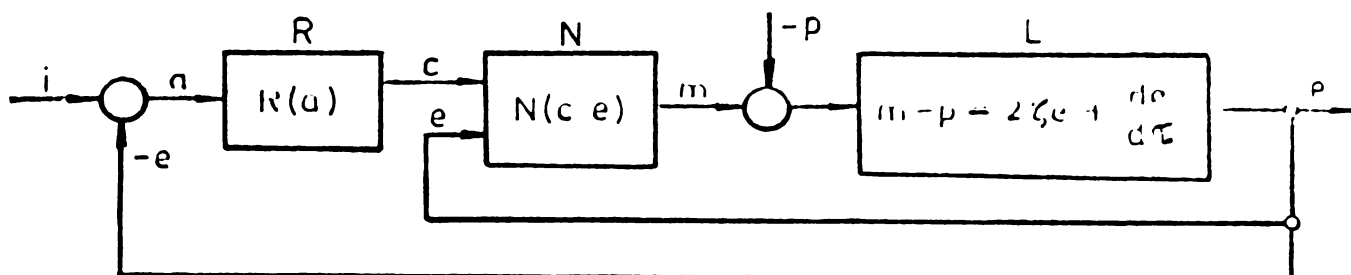


Fig.6.16. Schema bloc a sistemului automat analogic.

Pentru a studia efectul și limitele acțiunii mărimii de comandă c asupra SAMPP în BM, este necesară o cercetare mai amănunțită a funcției $N(c, e)$. În figura 6.17 este dată reprezentarea acestei funcții în trei coordonate, pentru $c > 0$ (întârzierea negativă nu are sens).

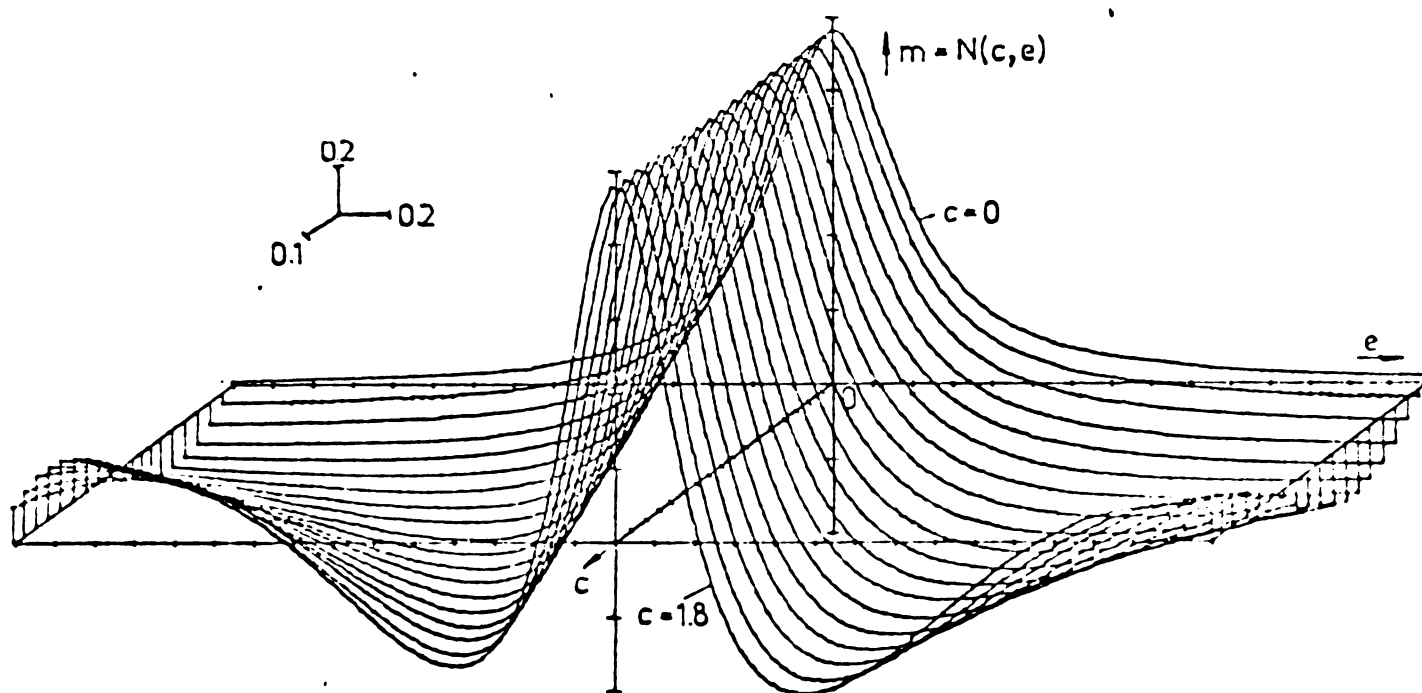


Fig.6.17. Suprafața $m = N(c, e)$.

Se constată că neliniaritatea este pronunțată la viteze mici și de asemenea la valori mai mari ale întârzierii $c = \Delta T$. Suprafața $N(c, e)$ este continuă și univocă în sensul că pentru o pereche de valori c, e rezultă o singură valoare pentru m . Crescând mărimea de comandă c , la o mărime de ieșire e dată, scade mărimea de execuție m , la fel și la o valoare m dată, scade e . Se mai observă că suprafața este simetrică față de planul m, c , ceea ce arată simetria mișcării motorului în ambele sensuri. În fine, este clar că o liniarizare a variației $m = N(c, e)$, fie chiar parțială, este destul de riscantă.

Caracteristica și tipul regulatorului nu se pot determina fără o prealabilă analiză a sistemului automat, dar pentru început se ia provizoriu un regulator P, având caracteristica:

$$c = R(a) = x_1 - x_2 a \quad (6.27)$$

Alegerea acestei caracteristici este intuitivă, avînd în vedere efectul lui c arătat anterior și că în regim staționar, cînd $\alpha = 0$, mărimea de comandă $c = x_1$ corespunde întîrzierii nominale, determinată de echilibrul acționării.

6.3. Analiza sistemului automat de reglare a vitezei MPP în buclă minoră

Pentru analiza sistemului automat propus, se va folosi o algebră de aproximare a sistemelor formate din elemente avînd o mărime de intrare i și una de ieșire e [9,10], descrise de ecuația diferențială:

$$\sum_{v=0}^m F_{iv}(i, e, \tau) \frac{d^v i}{d\tau^v} = \sum_{v=0}^n F_{ev}(i, e, \tau) \frac{d^v e}{d\tau^v} \quad (6.23)$$

Funcțiile F_{iv} și F_{ev} trebuie să fie continue în raport cu i, e, τ , condiție satisfăcută de sistemul automat propus.

Esența metodei de analiză este de a liniariza caracteristica fiecărui element al sistemului, în jurul unui punct definit la un moment dat și reprezentarea lui printr-o ecuație algebrică de forma:

$$e_k = g_k i_k + h_k \quad (6.24)$$

unde g_k este transmitanța elementului analizat iar h_k coeficientul condițiilor anterioare; indicele k se referă la momentul τ_k . Pentru a ajunge la forma algebrică (6.24) se utilizează operații de derivare numerică și aproximări prin serii Taylor, care conduc la aproximarea unei derivate de ordinul v astfel [1,70,71,72,86]:

$$\left. \frac{d^v x}{d\tau^v} \right|_{k-1} = \alpha_v x_k + \beta_v x_{k-1} + \gamma_v x_{k-2} + \dots \quad (6.25)$$

Coeficienții $\alpha_v, \beta_v, \gamma_v, \dots$ sînt constanți pentru un pas de derivare constant și depind de numărul termenilor luați din seria Taylor precum și de momentul în care se face derivarea.

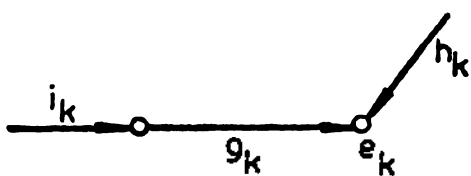


Fig.6.18. Graful de transfer asociat unui element automat.

Cu expresii algebrice de forma (6.24) se reprezintă fiecare element, la un moment dat τ_k , printr-un graf de transfer asociat așa ca în figura 6.18. În acest fel, sistemul automat în ansamblu se compune din grafurile asociate fiecărui element, rezultînd graful de transfer al sistemului, exprimînd legături simple, valabile la momentul τ_k . Aflarea desfășurării în timp a tuturor

variabilelor sistemului în raport cu o variație dată intrărilor, se realizează pe calculator.

Dificultatea metodei constă în precauțiunile care trebuie luate în operațiunea de derivare numerică după formula (6.25). După o serie de încercări ale autorului, a reieșit că pentru neliniarități pronunțate, care prin derivare devin tot mai neliniare, utilizarea a mai mult de trei termeni în derivarea (6.25) duce la instabilitate numerică, chiar în cazul unor diferențe centrate. Din acest motiv s-a adoptat aproximarea derivatei cu trei termeni și pas constant foarte mic, rezultatele obținute fiind satisfăcătoare.

În structura sistemului intră și un element neliniar cu două intrări, motiv pentru care se propune extinderea metodei de analiză și pentru elemente cu caracteristică de transfer funcție de două variabile.

Fie o funcție $z = F(x, y, \tau)$ continuă împreună cu toate derivatele sale până la orice ordin și în orice moment τ . Se face dezvoltarea în serie Taylor în momentul τ_k , limitată la primii termeni:

$$z_k = F(x_{k-1}, y_{k-1}) + (x_k - x_{k-1})F'_x(x_{k-1}, y_{k-1}) + (y_k - y_{k-1})F'_y(x_{k-1}, y_{k-1}) \quad (6.26)$$

La fel se efectuează dezvoltarea și în momentul τ_{k-1} , rezultând:

$$z_k = z_{k-2} + (x_{k-1} - x_{k-2})F'_{x,k-2} + (y_{k-1} - y_{k-2})F'_{y,k-2} + (x_k - x_{k-1})F'_{x,k-1} + (y_k - y_{k-1})F'_{y,k-1} \quad (6.26, a)$$

unde $F'_{x,k-2} = F'_x(x_{k-2}, y_{k-2})$, $F'_{x,k-1} = F'_x(x_{k-1}, y_{k-1})$ etc.

Pentru a obține o aproximare mai bună se efectuează o corecție, gen predictor-corector [71], autorul încercînd cu succes corecția:

$$F'_{x,k-2} \rightarrow \frac{1}{2} (F'_{x,k-2} + F'_{x,k-1}) \quad (6.27)$$

și o relație similară pentru $F'_{y,k-2}$ (săgeata indică "înlocuit cu"). Înlocuind în 6.26 rezultă, după calcule, o expresie algebrică de forma:

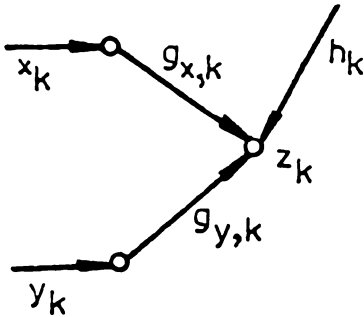
$$z_k = \varepsilon_{x,k} x_k + \varepsilon_{y,k} y_k + h_{z,k} \quad (6.28)$$

unde:

$$\varepsilon_{x,k} = F'_{x,k-1}$$

$$\varepsilon_{y,k} = F'_{y,k-1}$$

$$h_{z,k} = z_{k-2} + \frac{1}{2}(x_{k-1} - x_{k-2})F'_{x,k-2} - \frac{1}{2}(x_{k-1} + x_{k-2})F'_{x,k-1} + \frac{1}{2}(y_{k-1} - y_{k-2})F'_{y,k-2} - \frac{1}{2}(y_{k-1} + y_{k-2})F'_{y,k-1} \quad (6.28, a)$$



Graful elementului cu două intrări x, y și o ieșire z , arată, după expresia (6.28), ca în figura 6.19.

Cu acestea se poate acum trece la elaborarea grafului sistemului automat.

Fig.6.19. Graful de transfer asociat unui element cu două intrări.

6.3.1. Graful sistemului automat

Elementul liniar L se reprezintă prin ecuația:

$$m - p - 2\zeta o + \frac{do}{dt} \quad (6.29)$$

ecuație care se scrie în momentul τ_{k-1} , iar derivata se aproximează cu formula (6.25), redusă la primii trei termeni. Rezultă:

$$e_k = g_{L,k}(m_k - p_k) + h_{L,k} \quad (6.30)$$

unde:

$$g_{L,k} = 0$$

$$h_{L,k} = \frac{1}{\alpha_1} [m_{k-1} - p_{k-1} - (\beta_1 + 2\zeta)e_{k-1} - \gamma_1 e_{k-2}] \quad (6.30, a)$$

Coeficienții $\alpha_1, \beta_1, \gamma_1$ sînt: $\alpha_1 = -\gamma_1 = 1/2\delta, \beta_1 = 0$ [70], unde δ este pasul de derivare, constant ($\delta = \delta_k = \tau_k - \tau_{k-1} = \tau_{k-1} - \tau_{k-2} = \dots$).

Elementul neliniar N se aproximează conform formulelor (6.28) și (6.28, a):

$$m_k = g_{Nc,k}x_k + g_{Ne,k}e_k + h_{N,k} \quad (6.31)$$

unde:

$$g_{Nc,k} = N'_{c,k-1} = \frac{1}{1+7,08e^2} [-e \cos(\theta_u - ce) - 2,66e^2 \sin(\theta_u - ce)] \Big|_{k-1}$$

$$g_{Ne,k} = N'_{e,k-1} = \frac{-14,16e}{(1+7,08e^2)^2} [\sin(\theta_u - ce) - 2,66e \cos(\theta_u - ce) - 0,58e] \Big|_{k-1}$$

$$+ \frac{1}{1+7,08e^2} [(-c-2,66)\cos(\theta_u - ce) - 2,66ce \sin(\theta_u - ce) - 0,58] \Big|_{k-1}$$

$$h_{N,k} = m_{k-2} + \frac{1}{2}(c_{k-1} - c_{k-2})N'_{c,k-2} - \frac{1}{2}(c_{k-1} + c_{k-2})N'_{c,k-1} + \\ + \frac{1}{2}(e_{k-1} - e_{k-2})N'_{e,k-2} - \frac{1}{2}(e_{k-1} + e_{k-2})N'_{e,k-1} \quad (6.31, a)$$

Regulatorul R avînd caracteristica (6.22) se reprezintă prin ecuația:

$$c_k = g_{R,k} a_k + h_{R,k} \quad (6.32)$$

unde:

$$g_{R,k} = -x_2, \quad h_{R,k} = x_1 \quad (6.32, b)$$

Graful sistemului se alcătuiește pornind de la ecuațiile (6.30), (6.31) și (6.32), el rezultînd așa ca în figura 6.20.

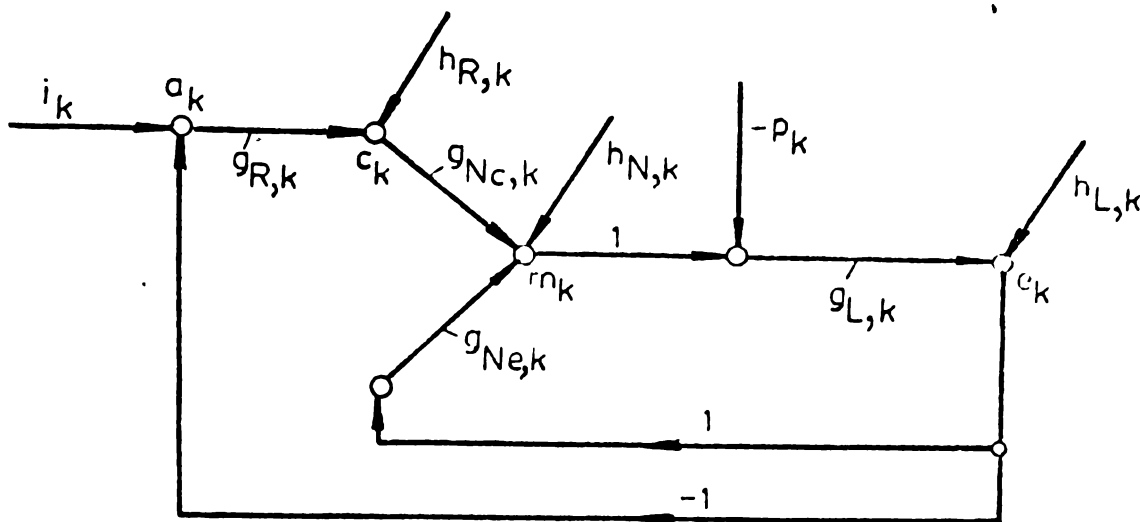


Fig.6.20. Graful de transfer al sistemului automat.

Din graful sistemului se extrage sistemul ecuațiilor algebrice, în forma primitivă:

$$c_k = g_{R,k} a_k + h_{R,k} \\ m_k = g_{Nc,k} c_k + g_{Ne,k} e_k + h_{N,k} \\ e_k = g_{L,k} (m_k - p_k) + h_{L,k} \\ a_k = i_k - e_k \quad (6.33)$$

Acest sistem se explicitază în raport cu variabilele de intrare i_k și p_k , rezultînd sistemul ecuațiilor în formă canonică, de forma:

$$e_k = G_{ie,k} i_k + G_{pe,k} p_k + H_{e,k} \\ c_k = G_{ic,k} i_k + G_{pc,k} p_k + H_{c,k} \\ m_k = G_{im,k} i_k + G_{pm,k} p_k + H_{m,k} \\ a_k = G_{ia,k} i_k + G_{pa,k} p_k + H_{a,k} \quad (6.34)$$

Transmitanțele echivalente și noii coeficienți ai condițiilor anterioare se obțin operînd în sistemul (6.33), rezultînd:

$$\begin{aligned}
 G_{ie,k} &= \frac{\varepsilon_{L,k} \varepsilon_{Nc,k} \varepsilon_{R,k}}{1 + \varepsilon_{L,k} \varepsilon_{No,k} \varepsilon_{R,k} - \varepsilon_{L,k} \varepsilon_{No,k}} \\
 G_{pe,k} &= \frac{-\varepsilon_{L,k}}{1 + \varepsilon_{L,k} \varepsilon_{Nc,k} \varepsilon_{R,k} - \varepsilon_{L,k} \varepsilon_{Ne,k}} \\
 H_{e,k} &= \frac{\varepsilon_{L,k} \varepsilon_{Nc,k} h_{R,k} + \varepsilon_{L,k} h_{N,k} + h_{L,k}}{1 + \varepsilon_{L,k} \varepsilon_{Nc,k} \varepsilon_{R,k} - \varepsilon_{L,k} \varepsilon_{Ne,k}} \\
 G_{ic,k} &= \frac{(1 - \varepsilon_{L,k} \varepsilon_{Ne,k}) \varepsilon_{R,k}}{1 + \varepsilon_{L,k} \varepsilon_{Nc,k} \varepsilon_{R,k} - \varepsilon_{L,k} \varepsilon_{Ne,k}} \\
 G_{pc,k} &= \frac{\varepsilon_{R,k} \varepsilon_{L,k}}{1 + \varepsilon_{L,k} \varepsilon_{Nc,k} \varepsilon_{R,k} - \varepsilon_{L,k} \varepsilon_{Ne,k}} \\
 H_{c,k} &= \frac{h_{R,k} (1 - \varepsilon_{L,k} \varepsilon_{Ne,k}) - \varepsilon_{R,k} (h_{L,k} + \varepsilon_{L,k} h_{N,k})}{1 + \varepsilon_{L,k} \varepsilon_{Nc,k} \varepsilon_{R,k} - \varepsilon_{L,k} \varepsilon_{Ne,k}} \\
 G_{im,k} &= \frac{\varepsilon_{Nc,k} \varepsilon_{R,k}}{1 + \varepsilon_{L,k} \varepsilon_{Nc,k} \varepsilon_{R,k} - \varepsilon_{L,k} \varepsilon_{No,k}} \\
 G_{pm,k} &= \frac{\varepsilon_{Nc,k} \varepsilon_{R,k} \varepsilon_{L,k} - \varepsilon_{Ne,k} \varepsilon_{L,k}}{1 + \varepsilon_{L,k} \varepsilon_{Nc,k} \varepsilon_{R,k} - \varepsilon_{L,k} \varepsilon_{Ne,k}} \\
 H_{m,k} &= \frac{\varepsilon_{Nc,k} h_{R,k} - \varepsilon_{Nc,k} \varepsilon_{R,k} h_{L,k} + \varepsilon_{Ne,k} h_{L,k} + h_{N,k}}{1 + \varepsilon_{L,k} \varepsilon_{Nc,k} \varepsilon_{R,k} - \varepsilon_{L,k} \varepsilon_{Ne,k}} \\
 G_{ia,k} &= \frac{1 - \varepsilon_{L,k} \varepsilon_{Ne,k}}{1 + \varepsilon_{L,k} \varepsilon_{Nc,k} \varepsilon_{R,k} - \varepsilon_{L,k} \varepsilon_{Ne,k}} \\
 G_{pa,k} &= \frac{\varepsilon_{L,k}}{1 + \varepsilon_{L,k} \varepsilon_{Nc,k} \varepsilon_{R,k} - \varepsilon_{L,k} \varepsilon_{Ne,k}} \\
 H_{a,k} &= - \frac{\varepsilon_{L,k} \varepsilon_{Nc,k} h_{R,k} + \varepsilon_{L,k} h_{N,k} + h_{L,k}}{1 + \varepsilon_{L,k} \varepsilon_{Nc,k} \varepsilon_{R,k} - \varepsilon_{L,k} \varepsilon_{Ne,k}} \quad (6.35)
 \end{aligned}$$

După înlocuirea termenilor g și h în expresiile (6.35) se obțin valorile variabilelor în momentul τ_k , în funcție de intrările i_k, p_k :

$$\begin{aligned}
 e_k &= h_{L,k} \\
 c_k &= \varepsilon_{R,k} i_k + h_{R,k} - \varepsilon_{R,k} h_{L,k} \\
 m_k &= \varepsilon_{Nc,k} \varepsilon_{R,k} i_k + \varepsilon_{Nc,k} h_{R,k} - \varepsilon_{Nc,k} \varepsilon_{R,k} h_{L,k} + \varepsilon_{Ne,k} h_{L,k} + h_{N,k} \\
 a_k &= i_k - h_{L,k} \quad (6.36)
 \end{aligned}$$

Influența perturbației apare în expresia lui $h_{L,k}$, prin urmare afectează toate variabilele sistemului. Cu forma (6.30) și valorile cunoscute ale termenilor g și h (relațiile 6.30,a, 6.31,a, 6.32,a), se pot determina valorile variabilelor în diferite momente, dând cunoscute valorile lui i și p .

O organigramă foarte simplă pentru analiza sistemului automat este reprezentată în figura 6.21.

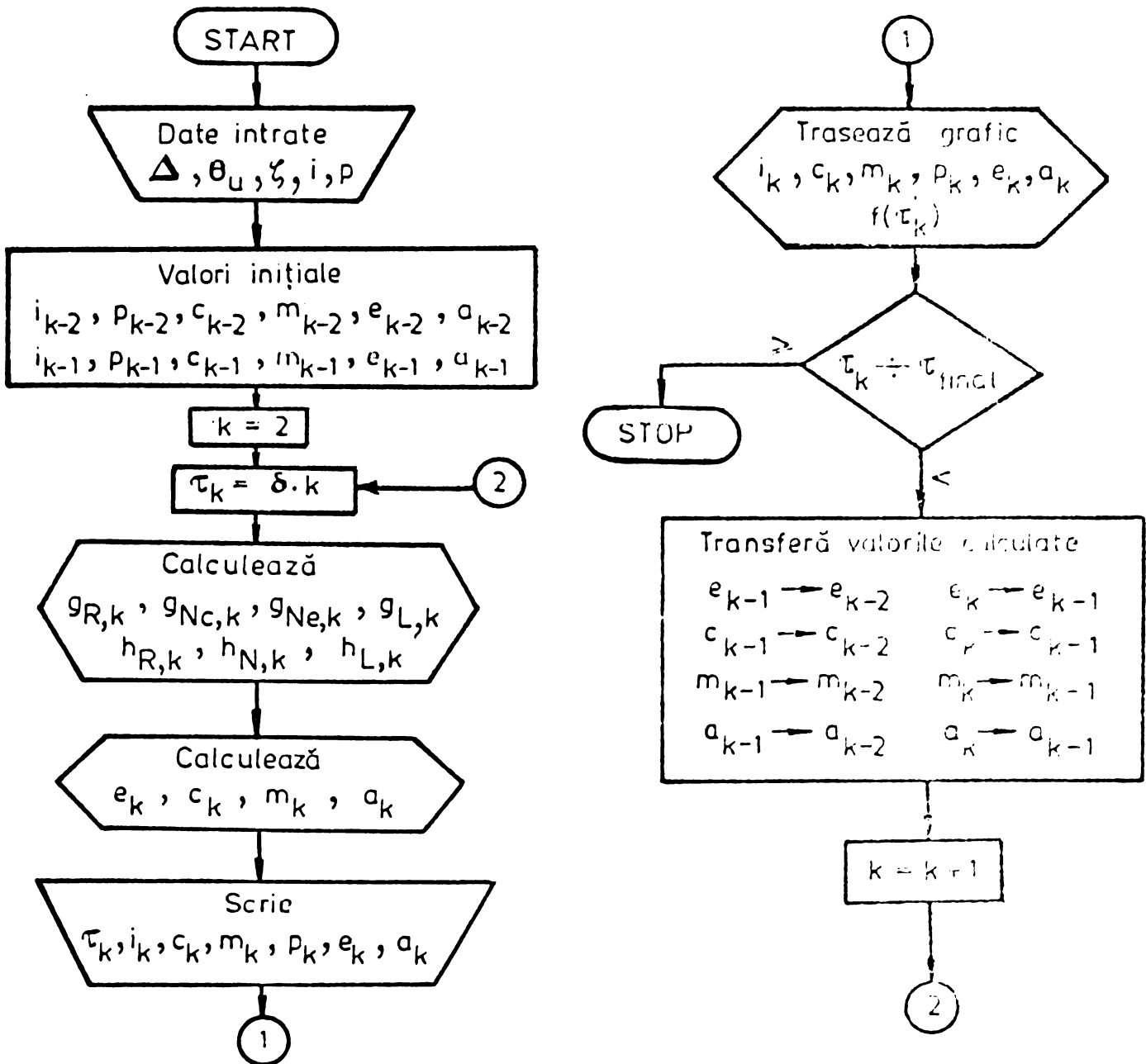


Fig.6.21. Organigrama de calcul a variabililor sistemului automat.

Precauțiuni trebuie luate la fixarea condițiilor inițiale (în τ_0 și τ_1). Valorile corespunzătoare momentului inițial τ_0 se iau din expresiile caracteristicilor statice ($e_0 = 0$, $a_0 = 1$, $c_0 = R(a_0$ etc.), iar cele din momentul τ_1 e bine să se ia din integrarea numerică (metoda Runge-Kutta) a ecuațiilor modelului matematic al întregului sistem).

6.3.2. Analiza sistemului automat cu microprocesor

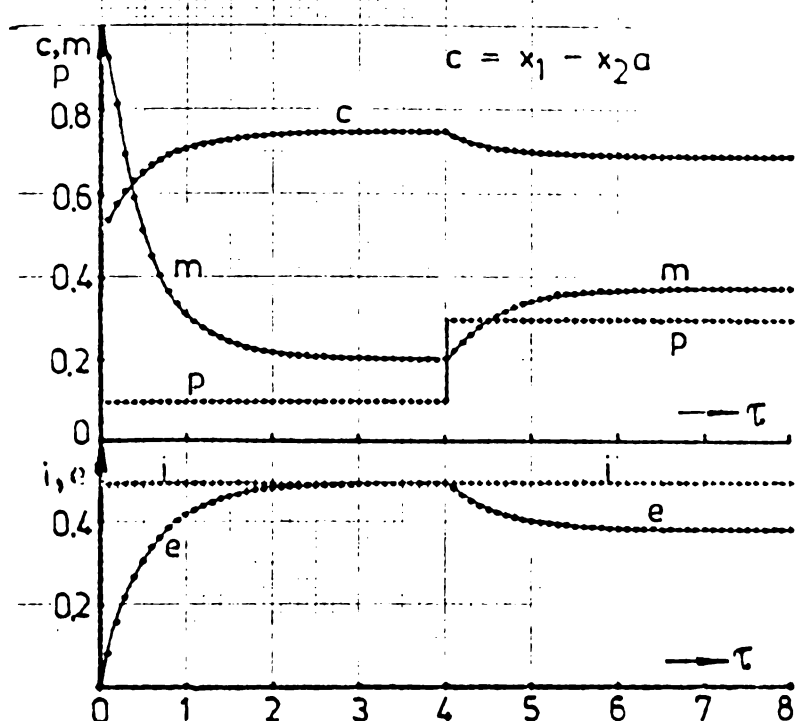


Fig.6.22. Variațiile mărimilor sistemului automat cu regulator P.

6.19, pentru a ține seama că regulatorul are aici două mărimi de intrare.

Se procedează cu funcția $R(i, e)$ întocmai ca și cu funcția $N(c, e)$. Se introduce întârzierea nominală $\Delta\tau_d = \beta/i = x_1$, astfel că relația (6.18) devine:

$$R(i, e) = x_1 + \alpha x_1 \frac{1-e}{e} \quad (6.37)$$

Se procedează acum ca și în cazul funcției $N(c, e)$, rezultând ecuația algebrică a regulatorului, de forma (6.28):

$$c_k = \xi_{Ri,k} i_k + \xi_{Re,k} e_k + h_{R,k} \quad (6.38)$$

unde

$$\xi_{Ri,k} = R'_{i,k-1} = -x_1/e_{k-1}$$

$$\xi_{Re,k} = R'_{e,k-1} = -x_1 i_{k-1}/e_{k-1}^2$$

$$h_{R,k} = c_{k-2} + \frac{1}{2}(i_{k-1} - i_{k-2})R'_{i,k-2} - \frac{1}{2}(i_{k-1} + i_{k-2})R'_{i,k-1} + \frac{1}{2}(e_{k-1} - e_{k-2})R'_{e,k-2} - \frac{1}{2}(e_{k-1} + e_{k-2})R'_{e,k-1} \quad (6.38, n)$$

Cu acestea, graful sistemului automat cu microprocesor poate fi alcătuit ca în figura 6.23.

Forma primitivă a sistemului de ecuații algebrice în momentul τ_k este similară cu cea indicată în (6.33), substituind prima ecuație cu ecuația (6.38). Forma canonică (6.34) are termeni cu puțin diferiți față de (6.35), iar în final, după efectuarea calculelor rezultă:

$$e_k = h_{L,k}$$

$$o_k = g_{Ri,k} i_k + g_{Re,k} h_{L,k} + h_{R,k} \quad (6.29)$$

$$m_k = g_{Nc,k} g_{Ri,k} i_k + g_{Nc,k} g_{Re,k} h_{L,k} + g_{Ne,k} h_{L,k} + g_{Nc,k} h_{R,k} + h_{N,k}$$

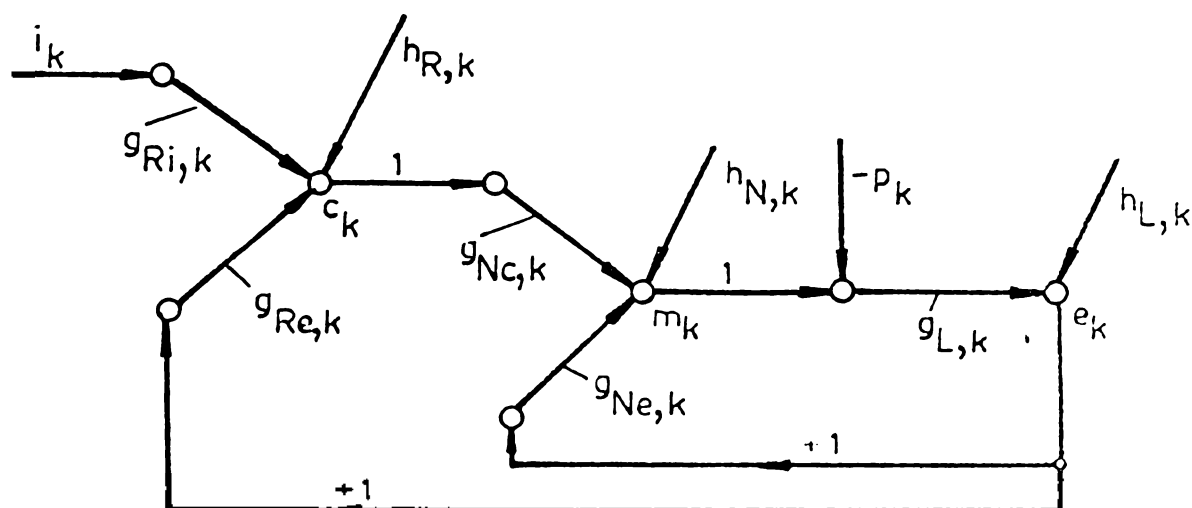


Fig.6.23. Graful de transfer al sistemului automat cu microprocesor.

La analiza funcționării sistemului automat se va urmări și aici răspunsul acestuia la o treaptă de intrare $i=0,5$, pentru $p = 0,1$, $\zeta = 0,1$ și $\theta_c = \pi/3$ ($\theta_u = 7\pi/12$).

Organigrama de calcul a variabilelor sistemului este valabilă în esență și aici, cu deosebirea că trebuie incluse niște instrucțiuni pentru a face $c_k = 0$ între $\tau_0 = 0$ și momentul când e_k ajunge la o valoare corespunzătoare efectuării primilor 3 pași ai MPP fără întârziere. Această valoare a lui e poate fi extrasă din integrarea numerică a modelului SAMPP în BM pentru $\theta_c = \pi/3$ și $\Delta t=0$ (ecuațiile 6.10).

În figura 6.24 sînt reprezentate curbele tranziente ale variabilelor sistemului, obținute de la calculatorul "Hewlett Packard 9820", iar în figura 6.25 răspunsul sistemului pentru diferite valori ale factorului α . Se poate observa forma aperiodică a răspunsului și de asemenea saltul mărimii c la intrarea în lucru a rutinei de accelerare a microprocesorului, fapt care reduce accelerația motorului. Întrucît factorul $x_1 = \beta/i$ a fost ajustat în conformitate cu echilibrul staționar al acționării, abaterea staționară este nulă. Regulatorul avînd o caracteristică statică, rezultă că la modificarea unuia din parametri acționării: i.p.ζ, trebuie reajustat corespunzător factorul x_1 pentru a nu avea eroare staționară.

Ajustarea întârzierii nominale x_1 , ca factor determinant în obținerea unei abateri staționare nule, în mod automat cu varia-

ția lui i, p , sau ζ , deci un reglaj adaptiv, nu ar fi justificată deoarece ar necesita bucle suplimentare cu traductoare speciale

(de exemplu de cuplu rezistent). Aceste bucle sînt dificil de realizat practic, iar reprezentarea unor mărimi ca μ_r sau ζ prin echivalente ar fi la fel de dificilă și ineficace.

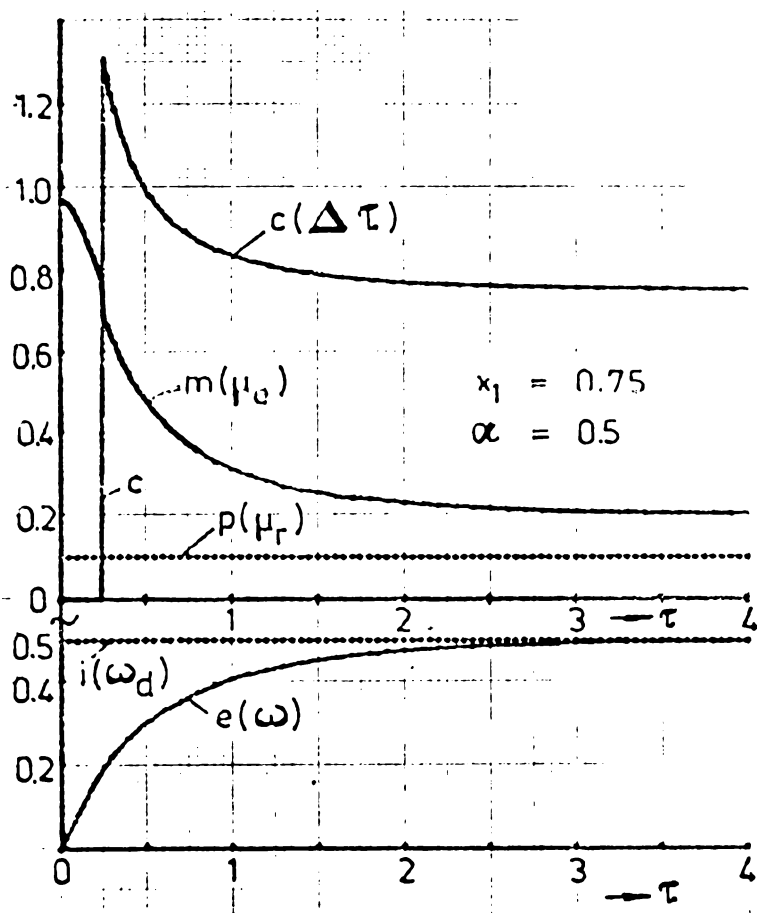


Fig. 6.24. Curbele variabilelor sistemului cu microprocesor.

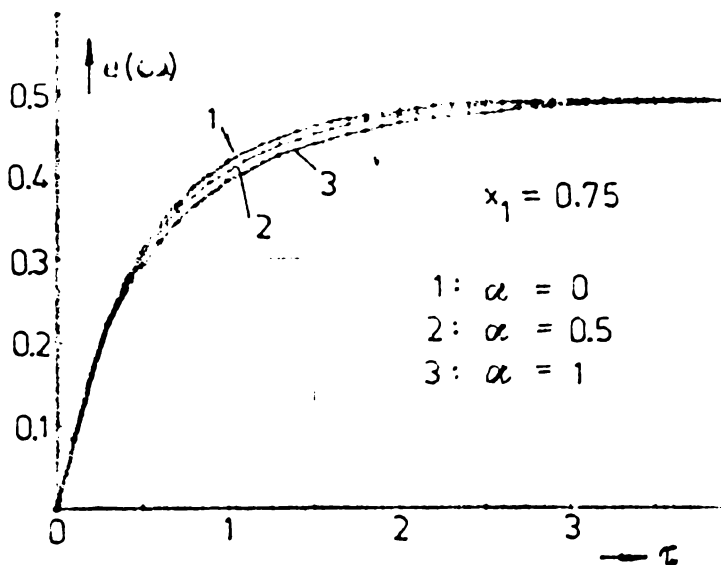


Fig. 6.25. Analiza factorului α asupra formei r spunsului.

Pe de altă parte, includerea unor componente I sau D în regulator (tip numeric-microprocesor) ar mări mult volumul calculului în rutină, necesitînd astfel un timp care ar depăși durata minimă a efectuării unui pas al MPP.

Prin urmare, sistemul bazat pe microprocesor are performanțe limitate, desigur tocmai datorită faptului că ajustarea numerică a vitezei este subordonată duratei minime a efectuării unui pas al MPP.

6.3.3. Sinteza sistemului automat cu regulator liniar

După ce s-a analizat sistemul cu microprocesor, ideea unui regulator continuu se poate relua acum cu scopul de a găsi caracteristica sa de transfer care satisface cel mai bine condițiile impuse sistemului automat. Se consideră o caracteristică generală PID cu coeficienți încă nedeterminați:

$$c = R(a) = x_1 - x_2 a - x_3 \frac{da}{d\tau} - x_4 \int a d\tau \quad (6.40)$$

Pentru a ajunge la ecuația algebrică de aproximare în momentul τ_k , se efectuează derivata funcției $R(a)$ în raport cu timpul, în momentul τ_{k-1} :

$$\left. \frac{dc}{d\tau} \right|_{k-1} = -x_2 \left. \frac{da}{d\tau} \right|_{k-1} - x_3 \left. \frac{d^2a}{d\tau^2} \right|_{k-1} - x_4 a_{k-1} \quad (6.41)$$

în care derivatele se aproximează astfel:

$$\begin{aligned} \left. \frac{dc}{d\tau} \right|_{k-1} &= \alpha_1 c_k + \beta_1 c_{k-1} + \gamma_1 c_{k-2} \\ \left. \frac{da}{d\tau} \right|_{k-1} &= \alpha_1 a_k + \beta_1 a_{k-1} + \gamma_1 a_{k-2} \\ \left. \frac{d^2a}{d\tau^2} \right|_{k-1} &= \alpha_2 a_k + \beta_2 a_{k-1} + \gamma_2 a_{k-2} \end{aligned} \quad (6.42)$$

Coeficienții de aproximare sînt [70,71,72]: $\alpha_1 = -\gamma_1 = 1/2\delta$, $\beta_1 = 0$; $\alpha_2 = \gamma_2 = 1/\delta^2$, $\beta_2 = -2/\delta^2$, corespunzînd aproximării derivate-
lor cu trei termeni și diferențe centrate.

După efectuarea calculelor se ajunge la forma (6.32), în
care:

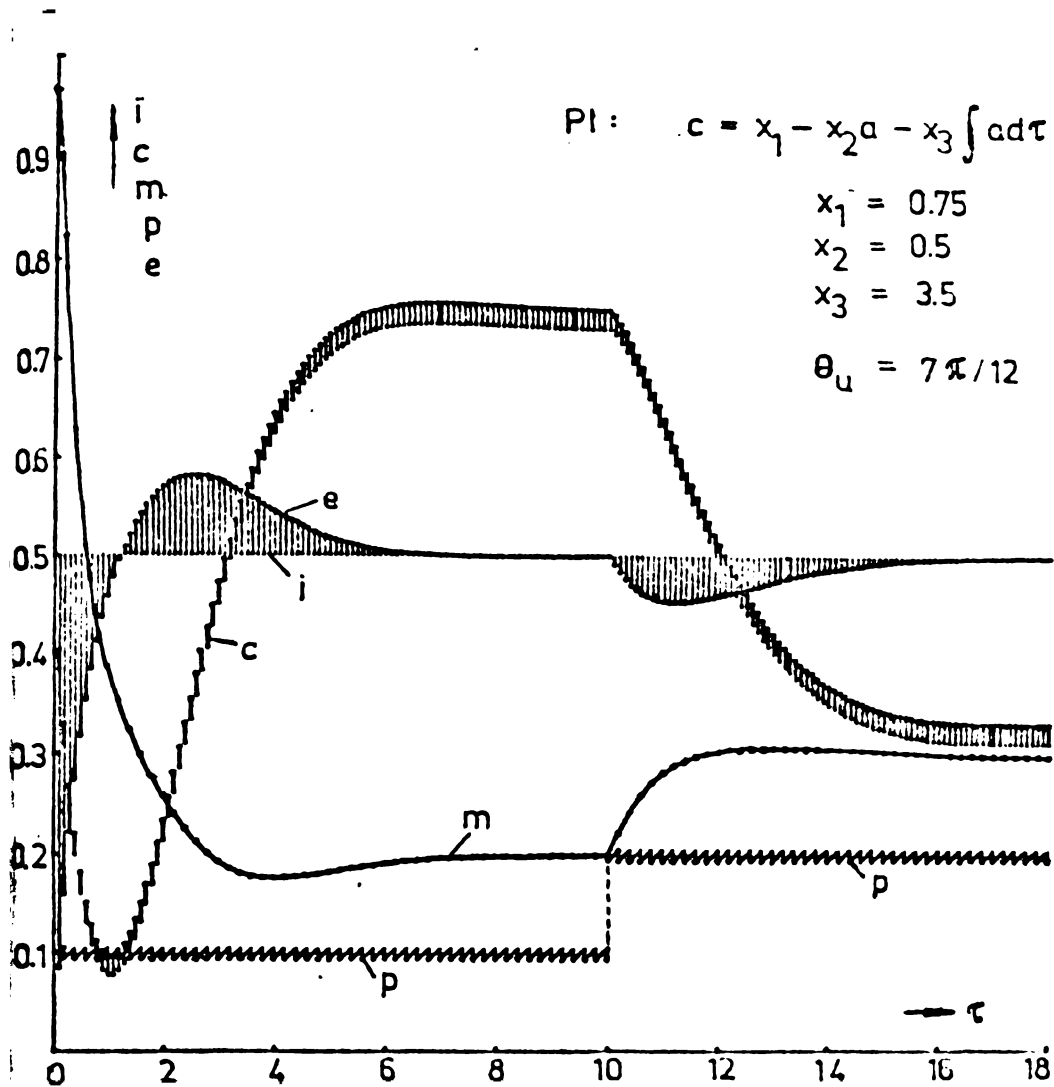
$$\begin{aligned} g_{R,k} &= -x_2 - 2x_3/\delta \\ h_{R,k} &= (2x_3/\delta - 2\delta x_4)a_{k-1} + (x_2 - 2x_3/\delta)a_{k-2} + c_{k-2}/2\delta \end{aligned} \quad (6.43)$$

Aceste expresii, împreună cu coeficienții g și h ai blocuri-
lor L și N (6.30,a, 6.31,a), se introduc în sistemul ecuațiilor al-
gebrice (6.36), din care se scot, pe calculator, variațiile mărimi-
lor sistemului automat. Se va urmări efectul parametrilor $x_1, x_2, x_3,$
 x_4 asupra răspunsului sistemului, coordonat de următoarele criterii:

- în regimul dinamic: un timp de răspuns minim, corespunzător unei suprareglări minime față de o treaptă de intrare dată; eroarea dinamică minimă la o treaptă de perturbație;
- în regimul staționar: eroare (abatere) staționară nulă în raport cu o treaptă de intrare dată, la orice valoare a perturbației.

Existența neliniarității importante în structura sistemului automat face imposibilă sinteza regulatorului după metode cunoscute în teoria sistemelor liniare [31]. Autorul va încerca, pe baza metodei de analiză pusă la punct, să evalueze influența celor patru parametri x_1, \dots, x_4 ai regulatorului asupra răspunsului sistemului la diferite trepte de intrare și de perturbație.

Se încearcă efectul componentelor P, I și D ale regulatorului asupra răspunsului sistemului. În figura 6.26 sînt reprezentate variațiile mărimilor caracteristice ale sistemului în cazul unui regulator PI. Componenta integratoare face ca răspunsul să fie mai rapid, dar cu suprareglare. În schimb are efect favorabil la variația perturbației, realizîndu-se o compensare completă a erorii staționare.



In figura 6.27 este reprezentat răspunsul sistemului cu regulator de diferite tipuri. Se constată în plus că includerea unei componente D în caracteristica regulatorului nu are efect favorabil (curba 3), mărind suprareglarea. Cu creșterea componentei I (scăderea constantei de timp de integrare $1/x_4$) răspunsul sistemului devine mai rapid (curbele 2 și 4).

Fig.6.26. Comportarea sistemului cu regulator PI.

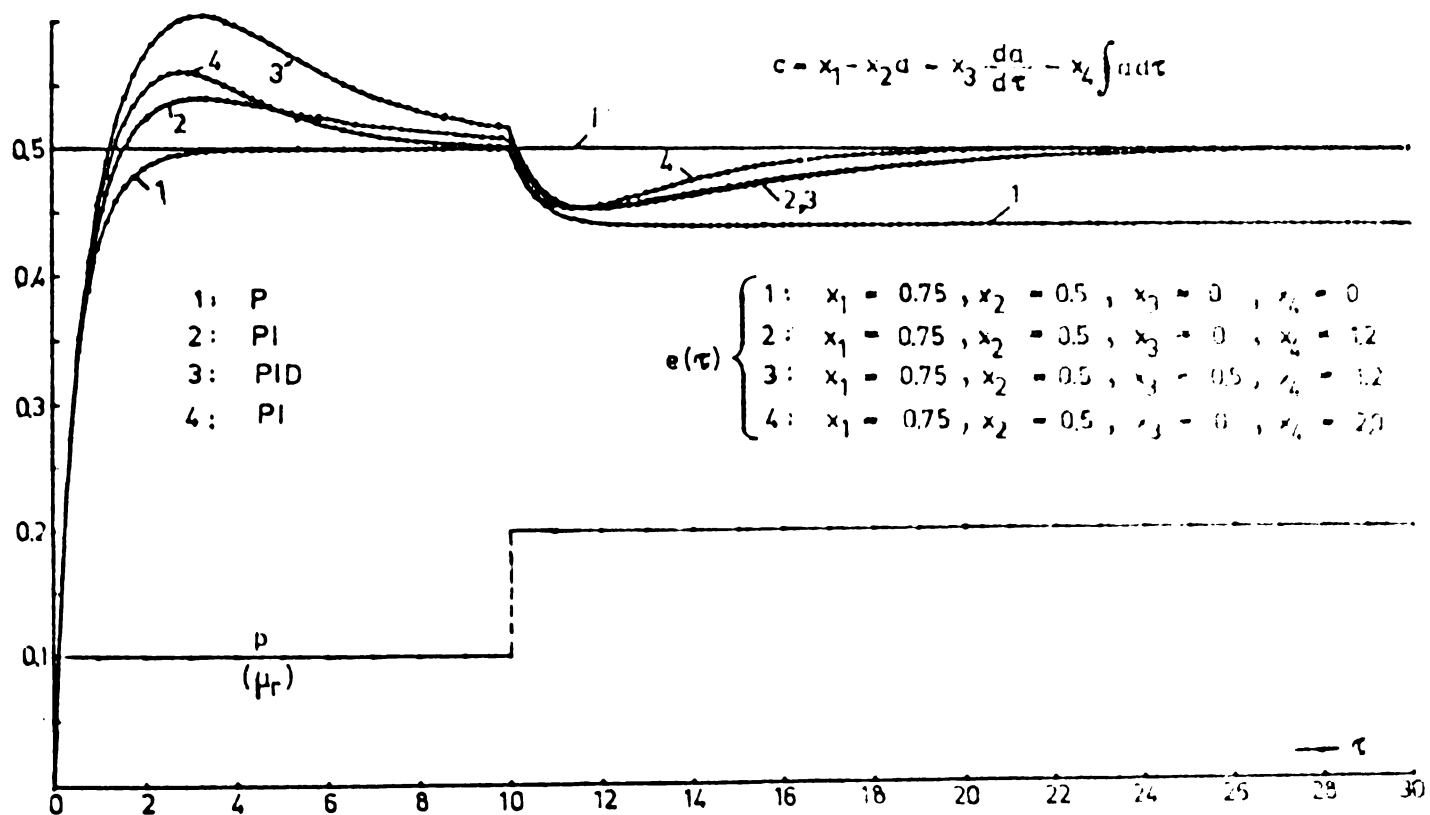


Fig.6.27. Răspunsul sistemului cu regulator P, PI, PID.

Exploatănd efectul favorabil al componentei integratoare a regulatorului în figura 6.28 sînt încercate diferite valori ale constantei de timp de integrare. Cu scăderea acesteia răspunsul devine mai rapid dar crește suprareglarea, putînd apărea și caracter oscilant (curba 3).

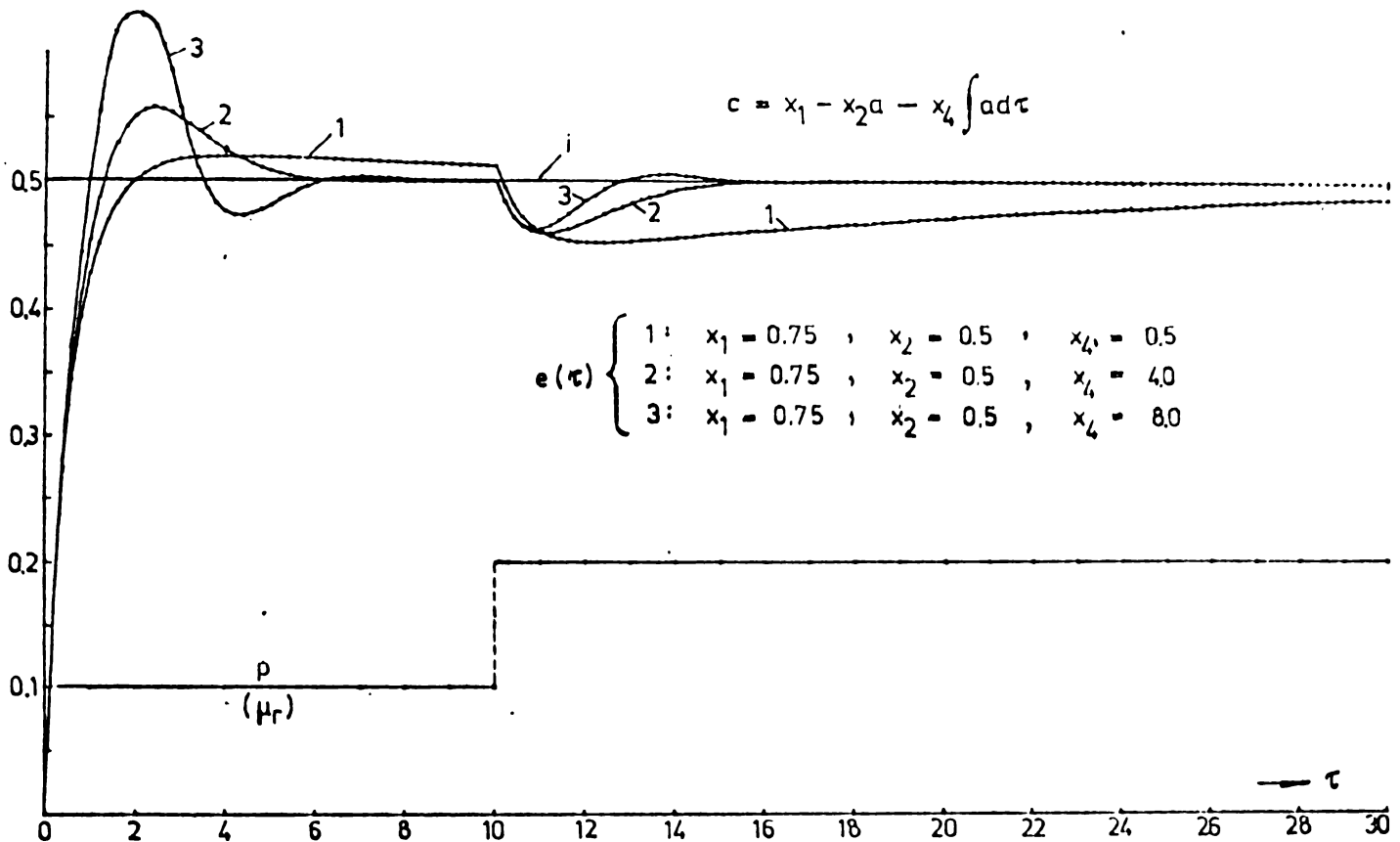


Fig.6.28. Răspunsul sistemului cu regulator PI.

Referitor la comanda cu regulator a sistemului automat trebuie făcută o precizare importantă. Teoretic mărimea de comandă c ar putea rezulta din regulator negativă, dar acest lucru nu are o interpretare practică. Din acest motiv trebuie limitată la zero valoarea minimă a lui c , fapt care se poate interpreta prin existența caracteristicilor limită de mers ale SAMPP în BM. Concret, dacă mărimea de intrare (viteza impusă), la valori date pentru p și ζ , depășește valoarea maximă corespunzătoare de pe caracteristica limită de mers (definită pentru $c=0$), nu se mai poate pretinde sistemului automat să răspundă corect. Aceeași situație se întâmplă și în cazul creșterii lui p sau în regimul de mers peste anumite limite, cînd sistemul nu va putea compensa eroarea staționară.

În figura 6.29 este reprezentat domeniul de variație pentru m și p , în funcție de mărimea de comandă c , la diferite mărimi de ieșire. Curbele sînt trasate pentru $\zeta = 0,1$ și $\theta_u = 7\pi/12$. Dacă, de exemplu, se impune $i=0,5$, sistemul nu va putea răspunde fără eroare dacă $p > 0,268$.

Din cele arătate rezultă necesitatea blocării acțiunii regulatorului la $c=0$, ori de câte ori această mărime ar deveni negativă, artificiu care s-a inclus și în programul de calcul pentru analiza sistemului.

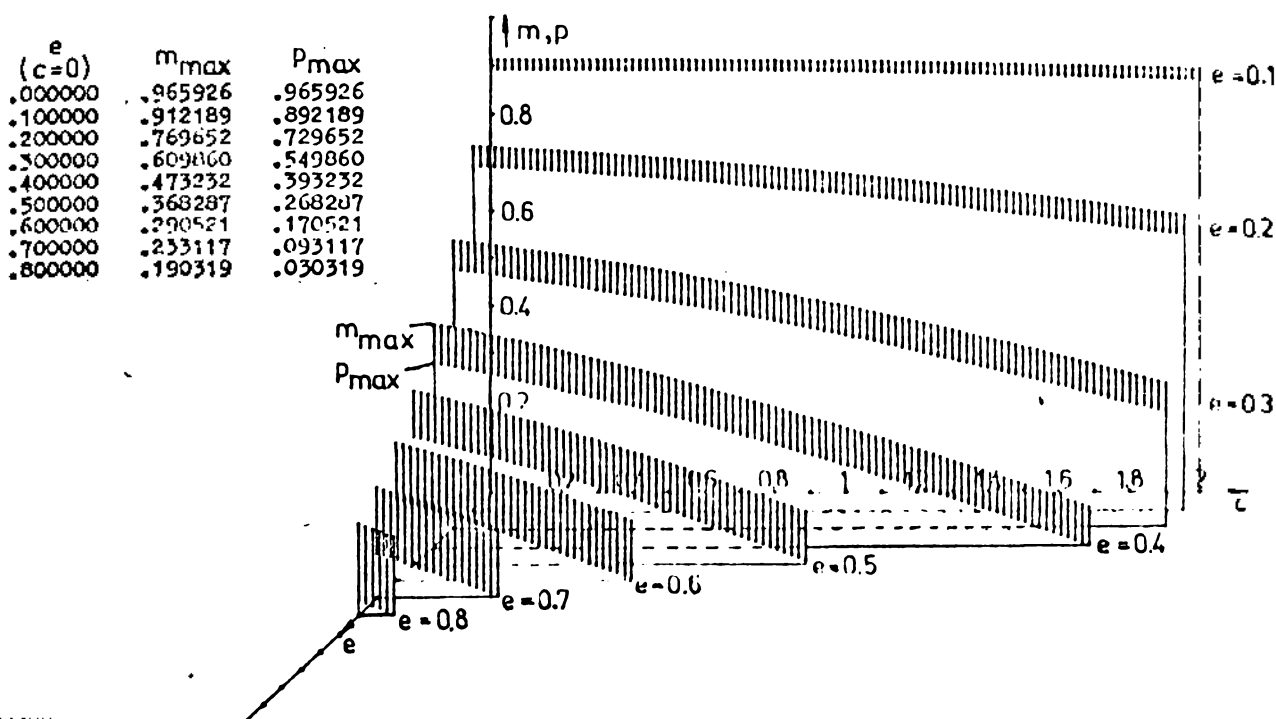


Fig.6.29. Domeniul de variație $m(c, e)$, la $\theta_u = 7\pi/12$.

Exemple de cazuri cînd intervine blocarea regulatorului sînt reprezentate în figura 6.30, în care sînt impuse mărimi de intrare diferite de 0,5 (pentru care s-a ajustat termenul x_1 al regulatorului). Dacă mărimea de intrare este mai mică, de exemplu $i=0,4$, sistemul lucrează fără eroare staționară, cu condiția ca (*v. fig. 6.30*) perturbația să nu depășească, pentru $\zeta = 0,1$, valoarea 0,393. Regulatorul nu este niciodată blocat, mărimea de comandă (c_3) nu devine zero. Dacă mărimea de intrare este mai mare decît 0,5, de exemplu $i=0,6$, răspunsul sistemului se obține fără eroare (curbele e_1, e_2), chiar dacă pentru x_4 mai mare, regulatorul se blochează o scurtă perioadă de timp (curba c_2), în schimb, la o perturbație $p=0,2$ (mai mare ca 0,17 - în fig. 6.29), sistemul prezintă o eroare staționară ε , datorită blocării regulatorului.

În fine, se pot acum da cîteva aprecieri generale privind sinteza sistemului automat cu regulator liniar continuu:

- un regulator PI este cel mai indicat;
- ajustarea termenului x_1 al regulatorului în funcție de i, p sau ζ se face o singură dată, nefiind necesară schimbarea lui cu variația unuia din cei 3 parametri;
- ajustarea lui x_2 este mai puțin importantă, din cauza existenței componentei I a regulatorului. Practic o valoare $0 < x_2 < 1$ este satisfăcătoare;

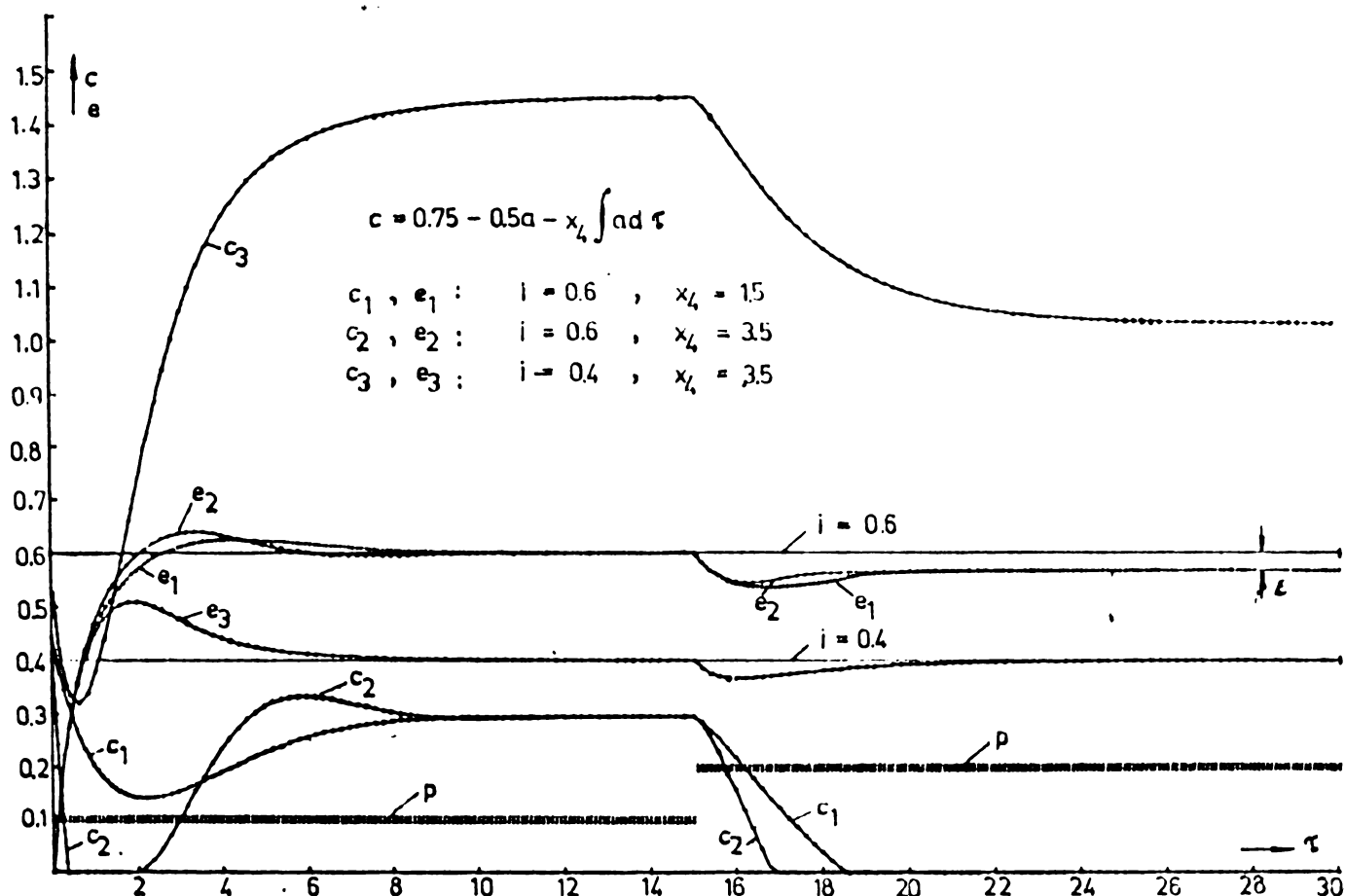


Fig.6.30. Comportarea sistemului în cazul blocării acțiunii regulatorului PI.

- ajustarea lui x_4 rezultă din analiza sistemului, pentru domeniul maxim de variație a lui i și p , în un ζ dat. Pentru a limita blocarea parțială a regulatorului, coeficientul x_4 trebuie să scadă cu creșterea lui i și invers. Valori $0,5 < x_4 < 4$ sînt satisfăcătoare;

- reglajul automat fără blocarea acțiunii regulatorului la $c=0$ nu este posibil decît sub caracteristica limită de mers a SAMPP în BM, care, din păcate, închide un domeniu tot mai mic cu creșterea vitezei impuse. Prin urmare cîmpul de acționare a regulatorului se îngustează cu creșterea lui i sau p .

6.4. Schema sistemului de poziționare cu motor pas cu pas în buclă minoră

În conformitate cu ideea de a comanda cu semnale continue SAMPP în BM, în figura 6.31 este arătată o schemă propusă de autor pentru poziționarea cu MPP în BM.

Schema se distinge prin comenzi de sens (nivel 1 sau 0), viteză (frecvența impulsurilor) și de poziție (numărul impulsurilor). Bucla vitezei operează cu semnal continuu asupra întârzierii impulsurilor pe bucla minoră (v. schema din fig.6.15), fiind interconectat în sistem cu mărimea de referință și cu mărimea de reacție - ambele cu caracter discret - prin intermediul convertoarelor N/A.

Bucula minoră conține și un bloc de decelerare-oprire care aplică injectarea sau suprimarea de impulsuri pe bucla minoră atunci când est atinsă poziția impusă.

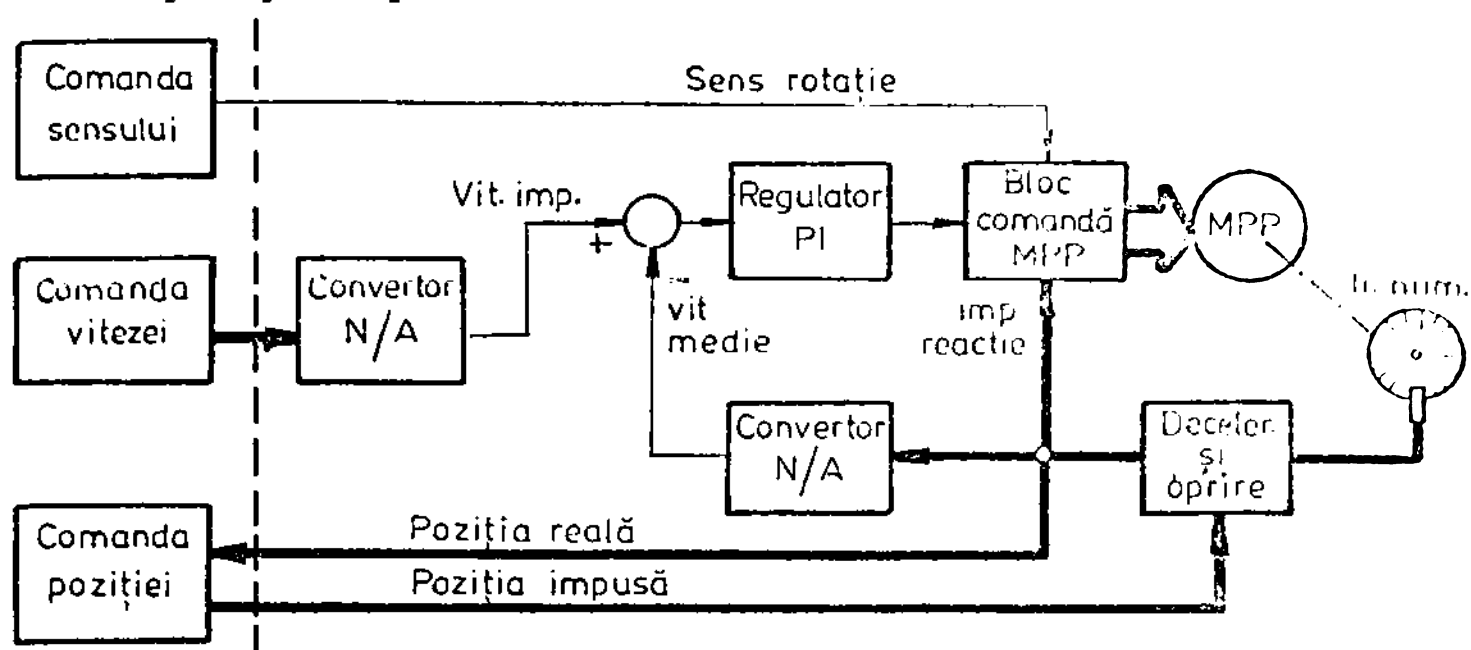


Fig.6.31. Schema SPMPP în BM.

Avantajele SPMPP în BM comandat prin semnale continue sînt, pe lîngă cele de principiu, definatorii pentru funcționarea MPP în buclă minoră, și acelea legate de faptul că bucla minoră oferă suplimentar o informație exactă asupra poziției reale a rotorului în orice moment. Există totuși și posibilitatea comenzi în buclă minoră a MPP, la care traductorul de poziție este înlocuit cu traductoare de curent [21]. În acest caz, însă, se pierde informația exactă asupra poziției reale a rotorului MPP.

Concluzii

1. MPP în buclă minoră oferă avantaje mari față de funcționarea în circuit deschis, cele mai importante fiind vitezele de mers ridicate și suplețea deosebită față de variațiile bruște ale sarcinii pe arbore.

2. Simularea numerică a funcționării SAMPP în BM a relevat forme de undă mult mai aplatizate pentru variabilele sistemului decât în cazul funcționării în circuit deschis. Aceasta a condus spre elaborarea unui model continuu al SAMPP în BM, în care toate variabilele sînt supuse legii echilibrului mișcării.

3. Includerea unghiului de comutație în ecuațiile modelului continuu a permis definirea întârzierii impulsurilor pe bucla minoră ca mărime de comandă a SAMPP în BM și care, compusă cu valoarea medie a vitezei motorului, dă un unghi echivalent de comutație ajustabil întotdeauna în sensul decalării în urmă a comutației.

4. Considerațiile făcute asupra injectării și suprimării de impulsuri în/din bucla minoră au arătat că acestea au efecte similare și pot schimba regimul MPP (accelerare-mers-decelerare).

5. Din analiza SAMPP în BM efectuată pe modelul continuu au reieșit comportări similare motorului de c.c. serie, față de mărimea de comandă și față de sarcina pe arbore. S-au calculat caracteristicile statice cuplu/viteză ale MPP, cu sens diferit de acelea corespunzătoare funcționării în circuit deschis.

6. Automatizarea SAMPP în BM presupune includerea unei bucle de reglare a vitezei, subordonată buclei de reglare a poziției. Comanda cu microprocesor rezolvă foarte comod problema ajustării vitezei motorului, dar operează cu algoritmi prea simple, dictate de necesitatea reducerii timpului afectat ciclului de calcul sub durata efectuării unui pas. Ideea unei automatizări cu regulator continuu poate pleca de la avantajul lipsei constrîngerii de timp în prelucrarea abaterii.

7. Metoda de analiză pe baza liniarizării caracteristicilor de transfer ale elementelor la un moment de timp dat, conduce spre calcularea facilă a răspunsului sistemului într-o gamă variată de parametri și semnale, și poate fi extinsă și pentru sinteza regulatorului. S-a dedus că un regulator PI cu limitarea mărimei sale de ieșire la valori pozitive satisface cerințele automatizării SAMPP în BM.

8. Schema propusă pentru SPMPP în BM lucrează la nivelul buclei de poziție cu mărimi discrete iar în bucla de viteză cu mărimi continue, beneficiind în plus de avantajul existenței unei informații sigure asupra poziției rotorului.

7. SISTEME DE POZITIONARE CU MPP IN REGIM DE MICROPASIRE

Funcționarea clasică a MPP se bazează pe alimentarea succesivă cu impulsuri (comandă potențială) a fazelor sale, astfel încât rotorul ocupă poziții determinate de axele fazelor alimentate. In regim de micropășire, alimentarea obișnuită cu impulsuri succesive este înlocuită cu alimentarea combinată a două faze alăturate în așa fel încât poziția rotorului să se poată situa în mai multe puncte dintre axele fazelor respective. In acest fel pasul mare al MPP este divizat în pași mai mici (micropași sau minipași), numărul acestora depinzând de totalitatea combinațiilor de alimentare a două faze alăturate.

Tehnica micropășirii este cunoscută abia în ultimii ani, prin urmare multe aspecte teoretice și practice ale acesteia sînt în curs de elaborare. Cîteva lucrări, deocamdată informative [25,60, 69,73,74], vin să susțină avantajul micropășirii față de funcționarea clasică a MPP. Se pot arăta următoarele calități ale funcționării în regim de micropășire a MPP:

- micșorarea pasului, deci mărirea rezoluției mișcării, cu implicații extrem de favorabile în tehnica poziționării;
- o mișcare foarte lină, cu oscilații mici, proprietate care rezolvă problema calității traseului de poziționare;
- o stabilitate a mișcării mult mai bună, datorită eliminării aproape complete a pericolului rezonanței de comutație;
- posibilitatea reducerii considerabile a deviației MPP, care constituie un factor esențial, în stabilirea preciziei de poziționare;
- cuplul maxim și viteza de rotație în general nu sînt diminuate, față de cazul funcționării clasice.

Pornind de la aceste considerații cu caracter informativ, autorul va prezenta un studiu al sistemelor de poziționare cu MPP în regim de micropășire (SPMPP în μP), pe baza unor realizări de concepție proprie. Anumite inovații legate de nomenclatura utilizată în acest capitol ar putea fi încă discutate, dat fiindcă pînă în prezent în literatura tehnică română nu au apărut lucrări din tematica abordată.

7.1. Principiul funcționării MPP în regim de micropășire

Pentru a diviza pasul mare al MPP, trebuie efectuată o alimentare combinată a două faze vecine, necesitînd convertoare

numeric-analogice de putere.

În figura 7.1 este arătată o schemă de principiu a alimentării unui MPP cu patru faze [25], adaptată MPP cu rotor pasiv (inductoare cu autoexcitație sau inductor-reactive).

Schema permite divizarea pasului mare al MPP în 4, adică:

$$\theta_{\mu e} = \frac{\theta_e}{K_v} = \frac{2\pi}{K_v m} = \frac{\pi}{2} \quad (7.1)$$

unde $\theta_{\mu e}$ reprezintă pasul electric divizat ("micropașul"),

K_v factorul de divizare ($K_v=4$), iar m numărul fazelor. Două convertoare numeric-analogice CNA 1 și CNA 2 realizate cu rezistențele R_{11}, \dots, R_{24} și contactele T_{11}, \dots, T_{24} asigură patru posibilități de alimentare a fazelor vecine (1-2, 2-3 etc.). Secvența închiderii contactelor este ilustrată în tabelul 7.1, unde apar codurile de comandă a convertoarelor și a contactelor principale K_1, \dots, K_4 . Numărul de micropași pe perioadă este $K_v m$, deci există 16 combinații de alimentare a fazelor MPP.

Problema esențială este de a calcula curenții necesari în faze pentru fiecare microtact v astfel încît să se obțină un cuplu maxim constant la fiecare microstare electrică și de asemenea puncte de echilibru stabil echidistante.

În figura 7.2 sînt reprezentate curbele $M(\theta)$ corespunzătoare fazelor 1 și 2 alimentate,

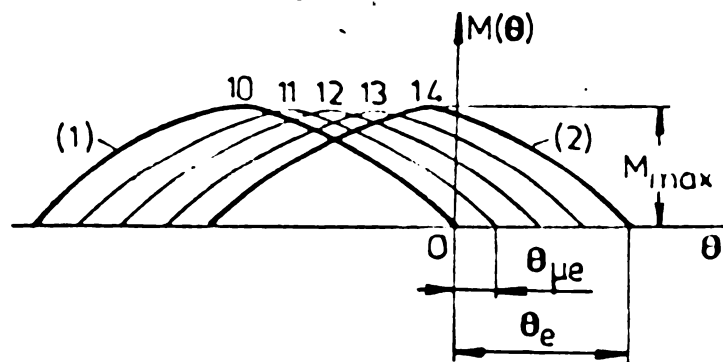


Fig.7.2. Curbele $M(\theta)$ la micropășire.

care îmbrățișează curbele cuplurilor aferente microstărilor electrice intermediare 11, 12, 13. Se caută legea de variație a curenților I_{1v} și I_{2v} care să satisfacă condițiile arătate mai sus, luîndu-se în discuție cazul

MPP inductoare cu autoexcitație și inductor-reactive cu patru faze.

Tabela 7.1

v	T ₁₁	T ₁₂	T ₁₃	T ₁₄	T ₂₁	T ₂₂	T ₂₃	T ₂₄	K ₁	K ₂	K ₃	K ₄
0	1	1	1	1	0	0	0	0	1	0	0	0
1	0	1	1	1	1	0	0	0	1	1	0	0
2	0	0	1	1	1	1	0	0	1	1	0	0
3	0	0	0	1	1	1	1	0	1	1	0	0
4	0	0	0	0	1	1	1	1	0	1	0	0
5	0	0	0	1	1	1	1	0	0	1	1	0
6	0	0	1	1	1	1	0	0	0	1	1	0
7	0	1	1	1	1	0	0	0	0	1	1	0
8	1	1	1	1	0	0	0	0	0	0	1	0
9	0	1	1	1	1	0	0	0	0	0	1	1
10	0	0	1	1	1	1	0	0	0	0	1	1
11	0	0	0	1	1	1	1	0	0	0	1	1
12	0	0	0	0	1	1	1	1	0	0	0	1
13	0	0	0	1	1	1	1	0	1	0	0	1
14	0	0	1	1	1	1	0	0	1	0	0	1
15	0	1	1	1	1	0	0	0	1	0	0	1
16	1	1	1	1	0	0	0	0	1	0	0	0

a) MPP inductor cu autoexcitație

Din expresia cuplului electromagnetic (3.4) se iau numai termenii cu indicii 1 și 2 și se egaleză expresia sa cu expresia cuplului echivalent microstării electrice v :

$$\begin{aligned}
 M_e &= \frac{p}{2} (i_1^2 \frac{dL_{11}}{d\theta} + 2i_1 i_2 \frac{dL_{12}}{d\theta} + i_2^2 \frac{dL_{22}}{d\theta}) = \\
 &= \frac{p}{2} I^2 L_1 k_M \sin(\theta - \theta_{pe})
 \end{aligned}
 \tag{7.2}$$

în care I este curentul corespunzător alimentării unei singure faze iar k_M este coeficientul cuplului maxim (tabelul 3.9), egal aici cu 1. Inductivitățile sînt, conform relațiilor 2.19:

$$\begin{aligned}
 L_{11} &= \frac{3}{2} L_0 + L_1 \cos\theta \\
 L_{12} &= \frac{1}{2} L_0 + \frac{\sqrt{2}}{2} \cos(\theta - \frac{\pi}{4}) \\
 L_{22} &= \frac{3}{2} L_0 + L_1 \sin\theta
 \end{aligned}
 \tag{7.3}$$

Introducînd inductivitățile în egalitatea (7.2) se obține:

$$i_1^2 \left(1 + \frac{i_2}{i_1}\right) (\sin\theta - \frac{i_2}{i_1} \cos\theta) = I^2 \sin(\theta - v\theta_{\mu e}) \quad (7.4)$$

Notînd $\operatorname{tg}\lambda = i_2/i_1$, după calcule, se obține:

$$\begin{aligned} \lambda &= v\theta_{\mu e} \\ i_1^2 \frac{1 + \operatorname{tg}\lambda}{\cos\lambda} &= I^2 \end{aligned} \quad (7.5)$$

sistem care, după rezolvare, dă relația necesară între curenți:

$$(i_1 + i_2) \sqrt{i_1^2 + i_2^2} = I^2 \quad (7.6)$$

și de asemenea expresiile curenților:

Tabelul 7.2

v	0	1	2	3	4
$\lambda = v\theta_{\mu e}$	0	$\pi/8$	$\pi/4$	$3\pi/8$	$\pi/2$
I_{1v}/I	1	0,808	0,595	0,335	0
I_{2v}/I	0	0,335	0,595	0,808	1

$$\begin{aligned} i_1 &= I_{1v} = I \frac{\cos\lambda}{\sqrt{\sin\lambda + \cos\lambda}}; \\ i_2 &= I_{2v} = I \frac{\sin\lambda}{\sqrt{\sin\lambda + \cos\lambda}} \end{aligned} \quad (7.7)$$

unde $\lambda = v\theta_{\mu e}$ ($\lambda=0, \dots, \pi/2$).
Dînd valori lui v, se obține:

curenții microstărilor electrice, așa cum se arată în tabelul 7.2.

b) MPP inductor-reactiv

Egalitatea (7.2) se păstrează, pentru $L_{12} = 0$ și $k_M = 2$, iar inductivitățile sînt scoase din relațiile (2.20):

$$\begin{aligned} L_{11} &= 2L_0 + 2L_1 \cos\theta \\ L_{22} &= 2L_0 + 2L_1 \sin\theta \end{aligned} \quad (7.8)$$

Se obține egalitatea echivalentă cu (7.4):

$$i_1^2 \left[\sin\theta - \left(\frac{i_2}{i_1}\right)^2 \cos\theta \right] = I^2 \sin(\theta - v\theta_{\mu e}) \quad (7.9)$$

Analog, notînd de astă dată $\operatorname{tg}\lambda = (i_2/i_1)^2$, se ajunge la sistemul:

$$\begin{aligned} \lambda &= v\theta_{\mu e} \\ \frac{i_1^2}{\cos\lambda} &= I^2 \end{aligned} \quad (7.10)$$

sistema care, după rezolvare, conduce la relația între curenți:

$$i_1^4 + i_2^4 = I^4 \quad (7.11)$$

și de asemenea la expresiile lor:

$$i_1 = I_{1v} = I \sqrt{\cos \lambda} ; \quad i_2 = I_{2v} = I \sqrt{\sin \lambda} \quad (7.12)$$

în care $\lambda = v\theta_{\mu e}$ ($\lambda = 0, \dots, \pi/2$). Pentru diferite valori ale micro-
tactului v , rezultă valorile curenților, date în tabelul 7.3.

Tabelul 7.3

v	0	1	2	3	4
$\lambda = v\theta_{\mu e}$	0	$\pi/8$	$\pi/4$	$3\pi/8$	$\pi/2$
I_{1v}/I	1	0,961	0,840	0,619	0
I_{2v}/I	0	0,619	0,840	0,961	1

Pentru alte tipuri de MPP trebuie calculate expresii corespunzătoare, metoda rămânând aceeași. De exemplu, pentru MPP inductoare bifilare cu rotor activ cu magneti permanenți, relația cu-

renților este [25]:

$$i_1^2 + i_2^2 = 2I^2 \quad (7.13)$$

Trebuie precizat că regimul de micropășire derivă din secvența de alimentare simetrică simplă (1-2-3-4...), trecînd treptat de la o stare electrică la alta prin stări intermediare (microstări). Rezultă că regimul micropășirii nu poate deriva din secvența simetrică dublă, de exemplu trecînd treptat din starea 12 în starea 23, deoarece stările 1 și 3 sînt în opoziție. Pentru număr de faze $m > 4$ regimul micropășirii între stări aferente secvențelor multiple este însă posibil.

Pentru MPP cu 4 faze micropășirea se aplică cel mai eficient în cazul MPP inductor-reactiv, care are cuplul cel mai mare în secvența de alimentare simplă ($k_M = 2$). Se remarcă de asemenea complicarea schemei de alimentare a MPP cu mărirea numărului de micropași pe o perioadă (K_v).

O observație foarte interesantă se poate face în situația

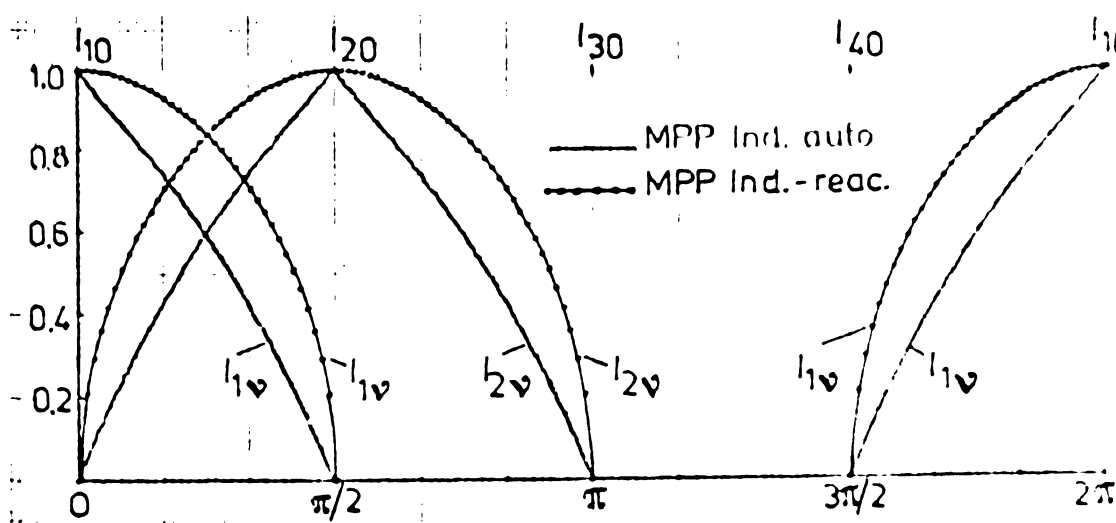


Fig.7.3. Variația curenților în fazele 1 și 2 cu unghiul de rotație.

limită cînd $K_v \rightarrow \infty$. În figura 7.3 este reprezentată variația lui I_{1v}/I cu unghiul de rotație pe o perioadă. Rezultă că forma curențului necesar pentru a deplasa rotorul uniform sub acțiunea unui cuplu maxim constant reprezintă

arce mai mult sau mai puțin turtite de sinusoidale (depinzând de variația cuplului cu unghiul).

Prin extrapolare, se poate deduce că în cazul unui MPP reactiv, care se poate alimenta în secvență bipolară, forma curentului în faze depinde sinusoidal (exact sau turtit) de unghi. În acest mod se prefigurează principiul cunoscut de comandă a motoarelor sincrone cu reluctanță variabilă alimentate de la rețeaua de c.a.

7.2. Schema SPMPP în μP

Preluând o serie de scheme de poziționare elaborate pentru MPP cu funcționare clasică [30,42,46,47,48,49,51,92] și dezvoltând schema de alimentare din figura 7.1, autorul propune o schemă a SPMPP în μP , cu posibilitatea funcționării atât în circuit deschis cât și în circuit închis. În figura 7.4 este redată această schemă, în care un comutator separă cele două moduri de comandă a MPP.

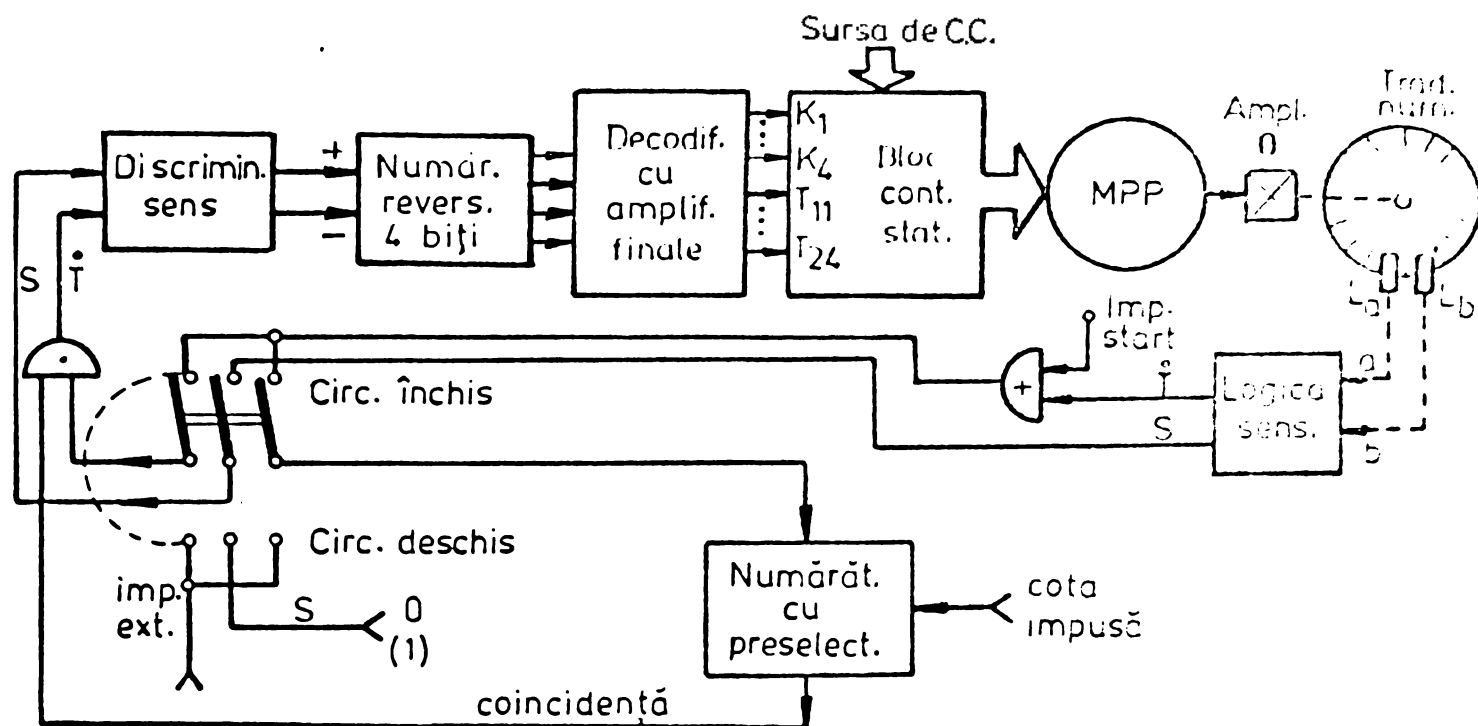


Fig.7.4. Schema bloc a SPMPP în μP .

Elementul central este un numărător reversibil cu 4 biți care dă cele 16 combinații posibile, necesare pentru 4 micropași cuprinși într-un pas mare al MPP. Ieșirile numărătorului sînt prelucrate într-un decodificator cu 12 ieșiri, spre K_1, \dots, K_2 și T_{11}, \dots, T_{24} , din schema de alimentare a MPP (fig.7.1). Secvențele ieșirilor decodificatorului sînt arătate în tabelul 7.1.

În circuit deschis poziționarea se realizează prin atacarea numărătorului cu preselecție cu impulsurile de comandă din exterior. La coincidență se emite un semnal de blocare a căii de tact din bucla directă.

La funcționarea în circuit închis, motorul trebuie să se comande singur, similar cazului buclei minore. Pentru aceasta este cuplat la arbore cu un traductor numeric cu doi senzori L_a, L_b , sensibil la sensul de rotație. Traductorul trebuie să măsoare micropașii, deci trebuie să aibă $360 K_v/\theta_p$ fante, iar dacă acest număr este prea mare, atunci se intercalează între motor și traductor un

amplificator de unghi (de exemplu un reductor cu raportul de amplificare $K_v = 4$, iar discul traductorului să aibă $360/\theta_p$ fante

Existența unui traductor sensibil la sensul rotației rezidă din necesitatea compensării deviației MPP, așa

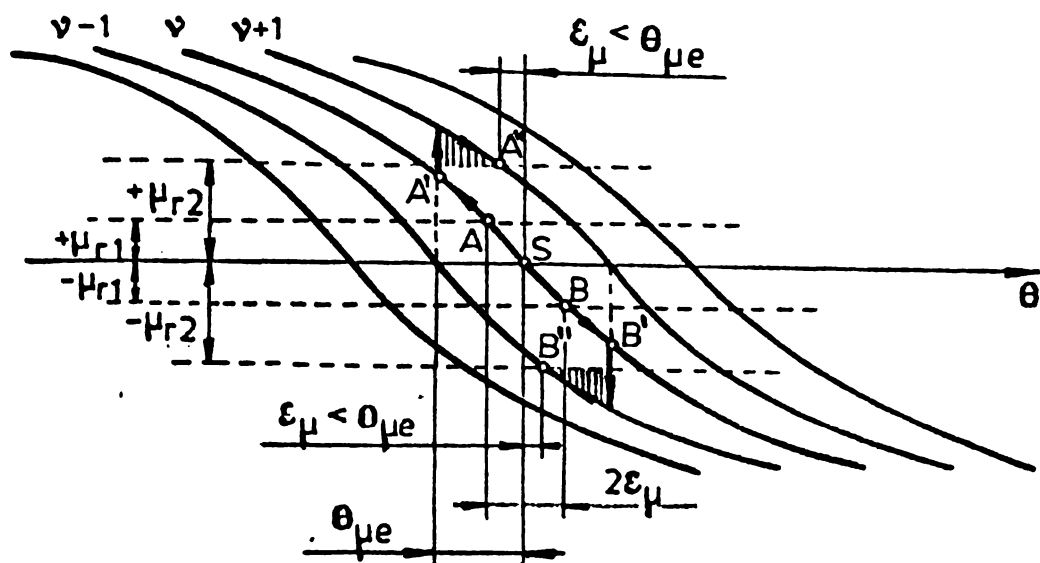


Fig.7.5. Compensarea deviației în circuit închis.

cum reiese din figura 7.5. S-a arătat că deviația MPP în funcționarea cu pași mari (întregi) este deplasarea rotorului de la poziția inițială de echilibru ca urmare a acțiunii cuplului rezistent pe arbore. Deviația MPP este de $\pm \theta_e = \pi/2$ (relația 4.1) și determină în cea mai mare parte precizia de poziționare. În regim de micropășire, la microstarea electrică v și cuplul rezistent $+M_{r1}$, deviația ϵ_μ este mai mică decât $\theta_{\mu e}$. La creșterea cuplului rezistent peste o anumită limită, deviația crescînd din A în A' , aici apare un impuls pe reacție care întoarce MPP la micro-starea electrică $v+1$ (traseul $A-A'-A''$), deviația fiind în final mai mică decât $\theta_{\mu e}$. Exact invers se petrec lucrurile la acțiunea unui cuplu rezistent $-M_{r1}$.

Se poate spune astfel că în regim de micropășire deviația MPP se reduce de K_v ori, adică se situează în intervalul:

$$\epsilon_\mu \in \left[-\frac{\theta_e}{K_v}, +\frac{\theta_e}{K_v} \right] \quad (7.14)$$

Detaliile asupra traductorului sensibil, la sensul de rotație sînt prezentate în figura 7.6 [47,82].

Principiul de funcționare constă în implementarea funcțiilor logice $m=a.\dot{b}$ și $n=a.\ddot{b}$ (indicele "o" se referă la impulsul format). La primul impuls negativ m apare semnul de sens S , iar la

primul impuls negativ n, sensul \bar{S} . Alături de semnalul S, traductorul furnizează și impulsuri de tact T.

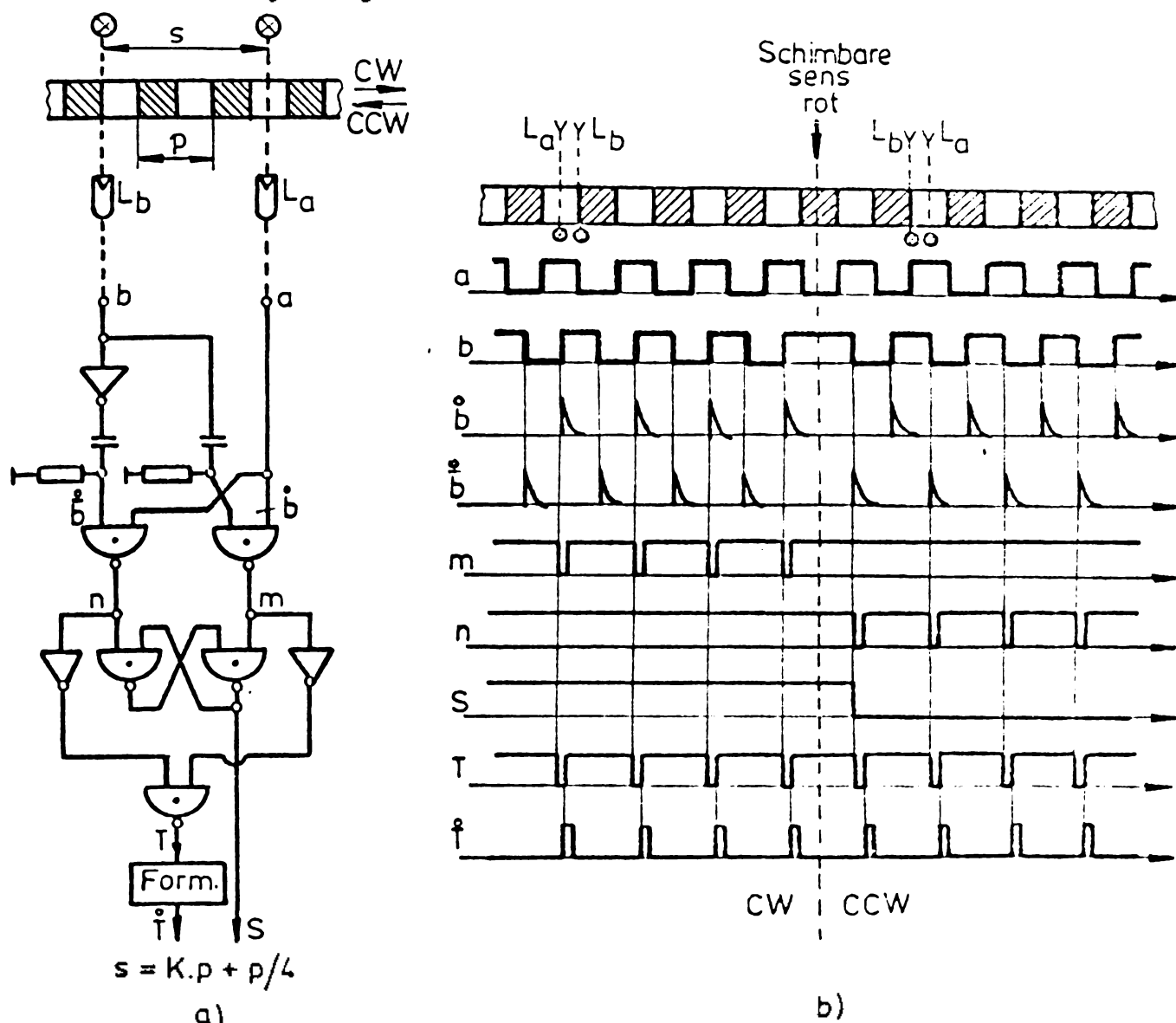


Fig. 7.6. Traductor numeric sensibil la sensul de rotație: a) schema de principiu; b) diagrama de impulsuri.

7.3. Calculul schemei de alimentare

Se ia cazul concret al unui MPP inductor cu autoexcitație, cu patru faze, având datele din tabelul 3.4, modificate astfel:

$$U = 60V, \quad I = 8A, \quad R_f = 2,5 \Omega \quad (\text{s-au inclus rez. } T_{11}, \dots, T_{14})$$

Modificarea curentului în faze, conform tabelului 7.2, se face prin dimensionarea adecvată a rezistențelor din convertoarele numeric-analogice CNA1 și CNA2, conținute în schema din figura 7.1.

Rezistența echivalentă a CNA1 în microstarea v , presupunând că sînt în conducție fazele 1 și 2, este:

$$R_{1v \text{ ech}} = \frac{U}{I_{1v}} - R_f \quad (7.15)$$

Cu datele cunoscute, se completează tabelul 7.4, al rezistențelor echivalente ale CNA1 și CNA2.

Tabelul 7.4

v	0	1	2	3	4
I_1 [A]	8	6,47	4,75	2,68	0
I_2 [A]	0	2,68	4,75	6,47	8
$R_{1v\text{ech}}$ [Ω]	5	6,78	10,15	20	∞
$R_{2v\text{ech}}$ [Ω]	∞	20	10,15	6,78	5

Cunoscînd secvența închiderii contactelor T_{11}, \dots, T_{14} și T_{21}, \dots, T_{24} , rezultă expresiile rezistențelor echivalente ale convertoarelor:

$$\begin{aligned}
 R_{10\text{ech}} &= R_{11} \parallel R_{12} \parallel R_{13} \parallel R_{14} \\
 R_{11\text{ech}} &= R_{12} \parallel R_{13} \parallel R_{14} \\
 R_{12\text{ech}} &= R_{13} \parallel R_{14} \\
 R_{13\text{ech}} &= R_{14} \\
 R_{14\text{ech}} &= R_{20\text{ech}} = \infty
 \end{aligned}
 \tag{7.16}$$

iar pentru R_{20}, \dots, R_{24} se schimbă numai primul indice 1 cu 2. Rezolvînd sistemul (7.16) se obțin:

$$\begin{aligned}
 R_{11} = R_{24} &= 19,05 \Omega ; \quad R_{13} = R_{22} = 20,6 \Omega \\
 R_{12} = R_{23} &= 20,5 \Omega ; \quad R_{14} = R_{21} = 20 \Omega
 \end{aligned}
 \tag{7.17}$$

Practic se poate lua $R_{11} = \dots = R_{14} = 20 \Omega$, eroarea față de valorile calculate fiind nesemnificative. Același valoare, de 20Ω se montează și în bucla de supresare, de la CNA la bara +U, deci $R_{s1} = R_{s2} = 20 \Omega$.

Regimul curenților în comutatoarele statice ale schemei se poate calcula cunoscînd acum rezistențele convertoarelor. Printr-un calcul de rutină, cu $R_{11} = \dots = R_{14} = 20 \Omega$, s-au obținut valorile lor, plasate în tabelul 7.5. Valorile practice diferă puțin de

Tabelul 7.5

v	0	1	2	3	4
I_{11} [A]	2	0	0	0	0
I_{12} [A]	2	2,18	0	0	0
I_{13} [A]	2	2,18	2,4	0	0
I_{14} [A]	2	2,18	2,4	2,67	0
ΣI [A]	8	6,54	4,8	2,67	0
I ideal	8	6,47	4,75	2,68	0

cele teoretice. Se observă că toate comutatoarele T_{11}, \dots, T_{14} sînt sollicitate la curenți puțin diferiți de la o microstare la alta, avantaj lăsat de tipul MPI.

Practic comutatoarele T_{11}, \dots, T_{14} și T_{21}, \dots, T_{24} pot fi tranzistoare de comutație iar K_1, \dots, K_4 ,

tiristoare, fără circuite de stingere, stingerea efectuîndu-se prin ruperea curențului în CNA.

7.4. Simularea numerică a funcționării MPP în regim de micropășire

O abordare mai profundă a micropășirii se poate face cercetînd transformările magneto-și mecano-electrice interne ale MPP încadrat într-un sistem de acționare. Ca model matematic se utilizează sistemul m-fazat (3.5) în care se iau numai 2 ecuații de tensiuni și ecuația de mișcare. Luînd $i, j = 1, 2$ și $m=4$, rezultă sistemul:

$$\begin{aligned} R_1 i_1 + L_{11} \frac{di_1}{dt} + L_{12} \frac{di_2}{dt} + \frac{d\theta}{dt} \left(i_1 \frac{dL_{11}}{d\theta} + i_2 \frac{dL_{12}}{d\theta} \right) &= u_1 \\ R_2 i_2 + L_{12} \frac{di_1}{dt} + L_{22} \frac{di_2}{dt} + \frac{d\theta}{dt} \left(i_1 \frac{dL_{12}}{d\theta} + i_2 \frac{dL_{22}}{d\theta} \right) &= u_2 \\ \frac{d\theta}{dt} &= \omega \end{aligned} \quad (7.18)$$

$$\frac{d\omega}{dt} = \frac{p}{2} \left(i_1^2 \frac{dL_{11}}{d\theta} + 2i_1 i_2 \frac{dL_{12}}{d\theta} + i_2^2 \frac{dL_{22}}{d\theta} \right) - \frac{B}{p} \frac{d\theta}{dt} - M_r$$

În formă matriceală, ecuațiile de tensiuni se scriu:

$$\begin{bmatrix} L_{11} & L_{12} \\ L_{12} & L_{22} \end{bmatrix} \begin{bmatrix} D_1 \\ D_2 \end{bmatrix} = \begin{bmatrix} u_1 - R_1 i_1 - X_1 \omega \\ u_2 - R_2 i_2 - X_2 \omega \end{bmatrix} \quad (7.19)$$

unde s-au notat:

$$\begin{aligned} D_1 &= \frac{di_1}{dt}, \quad D_2 = \frac{di_2}{dt} \\ X_1 &= i_1 \frac{dL_{11}}{d\theta} + i_2 \frac{dL_{12}}{d\theta} \\ X_2 &= i_1 \frac{dL_{12}}{d\theta} + i_2 \frac{dL_{22}}{d\theta} \end{aligned} \quad (7.20)$$

Sistemul (7.19) se explicitiază în raport cu D_1 și D_2 , obținînd:

$$\begin{bmatrix} D_1 \\ D_2 \end{bmatrix} = \frac{1}{\det L} \begin{bmatrix} L_{22} & -L_{12} \\ -L_{12} & L_{11} \end{bmatrix} \begin{bmatrix} u_1 - R_1 i_1 - X_1 \omega \\ u_2 - R_2 i_2 - X_2 \omega \end{bmatrix} \quad (7.21)$$

unde $\det L = L_{11}L_{22} - L_{12}^2$.

Se normează ecuațiile alegînd și calculînd mărimile de bază (v. tabelul 3.2):

$$\begin{aligned} U_b &= 60V, \quad I_b = 8A, \quad R_b = 7,5\Omega, \quad L_b = L_1 = 0,0035H, \\ M_b &= 9,25 Nm, \quad T_b = 1,15 \cdot 10^{-3} s. \end{aligned} \quad (7.22)$$

In cazul MPP inductor cu autoexcitație, inductivitățile au expresiile (7.3). Efectuând normarea ecuațiilor, se obține sistemul cu mărimi raportate:

$$\begin{aligned} \frac{di_1}{d\tau} &= \frac{1}{\det \ell} \left[\ell_{22}(u_1 - r_1 i_1 - x_1 \omega) - \ell_{12}(u_2 - r_2 i_2 - x_2 \omega) \right] \\ \frac{di_2}{d\tau} &= \frac{1}{\det \ell} \left[-\ell_{12}(u_1 - r_1 i_1 - x_1 \omega) + \ell_{11}(u_2 - r_2 i_2 - x_2 \omega) \right] \\ \frac{d\theta}{d\tau} &= \omega \\ \frac{d\omega}{d\tau} &= i_1^2 \frac{d\ell_{11}}{d\theta} + 2i_1 i_2 \frac{d\ell_{12}}{d\theta} + i_2^2 \frac{d\ell_{22}}{d\theta} - 2\zeta \omega - \mu_r \end{aligned} \quad (7.23)$$

în care:

$$\begin{aligned} \ell_{11} &= 4,83 + \cos\theta \\ \ell_{12} &= 1,61 + 0,707 \cos(\theta - \pi/4) \\ \ell_{22} &= 4,83 + \sin\theta \\ r_1 &= \frac{R_1 v_{ech} + R_f}{R_b}, \quad r_2 = \frac{R_2 v_{ech} + R_f}{R_b} \end{aligned} \quad (7.24)$$

iar $\det \ell = \det L/L_b$, x_1 și x_2 corespund la X_1, X_2 . S-a luat $\zeta = 0,2$, $\mu_r = 0,1$ și o durată între două microtacturi $d=12$, ceea ce înseamnă schimbarea lui v la multiplii timpului raportat egal cu 12, deci frecvența de microtact $f_p = 1/d = 0,083$ (96 microtacturi/sec.).

Pentru integrarea numerică a sistemului 7.23 pe lungimea unui pas mare al MPP, s-a recurs la calculatorul "Hewlett Packard 9820" dotat cu subprogram Runge-Kutta. La schimbarea lui v s-au inclus instrucțiuni pentru modificarea lui r_1, r_2, u_1 și u_2 , așa cum se arată în tabelul 7.6, folosind relațiile (7.24) și tabelul 7.1.

Tabelul 7.6

v	0	1	2	3	4
r_1	1	1,22	1,66	3	3*
r_2	3*	3	1,66	1,22	1
u_1	1	1	1	1	0
u_2	0	1	1	1	1

Valorile notate cu * corespund situațiilor când unul din CNA este blocat, curentul scurgându-se prin bucla supresoare R_s, D_s .

Drept condiții inițiale s-au luat valorile corespunzătoare alimentării fazei 1 (CNA2 blocat), adică s-au luat (v.coloana 1 în tabelul 7.6, pentru $v = 0$):

$$i_1(0) = 1, \quad i_2(0) = 0, \quad \theta(0) = -\arcsin \mu_r, \quad \omega(0) = 0. \quad (7.25)$$

Rezultatele plotate ale integrării numerice sînt arătate în figura 7.7. Se poate distinge variația discretă în salturi mici a curenților și unghiului de rotație.

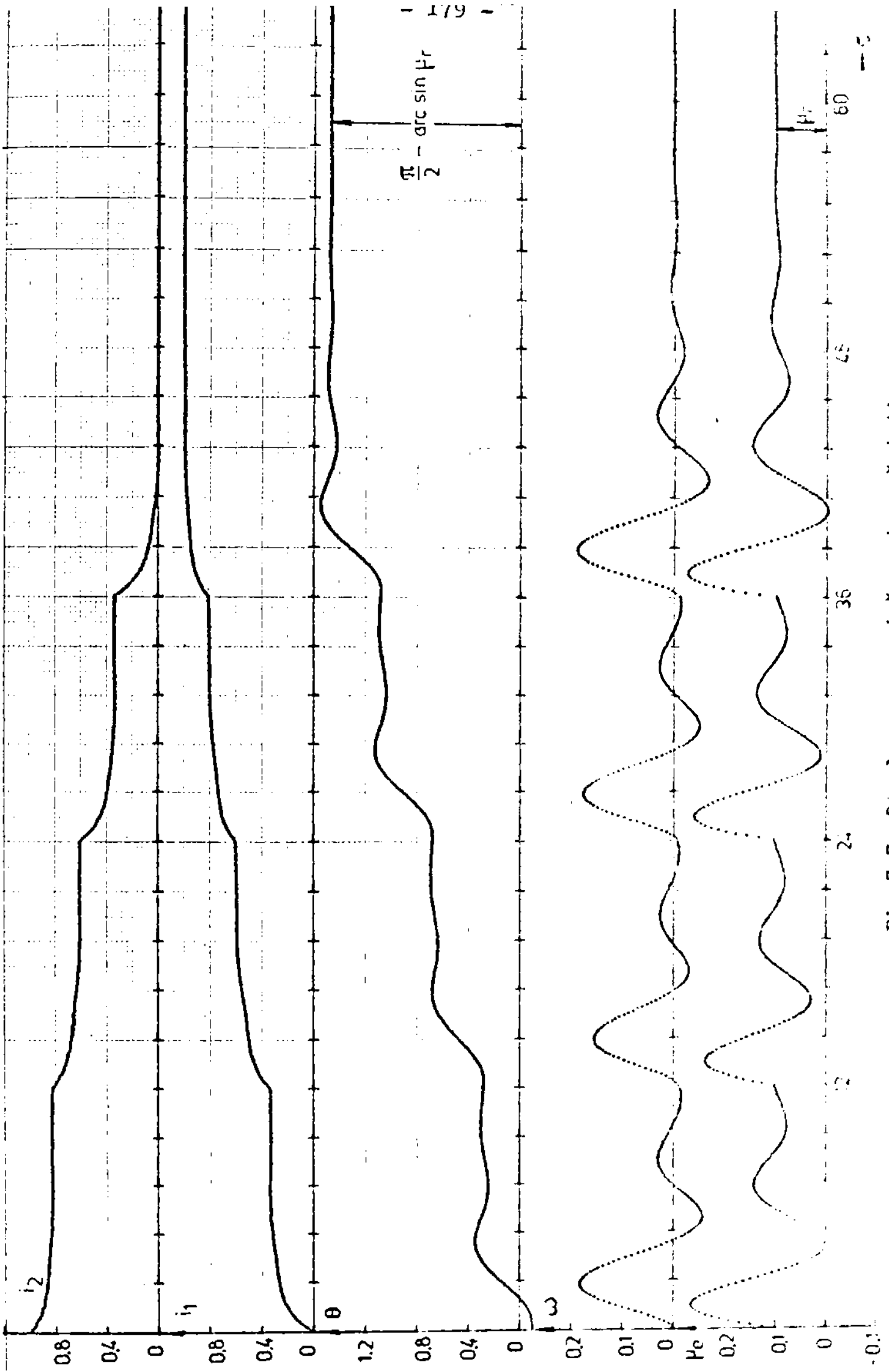


Fig.7.7. Simularee numerice a microprocesorului.

Mișcarea fiind descompusă în micro-pași, are un aspect destul de apropiat de cea liniară, demonstrând aici rezoluția superioară a MPP în regim de micropășire.

Modelul (7.23) se poate extinde și pentru pasul mare următor, dacă se înlocuiește l_{11} cu l_{33} și l_{12} cu l_{23} , noile inductivități fiind determinate de modificarea poziției rotorice după un pas mare al MPP. Acestea se obțin din relațiile (2.19):

$$\begin{aligned} L_{23} &= \frac{1}{2} L_0 + \frac{\sqrt{2}}{2} L_1 \cos(\theta - 3\pi/4) \\ L_{33} &= \frac{3}{2} L_0 - L_1 \cos\theta \end{aligned} \quad (7.26)$$

Rezistențele variază analog cu cazul mișcării în interiorul primului pas mare, dar în sens invers celui arătat în tabelul 7.6.

În figura 7.8 sînt arătate, spre comparație, variațiile unghiului la micropășire (punctual) și la funcționare clasică. Se constată clar că în regim de micropășire mișcarea rotorului este mult mai lină decît în regim de funcționare clasic, adică în pași mari. De asemenea, oscilațiile finale ale rotorului sînt mult mai mici în cazul micropășirii.

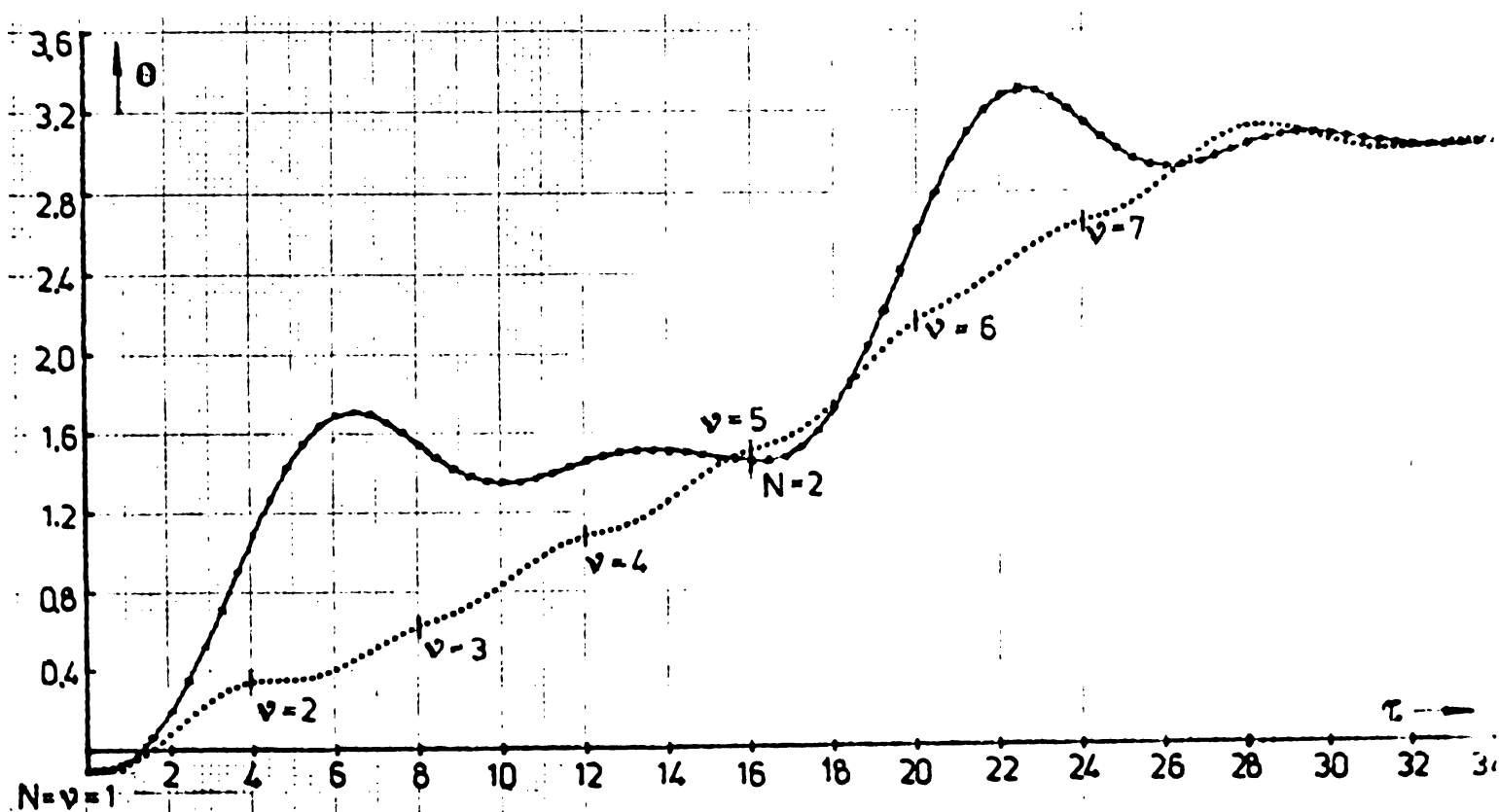


Fig.7.8. Comparație între pășire și micropășire.

Frecvența de micro-tact este, evident, de K_ν ori mai mare decît frecvența de tact și de acest lucru trebuie ținut seama la calculul frecvenței de comandă a MPP în regim de micropășire.

Concluzii

1. Avantajele SPMPP în μP constau în principal în mărirea rezoluției și creșterea stabilității mișcării.

2. Schema de alimentare a MPP devine complicată cu mărirea factorului de divizare K_V , dar rămîne competitivă pentru $K_V = 4 \div 8$, dacă în practică se cer rezoluții mari.

3. Funcționarea stabilă impune o lege de legătură între curenții în faze, dependentă de tipul MPP și de K_V .

4. La funcționarea în circuit deschis, micropăgirea este puternic influențată de valoarea cuplului rezistent. În circuit închis, cu buclă minoră și traductor sensibil la sensul de rotație, apare posibilitatea excepțională de compensare a deviației în limite inferioare unui micropas.

5. Schema de alimentare cu convertoare numeric-analogice formate din rezistențe este cea mai simplă și ușor de implementat, dat fiindcă regimul curenților în fiecare comutator static este relativ ușor.

6. Simularea numerică a micropăgirii a confirmat avantajele esențiale ale acestei noi tehnici de comandă a MPP.

8. CONSIDERATII ASUPRA PROIECTARII SPMPP.
INCERCARI EXPERIMENTALE SI APLICATII
INDUSTRIALE

Conținutul acestui capitol, predominant aplicativ, are la bază experiența practică de proiectare-execuție a autorului în domeniul sistemelor de poziționare cu motoare pas cu pas. Sînt arătate aici aspectele specifice ale proiectării SPMPP, dezvăluind scopul aplicativ al capitolelor anterioare, verificînd totodată și unele idei originale ale lucrării. În final sînt prezentate prin fotografii unele realizări în fază industrială cu MPP, cu contribuția directă a autorului.

8.1. Considerații asupra proiectării SPMPP

MPP a cucerit un loc determinant în sisteme de poziționare, satisfăcînd prin performanțele sale o mare parte din cerințele reglării poziției. Un concurent important al MPP este motorul de curent continuu (MCC), fapt pentru care se impune o departajare a calităților acestora în ce privește reglarea poziției (tabelul 8.1) [2,4,53,81].

Tabelul 8.1

M o t o r	V i t e z e	Cupluri	Randament	Schema de comandă	Traductoare	Siguranță în funcționare	Sensibilitate la rețiu	Parte mecanică (transmisii)	Rezistență mișcării	Preț de cost
MPP	mici	mici	mediu	simplă	pot lipsi	bună	mică	simplă	f.bună	mediu
MCC	mari	mari	mare	complexă	poziție viteză curent	medie	mare	complexă	medie	mare

Se constată că, cu excepția parametrilor care definesc motorul ca mijloc de acționare, MPP are mari avantaje, fiind cel mai adecvat reglării poziției.

În proiectarea SPMPP trebuie luate în vedere următoarele criterii:

- alegerea tipului de MPP;
- alegerea sistemului de alimentare al MPP;
- alegerea sistemului de poziționare.

Referitor la alegerea tipului de MPP în tabelul 8.2 este arătată o comparație, cu scop orientativ, între tipurile constructive mai răspândite de MPP [4,5,8,55,62,80].

Tabelul 8.2

Caract. tip MPP	Unghi de pas	Raport cuplu/ inerție	Frecv. maximă de com.	Stabilit. mișcării	Randa- ment	Preț de cost	Robus- tețe	Gama de cupluri și viteze
cu rotor pasiv	mic	mare	mare	medie	slab	mic	bună	f.mare
cu rotor activ	mare	mic	mică	bună	bun	mediu	slabă	mică
hibride	mic	mediu	medie	medie	f.bun	mare	slabă	medie

Sistemul de alimentare se referă la tehnica aplicării impulsurilor de curent în fazele MPP, aceasta determinând structura blocului contactoarelor statice. În figura 8.1 s-au reprezentat posibilitățile de alimentare a unei faze a MPP în secvențe monopolare, împreună cu formele de undă ideale ale tensiunii și curentului în fază [42,44,80,96].

S-au utilizat notațiile uzuale: R_m , L_m - rezistența și inductanța medie a fazei, R_f - rezistența inseriată (de forțare), R_s , D_s - rezistența și dioda supresoare, T_1, T_2 - tranzistoare de comutație.

Alegerea unui tip de contactor static este rezultatul unui compromis între frecvența maximă impusă (indicată orientativ în figura 8.1) și complexitatea circuitelor electronice. Trebuie remarcat că tranzistoarele oferă posibilități largi de modelare a formei de undă a curentului în fazele MPP în schimb sînt limitate ca putere de comutație pînă la circa 80V, 4A. Pentru puteri de comutație mai mari se folosesc tiristoare [16,30,42,52,65,92], cu posibilități mai reduse de modelare a curentului. În orice caz, complexitatea blocului contactoarelor statice crește cu numărul fazelor, secvența alimentării, tehnica de forțare a pantei curentului și puterea de comutație.

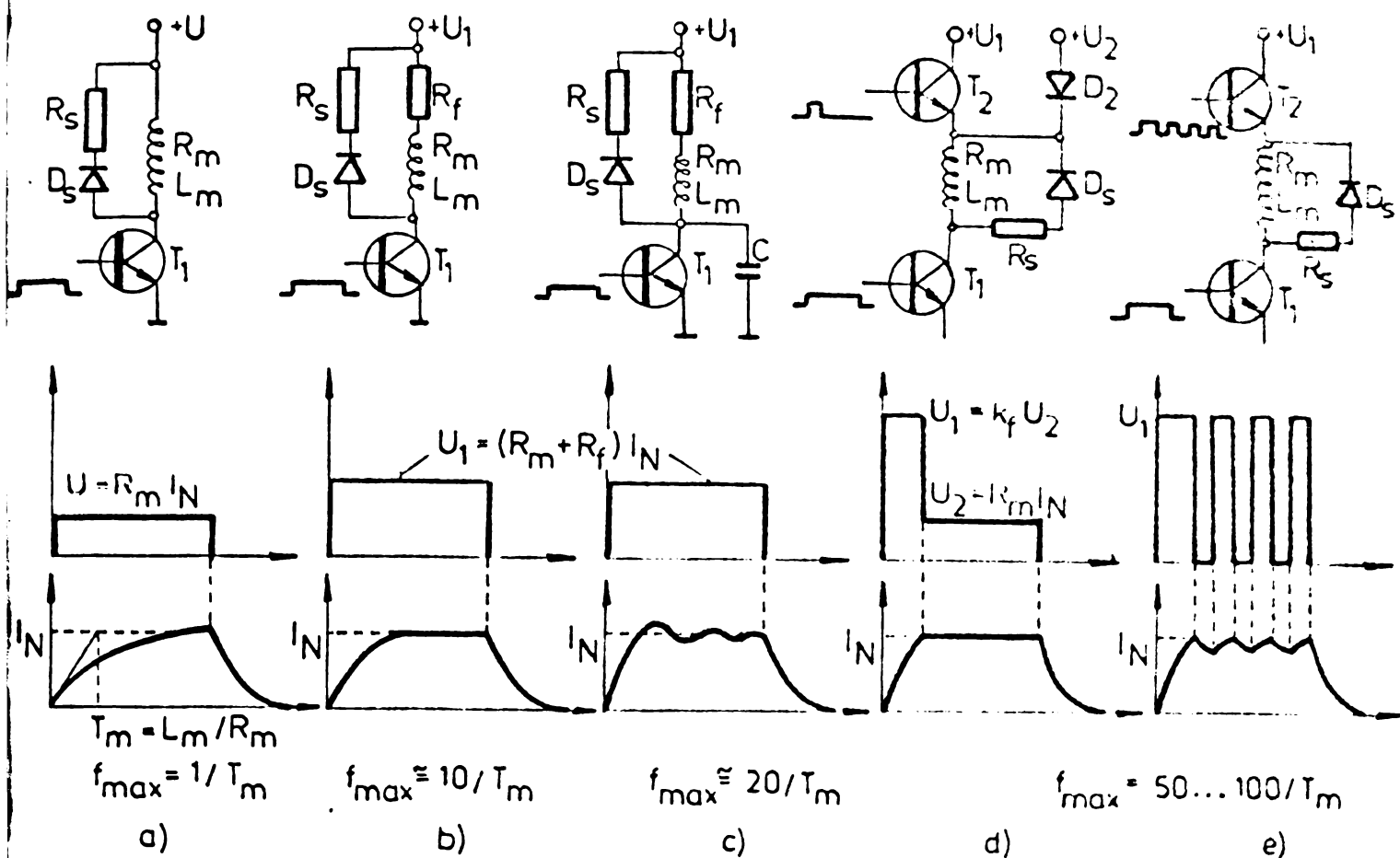


Fig.8.1. Contactoare statice pentru MPP: a-alimentare fără forțare; b-forțare R; c-forțare RC; d-alimentare prin două tensiuni; e-alimentare tip "Chopper"

Pentru alegerea sistemului de poziționare se ține seama în principal de modul de poziționare și calitatea mișcării [4,45,97, 98,100]. Cele arătate în tabelul 8.3 pot recomanda alegerea sistemului.

Tabelul 8.3

SPMPP în CD	SPMPP în CIH	SPMPP în BM	SPMPP în μP
<ul style="list-style-type: none"> - majoritatea aplicațiilor simple, la $M_r = ct.$ - poziționarea punct cu punct 	<ul style="list-style-type: none"> - sisteme de urmărire - sisteme de copiere după șablon 	<ul style="list-style-type: none"> - poziționarea prin conturare - aplicații cu M_r variabil - sisteme de mare siguranță 	<ul style="list-style-type: none"> - poziționare punct cu punct foarte fină - mișcări line la viteze mici

Etapele mai importante în proiectarea SPMPP depind de tipul sistemului, însă punctul de plecare este același - datele MPP. În tabelul 8.4 sînt indicate datele principale ale unui MPP, strict necesare pentru proiectarea unui sistem de poziționare [96,101]. Spre deosebire de motoarele electrice convenționale, la MPP datele mașinii electrice se completează cu acelea ale sistemului de alimen-

Tabelul 8.4

Datele MPP	
-	tipul
-	numărul fazelor
-	unghiul de pas
-	rezistența fazei
-	inductivitatea medie a fazei
-	tensiune și curent nominal
-	caracteristicile limită cuplu/frecvență
-	cuplul maxim sincronizant

tare cu impulsuri. Ultimele două date din tabelul 8.4 sunt funcție de valoarea și forma curentului în fazele motorului.

Se mai remarcă faptul că la MPP nu se definește o putere utilă, iar prin curent nominal se înțelege amplitudinea impulsului de curent în fazele motorului, valoare neafectată de sarcina la arbore sau viteză. Din acest motiv alegerea MPP diferă mult de cazul altui mo-

tor electric.

La proiectarea SPMPP în circuit deschis se ia cazul poziționării punct cu punct [2,81,82,98], aceasta fiind cea mai frecventă aplicație a MPP. Având la dispoziție datele motorului și cele ale sarcinii, reduse la arbore: cuplul rezistent și caracterul acestuia, moment de inerție, factor de amortizare, se va determina caracteristica de viteză a poziționării [67,68,98], așa cum se arată în figura 8.2.

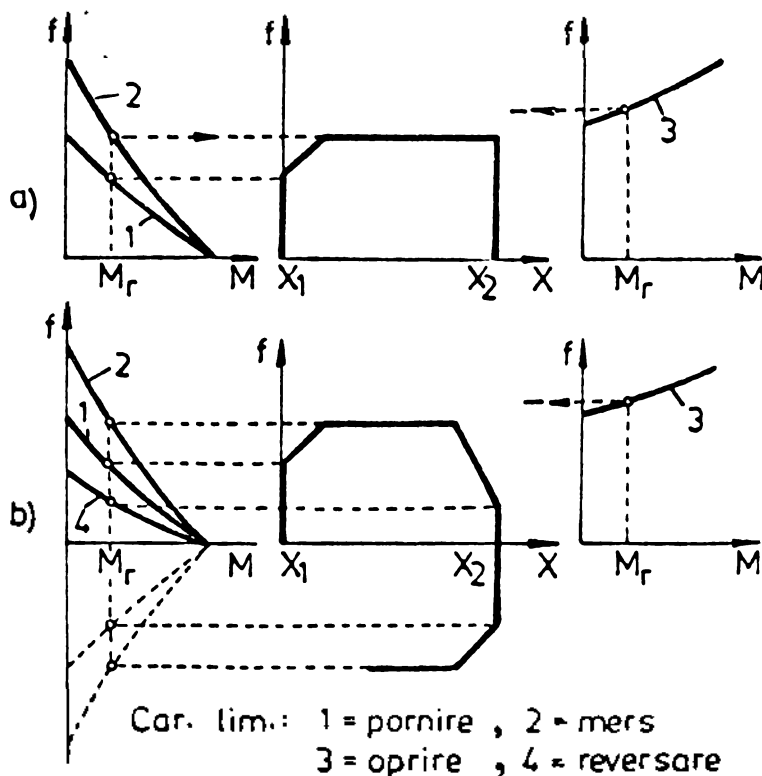


Fig.8.2. Determinarea caracteristicii de viteză a poziționării: a-fără întoarcere; b-cu întoarcere.

Fiind dată distanța $X_2 - X_1$ se pune problema modului de variație a frecvenței de comandă a MPP astfel încât să nu apară pierderi de pași. Se obține un profil al vitezei, care închiide în el frecvențele posibile de comandă a MPP la pornire, mers, oprire sau reversare, profil obținut direct din caracteristicile limită respective. S-a luat cazul unui cuplu rezistent reactiv, deci oprirea se poate face fără pierderi de pași chiar de la frecvența maximă de mers.

O problemă importantă este stabilirea accelerării și decelerării MPP, care se pot deter-

mina prin încercări experimentale [67,68,100].

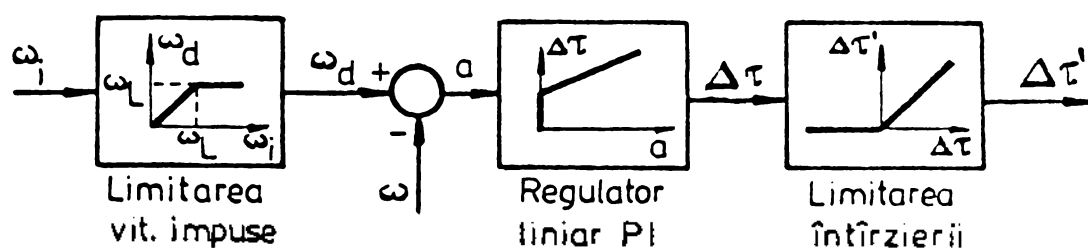
In practică se recomandă alegerea unor frecvențe mai mici (75%) din cele maxime rezultate de pe caracteristica de viteză [100].

Pentru proiectarea SPMPP în CIH se face uz de caracteristica limită de pornire a MPP și de studiul stabilității sistemului în CIH. In tabelul 8.5 sînt indicate principalele etape ale proiectării.

Tabelul 8.5

Date necesare	Calculule	Corcetarea stabilității	Rezultate
datele motorului datele sarcinii M_r, J, ζ rezoluția mișcării la un pas τ_r eroare de pozițio- nare admisă ϵ_r	$\eta_{\min} = \theta_e \frac{\epsilon_r}{\tau_r}$ (rel.5.86) $f_{\max} = f(M_r, J, \zeta)$ (caracteristica limită la porni- re)	Tabelul 5.3 Figura 5.18	Frecvența de comandă a MPP ($f < f_{\max}$)

In cazul SPMPP în BM există, pe lângă bucla de poziție, bucla de viteză. Caracteristicile limită se definesc la întârzierea $\Delta\tau = 0$ a impulsurilor pe bucla minoră și au sens diferit de cazul funcționării MPP în CD. In figura 8.3 sînt arătate limitările impuse



în bucla de reglare a vitezei din cauza existenței caracteristicilor limită.

Fig.8.3. Limitări în bucla de reglare a vitezei MPP în BM

Etapele importante de proiectare sînt indicate în tabelul 8.6.

Tabelul 8.6

Date necesare	Operații	Rezultate
-datele motorului -datele sarcinii -unghi de avans la traductor θ_R -domeniu de variație al vitezei	-calculul caracteristicii limită (rel.6.12) -analiza buclei de viteză cu regulator PI (rel.6.36)	-viteza impusă limită ω_L -domeniul de variație al întârzierii $\Delta\tau$.

Pentru proiectarea SPMPP în μP se indică orientativ în tabelul 8.7 etapele mai importante.

Tabelul 8.7

Date necesare	Calculule	Rezultate
-datele MPP -factor de divizare al pasului K_v (rel.7.1)	-distribuția curenților (rel.7.7 sau 7.12) -rezistențele convertoarelor N/A	-structura convertoarelor N/A -alegerea contactoarelor statice

8.2. Incercări experimentale

Dispozitivele pe care sînt verificate sistemele de poziționare propuse în capitolele 4,5,6,7, realizate de autor într-o concepție originală, au ca obiect un MPP tip inductor cu autoexcitație cu datele specificate în tabelul 3.4.

Sistemul în circuit deschis

Schema generală din figura 4.2, pentru poziționarea punct cu punct a unei mese în coordonate rectangulare, este redată detaliat în figura 8.4, pentru o singură axă de coordonate [4,12,39,50,51,100].

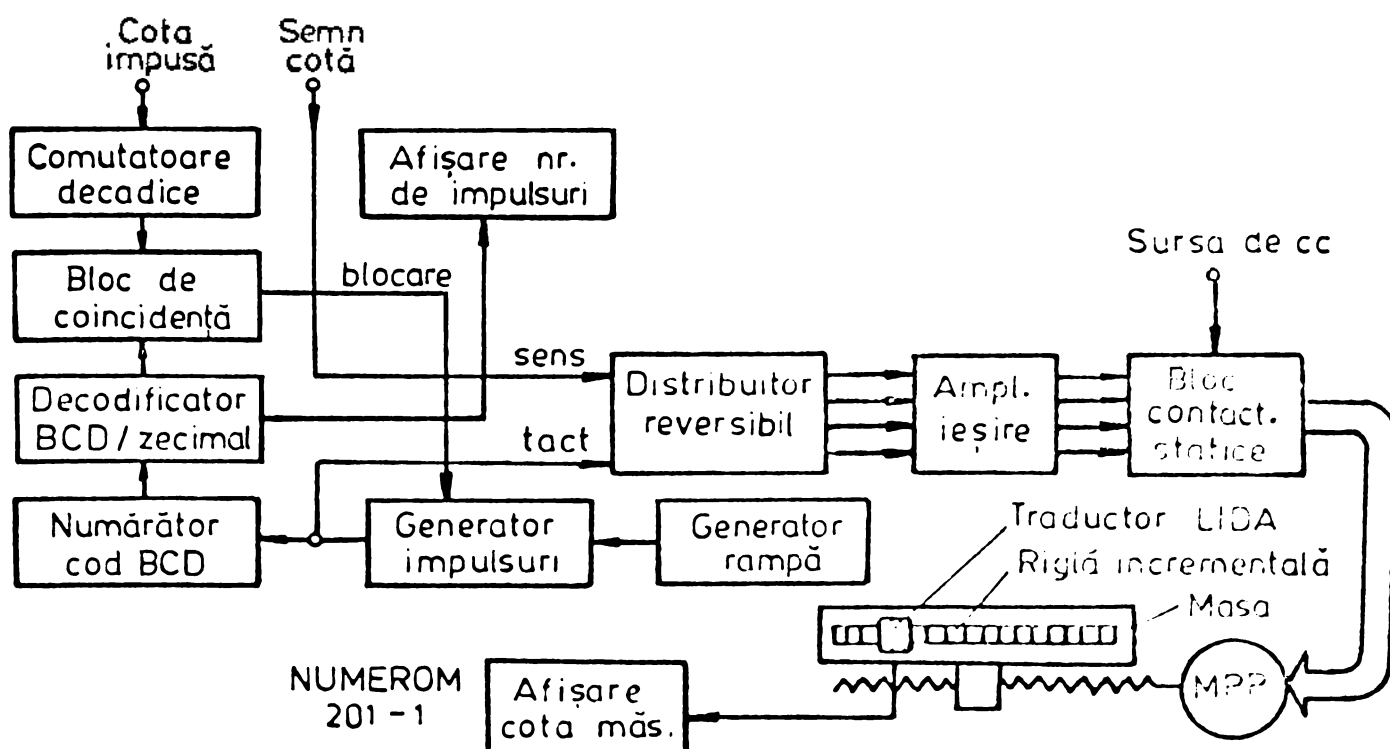


Fig.8.4. Schema bloc a SPMPP în CD pentru o masă de poziționare punct cu punct.

Principiul poziționării se bazează pe sesizarea coinciden-

ței între numărul impulsurilor de comandă a MPP = numărul pașilor efectuați și numărul care exprimă cota impusă, comensurabilă cu rezoluția mesei.

Schemele distribuitorului reversibil și a blocului contactoarelor statice sînt arătate în figura 8.5, a și respectiv b [42],

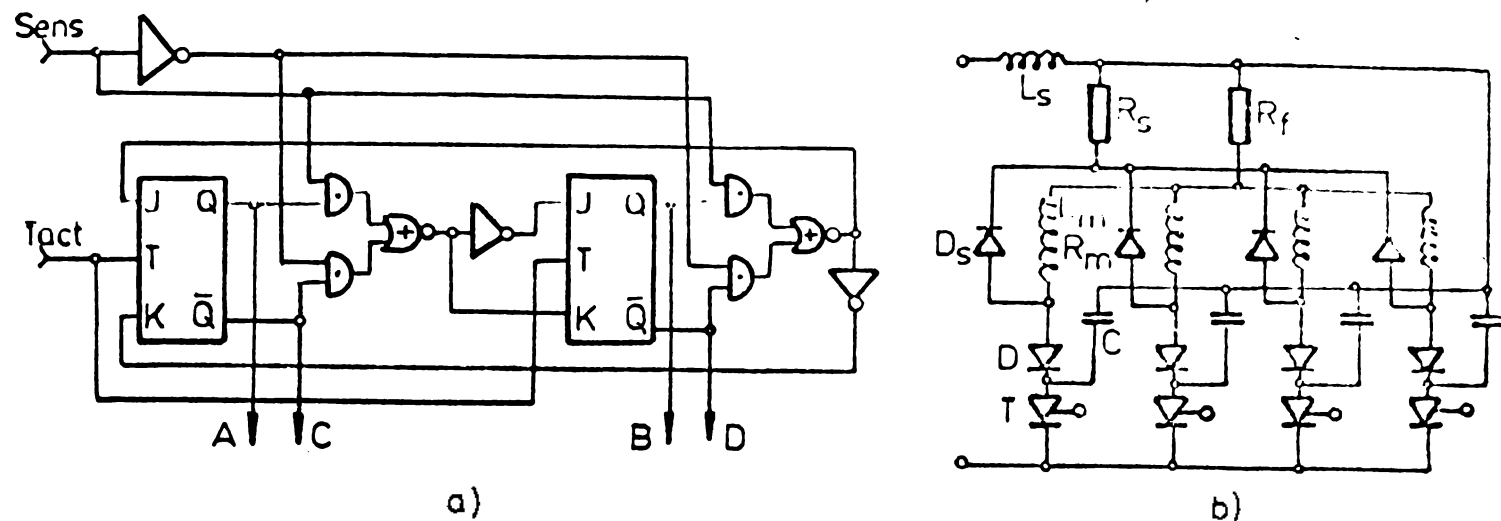


Fig.8.5. Distribuitorul reversibil (a) și blocul contactoarelor statice (b).

evidențiind realizarea cu circuite integrate a părții de comandă și cu tiristoare în montaj cu forțare RC a părții de forță. S-au notat: R_f - rezistența de forțare, D_s , R_s - dioda și rezistența supresoare, L_m , R_m - inductivitatea medie și rezistența fuzei, L_s - bobină de șoc, D - diodă de formare, T - tiristor, C - condensator de forțare și stingere. Schema asigură alimentarea în secvență simplă (1-2-3-...) a fazelor MPP.

După cum s-a arătat anterior, la poziționarea punct cu punct trebuie asigurată o caracteristică de viteză fără pierderi de pași (fig.8.2), impunînd o lege de variație a frecvenței între caracteristica limită de pornire și cea de mers. Dispozitivul realizat după schema din figura 8.4 realizează accelerarea după o lege aproximativ exponențială, prin comanda unui generator de impulsuri cu un generator rampă, așa cum se arată în figura 8.6.

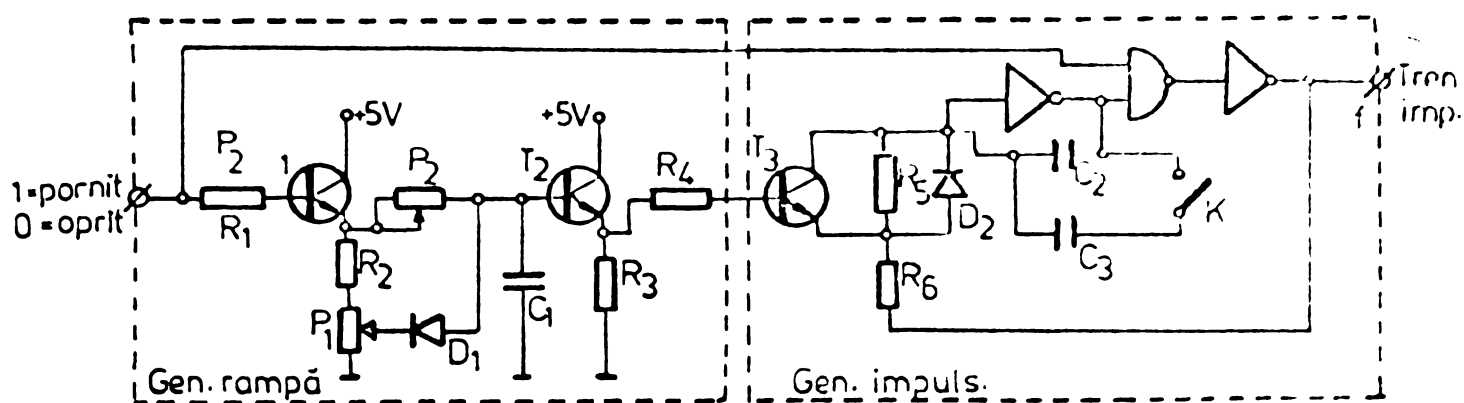


Fig.8.6. Realizarea accelerării motorului prin procesarea exponențială a frecvenței de comandă.

Potențiometrul P_1 reglează frecvența maximă (de mers) a MPP, frecvența minimă (de pornire) rezultând din valoarea $(R_5+R_6)C_5$ sau $(R_5+R_6)C_3$, tranzistorul T_3 fiind în acest caz blocat. Potențiometrul P_2 cu condensatorul C_1 dau timpul de accelerare între cele două frecvențe iar prin întrerupătorul K se stabilește gama de frecvențe (joase sau înalte, după valoarea lui C_2 și C_3).

Realizarea practică a sistemului de poziționare este arătată în fotografia 8.1, în care, alături de dispozitivul DIGIPAS-201

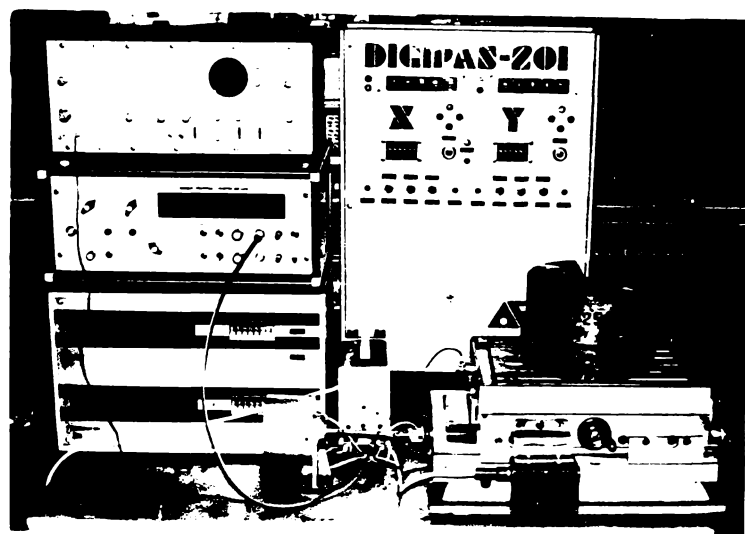


Foto 8.1. Standul SPMP în CD

apare și standul de încercări. Se disting: masa de poziționare acționată cu MPP, greutatea pentru încărcarea mesei, sistemul de măsurare a cotei -NUMEROM 201-1 cu traductor liniar incremental LIDA 55, aparatul de măsurat deplasările incrementale ale mesei, traductorul de pași montat pe arborele conducător și numărătorul de pași efectuați.

S-au ridicat caracteristicile de poziționare frecvență/deplasare, cu o constantă de timp de accelerare de 1,5 s, la diferite încărcări ale mesei. În figura 8.7 sînt

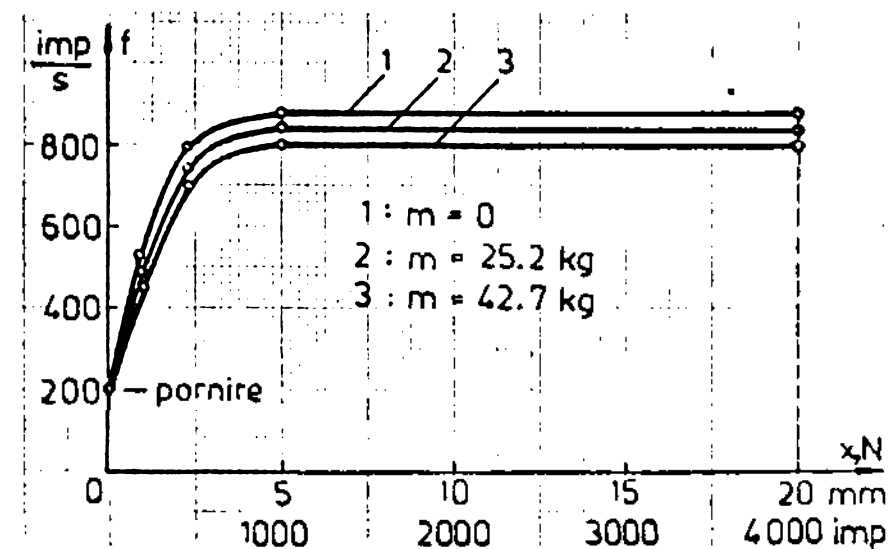


Fig.8.7. Caracteristica de viteză a poziționării

(figurile 4.13, 4.22, 4.31 și 4.39). Încercările relevă influența relativ redusă a sarcinilor verticale ale mesei (m) asupra frecvenței limită de mers. Variația exponențială a frecvenței este favorabilă la accelerare a motorului, iar la oprire nu este necesară decelerarea mișcării datorită efectului de frinare al cuplului rezistent.

trasate aceste caracteristici, pentru o distanță impusă de 20 mm. Rezoluția mesei fiind 0,005 mm la un impuls al MPP, rezultă cifra de cotă $N = 20/0,005 = 4000$ impulsuri (pași). Caracteristica de viteză se definește cu variația frecvenței de comandă a MPP cu deplasarea mesei și se obține din caracteristicile limită trasate ale MPP

Oscilograma din figura 8.8 scoate în evidență formele curenților în fază în convență simplă și variația unghiului la fiecare tact de comandă T.

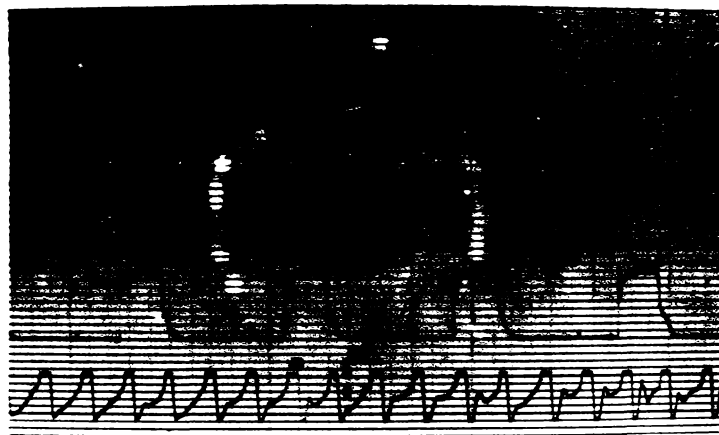


Fig.8.8. Oscilogrammele curenților și unghiului în cazul SPMPP în CD

bloc a SPMPP în CIH pentru copierea după șablon, conform principiului expus la capitolul 5 și figura 5.2. Sistemul reglează poziția saniei mesei prin comanda cu impulsuri a MPP atâta timp cât poziția palpatorului traductorului de deplasare sesizează o eroare mai mare

Mișcarea este amortizată datorită lanțului cinematic al mesei, care îi asigură stabilitatea necesară.

Sistemul în circuit închis tip hibrid

În figura 8.9 se dă schema bloc a SPMPP în CIH pentru copierea după șablon, conform principiului expus la capitolul 5 și figura 5.2. Sistemul reglează poziția saniei mesei prin comanda cu impulsuri a MPP atâta timp cât poziția palpatorului traductorului de deplasare sesizează o eroare mai mare

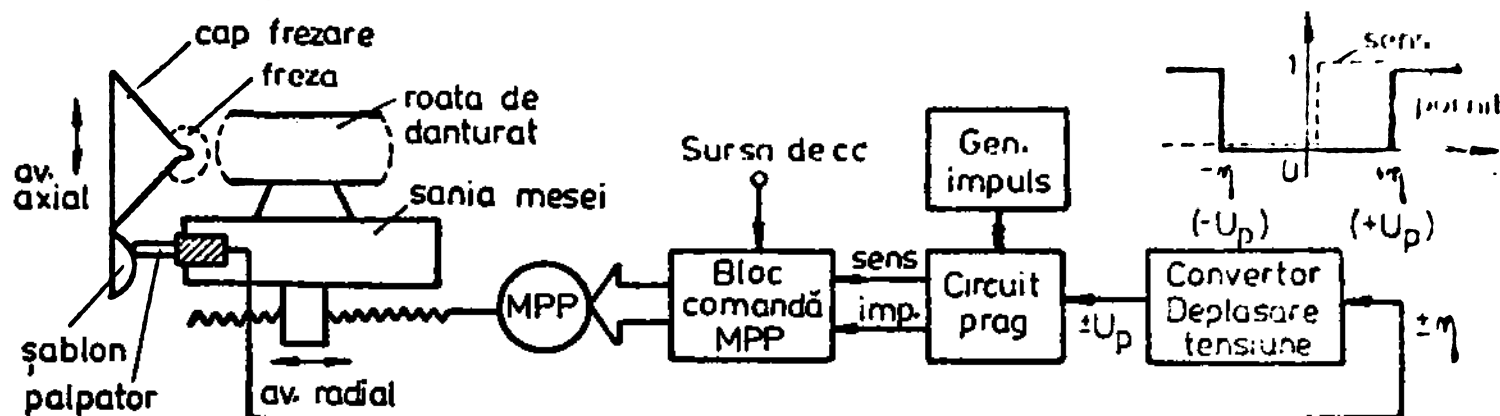


Fig.8.9. Schema bloc a SPMPP în CIH cu copiere după șablon

decît o valoare dată $\pm \eta$, interpretată ca prag de insonabilitate. Caracteristica de releu a ansamblului convertor deplasare/tensiune și circuit prag, arătată în figura 8.9, are ca intrare poziția saniei mesei, iar ca ieșire semnale logice de pornire și sens, mărimea intermediară fiind o tensiune de prag $\pm U_p$.



Foto 8.2. Stand pentru încercat motorul și sistemul de poziționare în CIH.

Încercările experimentale s-au făcut direct pe mașina de frezat FD 400 de fabricație IM Cugir [100], utilizînd un MPP inductor cu autoexcitație cu 4 faze, $2,65^\circ$. În fotografia 8.2 este arătat standul pentru verificarea și încercarea soluției de poziționare, iar în figurile 8.10, a și b sînt date rezultatele înre-

gistrate pe mașina unealtă la nivelul mișcării saniei mesei.

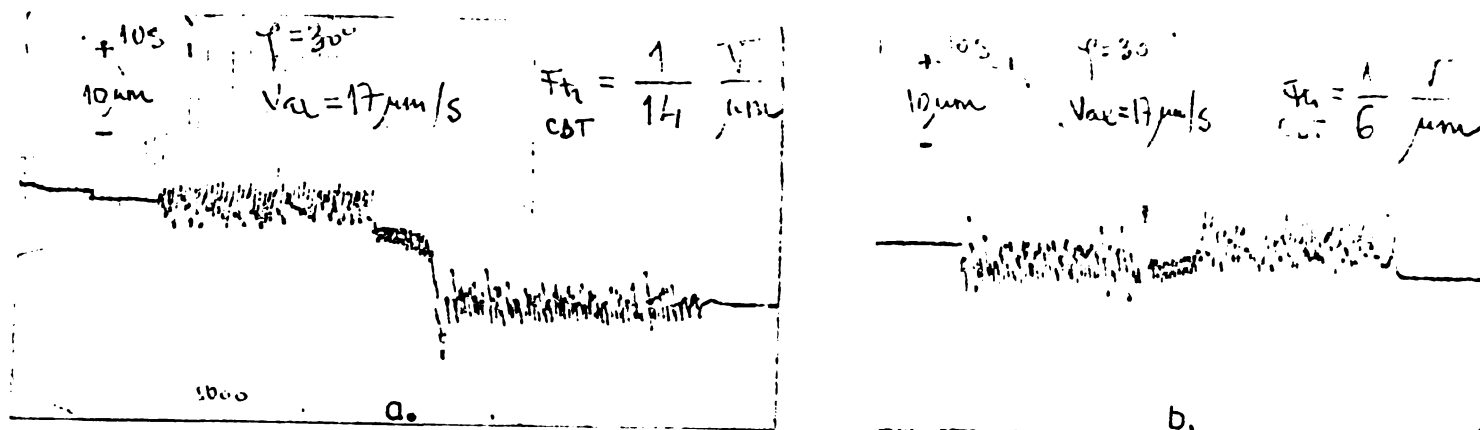


Fig.8.10. Inregistrarea deplasărilor mesei:

a) $\eta = 7 \mu\text{m}$, b) $\eta = 3 \mu\text{m}$

Verificarea preciziei de copiere s-a făcut pentru o porțiune a șablonului înclinată cu $\varphi = 30^\circ$, o viteză de avans axial $v_{ax} = 17 \mu\text{m/s}$ și un factor de transfer al convertorului deplasare/tensiune de $1\text{V}/14 \mu\text{m}$, respectiv $1\text{V}/6 \mu\text{m}$. La un moment dat se inversează polaritatea semnalului traductorului, pentru a verifica copierea în celălalt sens al avansului axial (sau schimbarea pantei șablonului la $\varphi = -30^\circ$). Avansul radial rămâne blocat pînă la corectarea erorii din jurul valorii $+\eta$ la valoarea $-\eta$. Ținînd seama că tensiunea de prag este $U_p = \pm 0,5\text{V}$, rezultă $\eta = 7 \mu\text{m}$, respectiv $\eta = 3 \mu\text{m}$, acesta din urmă găsindu-se optim pentru o frecvență de comandă a generatorului de 60 imp./s. , în condițiile unor vibrații proprii ale mesei de $2 \mu\text{m}$.

Sistemul cu buclă minoră

Încercările s-au efectuat pe un dispozitiv realizat după schema bloc din figura 6.1,a. Detaliile asupra structurii buclei minore, adică lanțul elementelor de pe traseul arborele motor-distribuitor de impulsuri, sînt indicate în figura 8.11. Traductorul de unghi, cu doi senzori fotoelectrici, este prevăzut cu un amplificator local al semnalelor emise de fototranzistoare, din motive de imunitate la parazii. Impulsurile sînt convertite în semnale TTL și apoi combinate logic cu semnalul de sens și de start, după principiul expus la capitolul 6. Semnalul de tact T este întîrziat reglabil într-un monostabil, iar, după formare, se aplică distribuitorului de impulsuri, acesta avînd schema indicată în figura 8.5,a. Blocul contactoarelor statice este format din tranzistoare de putere în montaj cu forțare prin rezistență (fig.8.1,b).

În fotografia 8.3 se arată standul de încercări pentru SAMP1 în BM, în care se disting: motorul cu traductorul de unghi montat pe arbore, o frînă cu pulbere magnetică, dispozitivul de comandă cu afișarea fazelor comandate ale MPP, blocul contactoarelor statice și aparatele de măsură și înregistrare.

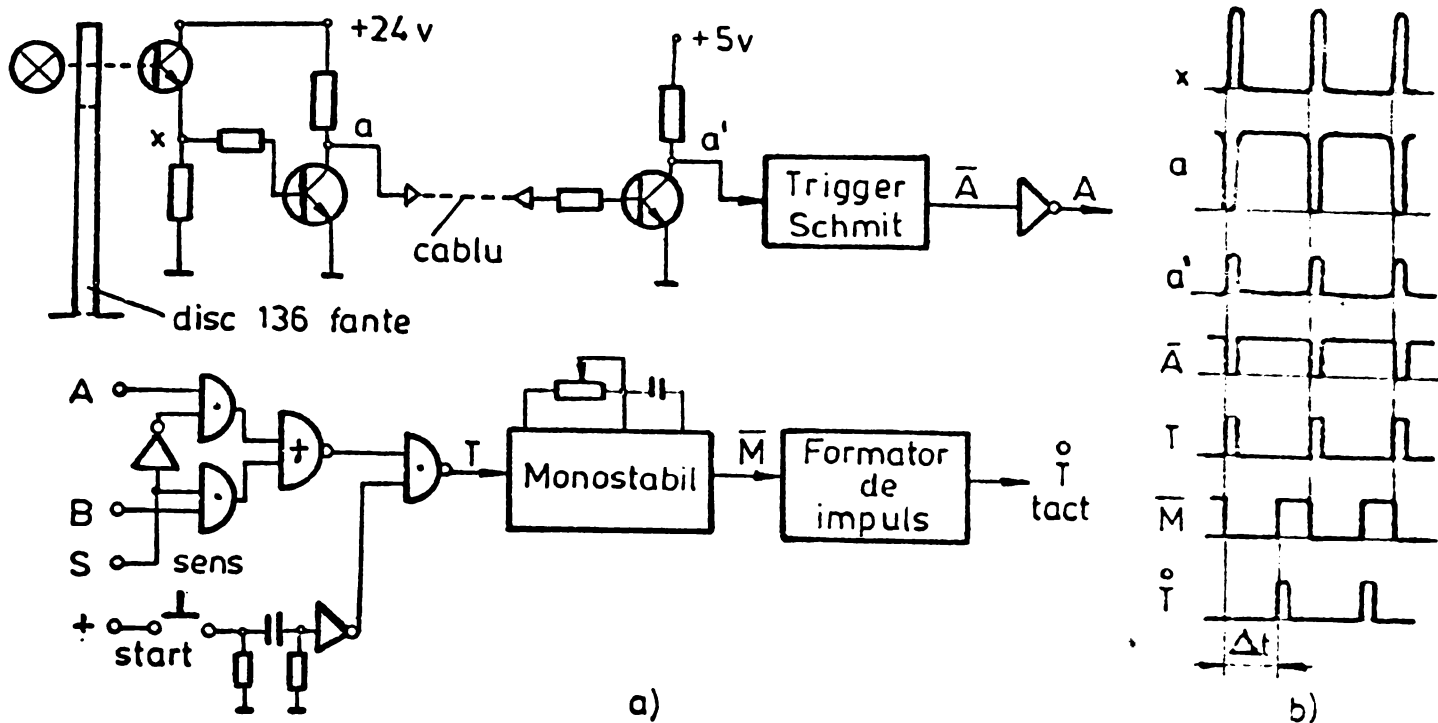


Fig.8.11. Structura buclei minore: a-schema bloc; b-semnalele caracteristice din buclă.

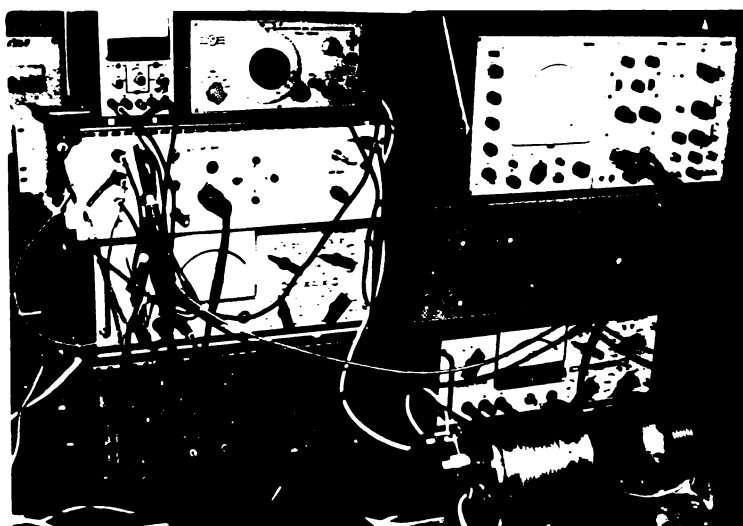
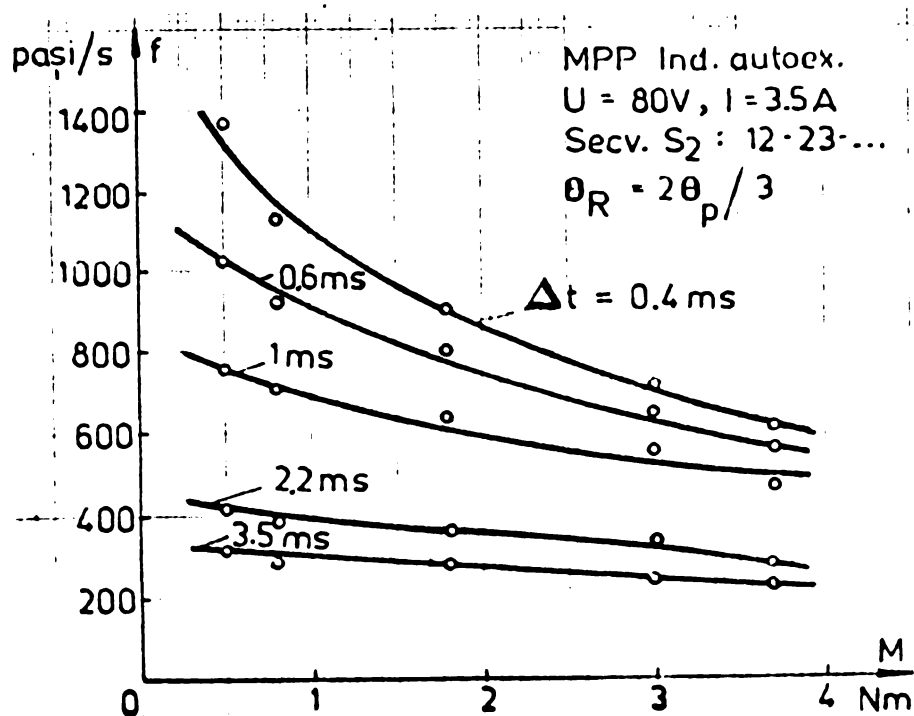


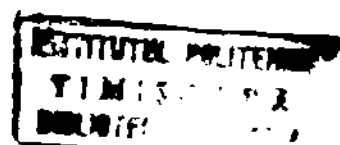
Foto 8.3. Stand pentru încercarea SAMPP în BM.

În figura 8.12 se arată caracteristicile statice cuplu-frecvență ridicate pentru MPP în BM, avînd ca parametru întârzierea furnizată de monostabil, întârziere măsurată pe osciloscop. Se remarcă forme similare ale caracteristicilor cu acelea ale motorului de curent continuu serie. Se observă că modificarea vitezei prin schimbarea întârzierii este mai



eficace la sarcini mici. Înregistrarea principalelor mărimi s-a făcut pe un oscilograf cu bucle tip H 115 - URSS, de la care sînt arătate în continuare cîteva oscilogramme.

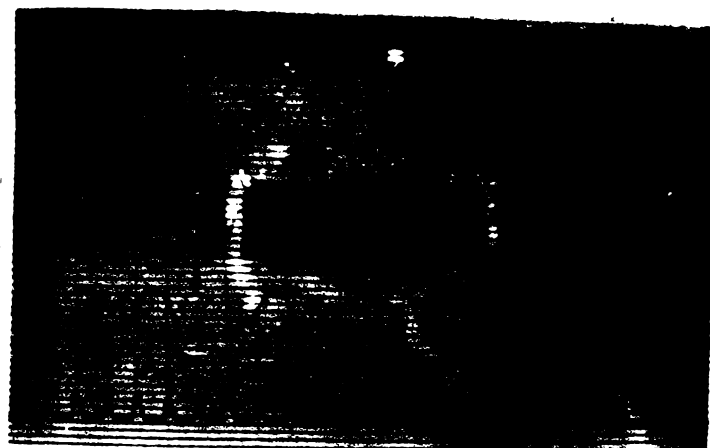
Fig.8.12. Caracteristicile statice ale MPP în BM.



În figura 8.13, a și b sînt prezentate variațiile curenților în fazele MPP și impulsurile din bucla minoră T_{trad} , respectiv impulsurile întîrziate în monostabil T_{com} , trimise spre distribuitorul de impulsuri. Curenții în faze au amplitudinea de 3,5A, în secvență de alimentare dublă (12-23-...).



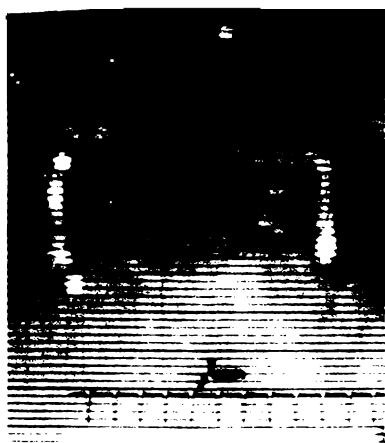
a.



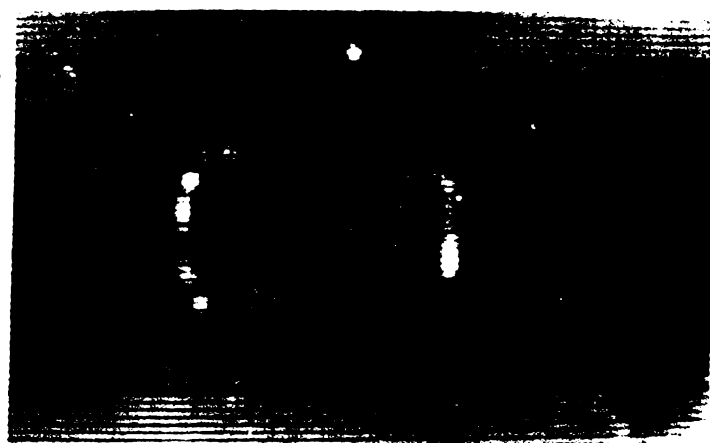
b.

Fig.8.13. Oscilogramele curenților în fazele motorului:
a) întîrziere $\Delta t = 2 \text{ ms}$, $M_r = 3,5 \text{ Nm}$;
b) întîrziere $\Delta t = 1,8 \text{ ms}$, $M_r = 0,5 \text{ Nm}$.

În figurile 8.14, a și b sînt arătate comparativ variația unghiului de rotație în cazul funcționării MPP în buclă minoră, respectiv în circuit deschis. Se constată că mișcarea în primul caz este mult mai lină. Amplitudinea maximă (suprareglarea) în cazul funcționării în buclă minoră, măsurată cu aceeași amplificarea a buclei de înregistrare a unghiului, este de circa 3 ori mai mică decît în cazul funcționării MPP în circuit deschis.



a.



b.

Fig.8.14. Oscilogramele variației unghiului de rotație.
a) la funcționarea MPP în BM cu $\Delta t = 6,5 \text{ ms}$, $M_r = 3 \text{ Nm}$;
b) la funcționarea MPP în CD la frecvența de $f_{10} \text{ imp/s}$,
 $M_r = 3 \text{ Nm}$.

Sistemul cu micropășire

Dispozitivul de comandă a MPP în regim de micropășire, conceput după schema bloc din figura 7.4, este realizat în circuit deschis, pentru același MPP. Blocul contactoarelor statice este conceput cu tiristoare fără circuite de stingere, ca întrerupătoare prin-

cipale și cu tranzistoare și rezistențe la nivelul convertoarelor numeric-analogice. În figura 8.15 este prezentată schema contactoarelor statice, comandate conform tabelului stărilor 7.1.

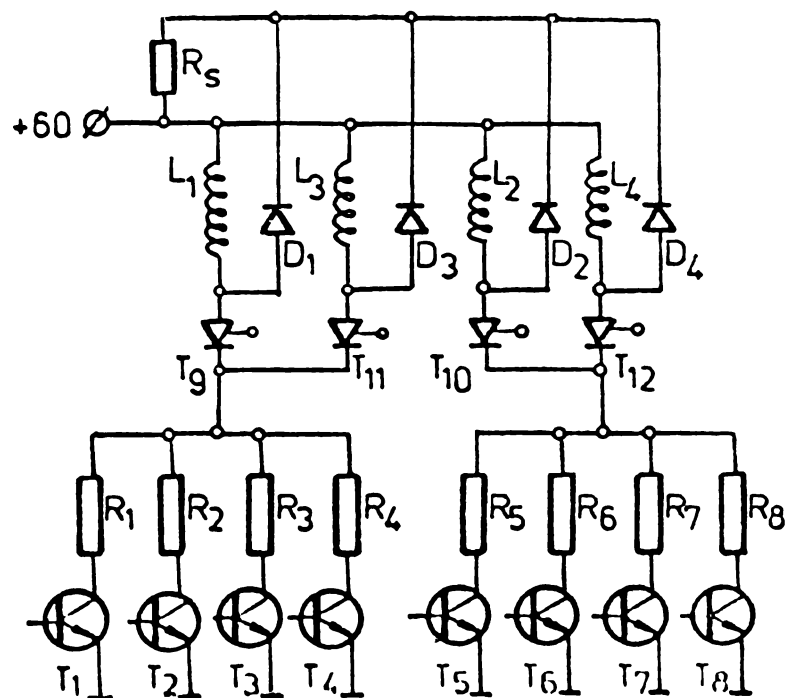


Fig.8.15. Schema blocului contactoarelor statice

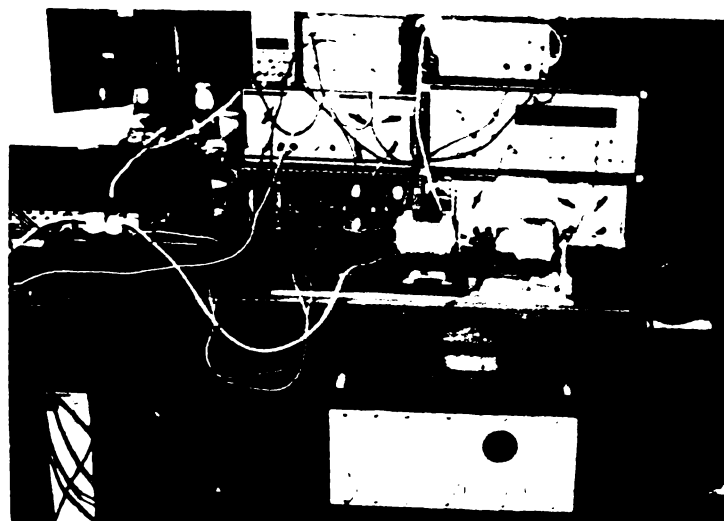


Foto 8.4. Stand pentru încercat MPP în μP.

Încercările s-au efectuat pe un stand așa cum este ilustrat în fotografia 8.4. Se pot distinge: blocul de comandă a micropășirii, blocul contactoarelor statice, MPP cuplat cu o frână cu pulbere magnetică, aparatele de măsură și înregistrare.

S-au ridicat caracteristicile limită de pornire, mers și reversare, reprezentate în figura 8.16.

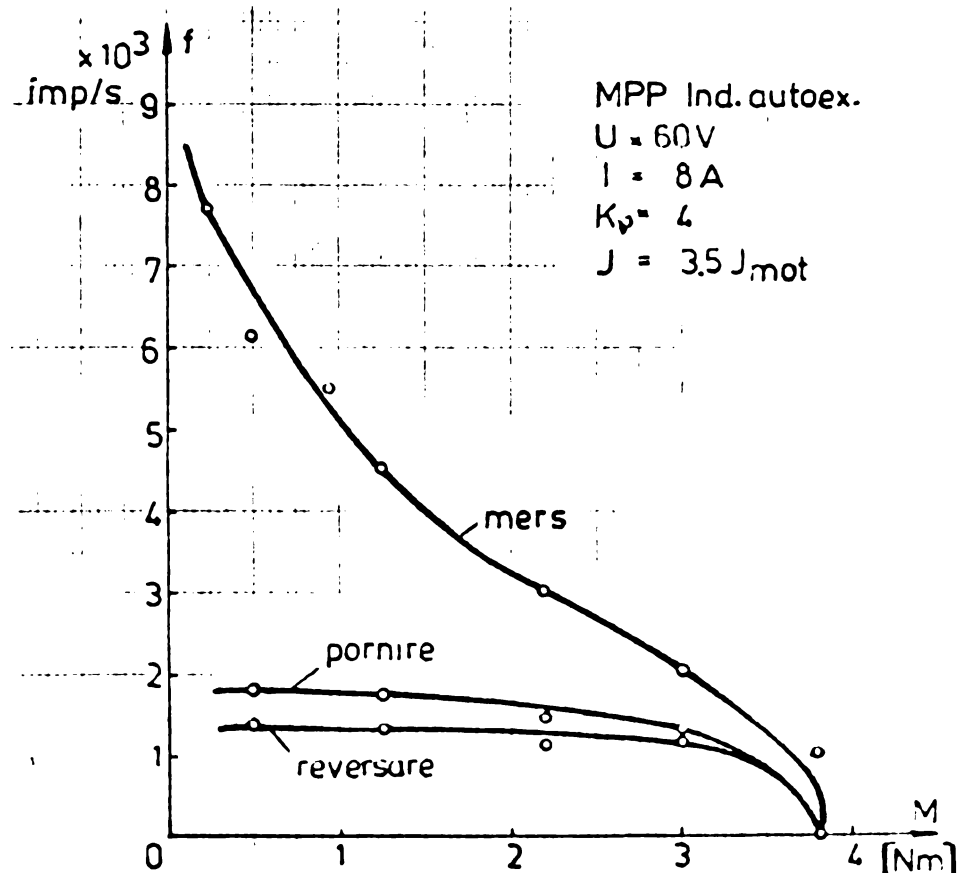


Fig.8.16. Caracteristicile limită ale MPP în μP.

Pe ordonată apare frecvența micropășilor (un pas mare al MPP este divizat în $K_p = 4$ micropăși). Comparativ cu caracteristicile limită ridicate pentru funcționarea în pași mari (capitolul 4), comenziul închis de caracteristicile micropășirii diferă cu puțin, confirmând faptul că, deși frecvența de comutație crește de $K_p = 4$ ori, caracteristicile echivalente cuplu-viteză

ale micropășirii sînt similare celor de la funcționarea clasică.

Dintre variabilele mai importante n-au înregistrat curenții în faze și unghiul de rotație. În figurile 8.17, a și b sînt relevate formele de undă în trepte ale curenților în faze, după legile de procesare deduse la capitolul 7. În partea de sus a figurilor este înregistrat tactul de comandă al micropășirii T.

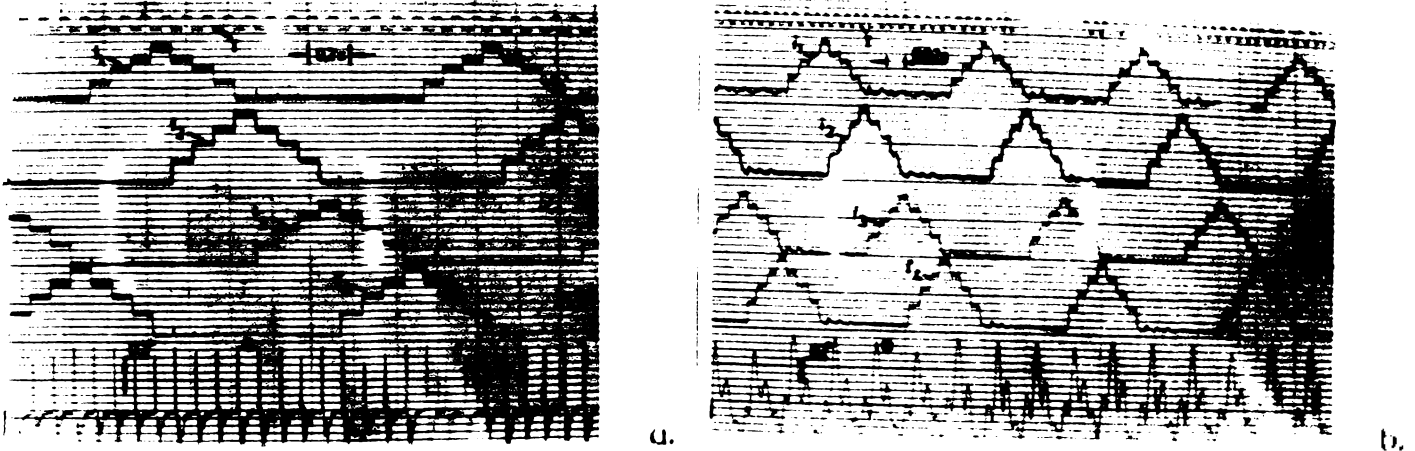


Fig.8.17. Oscilogramele micropășirii: a-la frecvența de 10 imp/s; b-la frecvența de 100 imp/s.

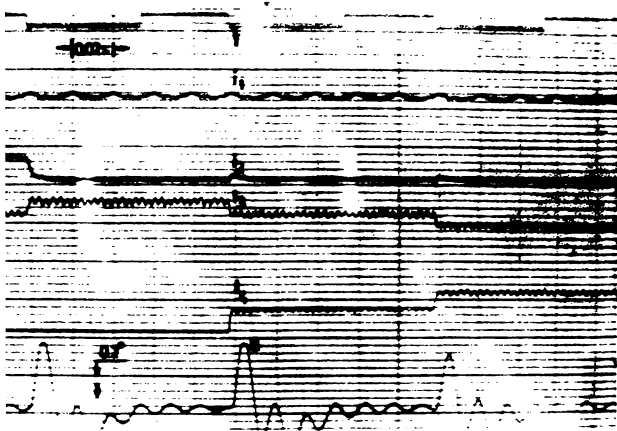


Fig.8.18. Oscilograma detaliată a variației unghiului de rotație.

În figura 8.18 este redată la o scară mai mare variația unghiului de rotație între două tacturi de comandă. Se constată că suprareglarea, în cazul unui cuplu rezistent $M_r = 2,5 \text{ Nm}$, este de circa $1,8^\circ - 0^\circ_p/4 = 1,8^\circ - 0,66^\circ = \approx 1,1^\circ$, ceea ce, prin comparație cu funcționarea în pași mari (fig.8.14,b) corespunde unei reduceri de circa 4 ori.

8.3. Aplicații industriale

În cele ce urmează se prezintă prin fotografii cîteva din realizările mai importante în domeniul aplicării motoarelor pas cu pas în echipamente de poziționare, realizări cu contribuția autorului atît în fazele de cercetare-proiectare, cît și în cea de execuție.

În fotografia 8.5 sînt arătate cîteva prototipuri de motoare electrice pas cu pas [101]. Primul din dreapta este omologat și a servit ca obiect al încercărilor efectuate în cadrul acestei lucrări de doctorat.

Prototipul experimental al echipamentului de poziționare punct cu punct în două coordonate rectangulare DIGIPAS-201 este

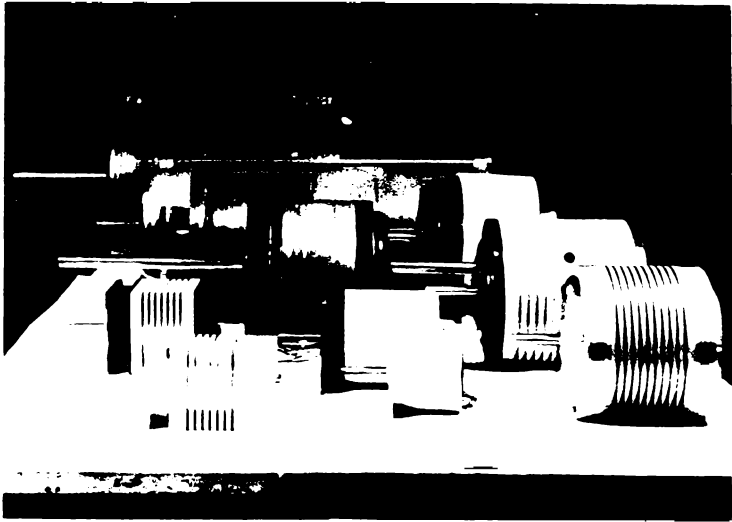


Foto 8.5. Cîteva prototipuri de MPP

arătat în fotografia 8.6,a, iar în 8.6,b un detaliu relativ la interiorul dulapului de comandă. Echipamentul este adaptat unei mese de poziționare [12] cu acționare independentă pe cele două axe cu MPP cu unghi de pas de $2,65^\circ$, realizînd o rezoluție de 0,005 mm. S-a adoptat sistemul de poziționare în circuit deschis, cu afișarea numărului impulsurilor primite de fiecare MPP.

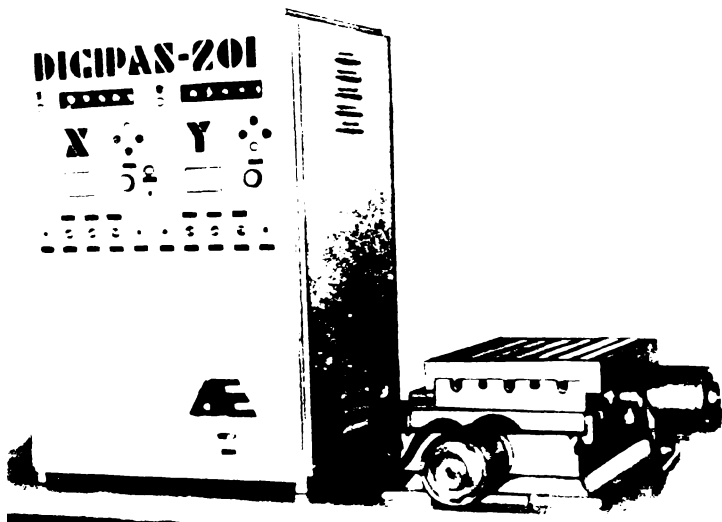


Foto 8.6. Echipamentul de poziționare punct cu punct în două coordonate DIGIPAS-201 - prototip experimental: a-vedere generală; b-interiorul dulapului

În fotografia 8.7 este arătată o variantă perfecționată a echipamentului de poziționare în circuit deschis, servind ca accesoriu la mașini de frezat, aplicat la IM Cugir [100,102], variată care se distinge de cea anterioară printr-o integrare mai avansată a părții de comandă cu circuite integrate.

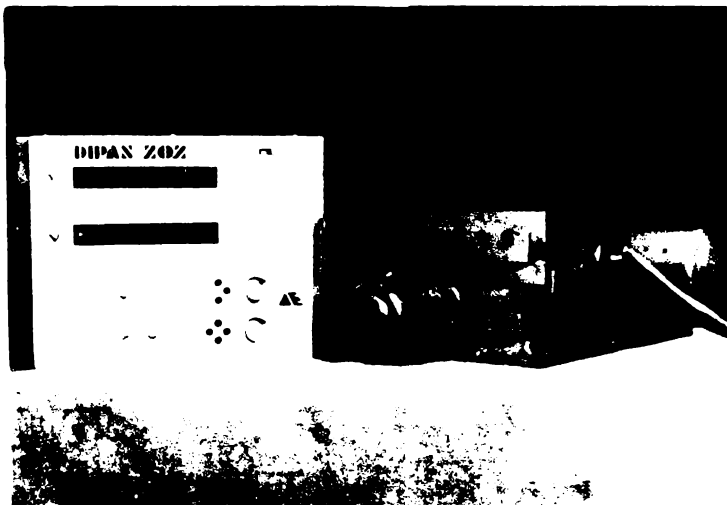


Foto 8.7. Echipamentul de poziționare DIPAS-202

Mergînd în continuare pe linia integrării circuitelor de comandă, în fotografia 8.8 este arătat un echipament de poziționare rotativă DIPAS-108K adaptat unei mese rotative fabricate de

"Infrățirea" Oradea. Traductorul incremental de pe masă are aici rol numai de observare vizuală, întrucât poziționarea se face în circuit deschis.

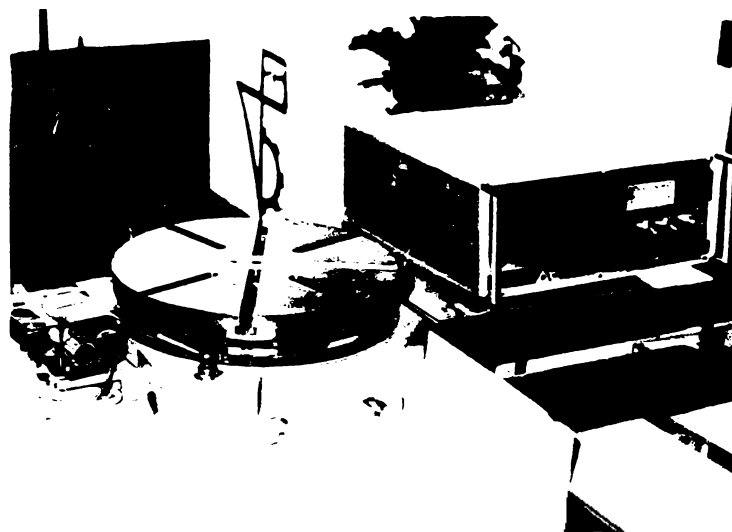


Foto 8.8. Echipament de poziționare rotativă
DIPAS-101R

9. I N C H E I E R E

Ideile mai importante ale lucrării, care vor fi prezentate în continuare, marchează contribuțiile principale ale autorului, atât în ce privește aprofundarea metodelor de analiză a sistemelor de acționare cu motoare pas cu pas, cât și elaborarea unor metode adecvate de studiu și proiectare a sistemelor de poziționare cu motoare pas cu pas.

1. Clasificarea MPP după modul cum are loc excitația distinge trei tipuri funcționale: inductor (cu autoexcitație sau cu excitație independentă), inductor-reactiv și reactiv. Această împărțire este avantajoasă tratării unitare a fenomenelor electromagnetice specifice unei foarte largi game de tipuri constructive și conduce la elaborarea de modele matematice generale pentru MPP.

2. S-a definit sistemul de acționare cu MPP (SAMPP) ca element convertor al informației numerice (constând din impulsuri de tact și nivel de sens) în deplasare mecanică unghiulară. Această definiție se sprijină pe concepția că performanțele unui MPP sînt rezultatul corelării fenomenelor electromagnetice și electromecanice ale mașinii electrice cu cele ale dispozitivului de alimentare cu impulsuri și sarcina la arbore.

3. Modelul matematic m-fazat care a fost generalizat fără luarea în considerare a saturației, este descris de ecuații diferențiale neliniare, a căror rezolvare, chiar și prin metode numerice, este dificilă de la un număr de faze $m \geq 4$. Modelele transformate $\alpha\beta$ și dq , prezentate sintetizat și apoi aplicate pe un caz concret de MPP, conduc la simplificarea modelelor matematice, dar nu pentru toate tipurile de MPP și numai în condițiile alimentării fazelor cu tensiuni de formă particulară (impulsuri).

4. Modelul operațional, bazat pe transformata Laplace, conceput pentru un caz general de MPP, permite evidențierea unor noi caracterizări ale SAMPP, oferind astfel posibilitatea studierii acestuia ca element automat.

5. Generalizarea metodei de analiză în planul fazelor a mișcării rotorului permite determinarea comodă a influenței valorii și caracterului cuplului rezistent asupra stabilității mișcării MPP.

6. Aprofundînd studiul stabilității mișcării rotorului în regimurile dinamice de pornire, oprire și reversare, au rezultat metode de calcul al caracteristicilor limită cuplu/frecvență, ținînd seama de principalii parametri ai acționării: caracterul cuplului rezistent, amortizarea, secvența de alimentare, constanta de timp electrică a motorului.

7. Studiul regimului cvazistaționar (de mers) al MPP pe baza unei noi interpretări a dinamicii mișcării cvazicontinue a rotorului, supusă echilibrului energiei, evidențiază un nou parametru al SAMPP - unghiul de comutație. Acest parametru, definit pînă acum numai pentru funcționarea MPP în circuit închis, este introdus pentru prima oară și pentru funcționarea în circuit deschis, avînd în acest caz un caracter elastic, autoreglat prin echilibrul energetic al mișcării rotorului. Definirea acestui parametru a condus la o metodă nouă de calcul a caracteristicilor limită cuplu-frecvență de mers ale MPP, care, ca și cele calculate pentru regimurile dinamice de pornire, oprire și reversare, au un caracter universal, servind ca bază în proiectarea sistemelor de poziționare în circuit deschis.

8. Sistemul de poziționare în circuit închis, la care MPP este comandat cu impulsuri de frecvență constantă atîta timp cît abaterea între mărimea de referință și cea măsurată a poziției, ambele analogice, este mai mare decît o valoare dată, a fost definit ca sistem automat neliniar cu eșantionare de tip releu cu prag de insensibilitate. Analiza efectuată cu metoda grafurilor de transfer, ca și studiul stabilității sistemului automat cu ajutorul transformatei z , a funcției de descriere discrete și a planului atenuare-fază, au avut ca rezultate determinarea frecvenței optime de comandă a MPP și a pragului de insensibilitate optim. Aceste rezultate sînt direct aplicabile în proiectarea sistemelor de urmărire și de copie după șablon cu MPP.

9. Comanda în circuit închis, în buclă minoră, a MPP corespunde realizării corespondenței biunivoce impuls-deplasare unghiulară, cu efecte favorabile asupra performanțelor MPP în ce privește viteza, stabilitatea și controlabilitatea mișcării rotorului. Din observația că la funcționarea în buclă minoră mărimile caracteristice ale motorului variază relativ puțin, s-a elaborat un nou model matematic adecvat acestei funcționări. Acest model, obținut prin adaptarea modelului transformat dq , a condus la definirea sis-

temului de acționare cu MPP în buclă minoră; acesta este identificat ca element automat neliniar cu acțiune continuă având ca intrare întârzierea aplicată impulsurilor pe bucla de reacție, ca ieșire viteza unghiulară, iar ca perturbație cuplul rezistent.

10. Având în vedere că la funcționarea MPP în buclă minoră viteza variază cu sarcina, se impune adăugarea unei noi bucle pentru reglarea vitezei ca mărime de ieșire. Analiza sistemului automat neliniar de reglare a vitezei prin metoda algebrei grafurilor, aplicată pentru prima dată în cazul MPP, a condus la concluzia că un regulator liniar PI satisface cerințele reglării.

11. Tehnica micropășirii MPP, prin avantajele sale esențiale: creșterea puterii de rezoluție, mărirea stabilității mișcării, posibilitatea compensării deviației, fără diminuarea performanțelor cuplu/viteză, se situează printre ultimele direcții de cercetare în domeniul MPP. Legile de procesare a curenților în fazele motorului, deduse cu această ocazie pentru prima dată, implică un nou sistem de comandă a motorului atât la nivelul semnalelor cât și la cel al alimentării fazelor. Dispozitivul conceput și construit de autor permite divizarea prin 4 a pasului motorului, recomandându-se prin performanțele sale unor aplicații specifice poziționărilor de mare precizie.

12. Prezentarea unor metode de proiectare a sistemelor de poziționare cu MPP, rezultate din studierea acestora, a avut ca scop principal umplerea unui gol în literatura de specialitate, anumite criterii de proiectare fiind totodată și rodul experienței practice a autorului.

13. Prototipurile realizate, ca și modelele experimentale construite într-o concepție originală, au verificat cele patru sisteme de poziționare abordate: în circuit deschis, în circuit închis de tip hibrid, cu buclă minoră și cu micropășire, oferindu-se și o bogată gamă de posibilități de alegere între acestea.

BIBLIOGRAFIE

1. Bucur, C., M., - Metode numerice. Ed. Facla, Timișoara, 1973.
2. Bézier, P., - Numerical Control. Mathematics and Applications, John Willey and Sons, London-New-York-Sydney-Toronto, 1970.
3. Bîcicov, V., P., etc. - Uchebnye pozovnie po proektirovaniu i rascetu avtomatizirovannovo elektroprivoda, Iz. MEI, Moskva, 1967, pag. 52-64.
4. Brașovan, M., Seracin, E., Bogoevici, M., Kelemen, A., Trifa, V., Acționări electrice. Aplicații industriale. Ed. Tehnică, București, 1977.
5. Claudio de Sa e Silva, - What Size Stepper?, Machine Design (SUA). Dec. 14. 1972. pag. 136-143.
6. Chai, H., D., - A simple model for representing saturation effects in stepping motors. Proceedings, 5th Ann. Symp. on Incr. Mot. Contr. Syst. and Dev., Univ. of Illinois, SUA, 1976, poz. G1-G8.
7. Cilikin, M., G., - Trudî Moskovskovo Ordena Lenina Energheticescovo instituta, Vîpusk LXVII Elektromehanika, Iz. MEI, 1966, pag. 5-52.
8. Cilikin, M., G., - Diskretnîi elektroprivod s gâgovîmi dvigateliami. Iz. Energhia, Moskva, 1971.
9. Coloși, T., - Algebră de aproximare a sistemelor cu elemente liniare și neliniare. A.M.C., Nr. 25, 1978, pag. 121-141.
10. Coloși, T., - Nêherungs algebra für Systeme mit linearen und nicht linearen Elementen. Regelungstechnik und Prozessdatenverarbeitung, apare în 1978.
11. Crivii, M., Trifa, V., Ecuațiile de funcționare ale motorului pas cu pas considerînd circuitul magnetic saturat. Intervenție SACTA, București, mai 1973.
12. Crivii, M., Trifa, V., Szekeley, A., Lazăr, R., - Mană de poziționare în două coordonate cu comandă numerică, acționată cu motoare pas cu pas, Buletinul științific al Inst. Politehn. Cluj-Napoca, nr. 16, 1973, pag. 54-56.
13. Crivii, M., Trifa, V., - Simularea numerică a funcționării motorului pas cu pas reactiv. Comunicare la I.F. Cluj-Napoca, febr. 1974.
14. Crivii, M., Trifa, V., Baloga, S., Verestay, E., - Simularea numerică a schemelor de comutație cu tiristoare pentru alimentarea motoarelor pas cu pas. Buletinul științific al Inst. Politehn. Cluj-Napoca, nr. 17, 1974, pag. 54-56.
15. Crivii, M., Trifa, V., - Studiul funcționării motorului pas cu pas reactiv prin modelare numerică. Electrotehnica, Electronica și automatica, nr. 2, febr. 1975, pag. 53-56.
16. Crivii, M., - Studii privind acționările electrice cu motoare pas cu pas. Teză de doctorat, Inst. Politehn. Iași, 1974.
17. Dehnz, H., J., - Aufbau und Wirkungsweise von Schrittmotoren, Der Elektro-Praktiker, H. 5, 1967, pag. 145-149.
18. Delgado, M., A., - Mathematical Model of a Stepping Motor operating as a Fine Positioner Around a Given Step. IEEE Transaction on Automatic Control, aug. 1969, pag. 394-397.
19. Dondik, E., M., - Ekvivalentnîe shemi gâgovovo dvigatelia v impulsnîh avtomaticheskîh sistemah. Priborostroenie, nr. 3, 1965, pag. 70-75.

20. El-Serafi, A., M., etc. - Equivalent two-phase representation of an n-m phase salient-pole machine. IEEE Trans. on Ind. El. and C.I., ian. 1975, pag. 18-20.
21. Femling, D., V., - Use MSI to Control Stepping Motor. Control Engineering (SUA), sept. 1969, pag. 76-80.
22. Fredriksen, T., R., - Direct digital processor control of stepping motors, IBM Journal 11, Nr. 2, 1967, pag. 179-188.
23. Fredriksen, T., R., - The closed loop motor-an ideal actuator for process control, IBM Journal 12, Nr. 12, 1968, pag. 243-245.
24. Fredriksen, T., R., - Closed - loop Stepping Motor Application, IBM Journal, iun. 1966, poz. C1-C9.
25. Fredriksen, T., R., - Micro-stepping - a new control concept for rotary step motors. Proceedings, 4th Ann. Symp. on Incr. Mot. Contr. Syst. and Dev., Univ. of Illinois, SUA, 1975, poz. HH1-HH6.
26. Frus, J., R., Kuo, B., C., - Closed-loop control of Step Motors without feedback Encoders. Proceedings, 5th Ann. Symp. on Incr. Mot. Contr. Syst. and Dev., Univ. of Illinois, SUA, 1976, poz. CC1-CC11.
27. Ghircolasiu, N., V., Miron, C., - Grafuri de fluentă și aplicații în tehnică, Ed. Tehnică, București, 1974.
28. Gibson, J., E., - Sisteme automate neliniare. Traducere din limba engleză, SUA, Ed. Tehnică, București, 1967.
29. Grossetate, M., - Moteurs à réluctance variable. Automatisme, vol. XV, nr. 7-8, iul.-aug., 1970, pag. 359-364.
30. Haberstich, W., Croymans, J., J., - Schrittmotoren für Steuerungs- und Regelungsaufgaben, Technica, Elveția, nr. 24, 1970, pag. 2384-2388.
31. Hângănuț, M., - Automatizări, Ed. Did. și Ped., București, 197
32. Heine, G., - A five-phase PM Stepping Motor for maximum range in resolution and response, 5th Ann. Symp. on Incr. Mot. Contr. Syst. and Dev., Univ. of Illinois, SUA, 1976, poz. K1-K18.
33. Hughes, O., - Dynamics of incremental motion devices associated with planetary exploration spacecraft. 4th Ann. Symp. on Incr. Mot. Contr. Syst. and Dev., Univ. of Illinois, SUA, 1975, poz. BB1-BB8.
34. Ismailov, S., I., - Avtomaticheskie sistemy i pribory s sagovimi dvigateliami. Iz. Energhia, Moskva, 1968.
35. Johnson, R., C., - Equivalent circuit model for a stepping motor. 4th Ann. Symp. on Incr. Mot. Contr. Syst. and Dev., Univ. of Illinois, SUA, 1975, poz. A1-A22.
36. Johnson, R., C., Justice, M., - Mathematical model of a hibrid stepper motor and drive circuit, 4th Ann. Symp. on Incr. Mot. Contr. Syst. and Dev., Univ. of Illinois, SUA, 1975, poz. K1-K14.
37. Julovian, V., V., Lodengolit, I., F., - K rascetu cistotnih harakteristik reaktivnih sagovih elektrodvigatelei. Elektro-tehnika, nr. 2, 1964, pag. 41-43.
38. Kelemen, A., Crivii, M., Trifa, V., - Dispozitive de comutație cu tiristoare pentru alimentarea cu impulsuri a motoarelor de inducție, Buletin IPA, București, 1972, pag. 276-289.
39. Kelemen, A., Crivii, M., Trifa, V., Szekely, A., - Dispozitiv de poziționare numerică în două coordonate a unei mese de lucru adaptabilă mașinilor unelte, acționată cu motoare pas cu pas, Electrotehnica, Electronica și Automatica, Nr. 4, 1975, pag. 173-176.

40. Kelemen, A., Trifa, V., Szekely, A., - Metode de proiectare a motoarelor pas cu pas reactive cu patru faze. Buletin ICPE, București, 1976, poz. 193 B II 27.
41. Kelemen, A., Trifa, V., - Considerații privind utilizarea motoarelor electrice pas cu pas în sisteme de reglare a poziției. Electrotehnica-Electronica-Automatice, Nr.2, 1977, pag.75-81.
42. Kelemen, A., Trifa, V., - Scheme electronice de comandă și alimentare pentru motoare pas cu pas. Manuscris predat redacției revistei EEA, București, 1977.
43. Kelemen, A., Trifa, V., - The stability of a hybrid-type closed-loop stepping motor control system. Proceedings, 6th Ann. Symp. on Incr. Mot. Contr. Syst. and Dev., Univ. of Illinois, SUA, 1977.
44. Kelemen, A., Trifa, V., - The influence of drive circuit parameters on the performances of stepping motors. IFAC, Symposium, Düsseldorf, FRG, 1977.
45. Kelemen, A., Crivii, M., Trifa, V., - Sisteme de reglare a poziției cu motoare pas cu pas. Comunicare la Simpozionul Creativității Tehnico-științifice, Cluj-Napoca, 1977.
46. Kelemen, A., Crecan, I., Trifa, V., Szekely, A., - Procedeu și dispozitiv pentru reglarea și poziționarea avansului vertical la mașini de rectificat plan-orizontal. Dosar OSIM 81523.
47. Kelemen, A., Crecan, I., Trifa, V., Szekely, A., - Procedeu și dispozitiv pentru diamantarea pietrei mașinilor de rectificat. Dosar OSIM 81856.
48. Kelemen, A., Agud, S., N., Trifa, V., Forrai, St., - Procedeu și dispozitiv pentru acționarea și poziționarea meselor de lucru rotative. Dosar OSIM 86075.
49. Kelemen, A., Crecan, I., Trifa, V., - Procedeu și dispozitiv pentru acționarea avansului transversal la mașini de rectificat. Dosar OSIM 82340.
50. Kelemen, A., Trifa, V., Szekely, A., - Procedeu și dispozitiv pentru poziționarea în două coordonate. Dosar OSIM 82083.
51. Kelemen, A., Cașin, C., Trifa, V., Lupșe, R., - Dispozitiv de poziționare în două coordonate pentru mașini de frezat. Dosar OSIM 84623.
52. Kelemen, A., Crivii, M., - Motoare electrice pas cu pas. Ed. Tehnică, București, 1975.
53. Kelemen, A., - Acționări electrice. Ed. Did. și Ped., București, 1975.
54. Kent, A., J., - A step motor controller for closed-loop investigation. Proceedings, 4th Ann. Symp. on Incr. Mot. Contr. Syst. and Dev., Univ. of Illinois, SUA, 1975, poz. G1-G15.
55. Kordik, K., S., - The Step Motor - what it is and does. Proceedings, 3rd Ann. Symp. on Incr. Mot. Contr. Syst. and Dev., Univ. of Illinois, SUA, 1977, poz. A1-A49.
56. Kuo, B., C., Singh, G., - Closed-loop and speed control of step motors. Proceedings, 3rd Ann. Symp. on Incr. Mot. Contr. Syst. and Dev., Univ. of Illinois, SUA, 1974, poz. C1-C32.
57. Kuo, B., C., - Calculation of torque-speed performance characteristics of closed-loop control of permanent magnet step motors. Proceedings, 5th Ann. Symp. on Incr. Mot. Contr. Syst. and Dev., Univ. of Illinois, SUA, 1976, poz. L1-L22.
58. Kuo, B., C., - Sisteme automate cu acționare. Analiza și sinteza. Traducere din engleză (SUA) după ediția din 1965, Ed. Tehnică, București, 1967.

59. Lacroux, G., - Moteurs pas à pas. Principe - Construction - Exemples d'applications. L'électricien, apr. 1971, pag. 81-84.
60. Layer, H., P., - Digital Sine-Cosine Mini-Stepping Motor Drive. Proceedings, 6th Ann. Symp. on Incr. Mot. Contr. Syst. and Dev., Univ. of Illinois, SUA, 1977, poz.
61. Lenny, Ch., - Damping techniques for stepper motors. Electromechanical design (SUA), dec. 1968, pag. 38-39.
62. McNaught, D., Waloff, D., - A review of Stepper motors and recent developments in high response units. Instrument Practice, apr. 1968, pag. 315-322.
63. McSparran, R., M., - Digital closed-loop phase-locked stepper motor control. Proceedings, 5th Ann. Symp. on Incr. Mot. Contr. Syst. and Dev., Univ. of Illinois, SUA, 1976, poz. 01-09.
64. Nedelcu, N., V., - Regimurile de funcționare ale mașinilor de curent alternativ, Ed. Tehnică, București, 1968.
65. Neundorf, H., - Impulsvorteiler und Leistungsverhältnisse zur Steuerung von Schrittmotoren. Elektrik, nr. 25, 1971, H. 6, pag. 218-219.
66. Neundorf, H., - Die Steuerung von Schrittmotoren beim Übergang zu Schrittfrequenzen oberhalb der Grenzkurve der Startfrequenz, Elektrik, Nr. 25, (1971, H. 10, pag. 392-394.
67. Page, W., D., Singh, G., Kuo, B., C., - Application of a computer control to study of open-loop acceleration of step motors. IEEE, Trans. on Ind. Electr. and Contr. Instrum., vol. 22, Nr. 2, mai, 1975, pag. 178-186.
68. Page, W., D., - Automatic computer testing of open-loop step motor velocity profiles. Proceedings, 4th Ann. Symp. on Incr. Mot. Contr. Syst. and Dev., Univ. of Illinois, SUA, 1975, poz. H1-H10.
69. Patterson, M., L., - A Microstepped XY controller with adjustable phase current waveforms. Proceedings, 6th Ann. Symp. on Incr. Mot. Contr. Syst. and Dev., Univ. of Illinois, SUA, 1977, poz.
70. Demidovitch, B., Maron, I., - Éléments de calcul numérique. Ed. Mir, Moscou, 1973.
71. Dorn, W., S., McCracken, D., D., - Metode numerice cu program în FORTRAN IV. Trad. din engleză, Ed. Tehnică, București, 1976.
72. Coțiu, A., - Elemente de analiză numerică, vol. 6. Litografia Institut. Politehn. Cluj-Napoca, 1973.
73. Pritchard, E., K., - Mini-stepping motor drives. Proceedings, 5th Ann. Symp. on Incr. Mot. Contr. Syst. and Dev., Univ. of Illinois, SUA, 1976, poz. Q1-Q11.
74. Pritchard, E., K., - Mini-stepping observations on stepping motors. Proceedings, 6th Ann. Symp. on Incr. Mot. Contr. Syst. and Dev., Univ. of Illinois, SUA, 1977, poz.
75. Radway, T., D., - A Standardized Approach to interfacing Stepping Motors to Computers. Proceedings, 4th Ann. Symp. on Incr. Mot. Contr. Syst. and Dev., Univ. of Illinois, SUA, 1975, poz. III-II6.
76. Ratmirov, V., A., Ivobotenko, B., A., - Sagovje dvigateli dlia sistem avtomaticheskovo upravleniia, Iz. GEI, Moskva, 1962.
77. Ratmirov, V., A., etc. - Sistemi s sagovimi dvigateliami, Iz. Energhia, Moskva, 1964.

78. Robinson, D., J., Taft, C., K., - A dynamic analysis of magnetic stepping motors. IEEE Trans. on Ind. Electr. and Contr. Instr. sept. 1969, pag. 111-125.
79. Rubțov, V., P., etc. - Sisteme s silovimi zagovimi dvigatoliumi dlia metallurghiceskoi promișlennosti. Iz. Energhia, Moskva, 1967.
80. Saunier, C., - Les moteurs pas à pas et leurs techniques de commandes, EMI 172, 1-5, 1973, pag. 59-68.
81. Seracin, E., - Utilajul electromecanic al întreprinderilor industriale, Ed. Did. și Ped., București, 1973.
82. Simon, W., - Conducerea numerică a mașinilor unelte, Traducere din germană, Ed. Tehnică, București, 1967.
83. Singh, G., Kuo, B., C., Marion, R., - Dynamic Modeling of Permanent Magnet Step Motors. Proceedings, 4th Ann. Symp. on Incr. Mot. Contr. Syst. and Dev., Univ. of Illinois, 1975, poz. E1-E12.
84. Singh, G., Kuo, B., C., - Modeling and simulation of variable - reluctance step motors with application to a high - performance printer system. IEEE Trans. on Ind. Applic. vol. IA-11, nr. 4, iul/aug., 1975, pag. 373-383.
85. Singh, G., Leenhouts, A., C., Mosel, E., F., - Electromagnet resonance in permanent magnet step motors. Proceedings, 5th Ann. Symp. on Incr. Mot. Contr. Syst. and Dev., Univ. of Illinois, SUA, 1976, poz. J1-J10.
86. Salvadori, M., G., Baron, M., L., - Metode numerice în tehnică. Trad. din engleză, Ed. Tehnică, București, 1972.
87. Tal, J., - Microprocessor - controlled incremental motion servo-system. Proceedings, 6th Ann. Symp. on Incr. Mot. Contr. Syst. and Dev., Univ. of Illinois, SUA, 1977, poz.
88. Tatenkin, V., K., Ivobotenko, B., A., - K dinamike zagovih electrodvigatelei. Elektricesstvo, Nr. 9, 1962, pag. 67-72.
89. Toaceș, Gh., - Comanda motorului pas cu pas tip inductor cu excitație electromagnetică. Teză de doctorat, Univ. Brașov, 1976.
90. Tobshy, E., - Trägheitsarmer Reluktanzschrittmotor. Elektr. Nr. 25, 1971, H. 6, pag. 219-221.
91. Tolivar, A., F., Hughes, K., O., - Science platform pointing control law, for a planetary exploration spacecraft. Proceedings, 5th Ann. Symp. on Incr. Mot. Contr. Syst. and Dev., Univ. of Illinois, SUA, 1976, poz. AA1-AA12.
92. Trifa, V., Maier, V., - Dispozitiv de alimentare secvențial pentru motoare pas cu pas cu patru înfășurări de comandă. Buletinul științific al Instit. Politehn. Cluj-Napoca, nr. 16, 1973, pag. 56-58.
93. Venkataratnam, B., E., etc. - Stability of a stopping motor. Proceedings, IEEE, vol. 118, Nr. 6, iun. 1971, pag. 805-812.
94. Wells, B., H., - Microprocessor control of stepping motor. Proceedings, 5th Ann. Symp. on Incr. Mot. Contr. Syst. and Dev., Univ. of Illinois, SUA, 1976, poz. S1-S9.
95. Willems, J., L., - A system theory approach to unified electrical machine analysis. Int. J. Control, 1972, vol. 15, Nr. 3, pag. 401-408.

- * * Sigma. Stepping motor handbook. Ed.E.M.E. Zurich, Elveția, 1974.
- * * Fujitsu pulse motors. Prospect Fujitsu Ltd, Japonia, 1970.
- * * Slo-Syn synchronous, stepping motors and motor controls. Catalog MD 174 E Superior Electric Netherland,N.V., 1975.
- * * S.T.E. privind aplicarea motorului pas cu pas și a dispozitivului de corectare automată a pietrei pe mașinile de rectificat tip RPO și RPV. Intocmit de A.Kelemen, V.Trifa și I.Crecan, la F.M. Cluj-Napoca, 1976.
- * * Documentația de protocol la contractele Nr. 102/1975 și Nr.109/1977 cu I.M.Cugir, Nr.2/1975 cu M.Ap.N., Nr.155/1976 cu I.P.Timișoara, în tematica aplicării MPP în industrie. Existenta la Cat. de Electrotehnică din I.P. Cluj-Napoca.
- * * Motoare electrice pas cu pas. Prospect al I.P.Cluj-Napoca, Laboratorul de Acționări electrice.
- * * DIPAS 202 - Echipament de poziționare numerică în două coordonate cu motoare pas cu pas. Prospect al I.P. Cluj-Napoca, Laboratorul de Acționări electrice.